

COMMITTENTE:



DIREZIONE LAVORI:



APPALTATORE:

CONSORZIO:

HIRPINIA - ORSARA AV

SOCI:



PROGETTAZIONE:

MANDATORIA:



MANDANTI:



PROGETTO ESECUTIVO

ITINERARIO NAPOLI - BARI RADDOPPIO TRATTA APICE - ORSARA II LOTTO FUNZIONALE HIRPINIA - ORSARA

VIADOTTI

ELBORATI GENERALI

Relazione di calcolo ponte 60m doppio (P3-P2)

APPALTATORE	DIRETTORE DELLA PROGETTAZIONE	PROGETTISTA
Consorzio HIRPINIA - ORSARA AV Il Direttore Tecnico Ing. P. M. Gianvecchio 08/02/2022	Il Responsabile integrazione fra le varie prestazioni specialistiche Ing. G. Cassani	 Ing. A. Mazzon

COMMESSA LOTTO FASE ENTE TIPO DOC. OPERA/DISCIPLINA PROGR. REV. SCALA:

I F 3 A 0 2 E Z Z C L V I 0 0 0 9 0 0 3 C -

Rev.	Descrizione	Redatto	Data	Verificato	Data	Approvato	Data	Autorizzato Data
A	Emissione per consegna	M ingegneria	08/02/2022	L.Rampin	08/02/2022	L.Rampin	08/02/2022	A. Mazzon
B	C 08.01 - A valle del contraddittorio	M ingegneria		L.Rampin		L.Rampin		
C	C 08.03 - A valle del contraddittorio	M ingegneria	30/09/2022	L.Rampin	30/09/2022	L.Rampin	30/09/2022	08/02/2022

<p>APPALTATORE:</p> <p><u>Consorzio</u> <u>Soci</u></p> <p>HIRPINIA - ORSARA AV WEBUILD ITALIA PIZZAROTTI</p>	<p>ITINERARIO NAPOLI – BARI</p> <p>RADDOPPIO TRATTA APICE - ORSARA</p> <p>II LOTTO FUNZIONALE HIRPINIA - ORSARA</p>
<p>PROGETTAZIONE:</p> <p><u>Mandataria</u> <u>Mandanti</u></p> <p>ROCKSOIL S.P.A NET ENGINEERING PINI GCF</p> <p>ELETTRI-FER M-INGEGNERIA</p>	<p>COMMESSA LOTTO CODIFICA DOCUMENTO REV.</p> <p>IF3A 02 E ZZ CL VI0009 003 C</p> <p>FOGLIO</p> <p>2 di 138</p>

Indice

1	INTRODUZIONE	5
1.1	DESCRIZIONE SINTETICA DEL PROGETTO	5
2	SIMBOLOGIA	7
2.1	DEFINIZIONE DELLE CARATTERISTICHE DEI MATERIALI	7
2.1.1	CALCESTRUZZO	7
2.1.2	ACCIAIO	7
2.2	DEFINIZIONE DELL'EFFETTO TERMICO	7
2.3	DEFINIZIONE DEI CARICHI E SOVRACCARICHI	7
2.4	CARATTERISTICHE GEOMETRICHE	8
2.4.1	UNITÀ DI MISURA ADOTTATE	8
2.4.2	SEZIONE IN ACCIAIO	8
2.4.3	SEZIONE IN CALCESTRUZZO	8
2.5	CARATTERISTICHE GEOMETRICO STATICO INERZIALI.....	9
2.5.1	SEZIONE RESISTENTE PRINCIPALE.....	9
2.5.2	ANIMA TRAVE PRINCIPALE	9
2.6	PARAMETRI DELLA SOLLECITAZIONE	10
2.7	BULLONATURE E PIOLI.....	10
2.8	VERIFICHE.....	10
3	ELENCO DISEGNI.....	11
4	DESCRIZIONE DELL'OPERA.....	13
5	NORMATIVA DI RIFERIMENTO.....	16
6	CARATTERISTICHE DEI MATERIALI	17
6.1	ACCIAIO DA CARPENTERIA METALLICA	17
6.2	CALCESTRUZZO PER LA SOLETTA	17
6.3	ACCIAIO PER OPERE IN C.A.....	17
6.4	LASTRE PREDALLE	18
6.5	BULLONI	18
6.6	PIOLI CONNETTORI.....	19
6.7	SALDATURE.....	19
7	METODO DI VERIFICA	20
7.1	COEFFICIENTI DI SICUREZZA.....	20

8 ANALISI DEI CARICHI	21
8.1 PESI PROPRI	21
8.2 PERMANENTI PORTATI	21
8.3 EFFETTI DINAMICI	21
8.4 CARICHI VIAGGIANTI	23
8.5 CARICHI SUI MARCIAPIEDI	23
8.6 FRENATURA E AVVIAMENTO DEI TRENI	23
8.7 AZIONE CENTRIFUGA	24
8.8 SERPEGGIO	25
8.9 RITIRO E VISCOSITA' DEL CALCESTRUZZO	25
8.10 VARIAZIONE TERMICHE	26
8.10.1 UNIFORME	26
8.10.2 NON UNIFORME	26
8.11 VENTO	26
8.12 AZIONI SISMICHE	29
8.13 DERAGLIAMENTO	31
9 COMBINAZIONI.....	32
10 IMPALCATO – EFFETTI GLOBALI.....	39
10.1 MODELLO DI CALCOLO	39
10.1.1 VALIDAZIONE DEL MODELLO	43
10.2 ASSEGNAZIONE DEI CARICHI	47
10.2.1 PESI PROPRI (G1)	47
10.2.2 PERMANENTI PORTATI (G2)	47
10.2.3 CARICHI VIAGGIANTI: TRENI (Q1 E Q2)	48
10.2.4 CARICHI SUI MARCIAPIEDI (Q17)	49
10.2.5 FRENATURA E AVVIAMENTO DEI TRENI (Q3, Q4)	49
10.2.6 AZIONE CENTRIFUGA (Q5, Q6)	50
10.2.7 SERPEGGIO (Q7, Q8)	51
10.2.8 RITIRO DEL CALCESTRUZZO (Q13)	52
10.2.9 VARIAZIONI TERMICHE (Q9, Q10)	53
10.2.10 VENTO (Q14, Q15, Q16)	54
10.2.11 AZIONI SISMICHE	56
10.3 ANALISI MODALE E PRIMA FREQUENZA PROPRIA DI VIBRAZIONE	57
10.4 VERIFICHE DI RESISTENZA DELLE TRAVI PRINCIPALI	61
10.4.1 GEOMETRIA DELL'IMPALCATO	61
10.4.2 SOLLECITAZIONI	66
10.4.3 CALCOLO DELLE TENSIONI	80
10.4.4 VERIFICA DI STABILITA' DEI PANNELLI D'ANIMA	85

<p>APPALTATORE:</p> <p><u>Consorzio</u> <u>Soci</u></p> <p>HIRPINIA - ORSARA AV WEBUILD ITALIA PIZZAROTTI</p>	<p>ITINERARIO NAPOLI – BARI</p> <p>RADDOPPIO TRATTA APICE - ORSARA</p> <p>II LOTTO FUNZIONALE HIRPINIA - ORSARA</p>
<p>PROGETTAZIONE:</p> <p><u>Mandataria</u> <u>Mandanti</u></p> <p>ROCKSOIL S.P.A NET ENGINEERING PINI GCF</p> <p>ELETTRI-FER M-INGEGNERIA</p>	<p>COMMESSA LOTTO CODIFICA DOCUMENTO REV.</p> <p>IF3A 02 E ZZ CL VI0009 003 C</p> <p>FOGLIO</p> <p>4 di 138</p>

10.4.5 VERIFICA DEGLI IRRIGIDITORI	87
10.4.6 VERIFICA DELLE SALDATURE DI COMPOSIZIONE DELLE TRAVI.....	89
10.5 VERIFICHE DI RESISTENZA E STABILITA' DELLE ASTE	90
10.5.1 DIAGONALI DI CONTROVENTO SUPERIORI.....	90
10.5.2 DIAGONALI DI CONTROVENTO INFERIORI	92
10.5.3 DIAFRAMMI	95
10.5.4 TRAVERS.....	100
10.5.5 VERIFICA DEL DIAFRAMMA DI TESTA	104
10.6 VERIFICHE A FATICA	105
10.6.1 DETTAGLIO 56: ATTACCO PIATTO DI CONTROVENTO SUPERIORE A CORDONE D'ANGOLO	107
10.6.2 DETTAGLIO 71: ATTACCHI TRASVERSALI	109
10.6.3 DETTAGLIO 80: GIUNTI TRASVERSALI A PIENA PENETRAZIONE	111
10.6.4 DETTAGLIO 80: SALDATURE A CORDONI D'ANGOLO	113
10.6.5 DETTAGLIO 112: GIUNTI BULLONATI.....	115
10.6.6 VERIFICA DI RESISTENZA A FATICA NEI TRAVERS.....	117
10.7 VERIFICHE DI DEFORMABILITA' DELL'IMPALCATO	118
10.7.1 STATO LIMITE DI ESERCIZIO PER LA SICUREZZA DEL TRAFFICO FERROVIARIO.....	118
10.7.2 STATO LIMITE PER IL COMFORT DEI PASSEGGERI	118
10.7.3 INFLESSIONE NEL PIANO ORIZZONTALE DELL'IMPALCATO	119
10.7.4 DEFORMAZIONI TORSIONALI DELL'IMPALCATO	119
10.8 CONTROFRECCIA DI MONTAGGIO	121
10.9 VERIFICHE IN FASE DI SOSTITUZIONE DEGLI APPARECCHI D'APPOGGIO.....	121
10.10 REAZIONI VINCOLARI	123
10.11 ESCURSIONE LONGITUDINALE, GIUNTI E VARCHI.....	124
10.12 RITEGNI SISMICI LONGITUDINALI E TRASVERSALI.....	125
10.12.1 RITEGNO SISMICO TRASVERSALE	126
10.12.2 RITEGNO SISMICO LONGITUDINALE	127
10.13 VERIFICA DELLA BANCHINA	128
11 SOLETTA.....	138

APPALTATORE: Consorzio <u>Soci</u> HIRPINIA - ORSARA AV WEBUILD ITALIA PIZZAROTTI	ITINERARIO NAPOLI – BARI RADDOPPIO TRATTA APICE - ORSARA II LOTTO FUNZIONALE HIRPINIA - ORSARA					
PROGETTAZIONE: Mandataria <u>Mandanti</u> ROCKSOIL S.P.A NET ENGINEERING PINI GCF ELETTRI-FER M-INGEGNERIA						
PROGETTO ESECUTIVO	COMMESSE IF3A	LOTTO 02	CODIFICA EZ CL	DOCUMENTO VI0009 003	REV. C	FOGLIO 5 di 138

1 INTRODUZIONE

Il presente documento contiene le verifiche delle sovrastrutture di impalcato da ponte ferroviario relative alla travata di luce 58m a doppio binario del viadotto Cervaro, facente parte del progetto di raddoppio della tratta Apice – Orsara – II° lotto funzionale Hirpinia – Orsara.

Le analisi strutturali e le verifiche di sicurezza sono state effettuate secondo il metodo semiprobabilistico agli Stati Limite (S.L.) in accordo con le disposizioni vigenti in Italia e con riferimento alla classificazione sismica del territorio nazionale, secondo il DM 17 gennaio 2018.

1.1 DESCRIZIONE SINTETICA DEL PROGETTO

Nell'ambito dell'Itinerario Napoli-Bari si inserisce il Raddoppio della Tratta Hirpinia-Orsara che rappresenta il secondo lotto della tratta in variante Apice-Orsara, il cui primo lotto (Apice-Hirpinia) si trova attualmente in fase di esecuzione da parte del Consorzio Hirpinia AV.

La riqualificazione e lo sviluppo dell'itinerario Roma/Napoli – Bari prevede interventi di raddoppio delle tratte ferroviarie a singolo binario e varianti agli attuali scenari perseguitando la scelta delle migliori soluzioni che garantiscono la velocizzazione dei collegamenti e l'aumento dell'offerta generalizzata del servizio ferroviario, elevando l'accessibilità al servizio medesimo nelle aree attraversate.



Fig. 1 – Corografia dell'intera tratta Napoli Bari, con dettaglio della tratta Hirpinia-Orsara

La variante oggetto del presente documento interessa il tratto centrale della direttrice Napoli – Bari e risulta strategica nel riassetto complessivo dei collegamenti metropolitani, regionali e lunga percorrenza previsto con la realizzazione di tutto il potenziamento. Si colloca in territorio campano e pugliese ed i comuni attraversati sono rispettivamente per la provincia di Avellino: Ariano Irpino, Flumeri, Savignano Irpino e Montaguto; per la provincia di Foggia: Panni e Orsara di Puglia.

APPALTATORE: <u>Consorzio</u> <u>Soci</u> HIRPINIA - ORSARA AV WEBUILD ITALIA PIZZAROTTI	ITINERARIO NAPOLI – BARI RADDOPPIO TRATTA APICE - ORSARA II LOTTO FUNZIONALE HIRPINIA - ORSARA					
PROGETTAZIONE: <u>Mandataria</u> <u>Mandanti</u>						
ROCKSOIL S.P.A NET ENGINEERING PINI GCF ELETTRI-FER M-INGEGNERIA						
PROGETTO ESECUTIVO	COMMESSE IF3A	LOTTO 02	CODIFICA E ZZ CL	DOCUMENTO VI0009 003	REV. C	FOGLIO 6 di 138

Il tracciato della Bovino – Orsara - Hirpinia è stato progressivato rispetto all'orientamento della Linea Storica partendo da Bovino con la pk 29+050 (fine tratta Cervaro-Bovino) fino ad Orsara con pk 40+889 (imbocco galleria Orsara) dove inizia la tratta oggetto del presente progetto esecutivo che si estende fino ad Hirpinia con pk 68+955.

La linea AV/AC si sviluppa prevalentemente in galleria con una velocità compresa tra 200 e 250 Km/h ed ha una lunghezza complessiva L=28,06 km.

Il nuovo tracciato ferroviario ha inizio alla pk 40+889.793 (BP) in corrispondenza dell'inizio del collegamento di 1^ fase della tratta Bovino – Orsara, per il quale in questo progetto è prevista la dismissione.

Il tracciato prosegue come prolungamento della nuova linea a doppio binario inizialmente con l'interasse a 4m per poi divergere fino all'imbocco dalla galleria naturale Hirpinia (lato Bari) per la quale è previsto l'imbocco a canne separate.

Il corpo ferroviario compreso tra l'inizio del progetto e la pk 41+046.85 è già realizzato nell'ambito degli interventi della tratta Bovino – Orsara, come lo sono anche i piazzali tecnologici Nord e Sud, la SSE e il sottopasso di collegamento tra la viabilità di accesso alla stazione e i piazzali suddetti.

Dal km 41+046.85 dopo un breve tratto in rilevato inizia lo scatolare che si collega direttamente al viadotto VI01 sul torrente Cervaro di L= 313.65m.

In questo contesto si colloca anche la nuova Stazione di Orsara (pk 40+074.95).

La galleria "Hirpinia" inizia alla pk 41+435.91 a pochi metri dalla spalla del viadotto VI01 (pk 41+428.29) e finisce alla pk 68+537.41. La galleria lato Bari imbocca direttamente con le canne separate e prosegue a doppia canna fino ad Hirpinia dove attraverso un camerone di collegamento in prossimità dell'uscita lato Napoli diventa a singola canna doppio binario per consentire ai binari di avvicinarsi all'interasse di 4m e collegarsi con i binari di corsa della stazione di Hirpinia, già realizzata nella tratta Apice - Hirpinia.

Lo sviluppo complessivo della galleria è di 27 Km circa.

L'interasse delle due canne è prevalentemente di 40 m ad eccezione di un tratto compreso tra le pk 48+000 e pk 57+800 circa all'interno del quale l'interasse è stato allargato a 50 m; per l'intera galleria le canne sono collegate tra di loro da by-pass trasversali a passo 500 m per consentire l'esodo dei passeggeri.

Tra le pk 57+195 e 57+605 è stato inserito un luogo sicuro intermedio dotato di marciapiedi FFP di lunghezza L=410 m. L'esodo all'aperto dei passeggeri avviene attraverso la finestra F1 direttamente collegata con la viabilità locale attraverso un piazzale di sicurezza.

L'uscita della finestra F1 si trova in località Contrada Stratola, in corrispondenza dell'uscita della galleria sono stati ubicati anche i piazzali tecnologici e la nuova SSE di Ariano Irpino.

La linea AV/AC è progettata nel tratto allo scoperto (stazione di Orsara) con una velocità di tracciato di 200 km/h, con una velocità di 250 Km/h per tutto il restante tracciato in galleria per poi riscendere a 200 Km/h in corrispondenza del camerone di Hirpinia proprio per l'approssimarsi alla stazione di Hirpinia.

Lungo la galleria sono previste alcune finestre costruttive necessarie per la realizzazione con il metodo tradizionale dei tratti di galleria.

Uscito dalla galleria il tracciato termina alla pk 68+953.375 (BP), coincidente con la pk 0+700 della tratta Apice – Hirpinia, in prossimità dei tronchini per l'attestamento dei treni da e per Napoli previsti nella stazione di Hirpinia di 1^ fase.

2 SIMBOLOGIA

2.1 DEFINIZIONE DELLE CARATTERISTICHE DEI MATERIALI

2.1.1 Calcestruzzo

t_0	l'età del conglomerato a partire dalla quale si considera l'effetto del ritiro	[giorni]
A_c	l'area della sezione del conglomerato	[cm ²]
u	il perimetro della sezione di conglomerato a contatto con l'atmosfera	[cm]
$\varepsilon_{r,\infty}$	contrazione finale del conglomerato dovuta al ritiro	
ε_r	valore di calcolo per la contrazione del conglomerato dovuta al ritiro	
E_c	modulo elastico del calcestruzzo per carichi di breve durata	[N/mm ²]
E_c^*	modulo elastico del calcestruzzo per carichi di lunga durata	[N/mm ²]
Φ_∞	coefficiente finale di viscosità	
n_0	coefficiente di omogeneizzazione acciaio-calcestruzzo per carichi di breve durata	
f_{ck}	resistenza caratteristica del calcestruzzo	[N/mm ²]

2.1.2 Acciaio

E_s modulo elastico dell'acciaio [N/mm²]

2.2 DEFINIZIONE DELL'EFFETTO TERMICO

$\epsilon_{\Delta T}$	variazione di lunghezza unitaria per effetto di una variazione termica	
ΔT	variazione termica	[°C]
α	coefficiente di dilatazione termica	[1/°C]

2.3 DEFINIZIONE DEI CARICHI E SOVRACCARICHI

G ₁	peso proprio delle strutture
G ₂	carichi permanenti portati
Q ₁ , Q ₂	carichi mobili
Q ₃ , Q ₄	azioni longitudinali di avviamento/frenatura
Q ₅ , Q ₆	azione centrifuga
Q ₇ , Q ₈	azione di serpeggio
Q ₉ , Q ₁₀	effetto delle variazioni termiche
Q ₁₃	ritiro del calcestruzzo
Q ₁₄ , Q ₁₅ , Q ₁₆	azione da vento
Q ₁₇	azione da folla sui marciapiedi
Q ₁₈	azione da sisma longitudinale
Q ₁₉	azione da sisma trasversale
Q ₂₀	azione da sisma verticale
Q ₂₁	resistenze parassite dei vincoli
Q ₂₂	deragliamento

APPALTATORE: <u>Consorzio</u> <u>Soci</u> HIRPINIA - ORSARA AV WEBUILD ITALIA PIZZAROTTI	ITINERARIO NAPOLI – BARI RADDOPPIO TRATTA APICE - ORSARA II LOTTO FUNZIONALE HIRPINIA - ORSARA
PROGETTAZIONE: <u>Mandataria</u> <u>Mandanti</u> ROCKSOIL S.P.A NET ENGINEERING PINI GCF ELETTRI-FER M-INGEGNERIA	
PROGETTO ESECUTIVO	COMMESA LOTTO CODIFICA DOCUMENTO REV. IF3A 02 E ZZ CL VI0009 003 C FOGLIO 8 di 138

2.4 CARATTERISTICHE GEOMETRICHE

2.4.1 Unità di misura adottate

Lunghezze	metri	[m]
Massa	chilogrammi massa	[kg]
Forze	Newton	[N]
Tempo	secondi	[s]
Frequenza	Hertz	[Hz]

2.4.2 Sezione in acciaio

$b_{p.sup.}$	larghezza piattabanda superiore della trave in acciaio [mm]	[mm]
$t_{p.sup.}$	spessore piattabanda superiore della trave in acciaio [mm]	[mm]
$b_{p.irr.sup.}$	larghezza del piatto di raddoppio per la piattabanda superiore della trave in acciaio	[mm]
$t_{p.irr.}$	spessore del piatto di raddoppio per la piattabanda superiore della trave in acciaio	[mm]
h_w	altezza dell'anima	[mm]
t_w	spessore dell'anima	[mm]
$b_{p.irr.inf}$	larghezza del piatto di raddoppio per la piattabanda inferiore della trave in acciaio	[mm]
$s_{p.irr.inf}$	spessore del piatto di raddoppio per la piattabanda inferiore della trave in acciaio	[mm]
$b_{p.inf.}$	larghezza piattabanda inferiore della trave in acciaio	[mm]
$t_{p.inf.}$	spessore piattabanda inferiore della trave in acciaio	[mm]
$b_{assi.travi}$	interasse delle travi	[mm]

2.4.3 Sezione in calcestruzzo

b_{ef1}	larghezza efficace della soletta in calcestruzzo sullo sbalzo	[cm]
b_{ef2}	larghezza efficace della soletta in calcestruzzo tra le due travi	[cm]
b_c	larghezza d'ingombro dei connettori sulla piattabanda superiore	[cm]
$B_{collab.}$	larghezza collaborante della soletta in calcestruzzo	[cm]
s_{getto}	spessore del getto di calcestruzzo eseguito sopra alle predalles	[cm]

APPALTATORE: <u>Consorzio</u> <u>Soci</u> HIRPINIA - ORSARA AV WEBUILD ITALIA PIZZAROTTI	ITINERARIO NAPOLI – BARI RADDOPPIO TRATTA APICE - ORSARA II LOTTO FUNZIONALE HIRPINIA - ORSARA
PROGETTAZIONE: <u>Mandataria</u> <u>Mandanti</u> ROCKSOIL S.P.A NET ENGINEERING PINI GCF ELETTRI-FER M-INGEGNERIA	
PROGETTO ESECUTIVO	COMMESA IF3A LOTTO 02 CODIFICA E ZZ CL DOCUMENTO VI0009 003 REV. C FOGLIO 9 di 138

2.5 CARATTERISTICHE GEOMETRICO STATICO INERZIALI

2.5.1 Sezione resistente principale

Y_g	coordinata del baricentro valutata dal bordo inferiore della trave in acciaio	[mm]
J_x	momento d'inerzia della sezione rispetto all'asse X	[cm ⁴]
J_y	momento d'inerzia della sezione rispetto all'asse Y	[cm ⁴]
$W_{x \text{ cls sup}}$	modulo di resistenza rispetto all'asse X valutato in corrispondenza del bordo superiore della sezione di calcestruzzo	[cm ³]
$W_{x \text{ arm sup}}$	modulo di resistenza rispetto all'asse X valutato in corrispondenza delle armature superiori	[cm ³]
$W_{x \text{ arm inf}}$	modulo di resistenza rispetto all'asse X valutato in corrispondenza delle armature inferiori	[cm ³]
$W_{x \text{ acc}}$	modulo di resistenza rispetto all'asse X valutato in corrispondenza del bordo del bordo superiore della sezione di acciaio	[cm ³]
$W_{x \text{ an sup}}$	modulo di resistenza rispetto all'asse X valutato in corrispondenza dell'anima al lembo superiore	[cm ³]
$W_{x \text{ an inf}}$	modulo di resistenza rispetto all'asse X valutato in corrispondenza dell'anima al lembo inferiore	[cm ³]
$W_{x \text{ acc inf}}$	modulo di resistenza rispetto all'asse X valutato in corrispondenza del bordo inferiore della sezione di acciaio	[cm ³]
$W_{y \text{ cls}}$	modulo di resistenza rispetto all'asse Y valutato in corrispondenza del lembo esterno del calcestruzzo	[cm ³]
$W_{y \text{ supE}}$	modulo di resistenza rispetto all'asse Y valutato in corrispondenza del lembo esterno della piattabanda superiore	[cm ³]
$W_{y \text{ supI}}$	modulo di resistenza rispetto all'asse Y valutato in corrispondenza del lembo interno della piattabanda superiore	[cm ³]
$W_{y \text{ an}}$	modulo di resistenza rispetto all'asse Y valutato in corrispondenza dell'anima di acciaio	[cm ³]
$W_{y \text{ infE}}$	modulo di resistenza rispetto all'asse Y valutato in corrispondenza del lembo esterno della piattabanda inferiore	[cm ³]
$W_{y \text{ infI}}$	modulo di resistenza rispetto all'asse Y valutato in corrispondenza del lembo interno della piattabanda inferiore	[cm ³]
S_{sol}	momento statico valutato sul baricentro della soletta di calcestruzzo	[cm ³]
S_{pioli}	momento statico valutato all'attacco dei pioli sulla piattabanda superiore	[cm ³]
$S_{\text{an sup}}$	momento statico valutato all'estremo superiore dell'anima	[cm ³]
$S_{\text{an inf}}$	momento statico valutato all'estremo inferiore dell'anima	[cm ³]
$S_{x \text{ max}}$	momento statico valutato sul baricentro della sezione	[cm ³]
J_{tors}	momento d'inerzia torsionale della sezione in esame	[cm ⁴]

2.5.2 Anima trave principale

I	momento d'inerzia dell'irrigiditore rispetto alla sezione d'attacco con l'anima	[cm ⁴]
h_w	altezza dell'anima fra le piattabande	[mm]
t_w	spessore dell'anima	[mm]
σ_1	tensione normale al lembo compresso della trave	[N/mm ²]
σ_2	tensione normale al lembo teso della trave	[N/mm ²]
τ	tensione tangenziale	[N/mm ²]
α	rapporto tra a e hw	

Ψ rapporto tra σ_2 e σ_1

δ rapporto tra AL e il prodotto di h_w per t_w

W rapporto tra σ_1 e τ

σ_{cr, id} tensione critica ideale valutata in funzione della geometria del pannello, del suo stato tensionale e del materiale usato [N/mm²]

σ_{id} tensione ideale valutata secondo il metodo di Von Mises [N/mm²]

2.6 PARAMETRI DELLA SOLLECITAZIONE

N	sforzo normale	[kN]
V_{22}	sforzo taglio in direzione 2	[kN]
V_{33}	sforzo taglio in direzione 3	[kN]
M_{22}	Momento flettente attorno all'asse 2	[kNm]
M_{33}	Momento flettente attorno all'asse 3	[kNm]
T	Momento torcente	[kNm]

2.7 BULLONATURE E PIOLI

s	spessore della piastra	[mm]
Φ	diametro del bullone	[mm]
n_{sez}	numero di bulloni	
a	interasse tra i bulloni	[mm]
τ_B	tensione massima del bullone	[N/mm ²]
d_p	diametro dei pioli	[mm]
h_p'	altezza efficace dei pioli	[mm]

2.8 VERIFICHE

Δ tasso di utilizzo del materiale = Sollecitante / Resistente

APPALTATORE: <u>Consorzio</u> <u>Soci</u> HIRPINIA - ORSARA AV WEBUILD ITALIA PIZZAROTTI	ITINERARIO NAPOLI – BARI RADDOPPIO TRATTA APICE - ORSARA II LOTTO FUNZIONALE HIRPINIA - ORSARA
PROGETTAZIONE: <u>Mandataria</u> <u>Mandanti</u> ROCKSOIL S.P.A NET ENGINEERING PINI GCF ELETTRI-FER M-INGEGNERIA	
PROGETTO ESECUTIVO	COMMESA LOTTO CODIFICA DOCUMENTO REV. IF3A 02 E ZZ CL VI0009 003 C FOGLIO 11 di 138

3 ELENCO DISEGNI

I disegni relativi al viadotto Cervaro sono i seguenti:

GENERALI	
IF3A02EZTTVI0000001	Tabella Materiali e Note generali
IF3A02EZZWZVI000Z001	Piattaforma in corrispondenza di Fire Fighting Point (FFP)
IF3A02EZZBZVI0009001	Schema conci travate e distribuzione dei materiali
IF3A02EZZBZVI000A001	Pianta soletta in calcestruzzo e sezioni tipiche - Carpenteria
IF3A02EZZBZVI000A002	Forometria soletta, particolari costruttivi e finiture
IF3A02EZZBZVI0009002	Ritegno sismico trasversale a dispositivo antisollevalento campate 40m e 33mm
IF3A02EZZBZVI0009003	Ritegno sismico trasversale a dispositivo antisollevalento campate 60m
IF3A02EZZBZVI0009004	Ritegni longitudinali campate 40m, 60m, 33m
IF3A02EZZBZVI0009005	Schemi controfrecchia di montaggio
IF3A02EZZBZVI0009006	Dettagli di saldatura
IF3A02EZZBZVI0007001	Schemi apparecchi di appoggio e giunti
SPA-P1 LATO MONTE	
IF3A02EZZBZVI0109001	Prospetto, piante di controvento e sezioni tipiche
IF3A02EZZBZVI0109002	Dettagli di controvento superiore e inferiore
IF3A02EZZBZVI0109003	Sezioni trasversali: diaframma D.P. su pila P1 e spalla SPA
IF3A02EZZBZVI0109004	Sezioni trasversali: diaframmi D1
SPA-P1 LATO VALLE	
IF3A02EZZBZVI0109005	Prospetto, piante di controvento e sezioni tipiche
IF3A02EZZBZVI0109006	Dettagli di controvento superiore e inferiore
IF3A02EZZBZVI0109007	Sezioni trasversali: diaframma D.P. su pila P1 e spalla SPA
IF3A02EZZBZVI0109008	Sezioni trasversali: diaframma D1
P1-P2 LATO MONTE	
IF3A02EZZBZVI0109009	Prospetto, piante di controvento e sezioni tipiche
IF3A02EZZBZVI0109010	Dettagli di controvento superiore e inferiore
IF3A02EZZBZVI0109011	Sezioni trasversali: diaframma D.P. su pile P1 e P2
IF3A02EZZBZVI0109012	Sezioni trasversali: diaframma D1
P1-P2 LATO VALLE	
IF3A02EZZBZVI0109013	Prospetto, piante di controvento e sezioni tipiche
IF3A02EZZBZVI0109014	Dettagli di controvento superiore e inferiore
IF3A02EZZBZVI0109015	Sezioni trasversali: diaframma D.P. su pile P1 e P2
IF3A02EZZBZVI0109016	Sezioni trasversali: diaframma D1
P2-P3	
IF3A02EZZBZVI0109017	Prospetto, piante di controvento e sezioni tipiche
IF3A02EZZBZVI0109018	Dettagli di controvento superiore e inferiore
IF3A02EZZBZVI0109019	Sezioni trasversali: diaframma D.P. su pile P2 e P3
IF3A02EZZBZVI0109020	Sezioni trasversali: diaframmi D1 e D2

APPALTATORE: <u>Consorzio</u> <u>Soci</u> HIRPINIA - ORSARA AV WEBUILD ITALIA PIZZAROTTI	ITINERARIO NAPOLI – BARI RADDOPPIO TRATTA APICE - ORSARA II LOTTO FUNZIONALE HIRPINIA - ORSARA
PROGETTAZIONE: <u>Mandataria</u> <u>Mandanti</u> ROCKSOIL S.P.A NET ENGINEERING PINI GCF ELETTRI-FER M-INGEGNERIA	
PROGETTO ESECUTIVO	COMMESSE IF3A LOTTO 02 CODIFICA E ZZ CL DOCUMENTO VI0009 003 REV. C FOGLIO 12 di 138

P3-P4	
IF3A02EZZBZVI0109021	Prospetto, piante di controvento e sezioni tipiche
IF3A02EZZBZVI0109022	Dettagli di controvento superiore e inferiore
IF3A02EZZBZVI0109023	Sezioni trasversali: diaframma D.P. su pile P e P4
IF3A02EZZBZVI0109024	Sezioni trasversali: diaframmi D1 e D2
P4-P5	
IF3A02EZZBZVI0109025	Prospetto, piante di controvento e sezioni tipiche
IF3A02EZZBZVI0109026	Dettagli di controvento superiore e inferiore
IF3A02EZZBZVI0109027	Sezioni trasversali: diaframma D.P. su pile P4 e P5
IF3A02EZZBZVI0109028	Sezioni trasversali: diaframmi D1 e D2
P5-P6	
IF3A02EZZBZVI0109029	Prospetto, piante di controvento e sezioni tipiche
IF3A02EZZBZVI0109030	Dettagli di controvento superiore e inferiore
IF3A02EZZBZVI0109031	Sezioni trasversali: diaframma D.P. su pile P5 e P6
IF3A02EZZBZVI0109032	Sezioni trasversali: diaframmi D1 e D2
P6-SPB	
IF3A02EZZBZVI0109033	Pianta generale e sezioni principali
IF3A02EZZBZVI0109034	Dettagli di controvento superiore e inferiore
IF3A02EZZBZVI0109035	Sezioni trasversali: diaframma D.P. su pila P6 e spalla SPB
IF3A02EZZBZVI0109036	Sezioni trasversali: diaframmi D1 e D2
MONTAGGIO	
IF3A02EZZDZVI0100001	Montaggio Soluzione A: Fase1
IF3A02EZZDZVI0100002	Montaggio Soluzione A: Fase2
IF3A02EZZDZVI0100003	Montaggio Soluzione A: Fase3
IF3A02EZZDZVI0100004	Montaggio Soluzione A: Fase4
IF3A02EZZDZVI0100005	Montaggio Soluzione A: Fase5
IF3A02EZZDZVI0100006	Montaggio Soluzione A: Fase6
IF3A02EZZDZVI0100007	Montaggio Soluzione B: Fase1
IF3A02EZZDZVI0100008	Montaggio Soluzione B: Fase2
IF3A02EZZDZVI0100009	Montaggio Soluzione B: Fase3
IF3A02EZZDZVI0100010	Montaggio Soluzione B: Fase4
IF3A02EZZDZVI0100011	Montaggio Soluzione B: Fase5

Le relazioni di calcolo relative ai viadotti sono le seguenti:

IF3A02EZZCLVI0009001	Relazione di calcolo ponte 40m doppio (SPB-P6)
IF3A02EZZCLVI0009002	Relazione di calcolo ponte 40m doppio (P4-P3)
IF3A02EZZCLVI0009004	Relazione di calcolo ponte 60m singolo (P2-P1)
IF3A02EZZCLVI0009005	Relazione di calcolo ponte 33m singolo (P1-SPA)

APPALTATORE: Consorzio <u>Soci</u> HIRPINIA - ORSARA AV WEBUILD ITALIA PIZZAROTTI	ITINERARIO NAPOLI – BARI RADDOPPIO TRATTA APICE - ORSARA II LOTTO FUNZIONALE HIRPINIA - ORSARA
PROGETTAZIONE: Mandataria <u>Mandanti</u> ROCKSOIL S.P.A NET ENGINEERING PINI GCF ELETTRI-FER M-INGEGNERIA	
PROGETTO ESECUTIVO	COMMESA LOTTO CODIFICA DOCUMENTO REV. FOGLIO IF3A 02 E ZZ CL VI0009 003 C 13 di 138

4 DESCRIZIONE DELL'OPERA

Il ponte in oggetto è realizzato in sistema misto acciaio-calcestruzzo con schema statico di trave appoggiata in singola campata di luce 58 m in asse appoggi e lunghezza complessiva 60 m.

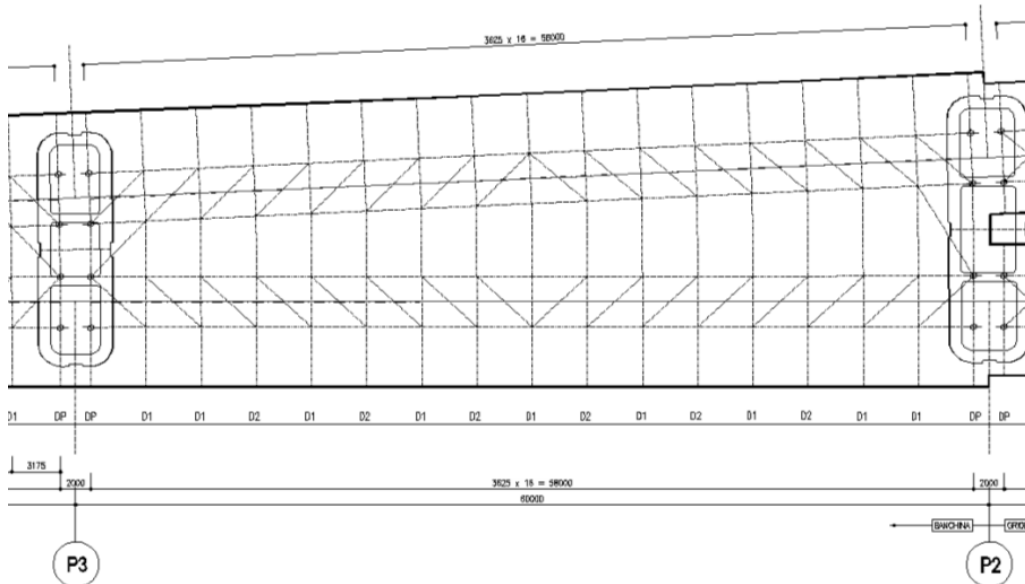


Fig. 2 – Pianta impalcato P2 – P1

La travata è simmetrica rispetto alla mezzeria ed è costituita da 3 conci di 2 tipologie disposti in successione, di lunghezza rispettivamente pari a 18m e 23,8m.

La struttura è costituita da quattro travi a doppio T accoppiate e collegate tramite diaframmi e controventi orizzontali in modo da formare due cassoni. La distanza tra le anime di ciascun cassone è pari a 3,3 m, mentre i due cassoni che compongono la struttura hanno interasse variabile.

La soletta in calcestruzzo armato ha una larghezza complessiva variabile e sarà gettata in opera su lastre predalle in calcestruzzo. Lo spessore della soletta è variabile da un minimo di 37 cm circa in corrispondenza del cordolo esterno ad un massimo di 47 cm circa in mezzeria, incluso lo spessore delle lastre predalle. È resa collaborante con la sottostante porzione in acciaio mediante pioli Nelson.

Le travi hanno un'altezza costante di 4,25 m per tutta la lunghezza del ponte ed un'altezza variabile in prossimità degli appoggi in quanto la sezione in appoggio misura 2,75m di altezza.

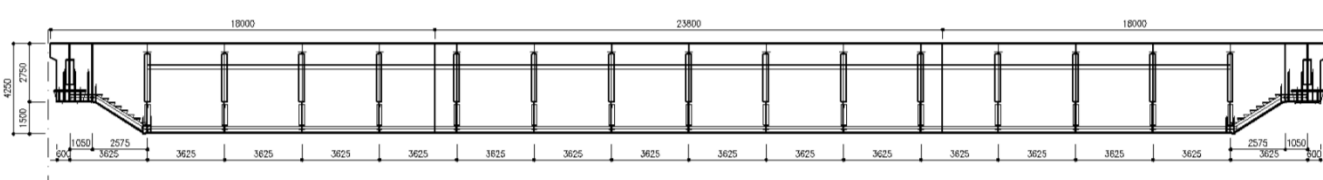


Fig. 3 – Prospetto longitudinale dell'impalcato

I cassoni sono controventati superiormente e inferiormente tramite aste con schema a Z.

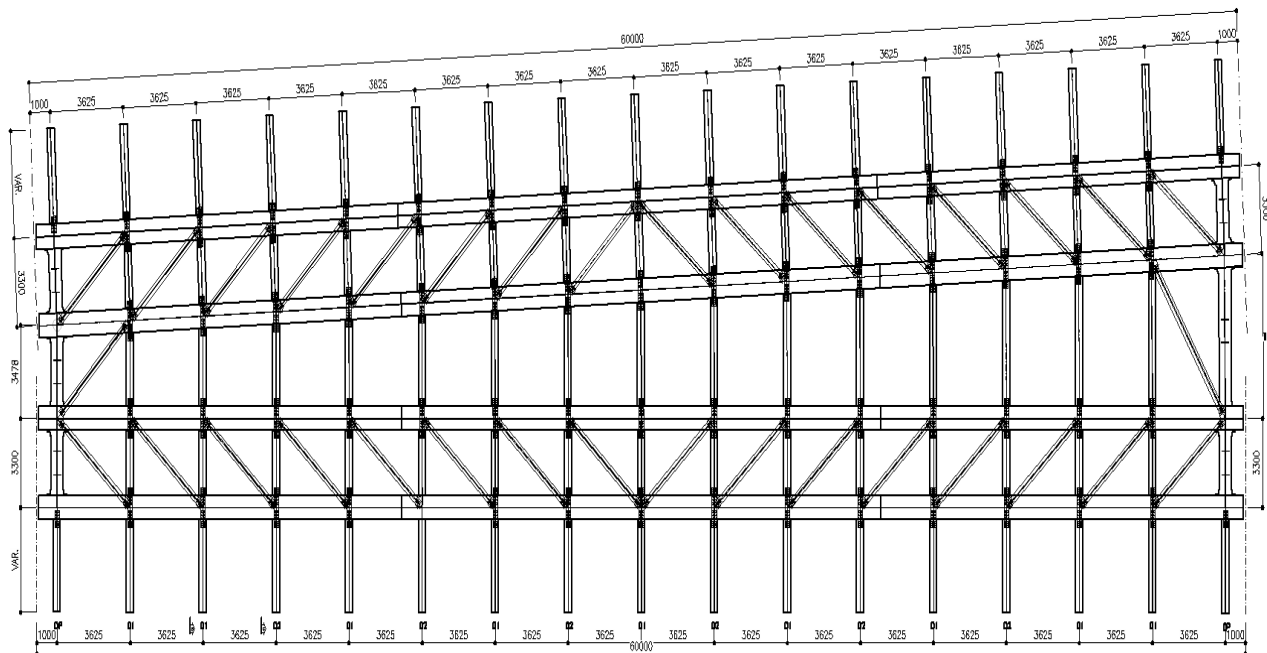


Fig. 4 – Pianta di impalcato superiore

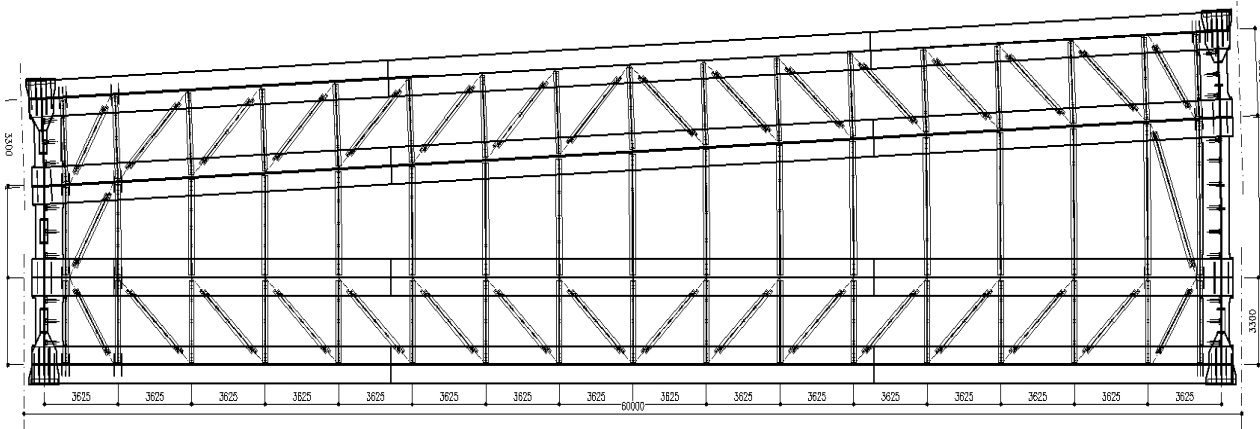


Fig. 5 – Pianta di impalcato inferiore

I diaframmi interni a ciascun cassone e quelli di collegamento tra i due cassoni sono costituiti da diagonali disposti con schema a K. In corrispondenza degli appoggi, i diaframmi sono costituiti da travi ad anima piena.

Trasversalmente sono previsti dei traversi piolati che sostengono la soletta e chiudono superiormente i diaframmi.

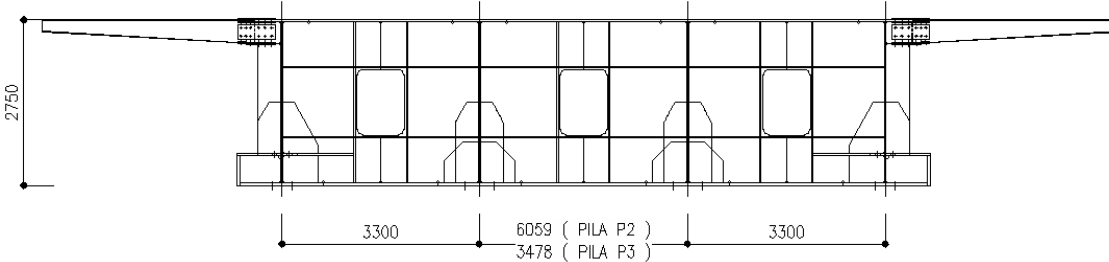


Fig. 6 – Diaframma di testa

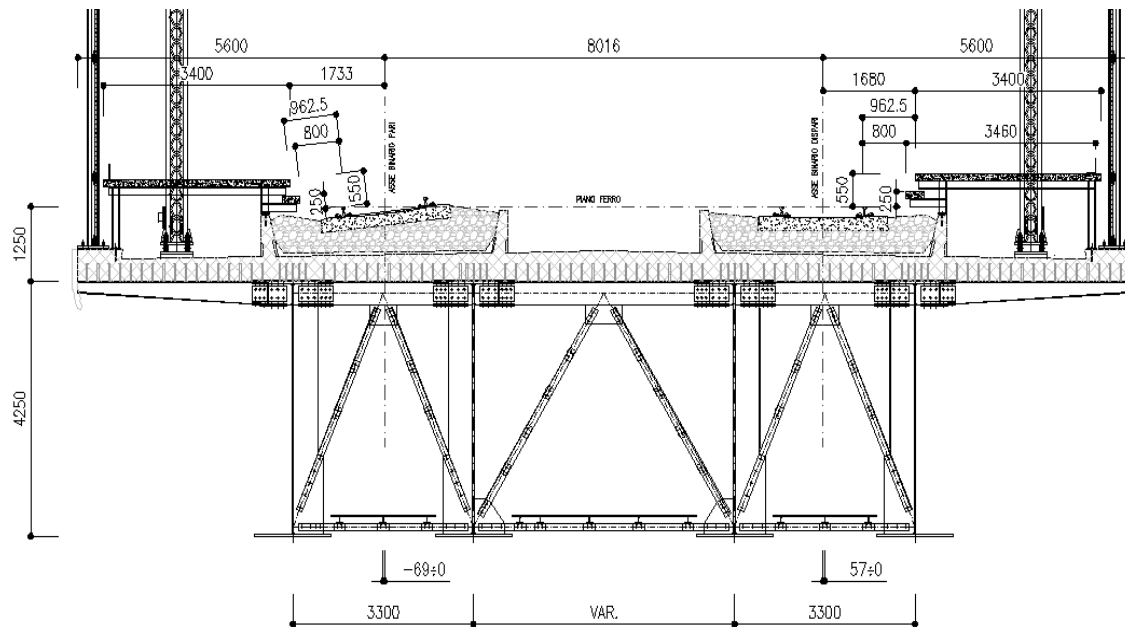


Fig. 7 – Sezione trasversale architettonica

Per quanto riguarda i dispositivi di vincolo dell'impalcato alle sottostruzione, per ciascuna campata si prevede il seguente schema di vincolo:

- due appoggi fissi e due mobili su un lato: blocco di tutte le componenti di traslazione in corrispondenza dei due appoggi centrali (fissi) e la possibilità di traslazioni sia trasversali che longitudinali per i due appoggi esterni (multidirezionali)
 - un appoggio unidirezionale (scorrevole in senso longitudinale) e tre multidirezionali, sul lato opposto



Fig. 8 – Schema appoggi

APPALTATORE: <u>Consorzio</u> <u>Soci</u> HIRPINIA - ORSARA AV WEBUILD ITALIA PIZZAROTTI	ITINERARIO NAPOLI – BARI RADDOPPIO TRATTA APICE - ORSARA II LOTTO FUNZIONALE HIRPINIA - ORSARA
PROGETTAZIONE: <u>Mandataria</u> <u>Mandanti</u> ROCKSOIL S.P.A NET ENGINEERING PINI GCF ELETTRI-FER M-INGEGNERIA	
PROGETTO ESECUTIVO	COMMESSA IF3A LOTTO 02 CODIFICA E ZZ CL DOCUMENTO VI0009 003 REV. C FOGLIO 16 di 138

5 NORMATIVA DI RIFERIMENTO

Il progetto è redatto secondo la seguente normativa:

- Legge 05/01/1971 n°1086: Norme per la disciplina delle opere di conglomerato cementizio armato, normale e precompresso, ed a struttura metallica;
- Legge 02/02/1974 n°64: Provvedimenti per le costruzioni con particolari prescrizioni per le zone sismiche;
- D.M. del 17 Gennaio 2018: Nuove norme tecniche per le costruzioni;
- C.M. 21/01/2019 n.7: Istruzioni per l'applicazione delle "Norme tecniche per le costruzioni";
- CNR-UNI 10011: "Costruzioni di acciaio – Istruzioni per il calcolo, l'esecuzione, il collaudo e la manutenzione"
- RFI DTC SI PS MA IFS 001 D: Manuale di progettazione delle opere civili – Parte II – Sezione 2 – Ponti e Strutture;
- RFI DTC SI PS SP IFS 002 D: Capitolato generale tecnico di appalto delle opere civili – Parte II – Sezione 6 – Opere in conglomerato cementizio e in acciaio;
- STI 2014 – REGOLAMENTO UE N.1299/2014 della commissione del 18 Novembre 2014 relativo alle specifiche tecniche di interoperabilità per il sistema "infrastruttura" del sistema ferroviario dell'Unione Europea.

Nella redazione dei progetti e nelle verifiche strutturali si è inoltre fatto riferimento alla normativa Europea di seguito specificata:

- UNI EN 1991-1-4:2005: Eurocodice 1 – Azioni sulle strutture
Parte 1-4: Azioni in generale – Azioni del vento
- UNI EN 1992-1-1:2005: Eurocodice 2 – Progettazione delle strutture di calcestruzzo
Parte 1-1: Regole generali e regole per gli edifici
- UNI EN 1992-2:2006: Eurocodice 2 – Progettazione delle strutture di calcestruzzo
Parte 2: Ponti
- UNI EN 1993-1-1:2005: Eurocodice 3 – Progettazione delle strutture di acciaio
Parte 1-1: Regole generali e regole per gli edifici
- UNI EN 1993-2:2007: Eurocodice 3 – Progettazione delle strutture di acciaio
Parte 2: Ponti
- UNI EN 1998-1:2005: Eurocodice 8 – Progettazione delle strutture per la resistenza sismica
Parte 1: Regole generali, azioni sismiche e regole per gli edifici
- UNI EN 1998-2:2006: Eurocodice 8 – Progettazione delle strutture per la resistenza sismica
Parte 2: Ponti

APPALTATORE: <u>Consorzio</u> <u>Soci</u> HIRPINIA - ORSARA AV WEBUILD ITALIA PIZZAROTTI	ITINERARIO NAPOLI – BARI RADDOPPIO TRATTA APICE - ORSARA II LOTTO FUNZIONALE HIRPINIA - ORSARA
PROGETTAZIONE: <u>Mandataria</u> <u>Mandanti</u> ROCKSOIL S.P.A NET ENGINEERING PINI GCF ELETTRI-FER M-INGEGNERIA	
PROGETTO ESECUTIVO	COMMESSE IF3A LOTTO 02 CODIFICA EZ CL DOCUMENTO VI0009 003 REV. C FOGLIO 17 di 138

6 CARATTERISTICHE DEI MATERIALI

Si riassumono di seguito le caratteristiche principali dei materiali. Si rimanda alla tavola di progetto specifica per ulteriori dettagli.

6.1 ACCIAIO DA CARPENTERIA METALLICA

Le strutture principali del ponte sono realizzate in acciaio S355 secondo EN10025, dove:

- $t \leq 40 \text{ mm}$ $f_{yk} = 355 \text{ MPa}$ e $f_u = 510 \text{ MPa}$
- $40 < t \leq 80 \text{ mm}$ $f_{yk} = 335 \text{ MPa}$ e $f_u = 470 \text{ MPa}$

Modulo elastico $E_s = 210\,000 \text{ MPa}$.

6.2 CALCESTRUZZO PER LA SOLETTA

$R_{ck} = 40 \text{ N/mm}^2$ (C32/40) resistenza caratteristica (frattile 5%) dei cubetti a 28 gg

tipo cemento CEM I-V

Rapporto acqua cemento ≤ 0.50

Consistenza plastica = Classe di Slump S4

Classe di esposizione XC4

Copriferro = 45 mm

Diametro massimo dell'inerte per le strutture $\leq 20 \text{ mm}$

Si impiegano additivi anti-ritiro che consentono di ottenere un valore di contrazione per ritiro $\epsilon_{rit} = -1,34 \times 10^{-4}$ (calcolo deformazione da ritiro al §8.9).

Dalla tabella 4.1.IV del DM2018 si ricava l'apertura ammisible delle fessure per le condizioni ambientali molto aggressive e in presenza di armatura poco sensibile.

Gruppi di esigenze	Condizioni ambientali	Combinazione di azioni	Armatura			
			Sensibile		Poco sensibile	
			Stato limite	w_d	Stato limite	w_d
a	Ordinarie	frequente	ap. fessure	$\leq w_2$	ap. fessure	$\leq w_3$
		quasi permanente	ap. fessure	$\leq w_1$	ap. fessure	$\leq w_2$
b	Aggressive	frequente	ap. fessure	$\leq w_1$	ap. fessure	$\leq w_2$
		quasi permanente	decompressione	-	ap. fessure	$\leq w_1$
c	Molto aggressive	frequente	formazione fessure	-	ap. fessure	$\leq w_1$
		quasi permanente	decompressione	-	ap. fessure	$\leq w_1$

w_1, w_2, w_3 sono definiti al § 4.1.2.2.4.1, il valore di calcolo w_d , è definito al § 4.1.2.2.4.6.

Fig. 9 – Stato limite di fessurazione – tabella 4.1.IV del DM2008

Nel caso di armatura poco sensibile, lo stato limite di apertura delle fessure, nelle combinazioni frequente e quasi permanente, è definito da $w_1 = 0,2 \text{ mm}$.

6.3 ACCIAIO PER OPERE IN C.A.

Acciaio per barre d'armatura: B450C controllato in stabilimento (barre ad aderenza migliorata)

Acciaio per reti elettrosaldate: B450C (secondo le prescrizioni del D.M. 17-1-2018)

- $5 < \emptyset < 30 \text{ mm}$. acciaio per cemento armato B450C.

APPALTATORE: <u>Consorzio</u> <u>Soci</u> HIRPINIA - ORSARA AV WEBUILD ITALIA PIZZAROTTI	ITINERARIO NAPOLI – BARI RADDOPPIO TRATTA APICE - ORSARA II LOTTO FUNZIONALE HIRPINIA - ORSARA
PROGETTAZIONE: <u>Mandataria</u> <u>Mandanti</u> ROCKSOIL S.P.A NET ENGINEERING PINI GCF ELETTRI-FER M-INGEGNERIA	
PROGETTO ESECUTIVO	COMMESSE IF3A LOTTO 02 CODIFICA EZ CL DOCUMENTO VI0009 003 REV. C FOGLIO 18 di 138

- $1.15 \leq (f_t/f_y)_k < 1.35$
- $f_{yk} = 450 \text{ N/mm}^2$ tensione caratteristica di snervamento
- $f_{tk} = 540 \text{ N/mm}^2$ tensione caratteristica di rottura

Per la piegatura delle barre si fa riferimento al DM 17-1-2018.

6.4 LASTRE PREDALLE

Calcestruzzo

Classe di resistenza minima C32/40

Tipo cemento CEM I-V

Rapporto acqua cemento ≤ 0.50

Classe minima di consistenza S4

Classe di esposizione ambientale XC4

Copriferro = 35 mm

Diametro massimo dell'inerte $\leq 20 \text{ mm}$

Acciaio

Barre e reti eletrosaldate in acciaio B450C saldabile

- $5 < \varnothing < 30 \text{ mm}$. acciaio per cemento armato B450C.
- $1.15 < (f_t/f_y)_k < 1.35$
- $f_{yk} = 450 \text{ N/mm}^2$ tensione caratteristica di snervamento
- $f_{tk} = 540 \text{ N/mm}^2$ tensione caratteristica di rottura

Per la piegatura delle barre si fa riferimento al DM 17-1-2018

6.5 BULLONI

Strutture principali

- viti 10.9 secondo UNI EN ISO 898-1 UNI EN 14399-4
- dadi 10 secondo UNI EN 20898-2:1994 UNI EN 14399-4

Strutture secondarie

- Viti classe 8.8 UNI EN ISO 898-1, UNI EN 14399-4
- Dadi classe 8 UNI EN 20898-2, UNI EN 14399-4

Gioco foro-bullone:

- STRUTTURE SECONDARIE: 1 mm (compresa tolleranza della vite)
- STRUTTURE PRINCIPALI: bulloni a taglio con accoppiamento di precisione, con gioco foro-bullone, comprensivo delle rispettive tolleranze, non superiore a 0,3 mm per $\varnothing \leq 20 \text{ mm}$ e non superiore a 0,5 mm per $\varnothing > 20 \text{ mm}$, essendo \varnothing il diametro del bullone.

I giunti bullonati sono calcolati a taglio, considerando la resistenza dei bulloni cl. 8.8 sebbene da progetto siano previsti bulloni cl.10.9.

La resistenza a taglio è calcolata come da D.M. 2018, ossia:

$$F_{V,Rd} = 0,6 \cdot f_{tb} \cdot A / \gamma_M = 0,6 \times 800 \times 572 / 1,25 / 1000 = 220 \text{ kN} \text{ (per bulloni M27)}$$

Tale valore risulta inferiore alla resistenza dei bulloni M27 di classe 10.9 ridotta del 15%, come prescritto nel "Manuale di progettazione delle opere civili – parte II – sezione 2 – ponti e strutture" (Fig. 10). Infatti la resistenza a taglio di un bullone M27 cl.10.9 calcolata secondo D.M.2018 risulta:

APPALTATORE: <u>Consorzio</u> <u>Soci</u> HIRPINIA - ORSARA AV WEBUILD ITALIA PIZZAROTTI	ITINERARIO NAPOLI – BARI RADDOPPIO TRATTA APICE - ORSARA II LOTTO FUNZIONALE HIRPINIA - ORSARA
PROGETTAZIONE: <u>Mandataria</u> <u>Mandanti</u> ROCKSOIL S.P.A NET ENGINEERING PINI GCF ELETTRI-FER M-INGEGNERIA	
PROGETTO ESECUTIVO	COMMESMA IF3A LOTTO 02 CODIFICA E ZZ CL DOCUMENTO VI0009 003 REV. C FOGLIO 19 di 138

$$F_{V,Rd} = 0,6 \cdot f_{tb} \cdot A / \gamma_M = 0,6 \times 1000 \times 572 / 1,25 / 1000 = 275 \text{ kN}$$

Riducendo tale valore del 15% si ottiene una resistenza a taglio pari a 234 kN, ossia maggiore della resistenza considerata in fase di progetto.

2.5.2.3.6.2 Giunzioni con bulloni a taglio

Per quanto riguarda il calcolo delle unioni bullonate a taglio vale quanto riportato al paragrafo 4.2.8 del DM 17.01.2018 con una riduzione del 15% dei limiti di resistenza indicati nel detto paragrafo.

Per la verifica a fatica dei bulloni si farà riferimento alla relativa curva SN riportata nella EN 1993.

Sono ammessi bulloni con diametro 12 - 14 - 16 - 18 - 20 - 22 - 24 - 27 mm.

Nel progetto del giunto si dovrà tener conto, nella definizione degli interassi e della distanza dai margini dei pezzi da unire, della possibilità di alesatura a diametro superiore.

Per strutture con armamento diretto o travate di luce > 60 m si dovrà tener adeguatamente conto del gioco foro-bullone nella valutazione della deformata della travata, il relativo contributo dovrà essere considerato nella contro-freccia di montaggio.

Fig. 10 – Estratto dal “Manuale di progettazione delle opere civili”

6.6 PIOLI CONNETTORI

Si utilizzano pioli tipo Nelson in acciaio S235JR+ C450 (St37/3k) con:

- snervamento $f_Y \geq 350 \text{ N/mm}^2$
- rottura $f_u \geq 450 \text{ N/mm}^2$
- Norma di riferimento: EN 13918

6.7 SALDATURE

Le saldature realizzate mediante cordoni d'angolo che uniscono due lamiere di spessori S1 e S2 ($S1 \geq S2$) devono avere il lato Z soddisfacente la limitazione seguente (eccetto dove diversamente indicato nei disegni):

$$0,7 \times S_2 = Z$$

Per ulteriori indicazioni sulle saldature si rimanda alle tavole di dettaglio.

APPALTATORE: <u>Consorzio</u> <u>Soci</u> HIRPINIA - ORSARA AV WEBUILD ITALIA PIZZAROTTI	ITINERARIO NAPOLI – BARI RADDOPPIO TRATTA APICE - ORSARA II LOTTO FUNZIONALE HIRPINIA - ORSARA
PROGETTAZIONE: <u>Mandataria</u> <u>Mandanti</u> ROCKSOIL S.P.A NET ENGINEERING PINI GCF ELETTRI-FER M-INGEGNERIA	
PROGETTO ESECUTIVO	COMMESSE LOTTO CODIFICA DOCUMENTO REV. FOGLIO IF3A 02 EZZ CL VI0009 003 C 20 di 138

7 METODO DI VERIFICA

L'analisi globale della struttura è effettuata con il metodo elastico, pertanto si valutano gli effetti delle azioni nell'ipotesi che il legame tensione-deformazione del materiale sia infinitamente lineare.

La struttura viene verificata secondo il metodo semiprobabilistico degli stati limite, confrontando le tensioni calcolate con la tensione limite come definito nel D.M.2018 § 4.2.4.1.2, ossia:

4.2.4.1.2 Resistenza delle membrature

Per la verifica delle travi la resistenza di progetto da considerare dipende dalla classificazione delle sezioni.

La verifica in campo elastico è ammessa per tutti i tipi di sezione, con l'avvertenza di tener conto degli effetti di instabilità locale per le sezioni di classe 4.

Le verifiche in campo elastico, per gli stati di sforzo piani tipici delle travi, si eseguono con riferimento al seguente criterio:

$$\sigma_{x,Ed}^2 + \sigma_{z,Ed}^2 - \sigma_{z,Ed}\sigma_{x,Ed} + 3\tau_{Ed}^2 \leq (f_y / \gamma_{M0})^2 \quad [4.2.4]$$

dove:

$\sigma_{x,Ed}$ è il valore di progetto della tensione normale nel punto in esame, agente in direzione parallela all'asse della membratura;

$\sigma_{z,Ed}$ è il valore di progetto della tensione normale nel punto in esame, agente in direzione ortogonale all'asse della membratura;

τ_{Ed} è il valore di progetto della tensione tangenziale nel punto in esame, agente nel piano della sezione della membratura.

Fig. 11 – estratto da § 4.2.4.1.2 “Resistenza delle membrature” del DM2018

Il D.M.2018 al §4.2.4.1.2 “Resistenza delle membrature” ammette la verifica in campo elastico per tutti i tipi di sezione, “con l'avvertenza di tener conto degli effetti di instabilità locale per le sezioni di classe 4.Per le sezioni di classe 4, in alternativa alle formule impiegate nel seguito, si possono impiegare altri procedimenti di comprovata validità”.

Si assume pertanto che le sezioni delle travi siano sempre di classe 3; la verifica viene effettuata calcolando le tensioni nella sezione linda ed accertando che tale valore sia inferiore alla tensione limite (come in Fig. 11) Viene poi eseguita la verifica della stabilità degli elementi d'anima compressi tramite il procedimento descritto nelle istruzioni CNR 10011.

Per quanto riguarda le verifiche della singole aste (aste di controvento o di diaframma), si confronta la resistenza delle membrature definita da normativa $R_d = R_k/\gamma_M$ con la forza sollecitante; il rapporto tra i due valori deve essere inferiore ad 1,0 ($F_{Ed} / R_d < 1,0$).

7.1 COEFFICIENTI DI SICUREZZA

Per le verifiche di resistenza delle membrature si adottano i fattori parziali γ_{M0} e γ_{M2} indicati in tab.4.2.V della normativa italiana (Fig. 12).

Tab. 4.2.VII - Coefficienti di sicurezza per la resistenza delle membrature e la stabilità

Resistenza delle Sezioni di Classe 1-2-3-4	$\gamma_{M0} = 1,05$
Resistenza all'instabilità delle membrature	$\gamma_{M1} = 1,05$
Resistenza all'instabilità delle membrature di ponti stradali e ferroviari	$\gamma_{M1} = 1,10$
Resistenza, nei riguardi della frattura, delle sezioni tese (indebolite dai fori)	$\gamma_{M2} = 1,25$

Fig. 12 – Coefficienti parziali di sicurezza - § 4.2.4.1 D.M.2018

APPALTATORE: <u>Consorzio</u> <u>Soci</u> HIRPINIA - ORSARA AV WEBUILD ITALIA PIZZAROTTI	ITINERARIO NAPOLI – BARI RADDOPPIO TRATTA APICE - ORSARA II LOTTO FUNZIONALE HIRPINIA - ORSARA
PROGETTAZIONE: <u>Mandataria</u> <u>Mandanti</u> ROCKSOIL S.P.A NET ENGINEERING PINI GCF ELETTRI-FER M-INGEGNERIA	
PROGETTO ESECUTIVO	COMMESSE IF3A LOTTO 02 CODIFICA EZ CL DOCUMENTO VI0009 003 REV. C FOGLIO 21 di 138

8 ANALISI DEI CARICHI

8.1 PESI PROPRI

Si considerano i seguenti pesi propri per unità di volume:

- Calcestruzzo: 25 kN/mc
- Acciaio da carpenteria metallica: 78,5 kN/mc

Il peso totale dell'impalcato in carpenteria metallica è pari a 5100 kN.

Il peso totale della soletta in calcestruzzo è pari a 13030 kN, in quanto:

- peso predalle = $25 \times 0,05 \times (18+20,6) / 2 \times 60 = 1448$ kN
- peso getto di calcestruzzo (sp.medio 0,40m) = $25 \times 0,40 \times (18+20,6)/2 \times 60 = 11580$ kN

Il peso proprio totale risulta 18130 kN.

8.2 PERMANENTI PORTATI

Si considerano i seguenti carichi permanenti portati:

- | | |
|--|--|
| • Ballast (sp. convenzionale 0,80m come da normativa): | $2 \times 18 \text{ kN/m}^3 \times 0,80\text{m} \times 3,6\text{m} = 104 \text{ kN/m}$ |
| • Muri paraballast: | $4 \times 4 \text{ kN/m} = 16 \text{ kN/m}$ |
| • Cavidotti e impianti: | $2 \times 4,5 = 9 \text{ kN/m}$ |
| • Cordoli laterali: | $2 \times (25 \text{ kN/m}^3 \times 0,2 \times 0,7) = 7 \text{ kN/m}$ |
| • Velette: | $2 \times 2,50 = 5 \text{ kN/m}$ |
| • Barriere antirumore (h=4m come da normativa): | $2 \times (4 \times 4) = 2 \times 16 \text{ kN/m}$ |
| • Impermeabilizzazione: | $2 \times 0,34 \times 20 = 13,6 \text{ kN/m}$ |
| • Banchina: | $2 \times 13,5 = 27 \text{ kN/m}$ |
| • Incremento per rialzo in curva: | $1 \times 12 = 12 \text{ kN/m}$ |

Il carico permanente totale risulta pari a 225 kN/m.

8.3 EFFETTI DINAMICI

I coefficienti dinamici tengono conto delle amplificazioni dinamiche delle sollecitazioni, delle deformazioni e degli effetti delle vibrazioni della struttura. Per le usuali tipologie di ponti e per velocità di percorrenza inferiori a 220 km/h, quando la frequenza propria della struttura ricade all'interno del fuso definito dalla normativa, è sufficiente utilizzare i coefficienti dinamici definiti dalla normativa ferroviaria.

Nel caso in esame, si utilizzano i coefficienti definiti dalla normativa, in quanto la frequenza propria della struttura è al limite del fuso (§10.3).

Considerando la linea con ridotto standard manutentivo, si ottiene:

$$\Phi_3 = \frac{2,16}{\sqrt{L_\Phi} - 0,2} + 0,73 \quad \text{con la limitazione } 1,00 \leq \Phi_3 \leq 2,00$$

Per le verifiche di resistenza a fatica, si considera il coefficiente di incremento dinamico definito come:

$$\Phi_2 = \frac{1,44}{\sqrt{L_\Phi} - 0,20} + 0,82 \quad \text{con la limitazione } 1,00 \leq \Phi_2 \leq 1,67$$

APPALTATORE: <u>Consorzio</u> <u>Soci</u> HIRPINIA - ORSARA AV WEBUILD ITALIA PIZZAROTTI	ITINERARIO NAPOLI – BARI RADDOPPIO TRATTA APICE - ORSARA II LOTTO FUNZIONALE HIRPINIA - ORSARA
PROGETTAZIONE: <u>Mandataria</u> <u>Mandanti</u> ROCKSOIL S.P.A NET ENGINEERING PINI GCF ELETTRI-FER M-INGEGNERIA	
PROGETTO ESECUTIVO	COMMESSE LOTTO CODIFICA DOCUMENTO REV. FOGLIO IF3A 02 E ZZ CL VI0009 003 C 22 di 138

Per la verifica delle travi principali del ponte, si considera come lunghezza caratteristica L_Φ la luce della travata (Fig. 13) ossia 58 m, pertanto l'incremento dinamico risulta:

- $\Phi_3 = 1,02$ per le verifiche di resistenza e stabilità
- $\Phi_{2,fatica} = 1,01$ per le verifiche a fatica

Per la verifica dei traversi si fa riferimento al coefficiente di incremento dinamico definito dal considerando una lunghezza caratteristica L_Φ pari al doppio della luce delle travi trasversali, per cui si ottiene:

	L [m]	L_Φ [m]	Φ_3 [-]	$\Phi_{2,fatica}$ [-]
Traverso a sbalzo (mensola esterna)	4,0	8,0	1,55	1,37
Traverso interno ai cassoni	3,3	6,6	1,64	1,43
Traverso di collegamento dei cassoni (Lmin)	3,5	7,0	1,61	1,41
Traverso di collegamento dei cassoni (Lmax)	6,0	12	1,39	1,26

A favore di sicurezza si considera per tutti i traversi:

- $\Phi_3 = 1,64$ per le verifiche di resistenza e stabilità
- $\Phi_{2,fatica} = 1,43$ per le verifiche a fatica

Caso	Elemento strutturale	Lunghezza L_Φ
TRAVI PRINCIPALI		
5	5.1 Travi e solette semplicemente appoggiate (compresi i solettoni a travi incorporate)	Luce nella direzione delle travi principali

Fig. 13 – Coefficienti dinamici – estratto dal Manuale RFI

Caso	Elemento strutturale	Lunghezza L_Φ
IMPALCATO DI PONTE IN ACCIAIO CON BALLAST (LASTRA ORTOTROPA O STRUTTURA EQUIVALENTE)		
1	Piastra con nervature longitudinali e trasversali o solo longitudinali	
	1.1 Piastra (in entrambe le direzioni)	3 volte l'interasse delle travi trasversali
	1.2 Nervature longitudinali (comprese le mensole fino a 0,50 m) ⁽³⁾	3 volte l'interasse delle travi trasversali
	1.3 Travi trasversali intermedie	2 volte la luce delle travi trasversali
	1.4 Travi trasversali di estremità	caso più sfavorevole tra: - 2 volte la lunghezza delle travi trasversali. - 3,60 m

Fig. 14 – Coefficienti dinamici – estratto dal Manuale RFI

APPALTATORE: <u>Consorzio</u> <u>Soci</u> HIRPINIA - ORSARA AV WEBUILD ITALIA PIZZAROTTI	ITINERARIO NAPOLI – BARI RADDOPPIO TRATTA APICE - ORSARA II LOTTO FUNZIONALE HIRPINIA - ORSARA
PROGETTAZIONE: <u>Mandataria</u> <u>Mandanti</u> ROCKSOIL S.P.A NET ENGINEERING PINI GCF ELETTRI-FER M-INGEGNERIA	
PROGETTO ESECUTIVO	COMMESA LOTTO CODIFICA DOCUMENTO REV. IF3A 02 E ZZ CL VI0009 003 C FOGLIO 23 di 138

8.4 CARICHI VIAGGIANTI

Le azioni variabili verticali sono definite in accordo con il Manuale di progettazione RFI e con il D.M. 2018. In particolare si considerano due modelli di carico distinti: il primo rappresentativo del traffico normale (modello di carico LM71) ed il secondo rappresentativo del traffico pesante (modello di carico SW/2).

TRENO DI CARICO LM/71

Il treno di carico LM/71 è costituito da 4 forze concentrate di 250 kN disposte ad interasse 1,6m e da due distese di carico distribuito di 80 kN/m in entrambe le direzioni, a partire da 0,8 m di distanza dagli assi d'estremità e per una lunghezza illimitata Fig. 15).

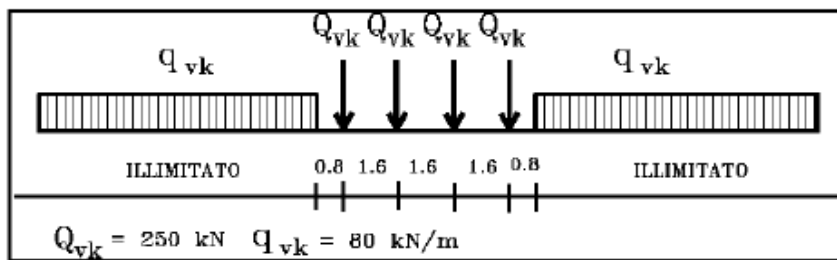


Fig. 15 – Modello di carico LM71 – estratto da D.M.2018 § 5.2.2.3.1

Il coefficiente di adattamento per questo modello di carico è $\alpha = 1,1$.

TRENO DI CARICO SW/2

Il modello di carico SW/2 schematizza gli effetti prodotti dal traffico ferroviario pesante ed è costituito da due distese di carico distribuito di 150 kN/m lunghe 25m come rappresentato in Fig. 16.

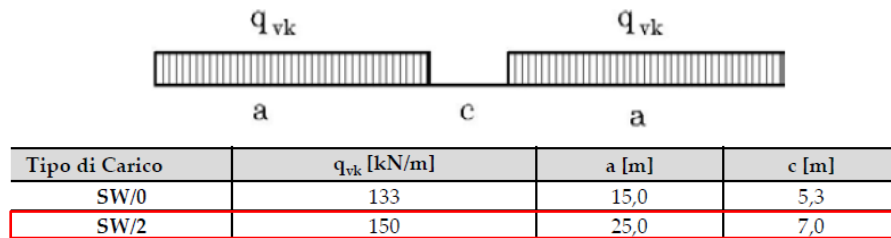


Fig. 16 – Modello di carico SW/2 – estratto da D.M.2018

Il coefficiente di adattamento per questo modello di carico è $\alpha = 1$.

8.5 CARICHI SUI MARCIAPIEDI

Il carico sui marciapiedi è definito come da normativa pari a 10 kN/m².

Questo carico non si considera contemporaneo al transito dei convogli ferroviari e non è soggetto all'incremento dinamico.

8.6 FRENATURA E AVVIAMENTO DEI TRENI

Le forze di avviamento e frenatura agiscono in sommità del binario, nella direzione longitudinale dello stesso. Si tratta di forze uniformemente distribuite su una lunghezza di binario determinata per ottenere l'effetto più gravoso sull'elemento considerato.

APPALTATORE: Consorzio <u>Soci</u> HIRPINIA - ORSARA AV WEBUILD ITALIA PIZZAROTTI	ITINERARIO NAPOLI – BARI RADDOPPIO TRATTA APICE - ORSARA II LOTTO FUNZIONALE HIRPINIA - ORSARA					
PROGETTAZIONE: Mandataria <u>Mandanti</u> ROCKSOIL S.P.A	NET ENGINEERING PINI GCF ELETTRI-FER M-INGEGNERIA					
PROGETTO ESECUTIVO	COMMESA LOTTO CODIFICA DOCUMENTO REV. IF3A 02 E ZZ CL VI0009 003 C FOGLIO FOGLIO 24 di 138					

I valori caratteristici definiti dalla normativa italiana sono (§ 5.2.2.3.3 D.M. 2018):

- Avviamento: $Q_{la,k} = 33 \text{ kN/m} \times L \leq 1000 \text{ kN}$ per treni di carico LM71, SW/0 e SW/2
- Frenatura: $Q_{lb,k} = 20 \text{ kN/m} \times L \leq 6000 \text{ kN}$ per treni di carico LM71 e SW/0
- Frenatura: $Q_{lb,k} = 35 \text{ kN/m} \times L$ per treni di carico SW/2

Nel caso di ponti a doppio binario si devono considerare due treni in transito in versi opposti, uno in fase di avviamento, l'altro in fase di frenatura, pertanto nel caso in esame risulta:

- Avviamento di LM71: $Q_{la,k} = 19 \text{ kN/m}$ applicato sull'intera lunghezza del ponte
- Frenatura di SW/2: $Q_{lb,k} = 30 \text{ kN/m}$ applicato sull'intera lunghezza del ponte (35 x 2x25m / 58m)

Questi valori caratteristici vanno moltiplicati per i coefficienti α ($\alpha_{LM71} = 1,1$ e $\alpha_{SW2} = 1,0$), ma non per l'incremento dinamico ϕ .

8.7 AZIONE CENTRIFUGA

La forza centrifuga si considera agente verso l'esterno della curva, in direzione orizzontale ed applicata alla quota di 1,80 m al di sopra del piano del ferro.

Il valore caratteristico della forza centrifuga si determina come da normativa ferroviaria, ossia:

$$Q_{tk} = \frac{v^2}{g \cdot r} \cdot (f \cdot \alpha Q_{vk}) = \frac{V^2}{127 \cdot r} \cdot (f \cdot \alpha Q_{vk}) \quad [5.2.9.a]$$

$$q_{tk} = \frac{v^2}{g \cdot r} \cdot (f \cdot \alpha q_{vk}) = \frac{V^2}{127 \cdot r} \cdot (f \cdot \alpha q_{vk}) \quad [5.2.9.b]$$

dove:

Q_{tk} - q_{tk} = valore caratteristico della forza centrifuga [kN - kN/m];

Q_{vk} - q_{vk} = valore caratteristico dei carichi verticali [kN - kN/m];

α = coefficiente di adattamento;

v = velocità di progetto espressa in m/s ;

V = velocità di progetto espressa in km/h ;

f = fattore di riduzione (definito in seguito nella 5.2.10);

g = accelerazione di gravità in m/s^2 ;

r = raggio di curvatura in m .

Valore di α	Massima velocità della linea [Km/h]	Azione centrifuga basata su:				traffico verticale associato
		V	α	f		
SW/2	≥ 100	100	1	1	1 x 1 x SW/2	$\Phi \times 1 \times \text{SW/2}$
	< 100	V	1	1	1 x 1 x SW/2	
LM71 e SW/0	> 120	V	1	f	1 x f x (LM71"+"SW/0)	$\Phi \times 1 \times 1 \times (\text{LM71}"+\text{SW}/0)$
		120	α	1	$\alpha \times 1 \times (\text{LM71}"+\text{SW}/0)$	$\Phi \times \alpha \times 1 \times (\text{LM71}"+\text{SW}/0)$
	≤ 120	V	α	1	$\alpha \times 1 \times (\text{LM71}"+\text{SW}/0)$	

Fig. 17 – Forza centrifuga - estratto dal manuale di progettazione delle opere civili "RFI DTC SI PS MA IFS 001 E"

APPALTATORE: <u>Consorzio</u> <u>Soci</u> HIRPINIA - ORSARA AV WEBUILD ITALIA PIZZAROTTI	ITINERARIO NAPOLI – BARI RADDOPPIO TRATTA APICE - ORSARA II LOTTO FUNZIONALE HIRPINIA - ORSARA
PROGETTAZIONE: <u>Mandataria</u> <u>Mandanti</u> ROCKSOIL S.P.A NET ENGINEERING PINI GCF ELETTRI-FER M-INGEGNERIA	
PROGETTO ESECUTIVO	COMMESSE IF3A LOTTO 02 CODIFICA EZ CL DOCUMENTO VI0009 003 REV. C FOGLIO 25 di 138

Il raggio di curvatura considerato è pari a 5000m.

Per il modello di carico SW2 risulta:

$V = 100 \text{ km/h}$ (la velocità di progetto della linea è di 200 km/h), $f = 1,0$ e $\alpha = 1,0$

$$Q_{tk} = Q_{vk} = 0kN$$

$$q_{tk} = \frac{v^2}{g \cdot r} \cdot (f \cdot \alpha q_{vk}) = \frac{V^2}{127 \cdot r} \cdot (f \cdot \alpha q_{vk}) = \frac{100^2}{127 \cdot 5000} \cdot (1,0 \cdot 1,0 \cdot 150) = 2,4kN/m$$

Il traffico verticale associato è pari a $\Phi \times SW/2$.

Per il modello di carico LM71 vanno considerati due casi, come da tabella in Fig. 17:

- Caso a) $V = 120 \text{ km/h}$, $f = 1,0$ e $\alpha = 1,1$

$$Q_{tk} = \frac{v^2}{g \cdot r} \cdot (f \cdot \alpha \cdot Q_{vk}) = \frac{V^2}{127 \cdot r} \cdot (f \cdot \alpha \cdot Q_{vk}) = \frac{120^2}{127 \cdot 5000} \cdot (1,0 \cdot 1,1 \cdot 250) = 6,2kN$$

$$q_{tk} = \frac{v^2}{g \cdot r} \cdot (f \cdot \alpha \cdot q_{vk}) = \frac{V^2}{127 \cdot r} \cdot (f \cdot \alpha \cdot q_{vk}) = \frac{120^2}{127 \cdot 5000} \cdot (1,0 \cdot 1,1 \cdot 80) = 2,0kN/m$$

Caso b) $V = 200 \text{ km/h}$, $\alpha = 1$, $f = 0,64$ (con $L_f = 58 \text{ m}$)

$$Q_{tk} = \frac{v^2}{g \cdot r} \cdot (f \cdot \alpha \cdot Q_{vk}) = \frac{V^2}{127 \cdot r} \cdot (f \cdot \alpha \cdot Q_{vk}) = \frac{200^2}{127 \cdot 5000} \cdot (0,66 \cdot 1,0 \cdot 250) = 10,0kN$$

$$q_{tk} = \frac{v^2}{g \cdot r} \cdot (f \cdot \alpha \cdot q_{vk}) = \frac{V^2}{127 \cdot r} \cdot (f \cdot \alpha \cdot q_{vk}) = \frac{200^2}{127 \cdot 5000} \cdot (0,66 \cdot 1,0 \cdot 80) = 3,2kN/m$$

Il traffico verticale associato è pari a $\Phi \times LM/71$.

Nel modello di calcolo si considera solamente il caso (b) in quanto più gravoso per il ponte in esame.

8.8 SERPEGGIO

Come definito nel D.M. 2018, “l’azione laterale indotta dal serpeggio si considera come una forza concentrata agente orizzontalmente, applicata alla sommità della rotaia più alta, perpendicolarmente all’asse del binario”. La forza applicata è di 100 kN.

Questo valore caratteristico va moltiplicato per il coefficiente α , ma non per l’incremento dinamico ϕ .

8.9 RITIRO E VISCOSITA' DEL CALCESTRUZZO

La sezione mista è soggetta ad uno stato di coazione dovuto al ritiro della soletta in c.a.

L’effetto del ritiro del calcestruzzo viene valutato secondo D.M. 2018 § 11.2.10.6 e 7.

I parametri per il calcolo sono i seguenti:

- Modulo elastico del calcestruzzo: $E_m = 33\,643 \text{ MPa}$
- dimensione fittizia: $h_0 = 2xAc/u = 2x7\,720\,000/19\,700 = 784 \text{ mm}$

APPALTATORE: <u>Consorzio</u> <u>Soci</u> HIRPINIA - ORSARA AV WEBUILD ITALIA PIZZAROTTI	ITINERARIO NAPOLI – BARI RADDOPPIO TRATTA APICE - ORSARA II LOTTO FUNZIONALE HIRPINIA - ORSARA
PROGETTAZIONE: <u>Mandataria</u> <u>Mandanti</u> ROCKSOIL S.P.A NET ENGINEERING PINI GCF ELETTRI-FER M-INGEGNERIA	
PROGETTO ESECUTIVO	COMMESSE IF3A LOTTO 02 CODIFICA EZ CL DOCUMENTO VI0009 003 REV. C FOGLIO 26 di 138

- resistenza caratteristica del calcestruzzo $R_{ck} = 40 \text{ MPa}$
- resistenza cilindrica del calcestruzzo $f_{ck} = 32 \text{ MPa}$
- umidità relativa RH pari al 75 % $\rightarrow k_h = 0,7$

f_{ck}	Deformazione da ritiro per essiccamiento (in %)					
	Umidità Relativa (in %)					
	20	40	60	80	90	100
20	-0,62	-0,58	-0,49	-0,30	-0,17	+0,00
40	-0,48	-0,46	-0,38	-0,24	-0,13	+0,00
60	-0,38	-0,36	-0,30	-0,19	-0,10	+0,00
80	-0,30	-0,28	-0,24	-0,15	-0,07	+0,00

Fig. 18 – Valori di ϵ_0 – tabella 11.2.Va del D.M. 2018

- deformazione per ritiro da essiccamiento $\epsilon_{c0} = -300 \times 10^{-6}$
- deformazione da ritiro per essiccamiento a tempo infinito $\epsilon_{cd,\infty} = k_h \times \epsilon_{c0} = -210 \times 10^{-6}$
- deformazione per ritiro autogeno a tempo infinito $\epsilon_{ca,\infty} = -2.5 (f_{ck} - 10) \times 10^{-6} = -55 \times 10^{-6}$

La deformazione totale per ritiro risulta:

$$\epsilon_{cs} = \epsilon_{cd,\infty} + \epsilon_{ca,\infty} = -265 \times 10^{-6}$$

Si considera l'utilizzo di additivi anti-ritiro che consentono di ottener un valore di contrazione per ritiro:

$$\epsilon = \epsilon_{cs}/2 = -134 \times 10^{-6}$$

Considerando di applicare il carico al tempo $t_0 = 28$ giorni, il coefficiente di viscosità al tempo infinito risulta:

$$\varphi(t, t_0) = 1,63$$

Il modulo elastico del calcestruzzo a lungo termine pertanto risulta:

$$E_{c\infty} = E_{cm} / (1+\varphi) = 12\,792 \text{ MPa.}$$

8.10 VARIAZIONE TERMICHE

8.10.1 UNIFORME

La variazione termica uniforme da considerare per un impalcato in struttura mista acciaio – calcestruzzo è di $+/- 15^\circ\text{C}$. Si aggiunge inoltre una differenza di temperatura di 5°C tra la soletta in calcestruzzo e la trave in acciaio.

8.10.2 NON UNIFORME

Si considera un gradiente di temperatura di 5°C fra estradosso ed intradosso impalcato.

8.11 VENTO

Secondo la normativa di riferimento (D.M. 17/01/2018 - §5.1.3.7) l'azione del vento è convenzionalmente pari ad un carico orizzontale statico, diretto ortogonalmente all'asse del ponte. La pressione del vento è definita come:

$$p = q_b \times C_e \times C_p \times C_d$$

dove:

- q_b è la pressione cinetica di riferimento calcolata come $\frac{1}{2} \times \rho \times v_b^2$
- C_e è il coefficiente di esposizione
- C_p è il coefficiente aerodinamico

APPALTATORE: <u>Consorzio</u> <u>Soci</u> HIRPINIA - ORSARA AV WEBUILD ITALIA PIZZAROTTI	ITINERARIO NAPOLI – BARI RADDOPPIO TRATTA APICE - ORSARA II LOTTO FUNZIONALE HIRPINIA - ORSARA
PROGETTAZIONE: <u>Mandataria</u> <u>Mandanti</u> ROCKSOIL S.P.A NET ENGINEERING PINI GCF ELETTRI-FER M-INGEGNERIA	
PROGETTO ESECUTIVO	COMMESSE IF3A LOTTO 02 CODIFICA E ZZ CL DOCUMENTO VI0009 003 REV. C FOGLIO 27 di 138

- c_d è il coefficiente dinamico (si assume pari ad 1,0)

L'opera oggetto della presente è situata in zona 3 (Toscana, Marche, Umbria, Lazio, Abruzzo, Molise, Puglia, Campania, Basilicata, Calabria (esclusa la provincia di Reggio Calabria), pertanto i parametri di riferimento sono:

- $v_{b,0} = 27$ [m/s] – definita dalla normativa per un tempo di ritorno di 50 anni
- $v_{b,0} = 28,1$ [m/s] – calcolata come da normativa per un tempo di ritorno di 100 anni
- $a_0 = 500$ [m]
- $k_a = 0,02$ [1/s]

Si ottiene una pressione cinetica di riferimento q_b di 0,492 kN/m².



Fig. 19 – mappa delle zone in cui è diviso il territorio italiano per l'azione del vento – D.M.2018

Per il calcolo del coefficiente di esposizione si considera una classe di rugosità D (area priva di ostacoli), una zona 3 e di conseguenza una categoria II da cui si ottengono i seguenti parametri:

- $k_r = 0,19$ [-]
- $z_0 = 0,05$ [m]
- $z_{min} = 4,0$ [m]

Ad un'altezza di riferimento $z = 10$ m risulta pertanto un coefficiente di esposizione c_e pari a 2,35.

Il coefficiente di pressione si determina secondo le indicazioni specifiche per i ponti riportate nella normativa europea (Fig. 20) e risulta:

- larghezza variabile da $b = 18$ m a $b = 20,6$ m
- altezza totale $d_{tot} = 10,1$ m
- rapporto $b / d_{tot} = 1,8 \div 2,04$
- coefficiente di forza sul ponte: $c_{f,x} = 1,87$

APPALTATORE: <u>Consorzio</u> <u>Soci</u> HIRPINIA - ORSARA AV WEBUILD ITALIA PIZZAROTTI	PROGETTAZIONE: <u>Mandataria</u> <u>Mandanti</u> ROCKSOIL S.P.A NET ENGINEERING PINI GCF ELETTRI-FER M-INGEGNERIA
PROGETTO ESECUTIVO	

ITINERARIO NAPOLI – BARI

RADDOPPIO TRATTA APICE - ORSARA II LOTTO FUNZIONALE HIRPINIA - ORSARA

COMMESA LOTTO CODIFICA DOCUMENTO REV.
IF3A 02 E ZZ CL VI0009 003 C FOGLIO
PROGETTO ESECUTIVO

figura 8.3 Coefficiente di forza per i ponti, $c_{fx,0}$

Legenda

- 1 Tipo di ponte
- 2 Travi reticolari separatamente
- a) Fase di costruzione o parapetti aperti (aperti più del 50%)
- b) Con parapetti o barriere antirumore o traffico

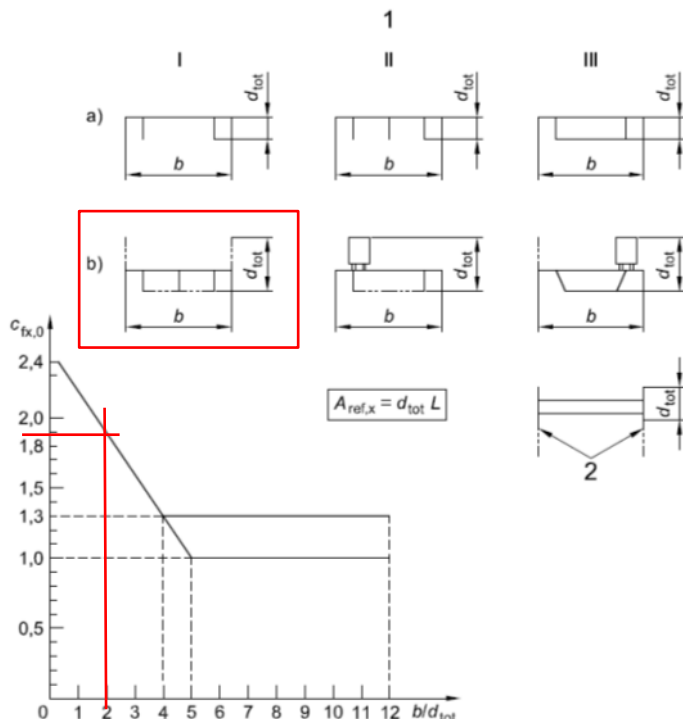


Fig. 20 – Coefficienti di Forza per i ponti – EN1991

La pressione del vento totale agente sul ponte risulta:

$$p = 0,492 \times 2,35 \times 1,87 \times 1,0 = 2,2 \text{ kN/m}^2$$

Si assume una pressione totale del vento pari a 2,6 kN/m².

Pertanto le azioni del vento sui vari elementi del ponte sono:

- azione totale sulle travi d'impalcato: $q = 2,6 \text{ kN/m}^2 \times 4,25\text{m} = 11,05 \text{ kN/m}$
- su soletta e armamento (fino al piano del ferro): $q = 2,6 \text{ kN/m}^2 \times 1,25\text{m} = 3,25 \text{ kN/m}$
- sulla barriera antirumore ($h = 4,6\text{m}$ come da normativa): $q = 2,6 \text{ kN/m}^2 \times 4,6\text{m} = 12 \text{ kN/m}$
- sul convoglio ferroviario ($h = 4\text{m}$ come da normativa): $q = 2,6 \text{ kN/m}^2 \times 4\text{m} = 10,4 \text{ kN/m}$

L'azione del vento agente sulle travi principali viene ripartita con riferimento alle travi multiple del D.M.2018 poste ad una distanza d non maggiore del doppio dell'altezza, considerando un coefficiente di solidità ϕ pari ad 1,0, per cui risulta:

- vento su trave 1: $q = 8,85 \text{ kN/m}$
- vento su trave 2 ($d = 3,3\text{m} < 2 \times 4,25 = 8,5\text{m}$): $q = 0,2 \times 8,85 = 1,77 \text{ kN/m}$
- vento su trave 3 ($d = 3,5 \div 6 \text{ m} < 2 \times 4,25 = 8,5\text{m}$): $q = 0,2 \times 1,77 = 0,35 \text{ kN/m}$
- vento su trave 4 ($d = 3,3\text{m} < 2 \times 4,25 = 8,5\text{m}$): $q = 0,2 \times 0,35 = 0,07 \text{ kN/m}$

La somma delle azioni risulta pari a $8,85 + 1,77 + 0,35 + 0,07 = 11,05 \text{ kN/m}$.

APPALTATORE: <u>Consorzio</u> <u>Soci</u> HIRPINIA - ORSARA AV WEBUILD ITALIA PIZZAROTTI	ITINERARIO NAPOLI – BARI RADDOPPIO TRATTA APICE - ORSARA II LOTTO FUNZIONALE HIRPINIA - ORSARA
PROGETTAZIONE: <u>Mandataria</u> <u>Mandanti</u> ROCKSOIL S.P.A NET ENGINEERING PINI GCF ELETTRI-FER M-INGEGNERIA	
PROGETTO ESECUTIVO	COMMESMA IF3A LOTTO 02 CODIFICA EZ CL DOCUMENTO VI0009 003 REV. C FOGLIO 29 di 138

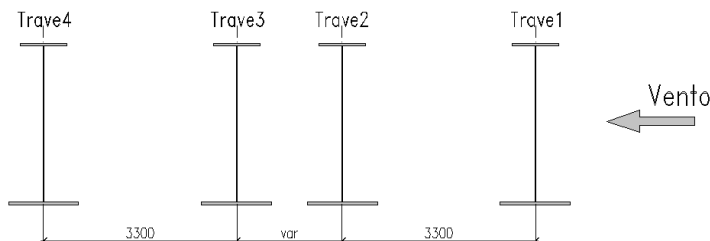


Fig. 21 – Ripartizione dell'azione del vento sulle travi principali

8.12 AZIONI SISMICHE

Gli spettri di progetto definiti sono stati determinati a partire dalle coordinate, la vita nominale, la classe d'uso, le categorie topografiche e di sottosuolo e in base allo stato limite da considerare.

In particolare per i viadotti in oggetto, con riferimento al DM2008:

- Long = 15.28056; Lat = 41.24107
- Vn = 75 anni
- classe d'uso=III dunque Cu = 1,5
- TR = 1068 anni
- Categoria di sottosuolo C
- Categoria topografica T1
- Stato limite considerato SLV
- Fattore di struttura: q = 1

Gli spettri di progetto in direzione orizzontale e verticale sono illustrati in Fig. 22 e Fig. 23.

L'azione sismica si determina tenendo conto delle masse associate ai carichi gravitazionali secondo la relazione:

$$G_1 + G_2 + \sum_j \psi_{2j} Q_{kj}$$

dove:

- G_1 e G_2 rappresentano le masse dei pesi propri e dei carichi permanenti
- $\psi_{2j} Q_{kj}$ rappresenta il 20% della massa corrispondente al carico da traffico ($\psi_{2j} = 0,2$)

APPALTATORE: <u>Consorzio</u> <u>Soci</u> HIRPINIA - ORSARA AV WEBUILD ITALIA PIZZAROTTI	ITINERARIO NAPOLI - BARI RADDOPPIO TRATTA APICE - ORSARA II LOTTO FUNZIONALE HIRPINIA - ORSARA
PROGETTAZIONE: <u>Mandataria</u> <u>Mandanti</u> ROCKSOIL S.P.A NET ENGINEERING PINI GCF ELETTRI-FER M-INGEGNERIA	
PROGETTO ESECUTIVO	COMMESA IF3A LOTTO 02 CODIFICA E ZZ CL DOCUMENTO VI0009 003 REV. C FOGLIO 30 di 138

Spettri di risposta (componenti orizz. e vert.) per lo stato limite: SLV

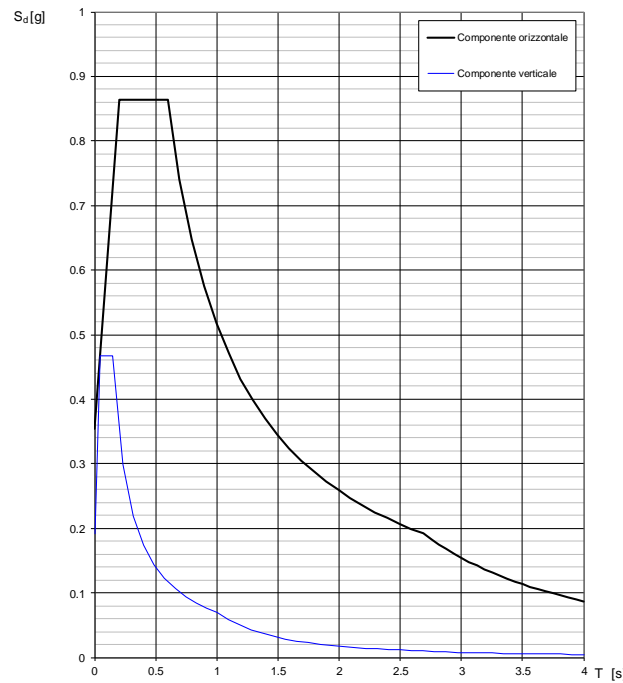


Fig. 22 – Spettro di risposta di progetto – componente orizzontale e verticale

Parametri indipendenti		Parametri indipendenti	
STATO LIMITE	SLV	STATO LIMITE	SLV
a_g	0.273 g	a_{gv}	0.192 g
F_0	2.435	S_S	1.000
T_C^*	0.431 s	S_T	1.000
S_S	1.302	q	1.000
C_C	1.387	T_B	0.050 s
S_T	1.000	T_C	0.150 s
q	1.000	T_D	1.000 s

Parametri dipendenti		Parametri dipendenti	
S	1.302	F_v	1.716
η	1.000	S	1.000
T_B	0.199 s	η	1.000
T_C	0.597 s		
T_D	2.690 s		

Fig. 23 – Parametri dello spettro di risposta – componente orizzontale (a sinistra) e verticale (a destra)

APPALTATORE: <u>Consorzio</u> <u>Soci</u> HIRPINIA - ORSARA AV WEBUILD ITALIA PIZZAROTTI	ITINERARIO NAPOLI - BARI RADDOPPIO TRATTA APICE - ORSARA II LOTTO FUNZIONALE HIRPINIA - ORSARA
PROGETTAZIONE: <u>Mandataria</u> <u>Mandanti</u> ROCKSOIL S.P.A NET ENGINEERING PINI GCF ELETTRI-FER M-INGEGNERIA	
PROGETTO ESECUTIVO	COMMESA LOTTO CODIFICA DOCUMENTO REV. IF3A 02 E ZZ CL VI0009 003 C FOGLIO 31 di 138

8.13 DERAGLIAMENTO

Il deragliamento è un'azione derivante dall'esercizio ferroviario che deve essere considerata quale azione eccezionale.

- Caso 1: Si devono considerare due carichi verticali lineari $q_{A1d} = 60 \text{ kN/m}$ ciascuno, posizionati longitudinalmente su una lunghezza di 6,40 m, ad una distanza trasversale pari allo scartamento S. Il carico più eccentrico tra i due deve essere posto ad una distanza massima di 1,5xs dall'asse dei binari (con $s = 1435 \text{ mm}$).

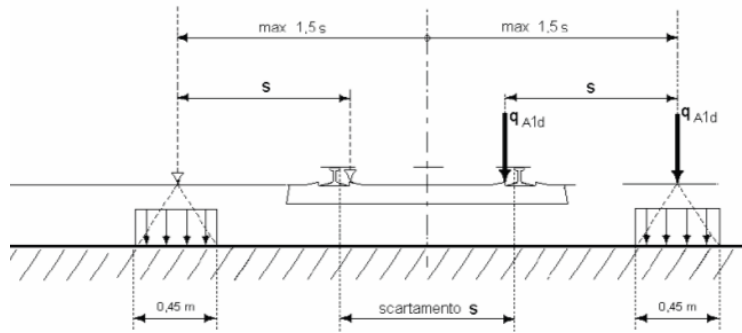


Fig. 24 – Deragliamento – caso 1

- Caso 2: Si deve considerare un unico carico lineare $q_{A2d} = 80 \times 1.4 \text{ kN/m}$ esteso per 20 m e disposto con una eccentricità massima, lato esterno, di 1,5xs rispetto all'asse del binario.

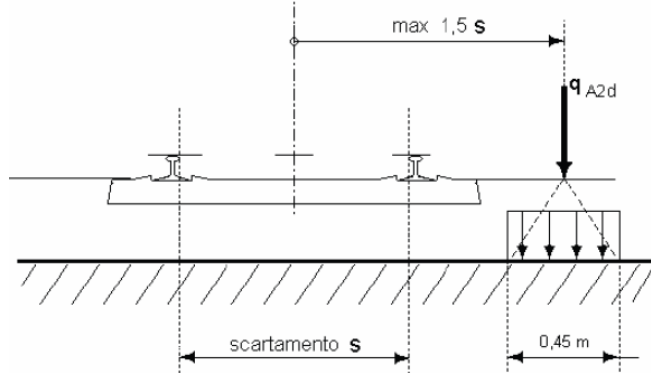


Fig. 25 – Deragliamento – caso 2

Nel caso in esame la forza di deragliamento non è presa in esame per le verifiche globali, in quanto non dimensionante.

APPALTATORE: <u>Consorzio</u> <u>Soci</u> HIRPINIA - ORSARA AV WEBUILD ITALIA PIZZAROTTI	ITINERARIO NAPOLI – BARI RADDOPPIO TRATTA APICE - ORSARA II LOTTO FUNZIONALE HIRPINIA - ORSARA
PROGETTAZIONE: <u>Mandataria</u> <u>Mandanti</u> ROCKSOIL S.P.A NET ENGINEERING PINI GCF ELETTRI-FER M-INGEGNERIA	
PROGETTO ESECUTIVO	COMMESSE IF3A LOTTO 02 CODIFICA EZ CL DOCUMENTO VI0009 003 REV. C FOGLIO 32 di 138

9 COMBINAZIONI

Le azioni descritte ai paragrafi precedenti vengono combinate tramite opportuni coefficienti, come definito dalla normativa per ponti ferroviari.

Ai fini delle verifiche agli stati limite, la normativa definisce le seguenti combinazioni di carico:

- Combinazione fondamentale, generalmente impiegata per gli stati limite ultimi (SLU):

$$\gamma_{G1} \cdot G_1 + \gamma_{G2} \cdot G_2 + \gamma_P \cdot P + \gamma_{Q1} \cdot Q_{k1} + \gamma_{Q2} \cdot Q_{k2} + \gamma_{Q3} \cdot Q_{k3} + \dots \quad (2.5.1)$$

- Combinazione caratteristica (rara), generalmente impiegata per gli stati limite di esercizio (SLE) irreversibili, da utilizzarsi nelle verifiche alle tensioni ammissibili di cui al § 2.7:

$$G_1 + G_2 + P + Q_{k1} + \psi_{02} \cdot Q_{k2} + \psi_{03} \cdot Q_{k3} + \dots \quad (2.5.2)$$

- Combinazione frequente, generalmente impiegata per gli stati limite di esercizio (SLE) reversibili:

$$G_1 + G_2 + P + \psi_{11} \cdot Q_{k1} + \psi_{22} \cdot Q_{k2} + \psi_{23} \cdot Q_{k3} + \dots \quad (2.5.3)$$

- Combinazione quasi permanente (SLE), generalmente impiegata per gli effetti a lungo termine:

$$G_1 + G_2 + P + \psi_{21} \cdot Q_{k1} + \psi_{22} \cdot Q_{k2} + \psi_{23} \cdot Q_{k3} + \dots \quad (2.5.4)$$

- Combinazione sismica, impiegata per gli stati limite ultimi e di esercizio connessi all'azione sismica E (v. § 3.2):

$$E + G_1 + G_2 + P + \psi_{21} \cdot Q_{k1} + \psi_{22} \cdot Q_{k2} + \dots \quad (2.5.5)$$

- Combinazione eccezionale, impiegata per gli stati limite ultimi connessi alle azioni eccezionali di progetto A_d (v. § 3.6):

$$G_1 + G_2 + P + A_d + \psi_{21} \cdot Q_{k1} + \psi_{22} \cdot Q_{k2} + \dots \quad (2.5.6)$$

Fig. 26 – Combinazioni delle azioni: § 2.5.3 D.M. 2018

I coefficienti parziali per le combinazioni agli SLU sono evidenziati in Fig. 27.

Tab. 5.2.V - Coefficienti parziali di sicurezza per le combinazioni di carico agli SLU

Coefficiente		EQU ⁽¹⁾	A1	A2
Azioni permanenti	favorevoli	γ_{G1}	0,90	1,00
	sfavorevoli		1,10	1,35
Azioni permanenti non strutturali ⁽²⁾	favorevoli	γ_{G2}	0,00	0,00
	sfavorevoli		1,50	1,50
Ballast ⁽³⁾	favorevoli	γ_B	0,90	1,00
	sfavorevoli		1,50	1,50
Azioni variabili da traffico ⁽⁴⁾	favorevoli	γ_Q	0,00	0,00
	sfavorevoli		1,45	1,45
Azioni variabili	favorevoli	γ_{Qi}	0,00	0,00
	sfavorevoli		1,50	1,50
Precompressione	favorevole	γ_P	0,90	1,00
	sfavorevole		1,00 ⁽⁵⁾	1,00 ⁽⁶⁾
Ritiro, viscosità e cedimenti non imposti appositamente	favorevole	γ_{Ce}	0,00	0,00
	sfavorevole	d	1,20	1,20

Fig. 27 – Coefficienti parziali di sicurezza per le combinazioni di carico agli SLU: tabella 5.2.V § 5.2.3.2 D.M. 2018

APPALTATORE: <u>Consorzio</u> <u>Soci</u> HIRPINIA - ORSARA AV WEBUILD ITALIA PIZZAROTTI	ITINERARIO NAPOLI – BARI RADDOPPIO TRATTA APICE - ORSARA II LOTTO FUNZIONALE HIRPINIA - ORSARA
PROGETTAZIONE: <u>Mandataria</u> <u>Mandanti</u> ROCKSOIL S.P.A NET ENGINEERING PINI GCF ELETTRI-FER M-INGEGNERIA	
PROGETTO ESECUTIVO	COMMESSE IF3A LOTTO 02 CODIFICA EZ CL DOCUMENTO VI0009 003 REV. C FOGLIO 33 di 138

I coefficienti di combinazione Ψ sono riportati in Fig. 28

Tabella 5.2.VI - Coefficienti di combinazione Ψ delle azioni.

Azioni		Ψ_0	Ψ_1	Ψ_2
Azioni singole da traffico	Carico sul rilevato a tergo delle spalle	0,80	0,50	0,0
	Azioni aerodinamiche generate dal transito dei convogli	0,80	0,50	0,0
Gruppi di carico	gr ₁	0,80 ⁽²⁾	0,80 ⁽¹⁾	0,0
	gr ₂	0,80 ⁽²⁾	0,80 ⁽¹⁾	-
	gr ₃	0,80 ⁽²⁾	0,80 ⁽¹⁾	0,0
	gr ₄	1,00	1,00 ⁽¹⁾	0,0
Azioni del vento	F _{Wk}	0,60	0,50	0,0
Azioni da neve	in fase di esecuzione	0,80	0,0	0,0
	SLU e SLE	0,0	0,0	0,0
Azioni termiche	T _k	0,60	0,60	0,50

(1) 0,80 se è carico solo un binario, 0,60 se sono carichi due binari e 0,40 se sono carichi tre o più binari.

(2) Quando come azione di base venga assunta quella del vento, i coefficienti ψ_0 relativi ai gruppi di carico delle azioni da traffico vanno assunti pari a 0,0.

Fig. 28 – Coefficienti di combinazione: tabella 5.2.VI § 5.2.3 D.M. 2018

Nel caso di ponti ferroviari è necessario tenere in considerazione la contemporaneità dei treni secondo quanto previsto dalla normativa Fig. 29. Nel caso in esame, trattandosi di due binari, si considera un treno LM71 su un binario ed un treno SW2 sull'altro, configurazione corrispondente alla condizione di traffico pesante.

Tab. 5.2.III - Carichi mobili in funzione del numero di binari presenti sul ponte

Numero di binari	Binari	Traffico normale		Traffico pesante ⁽²⁾
		Carichi	caso a ⁽¹⁾	caso b ⁽¹⁾
1	Primo	1,0 (LM 71"+SW/0)	-	1,0 SW/2
2	Primo	1,0 (LM 71"+SW/0)	-	1,0 SW/2
	secondo	1,0 (LM 71"+SW/0)	-	1,0 (LM 71"+SW/0)
≥ 3	Primo	1,0 (LM 71"+SW/0)	0,75 (LM 71"+SW/0)	1,0 SW/2
	secondo	1,0 (LM 71"+SW/0)	0,75 (LM 71"+SW/0)	1,0 (LM 71"+SW/0)
	Altri	-	0,75 (LM 71"+SW/0)	-

⁽¹⁾ LM71 "+" SW/0 significa considerare il più sfavorevole fra i treni LM 71, SW/0

⁽²⁾ Salvo i casi in cui sia esplicitamente escluso

Fig. 29 – Carichi mobili in funzione del numero di binari: tabella 5.2.III § 5.2.3 D.M. 2018

Gli effetti dei carichi verticali dovuti alla presenza dei convogli sono combinati con le altre azioni derivanti dal traffico ferroviario, adottando i coefficienti indicati nella tabella in Fig. 30:

Tab. 5.2.IV - Valutazione dei carichi da traffico

TIPO DI CARICO	Azioni verticali		Azioni orizzontali			Commenti
	Carico verticale (1)	Treno scarico	Frenatura e avviamento	Centrifuga	Serpeggio	
Gruppi di carico						
Gruppo 1 (2)	1,0	-	0,5 (0,0)	1,0 (0,0)	1,0 (0,0)	massima azione verticale e laterale
Gruppo 2 (2)	-	1,0	0,0	1,0 (0,0)	1,0 (0,0)	stabilità laterale
Gruppo 3 (2)	1,0 (0,5)	-	1,0	0,5 (0,0)	0,5 (0,0)	massima azione longitudinale
Gruppo 4	0,8 (0,6;0,4)	-	0,8 (0,6;0,4)	0,8 (0,6;0,4)	0,8 (0,6;0,4)	Fessurazione

(1) Includendo tutti i valori (F; a; etc..)

(2) La simultaneità di due o tre valori caratteristici interi (assunzione di diversi coefficienti pari ad 1,0), sebbene improbabile, è stata considerata come semplificazione per i gruppi di carico 1,2 e 3 senza che ciò abbia significative conseguenze progettuali

I valori campiti in grigio rappresentano l'azione dominante

Fig. 30 – Valutazione dei carichi da traffico: tabella 5.2.IV § 5.2.3 D.M. 2018

Le tabelle seguenti riassumono le combinazioni di carico agli Stati Limite Ultimi e agli Stati Limite di Esercizio considerate per la verifica della struttura. Per ogni combinazione sono indicati i coefficienti massimi e minimi: nel combinare i carichi si considera il coefficiente più gravoso tra i due.

Nelle tabelle seguenti sono riportate quattro condizioni di carico sia per le azioni di serpeggio sia per la forza centrifuga. Queste quattro condizioni sono dovute alla necessità di rappresentare queste forze nel modello come condizioni statiche lineari. Si rimanda al paragrafo relativo per ulteriori dettagli.

APPALTATORE:											
<u>Consorzio</u>				<u>Soci</u>							
HIRPINIA - ORSARA AV WEBUILD ITALIA						PIZZAROTTI					
PROGETTAZIONE:											
Mandataria	Mandanti										
ROCKSOIL S.P.A	NET ENGINEERING	PINI	GCF								
	ELETTRI-FER	M-INGEGNERIA	M-INGEGNERIA								
PROGETTO ESECUTIVO						COMMessa	LOTTO	CODIFICA	DOCUMENTO	REV.	FOGLIO
						IF3A	02	E ZZ CL	V10009 003	C	35 di 138

		Gia	Gic	G2-tot	Q1.3-RIT	Q1a_Lm71max	Q1a_Lm71min	Q1b_Lm71max	Q1b_Lm71min	Q2a_SWzmax	Q2a_SWzmin	Q2b_SWzmax	Q2b_SWzmin	Q3a_Lm71	Q4a_SW2	Q4b_SW2	Q9_U	Q10_Brad	Q14_v1	Q15_v1	Q16_v1	Q14_v2	Q15_v2	Q16_v2	Q7_P4	Q7_P7	Q7_P8	Q8_P4	Q8_P7	Q8_P8	Q8_P13	Q5_Lm71-P4	Q5_Lm71-P7	Q5_Lm71-P8	Q5_Lm71-P13	Q6_SW2-P4	Q6_SW2-P7	Q6_SW2-P8	Q6_SW2-P13
SLU3b	max	1.35	1.35	1.5	1.2	0	0	1.48	1.48	0	0	1.48	1.48	0	0	0.73	0.73	0.9	0.9	0.9	0	0	0	0	1.58	0	0	0	1.45	0	0	0	1.58	0	0	0	0		
	min	1	1	1	0	0	0	1	1	0	0	1	1	0	0	0.73	-0.73	-0.9	-0.9	0	0	0	0	-1.58	0	0	0	-1.45	0	0	0	-1.58	0	0	0	0			
SLU4b	max	1.35	1.35	1.5	1.2	0	0	1.48	1.48	0	0	0	0	0	0	0.73	0	0.9	0.9	0.9	0	0	0	0	-1.58	0	0	0	-1.45	0	0	0	-1.58	0	0	0	0		
	min	1	1	1	0	0	0	1	1	0	0	0	0	0	0	0	-0.73	0	-0.9	-0.9	0	0	0	0	-1.58	0	0	0	-1.45	0	0	0	-1.58	0	0	0	0		
SLU5b	max	1.35	1.35	1.5	1.2	0	0	0	0	0	0	1.48	1.48	0	0	0	0.73	0.9	0.9	0.9	0	0	0	0	0	0	0	0	0	0	1.45	0	0	0	0	0	0	0	
	min	1	1	1	0	0	0	0	0	0	0	1	1	0	0	0	-0.73	0	-0.9	-0.9	0	0	0	0	0	0	0	0	0	0	0	-1.45	0	0	0	0	0	0	0
SLU6b	max	1.35	1.35	1.5	1.2	0	0	1.48	1.48	0	0	1.48	1.48	0	0	0.73	0.73	0.9	0.9	0	0	0	0	0	0	1.58	0	0	0	1.45	0	0	0	1.58	0	0	0	0	
	min	1	1	1	0	0	0	1	1	0	0	1	1	0	0	-0.73	-0.73	-0.9	-0.9	0	0	0	0	-1.58	0	0	0	-1.45	0	0	0	-1.58	0	0	0	0			
SLU7b	max	1.35	1.35	1.5	1.2	0	0	1.18	1.18	0	0	1.18	1.18	0	0	0.58	0.58	1.5	1.5	0.9	0	0	0	0	1.28	0	0	0	1.16	0	0	0	1.28	0	0	0	0		
	min	1	1	1	0	0	0	1	1	0	0	1	1	0	0	-0.58	-0.58	-1.5	-1.5	0	0	0	0	-1.28	0	0	0	-1.16	0	0	0	-1.28	0	0	0	0			
SLU8b	max	1.35	1.35	1.5	1.2	0	0	1.18	1.18	0	0	0	0	0	0	0.58	0	1.5	1.5	0.9	0	0	0	0	1.28	0	0	0	1.28	0	0	0	1.28	0	0	0	0		
	min	1	1	1	0	0	0	1	1	0	0	0	0	0	0	-0.58	0	-1.5	-1.5	0	0	0	0	-1.28	0	0	0	-1.16	0	0	0	-1.28	0	0	0	0			
SLU9b	max	1.35	1.35	1.5	1.2	0	0	0	0	0	0	1.18	1.18	0	0	0	0.58	0	1.5	1.5	0.9	0	0	0	0	1.16	0	0	0	1.16	0	0	0	1.16	0	0	0	0	
	min	1	1	1	0	0	0	0	0	0	0	1	1	0	0	-0.58	-0.58	-1.5	-1.5	0	0	0	0	-1.16	0	0	0	-1.16	0	0	0	-1.16	0	0	0	0			
SLU10b	max	1.35	1.35	1.5	1.2	0	0	1.18	1.18	0	0	1.18	1.18	0	0	0	0.58	0.58	1.5	1.5	0.9	0	0	0	0	1.28	0	0	0	1.16	0	0	0	1.28	0	0	0	0	
	min	1	1	1	0	0	0	1	1	0	0	1	1	0	0	-0.58	-0.58	-1.5	-1.5	0	0	0	0	-1.28	0	0	0	-1.16	0	0	0	-1.28	0	0	0	0			
SLU3c	max	1.35	1.35	1.5	1.2	0	0	1.48	1.48	0	0	1.48	1.48	0	0	0.73	0.73	0.9	0.9	0.9	0	0	0	0	1.58	0	0	0	1.45	0	0	0	1.58	0	0	0	0		
	min	1	1	1	0	0	0	1	1	0	0	1	1	0	0	-0.73	-0.73	-0.9	-0.9	0	0	0	0	-1.58	0	0	0	-1.45	0	0	0	-1.58	0	0	0	0			
SLU4c	max	1.35	1.35	1.5	1.2	0	0	1.48	1.48	0	0	0	0	0	0	0.73	0	0.9	0.9	0.9	0	0	0	0	1.58	0	0	0	1.58	0	0	0	1.58	0	0	0	0		
	min	1	1	1	0	0	0	1	1	0	0	0	0	0	0	-0.73	0	-0.9	-0.9	0	0	0	0	-1.58	0	0	0	-1.45	0	0	0	-1.58	0	0	0	0			
SLU5c	max	1.35	1.35	1.5	1.2	0	0	0	0	0	0	1.48	1.48	0	0	0	0.73	0.73	0.9	0.9	0.9	0	0	0	0	1.45	0	0	0	1.45	0	0	0	1.45	0	0	0	0	
	min	1	1	1	0	0	0	0	0	0	0	1	1	0	0	-0.73	-0.73	-0.9	-0.9	0	0	0	0	-1.45	0	0	0	-1.45	0	0	0	-1.45	0	0	0	0			
SLU6c	max	1.35	1.35	1.5	1.2	0	0	1.58	1.58	0	0	1.58	1.58	0	0	0.73	0.73	0	0.9	0.9	0	0	0	0	1.45	0	0	0	1.45	0	0	0	1.45	0	0	0	0		
	min	1	1	1	0	0	0	0	0	0	0	0	0	0	0	-0.73	-0.73	-0.9	-0.9	0	0	0	0	-1.45	0	0	0	-1.45	0	0	0	-1.45	0	0	0	0			
SLU7c	max	1.35	1.35	1.5	1.2	0	0	0	0	0	0	1.58	1.58	0	0	0	0.73	0.73	0.9	0.9	0.9	0	0	0	0	1.45	0	0	0	1.45	0	0	0	1.45	0	0	0	0	
	min	1	1	1	0	0	0	0	0	0	0	1	1	0	0	-0.73	-0.73	-0.9	-0.9	0	0	0	0	-1.45	0	0	0	-1.45	0	0	0	-1.45	0	0	0	0			
SLU8c	max	1.35	1.35	1.5	1.2	0	0	0	0	0	0	1.58	1.58	0	0	0	0.73	0.73	0.9	0.9	0.9	0	0	0	0	1.45	0	0	0	1.45	0	0	0	1.45	0	0	0	0	
	min	1	1	1	0	0	0	0	0	0	0	0	0	0	0	-0.73	-0.73	-0.9	-0.9	0	0	0	0	-1.45	0	0	0	-1.45	0	0	0	-1.45	0	0	0	0			
SLU9c	max	1.35	1.35	1.5	1.2	0	0	0	0	0	0	1.58	1.58	0	0	0	0.73	0.73	0	0.9	0.9	0	0	0	0	1.58	0	0	0	1.58	0	0	0	1.58	0	0	0	0	
	min	1	1	1	0	0	0	0	0	0	0	0	0	0	0	-0.73	-0.73	-0.9	-0.9	0	0	0	0	-1.45	0	0	0	-1.45	0	0	0	-1.45	0	0	0	0			
SLU10c	max	1.35	1.35	1.5	1.2	0	0	1.26	1.26	0	0	1.26	1.26	0	0	0.58	0.58	0	0.9	0.9	0	0	0	0	1.45	0	0	0	1.45	0	0	0	1.45	0	0	0	0		
	min	1	1	1	0	0	0	0	0	0	0	0	0	0	0	-0.58	-0.58	-0.9	-0.9	0	0	0	0	-1.45	0	0	0	-1.45	0	0	0	-1.45	0	0	0	0			
SLU3d	max	1.35	1.35	1.5	1.2	0	0	1.48	1.48	0	0	0.73	0.73	0	0	0.9	0.9	0.9	0	0	0	0	0	0	1.58	0	0	0	1.45	0	0	0	1.58	0	0	0	0		
	min	1	1	1	0	0	0	1	1	0	0	0	0	0	0	-0.73	-0.73	-0.9	-0.9	0	0	0	0	-1.58	0	0	0	-1.45	0	0	0	-1.58	0	0	0	0			
SLU4d	max	1.35	1.35	1.5	1.2	0	0	1.48	1.48	0	0	0	0	0	0	0.73	0	0.9	0.9	0.9	0	0	0	0	1.58	0</td													

APPALTATORE: Consorzio <u>Soci</u> HIRPINIA - ORSARA AV WEBUILD ITALIA PIZZAROTTI												ITINERARIO NAPOLI - BARI RADDOPPIO TRATTA APICE - ORSARA II LOTTO FUNZIONALE HIRPINIA - ORSARA							
PROGETTAZIONE: Mandataria <u>Mandanti</u> ROCKSOIL S.P.A NET ENGINEERING PINI GCF ELETTRI-FER M-INGEGNERIA																			
PROGETTO ESECUTIVO												COMMESSE IF3A	LOTTO 02	CODIFICA EZ CL	DOCUMENTO VI0009 003	REV. C	FOGLIO 36 di 138		

		G1a	G1c	G2-tot	Q1.3-RIT	Q1a_Lm71max	Q1a_Lm71min	Q1b_Lm71max	Q1b_Lm71min	Q2a_Sw2max	Q2a_Sw2min	Q2b_Sw2max	Q2b_Sw2min	Q9_U	Q10_Brad	Q14_v1	Q15_v1	Q16_v1	Q14_v2	Q15_v2	Q16_v2	Q7_P4	Q7_P7	Q7_P8	Q8_P7	Q8_P8	Q8_P13	Q5_IM71_P4	Q5_IM71_P7	Q5_IM71_P8	Q5_IM71_P13	Q6_SW2_P4	Q6_SW2_P7	Q6_SW2_P8	Q6_SW2_P13				
SLU3d	max	1.35	1.35	1.5	1.2	0	0	1.48	1.48	0	0	1.48	1.48	0	0	0.73	0.73	0.9	0.9	0.9	0	0	0	0	0	0	0	1.45	0	0	0	1.58	0	0	0	0			
	min	1	1	1	0	0	0	1	1	0	0	1	1	0	0	0.73	0.73	0.9	0.9	0	0	0	0	0	0	0	0	1.45	0	0	0	1.58	0	0	0	0			
SLU4d	max	1.35	1.35	1.5	1.2	0	0	1.48	1.48	0	0	0	0	0	0	0.73	0	0.9	0.9	0	0	0	0	0	0	0	0	0	1.45	0	0	0	0	0	0	0			
	min	1	1	1	0	0	0	1	1	0	0	0	0	0	0	0	0.73	0	0.9	0.9	0	0	0	0	0	0	0	0	0	1.45	0	0	0	0	0	0	0		
SLU5d	max	1.35	1.35	1.5	1.2	0	0	0	0	0	0	1.48	1.48	0	0	0	0.73	0	0.9	0.9	0	0	0	0	0	0	0	0	1.45	0	0	0	0	0	0	0			
	min	1	1	1	0	0	0	0	0	0	0	1	1	0	0	0	0	0.73	0	0.9	0.9	0	0	0	0	0	0	0	0	1.45	0	0	0	0	0	0	0		
SLU6d	max	1.35	1.35	1.5	1.2	0	0	1.48	1.48	0	0	1.48	1.48	0	0	0.73	0	0.9	0.9	0	0	0	0	0	0	0	0	1.45	0	0	0	0	0	0	0				
	min	1	1	1	0	0	0	1	1	0	0	1	1	0	0	0	0.73	0	0.9	0.9	0	0	0	0	0	0	0	0	1.45	0	0	0	0	0	0	0			
SLU7d	max	1.35	1.35	1.5	1.2	0	0	1.18	1.18	0	0	1.18	1.18	0	0	0.58	0.58	1.5	1.5	0.9	0	0	0	0	0	0	0	1.28	0	0	0	0	0	0	0				
	min	1	1	1	0	0	0	1	1	0	0	1	1	0	0	0	0.58	0.58	1.5	1.5	0.9	0	0	0	0	0	0	1.28	0	0	0	0	0	0	0				
SLU8d	max	1.35	1.35	1.5	1.2	0	0	1.18	1.18	0	0	0	0	0	0	0.58	0	1.5	1.5	0.9	0	0	0	0	0	0	0	1.28	0	0	0	0	0	0	0				
	min	1	1	1	0	0	0	1	1	0	0	0	0	0	0	0	0.58	0	1.5	1.5	0.9	0	0	0	0	0	0	1.28	0	0	0	0	0	0	0				
SLU9d	max	1.35	1.35	1.5	1.2	0	0	0	0	0	0	1.18	1.18	0	0	0	0.58	0	1.5	1.5	0.9	0	0	0	0	0	0	1.16	0	0	0	0	0	0	0				
	min	1	1	1	0	0	0	0	0	0	0	1	1	0	0	0	0.58	0	1.5	1.5	0.9	0	0	0	0	0	0	1.16	0	0	0	0	0	0	0				
SLU10d	max	1.35	1.35	1.5	1.2	0	0	1.18	1.18	0	0	1.18	1.18	0	0	0	0.58	0.58	1.5	1.5	0	0	0	0	0	0	0	1.28	0	0	0	0	0	0	0				
	min	1	1	1	0	0	0	1	1	0	0	1	1	0	0	0	0.58	0.58	1.5	1.5	0	0	0	0	0	0	0	1.28	0	0	0	0	0	0	0				
SLU3c	max	1.35	1.35	1.5	1.2	1.58	1.58	0	0	1.58	1.58	0	0	0.73	0.73	0	0	0.9	0.9	0	0	0	0	0	0	0	1.45	0	0	0	0	0	0	0					
	min	1	1	1	0	1.09	1.09	0	0	1.09	1.09	0	0	0	0	-0.73	-0.73	0	0	-0.9	-0.9	0	0	0	0	0	0	1.45	0	0	0	0	0	0	0				
SLU4c	max	1.35	1.35	1.5	1.2	1.58	1.58	0	0	0	0	0	0	0	0	0.73	0	0	0	0.9	0.9	0	0	0	0	0	0	1.58	0	0	0	0	0	0	0				
	min	1	1	1	0	1.09	1.09	0	0	1.09	1.09	0	0	0	0	0	-0.73	-0.73	0	0	-0.9	-0.9	0	0	0	0	0	1.58	0	0	0	0	0	0	0				
SLU5c	max	1.35	1.35	1.5	1.2	1.58	1.58	0	0	0	0	0	0	0	0	0.73	0	0	0	0.9	0.9	0	0	0	0	0	0	1.45	0	0	0	0	0	0	0				
	min	1	1	1	0	0	0	0	0	0	0	1.09	1.09	0	0	0	0	-0.73	-0.73	0	0	-0.9	-0.9	0	0	0	0	0	1.45	0	0	0	0	0	0	0			
SLU6c	max	1.35	1.35	1.5	1.2	1.58	1.58	0	0	1.58	1.58	0	0	0.73	0.73	0	0	0.9	0.9	0	0	0	0	0	0	0	1.45	0	0	0	0	0	0	0					
	min	1	1	1	0	1.09	1.09	0	0	1.09	1.09	0	0	0	0	-0.73	-0.73	0	0	-0.9	-0.9	0	0	0	0	0	1.45	0	0	0	0	0	0	0					
SLU7c	max	1.35	1.35	1.5	1.2	1.26	1.26	0	0	1.26	1.26	0	0	0.58	0.58	0	0	1.5	1.5	0.9	0	0	0	0	0	0	0	1.16	0	0	0	0	0	0	0				
	min	1	1	1	0	0.87	0.87	0	0	0.87	0.87	0	0	0	0	0.58	0.58	0	0	-1.5	-1.5	0	0	0	0	0	0	-1.16	0	0	0	0	0	0	0				
SLU8c	max	1.35	1.35	1.5	1.2	1.26	1.26	0	0	0	0	0	0	0	0	0.58	0	0	0	1.5	1.5	0.9	0	0	0	0	0	0	0	1.28	0	0	0	0	0	0	0		
	min	1	1	1	0	0.87	0.87	0	0	0	0	0	0	0	0	-0.58	0	0	0	-1.5	-1.5	0	0	0	0	0	0	0	-1.28	0	0	0	0	0	0	0			
SLU9c	max	1.35	1.35	1.5	1.2	0	0	0	0	0	0	1.26	1.26	0	0	0	0.58	0	0	0	1.5	1.5	0.9	0	0	0	0	0	0	-1.45	0	0	0	0	0	0	0		
	min	1	1	1	0	0	0	0	0	0	0	1.26	1.26	0	0	0	0	-0.58	0	0	0	-1.5	-1.5	0	0	0	0	0	0	-1.45	0	0	0	0	0	0	0		
SLU10c	max	1.35	1.35	1.5	1.2	1.26	1.26	0	0	1.26	1.26	0	0	0	0	0.58	0.58	0	0	1.5	1.5	0.9	0	0	0	0	0	0	0	1.28	0	0	0	0	0	0	0		
	min	1	1	1	0	0.87	0.87	0	0	0.87	0.87	0	0	0	0	-0.58	-0.58	0	0	-1.5	-1.5	0	0	0	0	0	0	0	-1.28	0	0	0	0	0	0	0			
SLU3d	max	1.35	1.35	1.5	1.2	0	0	1.48	1.48	0	0	1.48	1.48	0	0	0	0.73	0.73	0.9	0.9	0.9	0	0	0	0	0	0	0	0	0	0	1.58	0	0	0	0	0	0	0
	min	1	1	1	0	0	0	1	1	0	0	1	1	0	0	0	0.73	0.73	0.9	0.9	0.9	0	0	0	0	0	0	0	0	-1.58	0	0	0	0	0	0	0		
SLU4d	max	1.35	1.35	1.5	1.2	0	0	1.48	1.48	0	0	0	0	0	0	0.73	0	0.9	0.9	0.9	0	0	0	0	0	0	0	0	0	0	0	0	0	0	0	0	0		
	min	1	1	1	0	0	0	1	1	0	0	0	0	0	0	0	0.73	0	0.9	0.9	0.9	0	0	0	0	0	0	0	0	-1.58	0	0	0	0	0	0	0		
SLU5d	max	1.35	1.35	1.5	1.2	0	0	0	0	0	0	1.48	1.48	0	0	0	0.73	0.73	0.9	0.9	0.9	0	0																

Fig. 32 – Combinazioni SLE

Fig. 33 – Combinazioni per SISMA

APPALTATORE: <u>Consorzio</u> <u>Soci</u> HIRPINIA - ORSARA AV WEBUILD ITALIA PIZZAROTTI	ITINERARIO NAPOLI – BARI RADDOPPIO TRATTA APICE - ORSARA II LOTTO FUNZIONALE HIRPINIA - ORSARA
PROGETTAZIONE: <u>Mandataria</u> <u>Mandanti</u> ROCKSOIL S.P.A NET ENGINEERING PINI GCF ELETTRI-FER M-INGEGNERIA	
PROGETTO ESECUTIVO	COMMESMA IF3A LOTTO 02 CODIFICA E ZZ CL DOCUMENTO VI0009 003 REV. C FOGLIO 39 di 138

10 IMPALCATO – EFFETTI GLOBALI

10.1 MODELLO DI CALCOLO

Per l'analisi delle sollecitazioni si ricorre al metodo degli elementi finiti, modellando l'impalcato con elementi beam, geometricamente collocati in corrispondenza dell'asse baricentrico reale.

Gli elementi beam (in blu in Fig. 34) rappresentano la sezione mista acciaio – calcestruzzo di una singola trave, omogeneizzata ad acciaio.

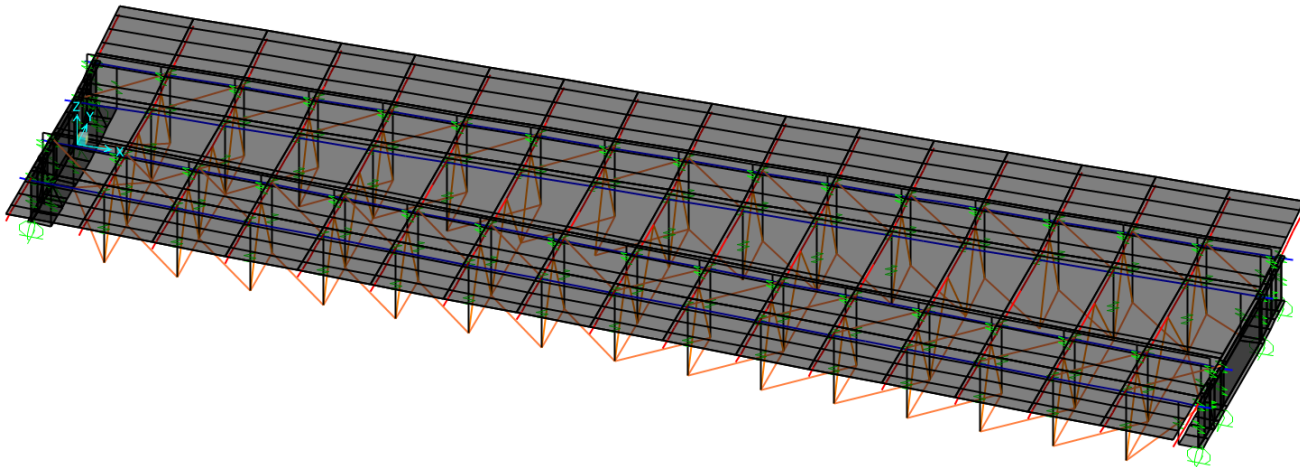


Fig. 34 – Modello FEM – vista 3D (completa)

Le aste di diaframma e dei controventi orizzontali (superiori ed inferiori) sono rappresentate da elementi beam posizionati nel loro asse baricentrico. Gli elementi sono collegati in corrispondenza dei nodi tramite elementi link rigidi, in modo da rappresentare la posizione reale degli elementi.

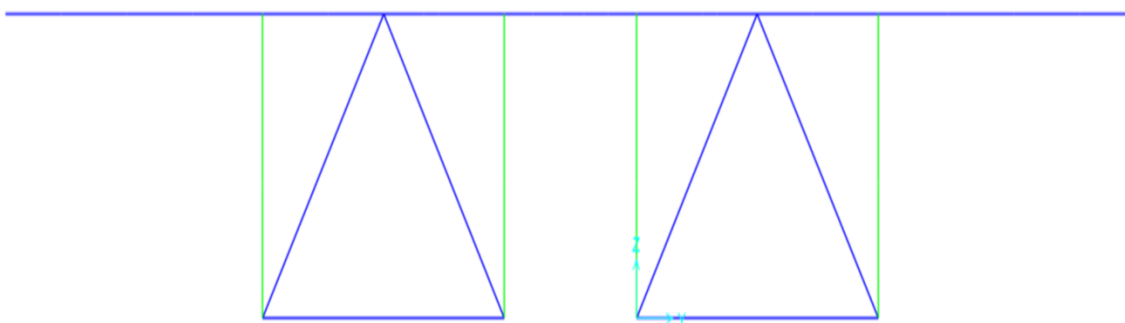


Fig. 35 – Modello FEM: sezione con diaframma tipico

Inoltre, per rappresentare correttamente la rigidezza tagliente fornita dalla soletta in calcestruzzo, sono stati utilizzati elementi shell posizionati nel piano medio della soletta ed aventi lo spessore della soletta, ma con la sola rigidezza tagliente assegnata, ponendo pari a zero tutte le altre caratteristiche statiche.

Gli assi globali X, Y e Z del modello indicano rispettivamente la direzione longitudinale, trasversale e verticale dell'impalcato.

APPALTATORE: <u>Consorzio</u> <u>Soci</u> HIRPINIA - ORSARA AV WEBUILD ITALIA PIZZAROTTI	ITINERARIO NAPOLI – BARI RADDOPPIO TRATTA APICE - ORSARA II LOTTO FUNZIONALE HIRPINIA - ORSARA
PROGETTAZIONE: <u>Mandataria</u> <u>Mandanti</u> ROCKSOIL S.P.A NET ENGINEERING PINI GCF ELETTRI-FER M-INGEGNERIA	
PROGETTO ESECUTIVO	COMMESSE IF3A LOTTO 02 CODIFICA E ZZ CL DOCUMENTO VI0009 003 REV. C FOGLIO 40 di 138

Gli apparecchi d'appoggio sono stati modellati in maniera tale da riprodurre lo schema di vincolo riportato negli elaborati grafici (Fig. 8) con eccezione per il doppio vincolo fisso previsto da progetto. Infatti, per tener conto del gioco tra il dispositivo di appoggio e la contropiasta superiore, è stato rappresentato nel modello solamente un appoggio di tipo fisso; l'altro appoggio è stato considerato unidirezionale, liberando cioè gli spostamenti in direzione trasversale.

La successiva sovrapposizione nel tempo degli effetti dovuti alle fasi di vita della struttura è considerata realizzando 3 modelli distinti, come descritto di seguito:

Fase I

Tale fase coincide con la posa in opera delle travi metalliche e getto della soletta in calcestruzzo; la sezione resistente della trave è relativa alle sole travi principali, essendo la soletta in calcestruzzo non ancora collaborante; i carichi agenti sono quelli dovuti al peso proprio delle travi metalliche ed al getto della soletta in cls.

Fase II

In fase II vengono considerati agenti i carichi a lungo termine, ovvero:

- azioni permanenti (peso del ballast, dei massetti, ..)
- ritiro della soletta in calcestruzzo,

La sezione resistente per le travi principali è quella composta acciaio – calcestruzzo; si tiene conto, per i carichi di tale fase, dell'influenza della viscosità, omogeneizzando le aree in calcestruzzo ad acciaio secondo opportuni coefficienti di omogeneizzazione n definiti come rapporto tra il modulo elastico dell'acciaio e del calcestruzzo.

Fase III

In tale fase si considera, di volta in volta, la presenza di tutti i contributi di carico di tipo istantaneo, ovvero:

- carichi viaggianti ed azioni collegate
- vento
- variazioni termiche

La sezione resistente per le travi principali è ancora quella composta acciaio – calcestruzzo; anche in questo caso si assegna agli elementi frame la sezione mista omogeneizzata ad acciaio tramite opportuno coefficiente di omogeneizzazione $n = E_a / E_c$.

Per la valutazione della larghezza collaborante della soletta sono state prese a riferimento le prescrizioni del D.M. 2018.

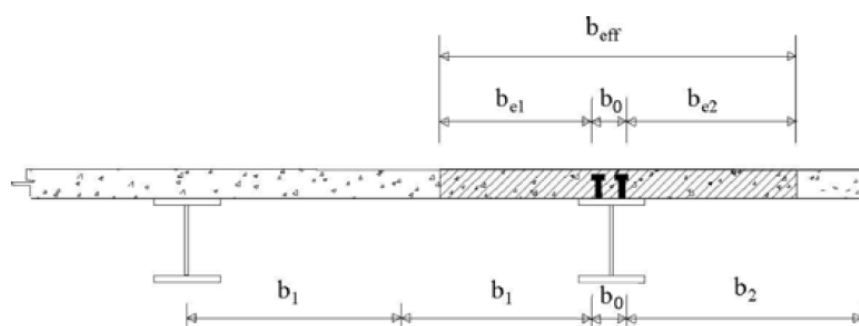


Fig. 36 – NRC 2018 - Definizione della larghezza efficace b_{eff} e delle aliquote b_{ei}

APPALTATORE:		
Consorzio	Soci	
HIRPINIA - ORSARA AV WEBUILD ITALIA		PIZZAROTTI
PROGETTAZIONE:		
Mandataria	Mandanti	
ROCKSOIL S.P.A	NET ENGINEERING	PINI GCF
	ELETTRI-FER	M-INGEGNERIA
PROGETTO ESECUTIVO		

ITINERARIO NAPOLI – BARI
RADDOPPIO TRATTA APICE - ORSARA
II LOTTO FUNZIONALE HIRPINIA - ORSARA

COMMESA LOTTO CODIFICA DOCUMENTO REV. FOGLIO
 IF3A 02 E ZZ CL VI0009 003 C 41 di 138

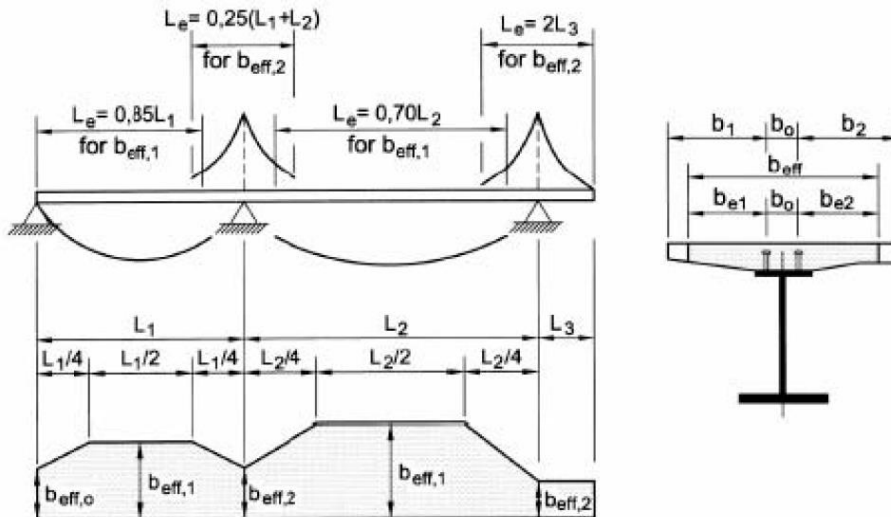


Fig. 37 – NRC 2018 - Larghezza efficace, b_{eff} , e luci equivalenti, L_e , per le travi continue

L_e indica approssimativamente la distanza tra due punti di nullo del diagramma dei momenti, pertanto per le travi in semplice appoggio si assume la luce teorica tra gli appoggi.

Interassi travi in P3

	Trave in semplice appoggio Luce di calcolo																					
	$L_e = 58\ 000 \text{ mm}$		sbalzo lat.		int.pioli		interasse travi bordo		int.pioli		interasse travi centrali		int.pioli		interasse travi bordo		int.pioli		sbalzo lat.	Bsoletta		
mm	mm	mm	mm	mm	mm	mm	mm	mm	mm	mm	mm	mm	mm	mm	mm	mm	mm	mm	mm	mm		
$b_2 + b_0/2$	b_0	$2*(b_1+b_0/2)$	b_0		$2*(b_1+b_0/2)$	b_0	$2*(b_1+b_0/2)$	b_0	$2*(b_1+b_0/2)$	b_0	$2*(b_1+b_0/2)$	b_0	$2*(b_1+b_0/2)$	b_0	$2*(b_1+b_0/2)$	b_0	$b_2 + b_0/2$	Σ				
4 000	480	3 300	480		3 525	480	3 300	480	3 300	480	3 300	480	3 300	480	3 300	480	4 000	18 125				
campata	b_{e2}	b_0	b_{e1}	b_0		b_{e1}	b_0	b_{e1}	b_0	b_{e1}	b_0	b_{e1}	b_0	b_{e1}	b_0	b_{e2}						
	3 760	480	1 410	480		1 523	480	1 410	480	1 410	480	1 410	480	1 410	480	3 760						
	Trave laterale		Trave centrale														Trave centrale		Trave laterale			
	5 650		3 413														3 413		5 650		18 125	

Interassi in mezzeria

	Trave in semplice appoggio Luce di calcolo																					
	$L_e = 58\ 000 \text{ mm}$		sbalzo lat.		int.pioli		interasse travi bordo		int.pioli		interasse travi centrali		int.pioli		interasse travi bordo		int.pioli		sbalzo lat.	Bsoletta		
mm	mm	mm	mm	mm	mm	mm	mm	mm	mm	mm	mm	mm	mm	mm	mm	mm	mm	mm	mm			
$b_2 + b_0/2$	b_0	$2*(b_1+b_0/2)$	b_0		$2*(b_1+b_0/2)$	b_0	$2*(b_1+b_0/2)$	b_0	$2*(b_1+b_0/2)$	b_0	$2*(b_1+b_0/2)$	b_0	$2*(b_1+b_0/2)$	b_0	$2*(b_1+b_0/2)$	b_0	$b_2 + b_0/2$	Σ				
4 000	480	3 300	480		4 770	480	3 300	480	3 300	480	3 300	480	3 300	480	3 300	480	4 000	19 370				
campata	b_{e2}	b_0	b_{e1}	b_0		b_{e1}	b_0	b_{e1}	b_0	b_{e1}	b_0	b_{e1}	b_0	b_{e1}	b_0	b_{e2}						
	3 760	480	1 410	480		2 145	480	1 410	480	1 410	480	1 410	480	1 410	480	3 760						
	Trave laterale		Trave centrale														Trave centrale		Trave laterale			
	5 650		4 035														4 035		5 650		19 370	

APPALTATORE: <u>Consorzio</u> <u>Soci</u> HIRPINIA - ORSARA AV WEBUILD ITALIA PIZZAROTTI	ITINERARIO NAPOLI – BARI RADDOPPIO TRATTA APICE - ORSARA II LOTTO FUNZIONALE HIRPINIA - ORSARA
PROGETTAZIONE: <u>Mandataria</u> <u>Mandanti</u> ROCKSOIL S.P.A NET ENGINEERING PINI GCF ELETTRI-FER M-INGEGNERIA	
PROGETTO ESECUTIVO	COMMESA LOTTO CODIFICA DOCUMENTO REV. FOGLIO IF3A 02 E ZZ CL VI0009 003 C 42 di 138

Interassi travi in P2

Trave in semplice appoggio Luce di calcolo										
L _e	58 000 mm									
sbalzo lat.	int.pioli	interasse travi bordo	int.pioli	interasse travi centrali	int.pioli	interasse travi bordo	int.pioli	sbalzo lat.	Bsoletta	
mm	mm	mm	mm	mm	mm	mm	mm	mm	mm	
b ₂ + b ₀ /2	b ₀	2*(b ₁ +b ₀ /2)	b ₀	2*(b ₁ +b ₀ /2)	b ₀	2*(b ₁ +b ₀ /2)	b ₀	b ₂ + b ₀ /2	Σ	
4 000	480	3 300	480	6 060	480	3 300	480	4 000	20 660	
campata	b _{e2}	b ₀	b _{e1}	b ₀	b _{e1}	b ₀	b _{e1}	b ₀	b _{e2}	
	3 760	480	1 410	480	2 790	480	1 410	480	3 760	
	Trave laterale	Trave centrale			Trave centrale	Trave centrale	Trave laterale	Trave laterale		
	5 650		4 680			4 680		5 650		20 660

Fig. 38 – NRC 2018 – Calcolo della Larghezza efficace per le travi centrali e laterali

Si assumono pertanto le seguenti larghezze efficaci:

- 5,5 m per le travi laterali costanti su tutta la lunghezza
- 3,5 m per le travi centrali lato pila P3
- 4,0 m per le travi centrali zona di campata
- 4,7 m per le travi centrali lato pila P2

APPALTATORE: <u>Consorzio</u> <u>Soci</u> HIRPINIA - ORSARA AV WEBUILD ITALIA PIZZAROTTI	ITINERARIO NAPOLI - BARI RADDOPPIO TRATTA APICE - ORSARA II LOTTO FUNZIONALE HIRPINIA - ORSARA
PROGETTAZIONE: <u>Mandataria</u> <u>Mandanti</u> ROCKSOIL S.P.A NET ENGINEERING PINI GCF ELETTRI-FER M-INGEGNERIA	
PROGETTO ESECUTIVO	COMMESA IF3A LOTTO 02 CODIFICA E ZZ CL DOCUMENTO VI0009 003 REV. C FOGLIO 43 di 138

10.1.1 VALIDAZIONE DEL MODELLO

Per validare il modello di calcolo descritto al paragrafo precedente, si confrontano i parametri di sollecitazione calcolati dal modello FEM con quelli calcolati manualmente considerando due diverse distribuzioni di carico.

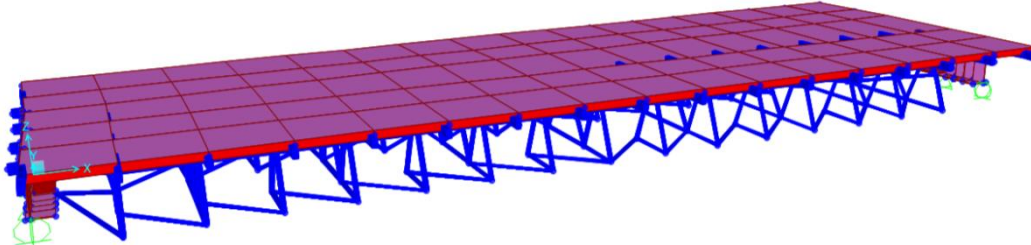


Fig. 39 – Modello FEM – vista 3D (completa)

A partire dal modello di Fase III, alle travi principali vengono applicati separatamente dei carichi uniformemente distribuito pari a 60 kN/m

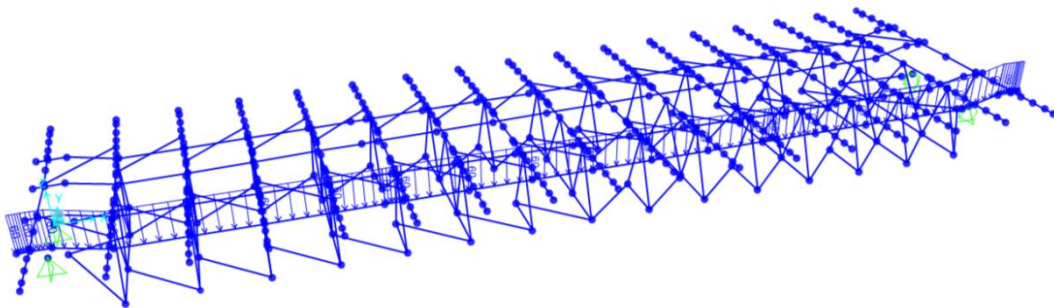


Fig. 40 – Modello FEM – carico uniformemente distribuito applicato alla prima trave

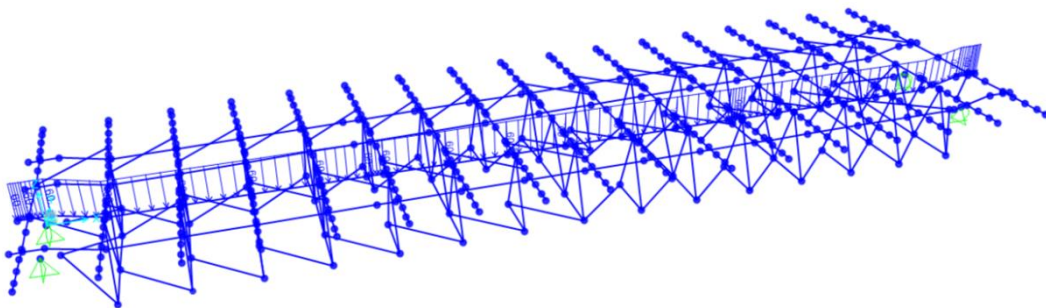


Fig. 41 – Modello FEM – carico uniformemente distribuito applicato alla seconda trave

APPALTATORE: <u>Consorzio</u> <u>Soci</u> HIRPINIA - ORSARA AV WEBUILD ITALIA PIZZAROTTI	ITINERARIO NAPOLI - BARI RADDOPPIO TRATTA APICE - ORSARA II LOTTO FUNZIONALE HIRPINIA - ORSARA
PROGETTAZIONE: <u>Mandataria</u> <u>Mandanti</u> ROCKSOIL S.P.A NET ENGINEERING PINI GCF ELETTRI-FER M-INGEGNERIA	
PROGETTO ESECUTIVO	COMMESA IF3A LOTTO 02 CODIFICA E ZZ CL DOCUMENTO VI0009 003 REV. C FOGLIO 44 di 138

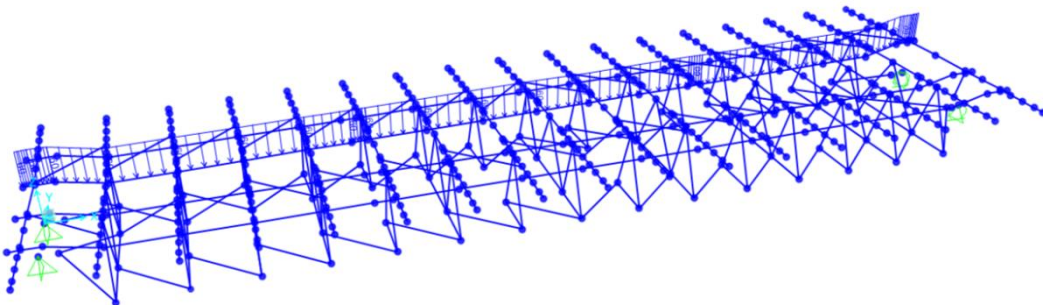


Fig. 42 – Modello FEM – carico uniformemente distribuito applicato alla terza trave

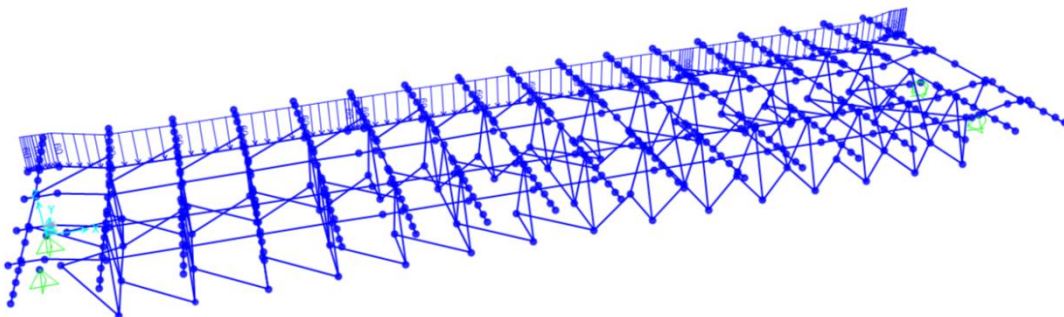


Fig. 43 – Modello FEM – carico uniformemente distribuito applicato alla quarta trave

Sommando i 4 carichi si ottengono le seguenti reazioni vincolari

Joint	F1	F2	F3	Σ	appoggio
Text	kN	kN	kN	kN	kN
P1-F1	7	0	2081	7119	P3
P1-F2	-7	0	1731		
P1-M1	0	0	1590		
P1-M2	0	0	1717		
P2-M1	0	0	1873	7118	P2
P2-M2	0	0	1631		
P2-M3	0	0	1761		
P2-U	0	0	1853		

Il carico applicato è pari a $60 \times 59.18 \times 4 / 2 = 7101.6$ kN e risulta equivalente a quanto calcolato dal modello, a meno della lunghezza del cassone in allungamento in quanto di poco più lungo dei 59.18 m.

APPALTATORE: <u>Consorzio</u> <u>Soci</u> HIRPINIA - ORSARA AV WEBUILD ITALIA PIZZAROTTI	ITINERARIO NAPOLI – BARI RADDOPPIO TRATTA APICE - ORSARA II LOTTO FUNZIONALE HIRPINIA - ORSARA					
PROGETTAZIONE: <u>Mandataria</u> <u>Mandanti</u> ROCKSOIL S.P.A NET ENGINEERING ELETTRI-FER PINI GCF M-INGEGNERIA						
PROGETTO ESECUTIVO	COMMESA IF3A	LOTTO 02	CODIFICA EZ CL	DOCUMENTO VI0009 003	REV. C	FOGLIO 45 di 138

Il diaframma del momento flettente M3 calcolato dal modello FEM risulta il seguente.

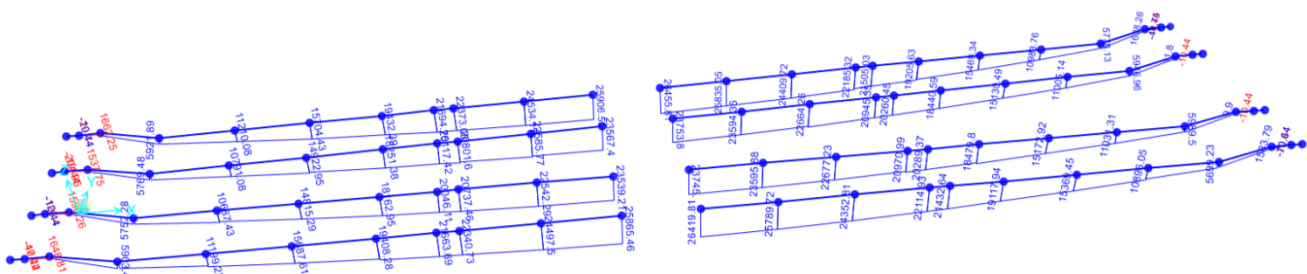


Fig. 44 – Modello FEM – momento flettente verticale dovuto ai 4 carichi sopra indicati (dall'immagine è stato nascosto il frame centrale della trave di bordo, per una migliore leggibilità dei risultati)

Sommando i momenti flettenti si ottiene un momento totale pari a:

$$M_{\text{tot}} = 26419 + 23745 + 23753 + 26455 = 100372 \text{ kNm}$$

Il momento teorico è pari a:

$$M_{\text{teorico}} = 1/8 \times 60 \times 58^2 \times 4 = 100920 \text{ kNm}$$

$$\Delta = M_{\text{tot}} / M_{\text{teorico}} = 0.995$$

I risultati si possono considerare equivalenti.

Ad ulteriore controllo si applica un carico uniformemente distribuito sui traversi di impalcato pari a 24 kN/m (lunghezza media pari a 19.26 m).

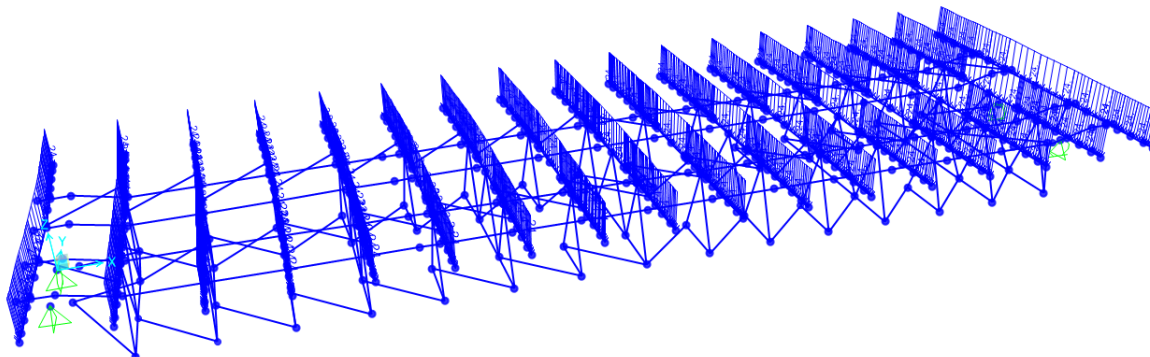


Fig. 45 – Modello FEM – carico uniformemente distribuito applicato ai traversi

Il carico totale applicato è pari a $Q = 24 \times 19.26 \times 17 = 7859 \text{ kN}$

Le reazioni vincolari del modello sono pari complessivamente a 7806 kN, con una differenza dello 0,7%

Joint	F1	F2	F3	Σ	appoggio
Text	kN	kN	kN	kN	kN
P1-F1	45	0	987	3805	P3
P1-F2	-45	-3	785		
P1-M1	0	0	1031		
P1-M2	0	0	1002		

APPALTATORE: <u>Consorzio</u> <u>Soci</u> HIRPINIA - ORSARA AV WEBUILD ITALIA PIZZAROTTI	ITINERARIO NAPOLI – BARI RADDOPPIO TRATTA APICE - ORSARA II LOTTO FUNZIONALE HIRPINIA - ORSARA					
PROGETTAZIONE: <u>Mandataria</u> <u>Mandanti</u> ROCKSOIL S.P.A NET ENGINEERING ELETTRI-FER PINI GCF M-INGEGNERIA						
PROGETTO ESECUTIVO	COMMESA IF3A	LOTTO 02	CODIFICA EZ CL	DOCUMENTO VI0009 003	REV. C	FOGLIO 46 di 138

P2-M1	0	0	931	4001	P2	
P2-M2	0	0	446			
P2-M3	0	0	833			
P2-U	0	3	518			

La distribuzione dei momenti flettenti sulle travi risulta la seguente.

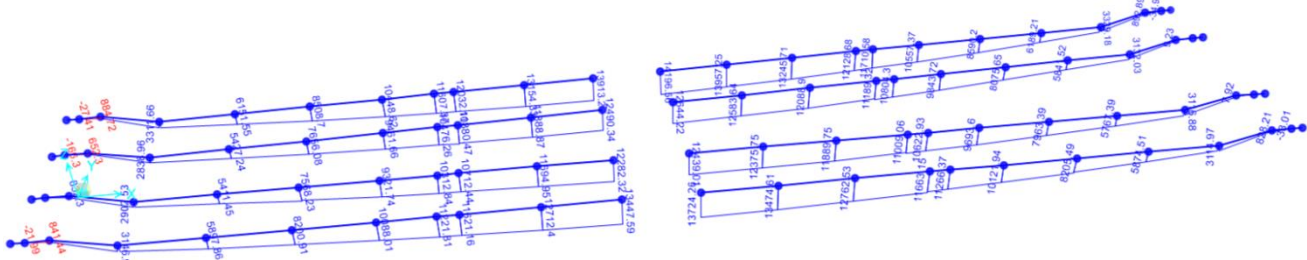


Fig. 46 – Modello FEM – momento flettente verticale dovuto ai 4 carichi sopra indicati (dall'immagine è stato nascosto il frame centrale della trave di bordo, per una migliore leggibilità dei risultati)

Il momento flettente totale risulta pari a:

$$M_{\text{tot}} = 13724 + 12439 + 12644 + 14196 = 53003 \text{ kNm}$$

Il momento teorico è pari a:

$$M_{\text{teorico}} = (24 \times 19.26)/2 \times 3.625 \times (1+2+3+4+5+6+7+8/2) \times 2 = 53620 \text{ kNm}$$

$$\Delta = M_{\text{tot}} / M_{\text{teorico}} = 0.988$$

Anche in questo caso i risultati si possono considerare equivalenti.

Si evidenzia che i carichi applicati sono trasferiti completamente dalle travi principali, senza alcun contributo fornito dagli elementi shell della soletta o dai controventi orizzontali.

APPALTATORE: <u>Consorzio</u> <u>Soci</u> HIRPINIA - ORSARA AV WEBUILD ITALIA PIZZAROTTI	ITINERARIO NAPOLI - BARI RADDOPPIO TRATTA APICE - ORSARA II LOTTO FUNZIONALE HIRPINIA - ORSARA
PROGETTAZIONE: <u>Mandataria</u> <u>Mandanti</u> ROCKSOIL S.P.A NET ENGINEERING PINI GCF ELETTRI-FER M-INGEGNERIA	
PROGETTO ESECUTIVO	COMMESA IF3A LOTTO 02 CODIFICA E ZZ CL DOCUMENTO VI0009 003 REV. C FOGLIO 47 di 138

10.2 ASSEGNAZIONE DEI CARICHI

10.2.1 PESI PROPRI (G1)

Il peso degli elementi strutturali è stato in parte calcolato dal software (diaframmi e controventi) e in parte applicato come carico uniformemente distribuito sulle travi principali (soletta in calcestruzzo).

Il peso proprio della soletta viene applicato come carico unitario sui beam che rappresentano i traversi (Fig. 48); il carico viene poi amplificato all'interno della load case "G1c".

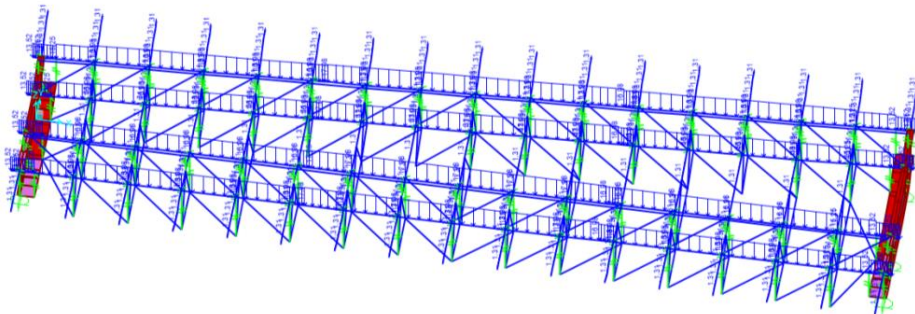


Fig. 47 – Peso proprio delle travi principali e dei traversi

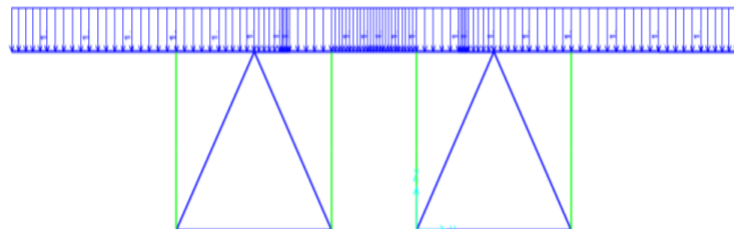


Fig. 48 – Peso proprio della soletta

10.2.2 PERMANENTI PORTATI (G2)

I carichi permanenti portati sono stati applicati al modello come carichi uniformemente distribuito in corrispondenza della soletta in calcestruzzo.

Si applica nel modello un carico unitario, amplificato poi all'interno della load case in modo da ottenere un'azione totale G2.

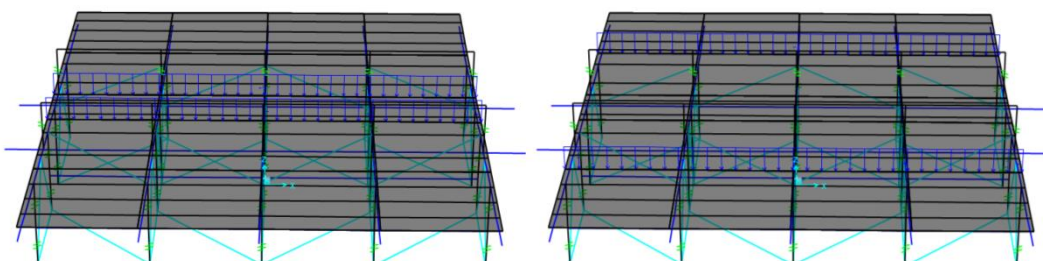


Fig. 49 – carico sulla soletta: ballast ripartito sulle travi principali (esterne a destra e interne a sinistra)

APPALTATORE: <u>Consorzio</u> <u>Soci</u> HIRPINIA - ORSARA AV WEBUILD ITALIA PIZZAROTTI	ITINERARIO NAPOLI - BARI RADDOPPIO TRATTA APICE - ORSARA II LOTTO FUNZIONALE HIRPINIA - ORSARA
PROGETTAZIONE: <u>Mandataria</u> <u>Mandanti</u> ROCKSOIL S.P.A NET ENGINEERING PINI GCF ELETTRI-FER M-INGEGNERIA	
PROGETTO ESECUTIVO	COMMESA IF3A LOTTO 02 CODIFICA E ZZ CL DOCUMENTO VI0009 003 REV. C FOGLIO 48 di 138

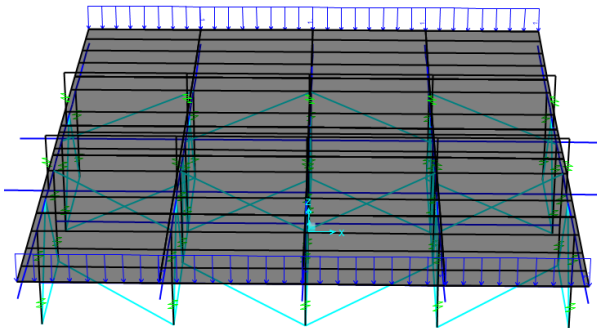


Fig. 50 – carico sulla soletta: barriere antirumore, velette, cordoli laterali

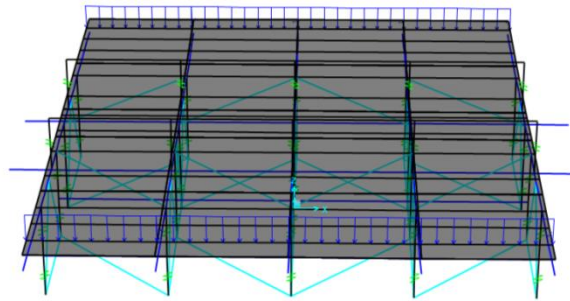


Fig. 51 – carico sulla soletta: cavidotti e impianti

10.2.3 CARICHI VIAGGIANTI: TRENI (Q1 e Q2)

I carichi LM71 e SW/2 sono stati applicati al modello come carichi mobili viaggianti sopra dei beam fittizi rappresentati in corrispondenza dell'asse dei binari all'altezza del piano del ferro. I beam utilizzati hanno una rigidezza pressoché nulla e sono svincolati flessionalmente e torsionalmente alle estremità; in questo modo trasferiscono il carico verticale, trasversale ai traversi ed alle travi principali tramite dei link rigidi.

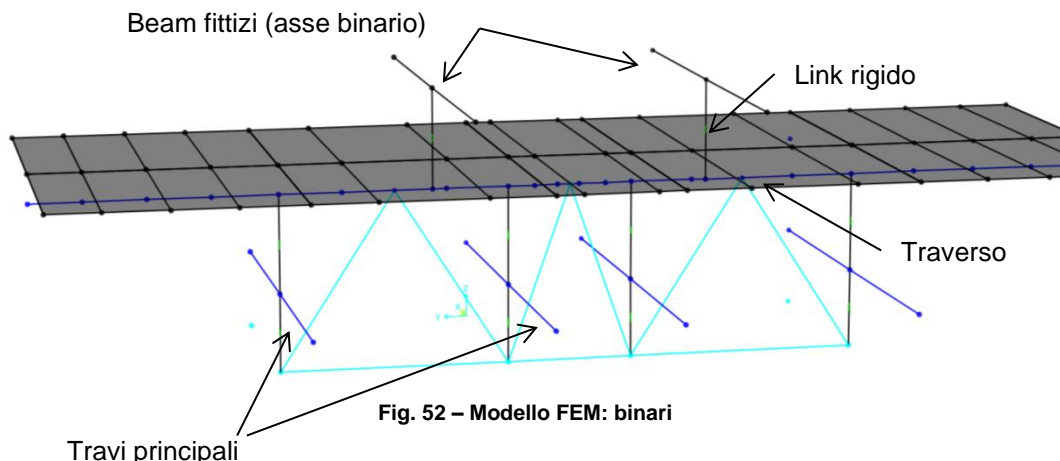


Fig. 52 – Modello FEM: binari

APPALTATORE: <u>Consorzio</u> <u>Soci</u> HIRPINIA - ORSARA AV WEBUILD ITALIA PIZZAROTTI	ITINERARIO NAPOLI - BARI RADDOPPIO TRATTA APICE - ORSARA II LOTTO FUNZIONALE HIRPINIA - ORSARA
PROGETTAZIONE: <u>Mandataria</u> <u>Mandanti</u> ROCKSOIL S.P.A NET ENGINEERING PINI GCF ELETTRI-FER M-INGEGNERIA	
PROGETTO ESECUTIVO	COMMESSE IF3A LOTTO 02 CODIFICA E ZZ CL DOCUMENTO VI0009 003 REV. C FOGLIO 49 di 138

10.2.4 CARICHI SUI MARCIAPIEDI (Q17)

Il carico sui marciapiedi è stato applicato al modello come carico uniformemente distribuito in corrispondenza della soletta in calcestruzzo.

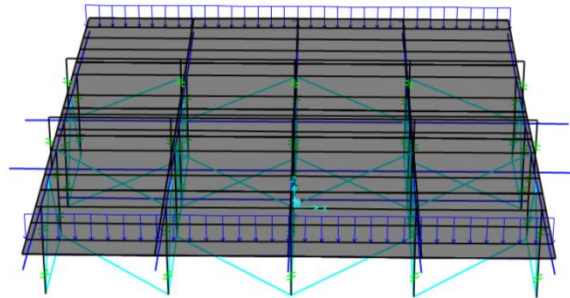


Fig. 53 – Carico marciapiedi

10.2.5 FRENATURA E AVVIAMENTO DEI TRENI (Q3, Q4)

La forza di frenatura e avviamento è stata applicata ai beam fittizi che rappresentano i binari del treno.
Il carico è applicato come forza uniformemente distribuita.

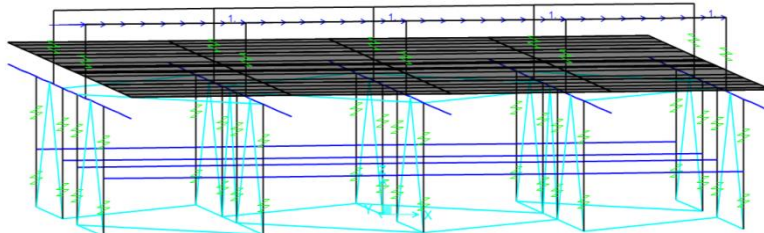


Fig. 54 – Carico di avviamento/frenatura su un binario

APPALTATORE: <u>Consorzio</u> <u>Soci</u> HIRPINIA - ORSARA AV WEBUILD ITALIA PIZZAROTTI	ITINERARIO NAPOLI - BARI RADDOPPIO TRATTA APICE - ORSARA II LOTTO FUNZIONALE HIRPINIA - ORSARA
PROGETTAZIONE: <u>Mandataria</u> <u>Mandanti</u> ROCKSOIL S.P.A NET ENGINEERING PINI GCF ELETTRI-FER M-INGEGNERIA	
PROGETTO ESECUTIVO	COMMESA IF3A LOTTO 02 CODIFICA E ZZ CL DOCUMENTO VI0009 003 REV. C FOGLIO 50 di 138

10.2.6 AZIONE CENTRIFUGA (Q5, Q6)

Per l'azione centrifuga sono state considerate le distribuzioni longitudinali di carichi verticali più gravose per i treni di carico LM/71 e SW/2 e a queste sono state associate le relative azioni centrifughe, come forze concentrate e distribuite calcolate nel § 8.5.

La forza centrifuga è stata applicata verso l'esterno della curva a livello del piano del ferro, però è stato aggiunto il contributo del momento attorno all'asse longitudinale per considerare che il carico è applicato a 1,8 m sopra il piano del ferro.

Le Fig. 55 e Fig. 56 mostrano la forza trasversale ed il relativo momento torcente applicato al binario per rappresentare la forza centrifuga associata al treno LM71. L'azione centrifuga relativa al treno SW2 è stata applicata nel modello di calcolo in modo analogo.

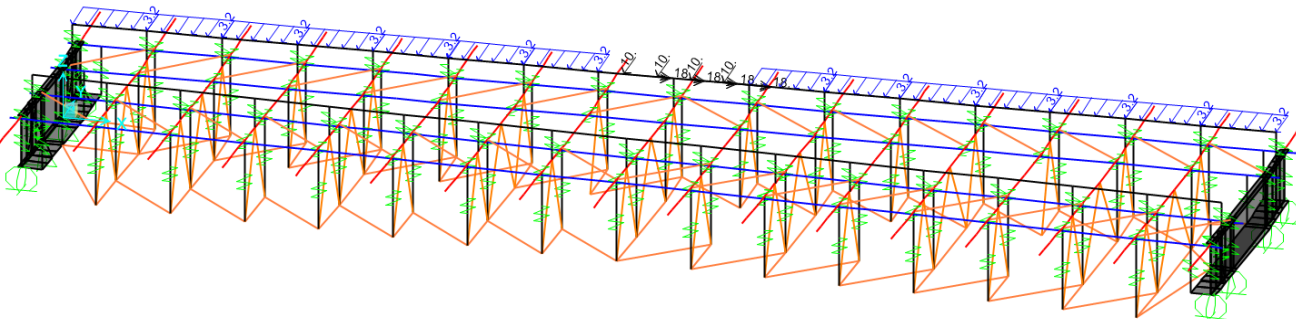


Fig. 55 – Forza centrifuga trasversale al treno di carico LM/71

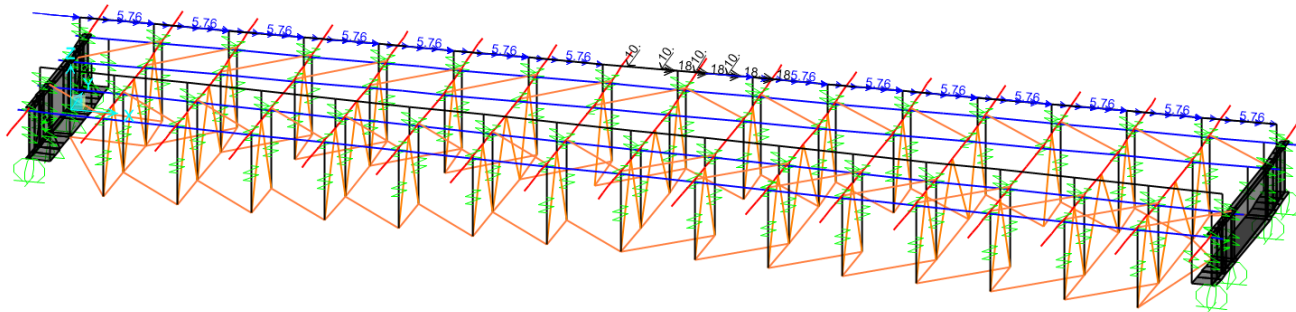


Fig. 56 – Momento dovuto alla forza centrifuga associata al treno di carico LM/71

Per tener conto dell'avanzamento del carico, sono state create quattro condizioni di carico diverse in modo da prendere in considerazioni le principali configurazioni:

- due configurazioni prevedono i carichi concentrati in mezzeria
- una configurazione prevede i carichi concentrati ad un quarto della luce
- una configurazione prevede i carichi concentrati in prossimità dell'appoggio

In tutti i casi il carico distribuito è applicato ai lati di quello concentrato secondo le distanze previste da normativa.

APPALTATORE: <u>Consorzio</u> <u>Soci</u> HIRPINIA - ORSARA AV WEBUILD ITALIA PIZZAROTTI	ITINERARIO NAPOLI - BARI RADDOPPIO TRATTA APICE - ORSARA II LOTTO FUNZIONALE HIRPINIA - ORSARA
PROGETTAZIONE: <u>Mandataria</u> <u>Mandanti</u> ROCKSOIL S.P.A NET ENGINEERING PINI GCF ELETTRI-FER M-INGEGNERIA	
PROGETTO ESECUTIVO	COMMESA LOTTO CODIFICA DOCUMENTO REV. IF3A 02 E ZZ CL VI0009 003 C FOGLIO 51 di 138

10.2.7 SERPEGGIO (Q7, Q8)

La forza laterale indotta dal serpeggio è stata applicata a dei beam come forza concentrata orizzontalmente a livello della sommità della rotaia più alta, perpendicolarmente all'asse del binario.

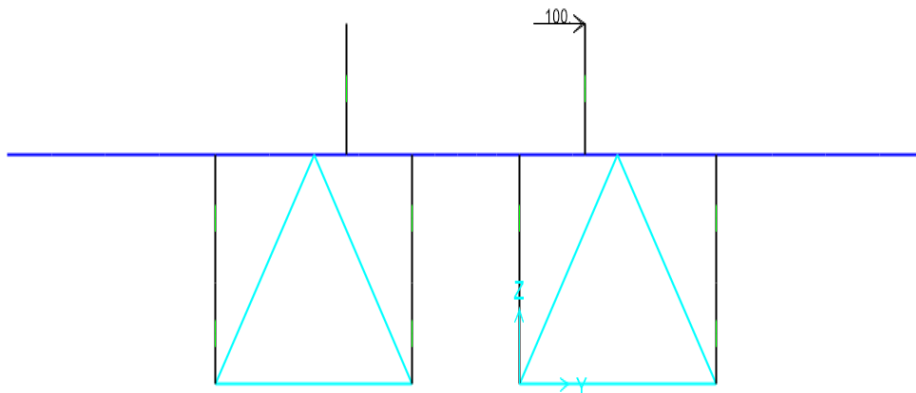


Fig. 57 –Forza di serpeggio

Ai fini della verifica sono state considerate 3 configurazioni di carico (a un quarto, due quarti e tre quarti della luce del ponte) in modo da tener conto dell'avanzamento del convoglio.

Le configurazioni prese in esame sono considerate, nelle verifiche, in concomitanza con le rispettive azioni centrifughe.

APPALTATORE: <u>Consorzio</u> <u>Soci</u> HIRPINIA - ORSARA AV WEBUILD ITALIA PIZZAROTTI	ITINERARIO NAPOLI - BARI RADDOPPIO TRATTA APICE - ORSARA II LOTTO FUNZIONALE HIRPINIA - ORSARA
PROGETTAZIONE: <u>Mandataria</u> <u>Mandanti</u> ROCKSOIL S.P.A NET ENGINEERING PINI GCF ELETTRI-FER M-INGEGNERIA	
PROGETTO ESECUTIVO	COMMESA IF3A LOTTO 02 CODIFICA E ZZ CL DOCUMENTO VI0009 003 REV. C FOGLIO 52 di 138

10.2.8 RITIRO DEL CALCESTRUZZO (Q13)

La deformazione da ritiro della soletta determina una pressoflessione nelle travi in acciaio sottostanti, pertanto nel modello di calcolo si applica una coppia di forze (N ed M) alle travi omogeneizzate in modo tale da riprodurre l'effetto del ritiro della soletta.

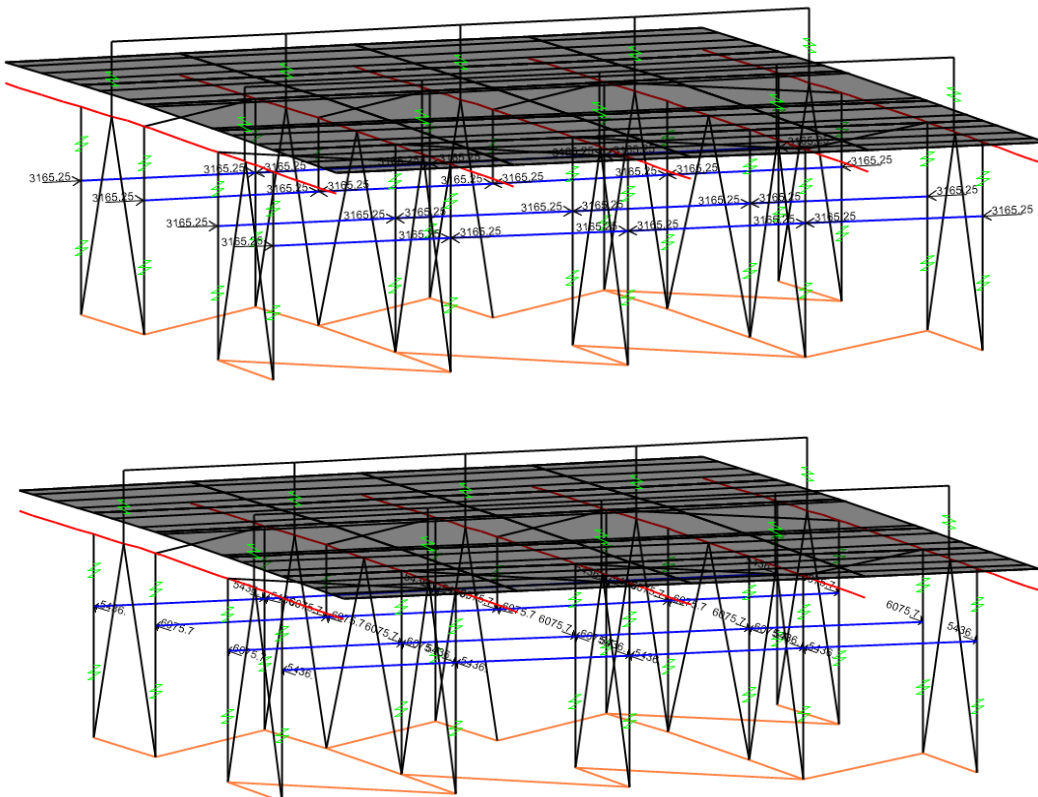


Fig. 58 – Ritiro: sollecitazione assiale (sopra) e flessionale (sotto) applicata alle travi omogeneizzate

APPALTATORE: <u>Consorzio</u> <u>Soci</u> HIRPINIA - ORSARA AV WEBUILD ITALIA PIZZAROTTI	ITINERARIO NAPOLI – BARI RADDOPPIO TRATTA APICE - ORSARA II LOTTO FUNZIONALE HIRPINIA - ORSARA
PROGETTAZIONE: <u>Mandataria</u> <u>Mandanti</u> ROCKSOIL S.P.A NET ENGINEERING PINI GCF ELETTRI-FER M-INGEGNERIA	
PROGETTO ESECUTIVO	COMMESMA LOTTO CODIFICA DOCUMENTO REV. IF3A 02 E ZZ CL VI0009 003 C FOGLIO 53 di 138

10.2.9 VARIAZIONI TERMICHE (Q9, Q10)

Si considera una variazione termica uniforme di +/-20°C applicata agli elementi di trave e traversi dell'impalcato, come definito dalla normativa, mentre alla soletta è stata applicato una variazione termica uniforme di +/-15°C.

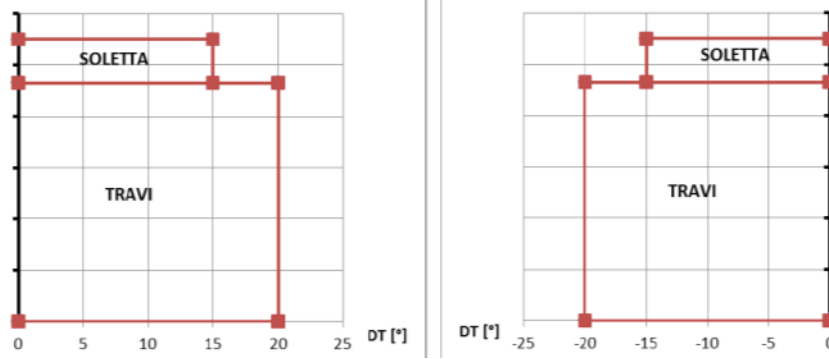


Fig. 59 – Variazione termica uniforme

Il carico è applicato nel modello di calcolo come carico termico uniforme sulle travi omogeneizzate. Inoltre, per rappresentare i 5°C di differenza di temperatura nella soletta, è stata applicata alla trave omogeneizzata una coppia di sollecitazioni (N ed M) tali da riprodurre l'effetto termico sulla soletta.

Si applica inoltre un gradiente termico pari a +/-5°C fra soletta e travi in acciaio.

Il carico è applicato nel modello come gradiente termico sommato a un carico termico uniforme, in modo da ricostruire il valore nullo di DT in corrispondenza della soletta (come rappresentato in Fig. 60).

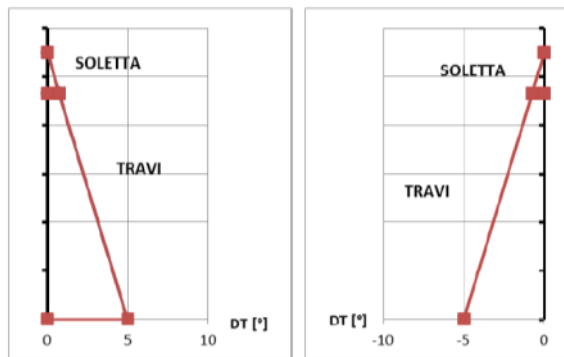


Fig. 60 – Variazione termica non uniforme: gradiente

APPALTATORE: <u>Consorzio</u> <u>Soci</u> HIRPINIA - ORSARA AV WEBUILD ITALIA PIZZAROTTI	ITINERARIO NAPOLI - BARI RADDOPPIO TRATTA APICE - ORSARA II LOTTO FUNZIONALE HIRPINIA - ORSARA
PROGETTAZIONE: <u>Mandataria</u> <u>Mandanti</u> ROCKSOIL S.P.A NET ENGINEERING PINI GCF ELETTRI-FER M-INGEGNERIA	
PROGETTO ESECUTIVO	COMMESA IF3A LOTTO 02 CODIFICA E ZZ CL DOCUMENTO VI0009 003 REV. C FOGLIO 54 di 138

10.2.10 VENTO (Q14, Q15, Q16)

L'azione del vento è composta dal carico agente sulle travi, sulla soletta, sul convoglio e sulle barriere antirumore. Nelle immagini seguenti (da Fig. 61 a Fig. 64) sono riportate solamente le azioni orizzontali applicate ai beam del modello; non sono rappresentate le coppie applicate.

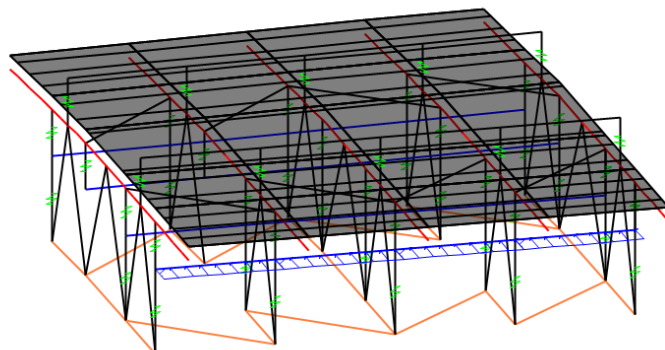


Fig. 61 – Forza da vento sulla trave

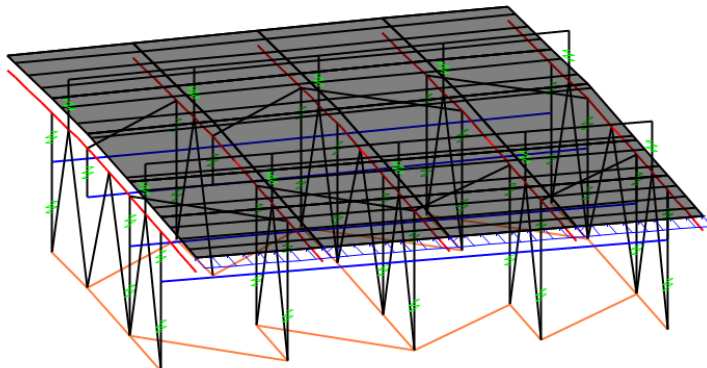


Fig. 62 – Forza da vento sulla soletta

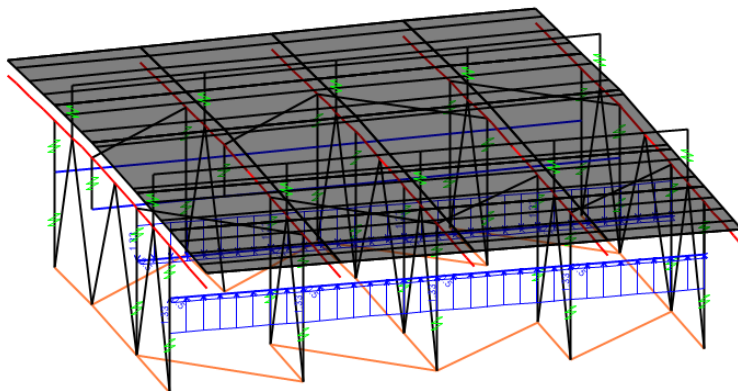


Fig. 63 – Forza da vento sul convoglio

APPALTATORE: <u>Consorzio</u> <u>Soci</u> HIRPINIA - ORSARA AV WEBUILD ITALIA PIZZAROTTI	ITINERARIO NAPOLI - BARI RADDOPPIO TRATTA APICE - ORSARA II LOTTO FUNZIONALE HIRPINIA - ORSARA
PROGETTAZIONE: <u>Mandataria</u> <u>Mandanti</u> ROCKSOIL S.P.A NET ENGINEERING PINI GCF ELETTRI-FER M-INGEGNERIA	
PROGETTO ESECUTIVO	COMMESA IF3A LOTTO 02 CODIFICA E ZZ CL DOCUMENTO VI0009 003 REV. C FOGLIO 55 di 138

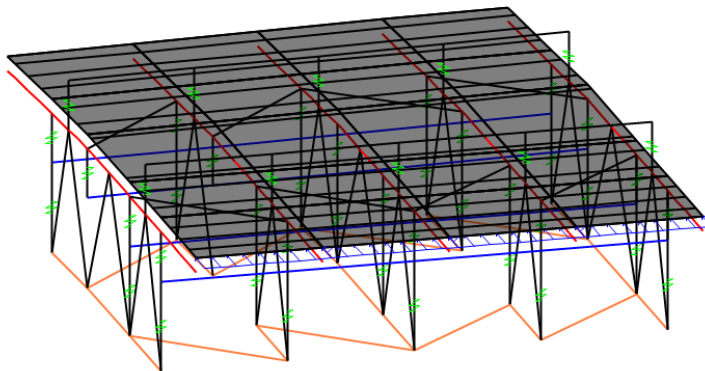


Fig. 64 – Forza da vento sulla barriera

Componendo queste carichi, sono state create le seguenti configurazioni di carico:

- IMPALCATO CON DUE BINARI CARICHI (q14): si considera la presenza di vento che colpisce le travi in acciaio e la prima barriera antirumore
- IMPALCATO CON UN BINARIO CARICO (q15): si considera la presenza di vento che colpisce le travi in acciaio, la prima barriera antirumore ed il convoglio ferroviario sul binario opposto
- IMPALCATO SCARICO (q16): si considera la presenza di vento che colpisce le travi in acciaio ed entrambe le barriere antirumore

APPALTATORE:		
Consorzio	Soci	
HIRPINIA - ORSARA AV WEBUILD ITALIA		PIZZAROTTI
PROGETTAZIONE:		
Mandataria	Mandanti	
ROCKSOIL S.P.A	NET ENGINEERING	PINI GCF
	ELETTRI-FER	M-INGEGNERIA
PROGETTO ESECUTIVO	COMMESA IF3A	LOTTO 02
	CODIFICA E ZZ CL	DOCUMENTO VI0009 003
	REV. C	FOGLIO 56 di 138

10.2.11 AZIONI SISMICHE

Nel modello sono stati applicati i seguenti spettri di progetto in direzione orizzontale, considerando le masse partecipanti dei pesi propri e permanenti, considerando con un coefficiente $\psi_2 = 0,2$ il valore quasi permanente delle masse corrispondenti ai carichi da traffico.

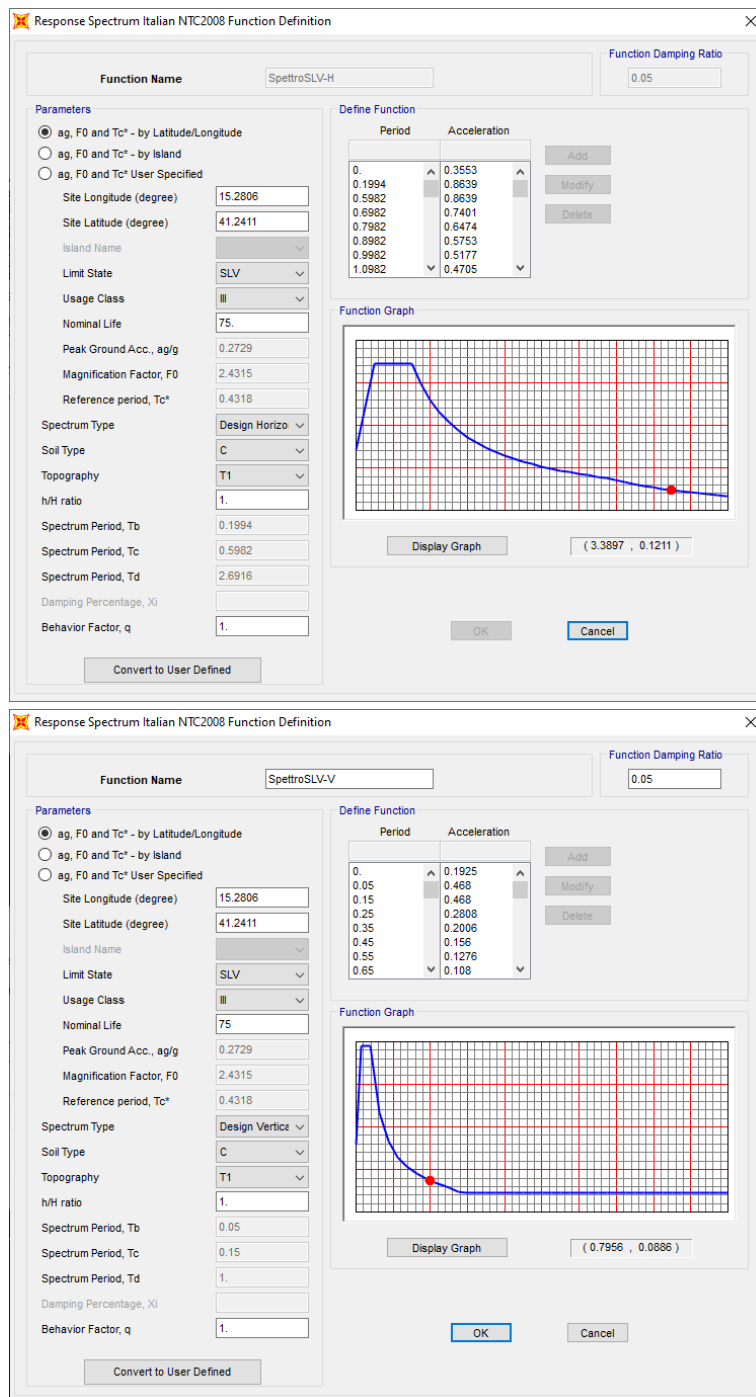


Fig. 65 – Spettro di risposta – componente orizzontale (sopra) e verticale(sotto)

APPALTATORE: <u>Consorzio</u> <u>Soci</u> HIRPINIA - ORSARA AV WEBUILD ITALIA PIZZAROTTI	ITINERARIO NAPOLI - BARI RADDOPPIO TRATTA APICE - ORSARA II LOTTO FUNZIONALE HIRPINIA - ORSARA
PROGETTAZIONE: <u>Mandataria</u> <u>Mandanti</u> ROCKSOIL S.P.A NET ENGINEERING PINI GCF ELETTRI-FER M-INGEGNERIA	
PROGETTO ESECUTIVO	COMMESSE IF3A LOTTO 02 CODIFICA EZ CL DOCUMENTO VI0009 003 REV. C FOGLIO 57 di 138

10.3 ANALISI MODALE E PRIMA FREQUENZA PROPRIA DI VIBRAZIONE

La prima frequenza propria della struttura si calcola come da Manuale RFI con la formula:

$$n_0 = \frac{17,75}{\sqrt{\delta}}$$

Dove δ rappresenta la freccia in mm dovuta ai pesi propri della struttura ed ai carichi permanenti che risulta pari a 66 mm.

La prima frequenza di vibrazione risulta di 2,18 Hz.

Questo valore di frequenza risulta al limite del fascio descritto dalla normativa ferroviaria, in cui:

- Limite superiore: $n_0 = 94,76 \cdot L^{-0,748} = 4,5$ Hz
- Limite inferiore: $n_0 = 23,58 \cdot L^{-0,592} = 2,13$ Hz (per L = 58m, compresa tra 20m e 100m)

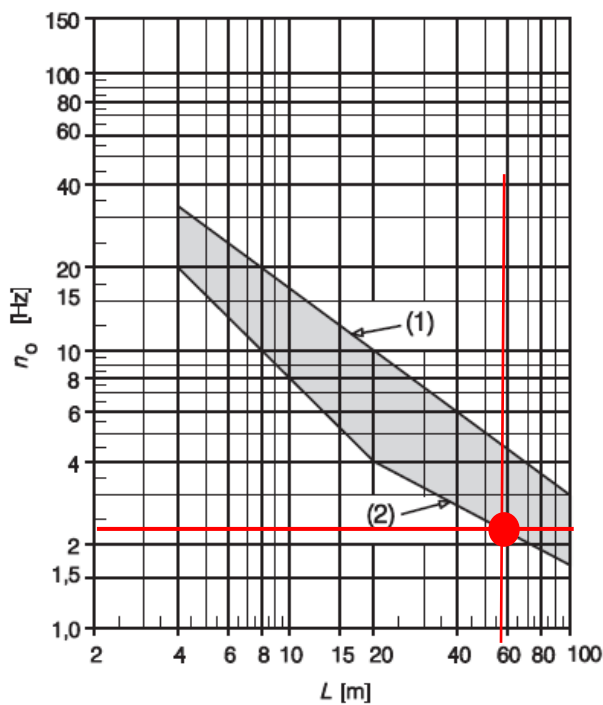


Fig. 66 – Limiti della frequenza naturale del ponte n_0 in funzione di L

Poiché il valore della frequenza risulta interno al fascio in Fig. 66 ed essendo rispettati i requisiti richiesti dal manuale RFI ed indicati nel diagramma di flusso in Fig. 67, non è necessario effettuare alcuna analisi dinamica della struttura; pertanto le verifiche verranno effettuate considerando i coefficienti di incremento dinamico indicati al §8.3.

APPALTATORE: Consorzio <u>Soci</u> HIRPINIA - ORSARA AV WEBUILD ITALIA PIZZAROTTI	ITINERARIO NAPOLI - BARI
PROGETTAZIONE: Mandataria <u>Mandanti</u> ROCKSOIL S.P.A NET ENGINEERING PINI GCF ELETTRI-FER M-INGEGNERIA	RADDOPPIO TRATTA APICE - ORSARA II LOTTO FUNZIONALE HIRPINIA - ORSARA
PROGETTO ESECUTIVO	COMMESA IF3A LOTTO 02 CODIFICA E ZZ CL DOCUMENTO VI0009 003 REV. C FOGLIO 58 di 138

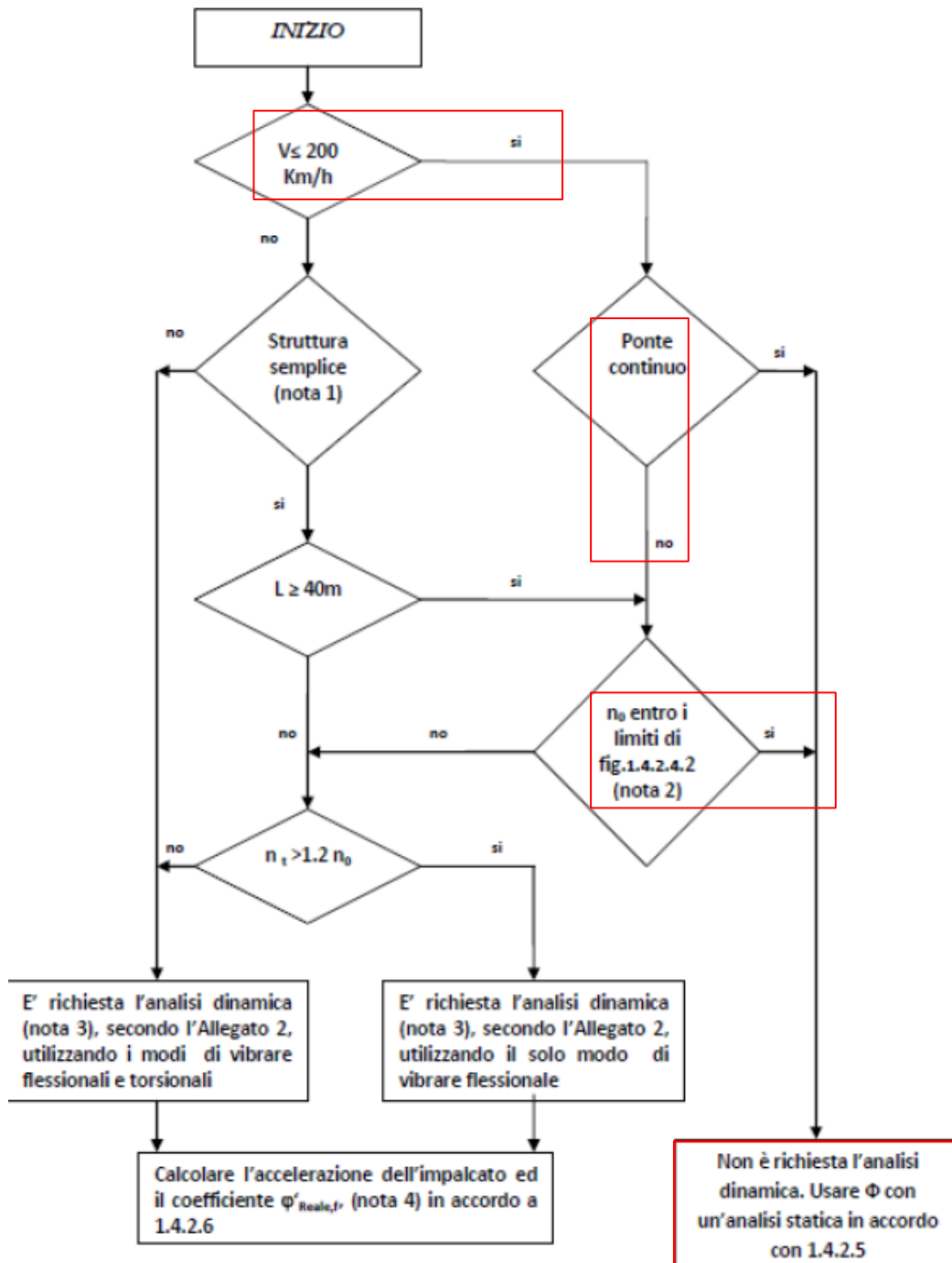


Fig. 67 – Manuale RFI – requisiti per analisi dinamica

APPALTATORE: <u>Consorzio</u> <u>Soci</u> HIRPINIA - ORSARA AV WEBUILD ITALIA PIZZAROTTI	ITINERARIO NAPOLI - BARI RADDOPPIO TRATTA APICE - ORSARA II LOTTO FUNZIONALE HIRPINIA - ORSARA
PROGETTAZIONE: <u>Mandataria</u> <u>Mandanti</u> ROCKSOIL S.P.A NET ENGINEERING PINI GCF ELETTRI-FER M-INGEGNERIA	
PROGETTO ESECUTIVO	COMMESSE IF3A LOTTO 02 CODIFICA E ZZ CL DOCUMENTO VI0009 003 REV. C FOGLIO 59 di 138

L'analisi modale effettuata con programma di calcolo SAP2000, fornisce le frequenze proprie di vibrare dell'impalcato in esame, considerando le masse relative ai pesi propri e permanenti.

Si riportano in tabella i primi 40 modi di vibrare, con i quali si eccita una percentuale di massa superiore all'85%.

OutputCase	StepType	StepNum	Period	UX	UY	UZ	SumUX	SumUY	SumUZ	RX	RY	RZ	SumRX	SumRY	SumRZ
Text	Text	Unitless	Sec	Unitless											
MODAL	Mode	1	0.467	0.02	0.00	0.76	0.02	0.00	0.76	0.01	0.00	0.00	0.01	0.00	0.00
MODAL	Mode	2	0.43	0.00	0.03	0.01	0.02	0.03	0.77	0.74	0.00	0.00	0.75	0.00	0.00
MODAL	Mode	3	0.22	0.00	0.80	0.00	0.02	0.83	0.77	0.04	0.00	0.00	0.79	0.00	0.00
MODAL	Mode	4	0.19	0.00	0.00	0.00	0.02	0.83	0.77	0.00	0.02	0.00	0.79	0.02	0.00
MODAL	Mode	5	0.17	0.09	0.00	0.00	0.10	0.83	0.77	0.00	0.37	0.00	0.79	0.40	0.00
MODAL	Mode	6	0.14	0.58	0.00	0.00	0.68	0.83	0.77	0.01	0.01	0.00	0.81	0.41	0.00
MODAL	Mode	7	0.14	0.16	0.00	0.01	0.84	0.83	0.79	0.04	0.00	0.00	0.85	0.41	0.00
MODAL	Mode	8	0.13	0.00	0.00	0.02	0.84	0.83	0.81	0.01	0.00	0.00	0.86	0.41	0.00
MODAL	Mode	9	0.13	0.00	0.00	0.00	0.85	0.83	0.81	0.00	0.02	0.00	0.87	0.43	0.01
MODAL	Mode	10	0.13	0.09	0.00	0.01	0.94	0.83	0.82	0.00	0.00	0.00	0.87	0.43	0.01
MODAL	Mode	11	0.13	0.00	0.00	0.00	0.94	0.83	0.82	0.01	0.00	0.00	0.88	0.43	0.01
MODAL	Mode	12	0.12	0.00	0.00	0.00	0.94	0.83	0.82	0.00	0.00	0.00	0.88	0.43	0.01
MODAL	Mode	13	0.12	0.00	0.00	0.00	0.94	0.83	0.82	0.00	0.04	0.00	0.88	0.47	0.01
MODAL	Mode	14	0.12	0.00	0.00	0.00	0.94	0.83	0.83	0.00	0.00	0.00	0.88	0.47	0.01
MODAL	Mode	15	0.12	0.00	0.00	0.00	0.94	0.83	0.83	0.00	0.00	0.00	0.88	0.47	0.01
MODAL	Mode	16	0.12	0.00	0.00	0.01	0.94	0.83	0.83	0.01	0.00	0.00	0.89	0.47	0.01
MODAL	Mode	17	0.12	0.00	0.00	0.00	0.94	0.83	0.83	0.00	0.00	0.00	0.89	0.47	0.01
MODAL	Mode	18	0.11	0.00	0.00	0.00	0.94	0.83	0.83	0.00	0.00	0.00	0.89	0.48	0.01
MODAL	Mode	19	0.11	0.00	0.00	0.00	0.94	0.83	0.83	0.00	0.01	0.00	0.89	0.48	0.01
MODAL	Mode	20	0.11	0.00	0.00	0.00	0.94	0.83	0.83	0.00	0.00	0.00	0.89	0.48	0.01
MODAL	Mode	21	0.11	0.00	0.00	0.00	0.94	0.83	0.83	0.00	0.00	0.00	0.89	0.48	0.01
MODAL	Mode	22	0.11	0.00	0.00	0.00	0.94	0.83	0.84	0.00	0.00	0.00	0.90	0.48	0.01
MODAL	Mode	23	0.11	0.00	0.00	0.00	0.94	0.83	0.84	0.00	0.00	0.00	0.90	0.48	0.01
MODAL	Mode	24	0.11	0.00	0.00	0.00	0.94	0.83	0.84	0.00	0.00	0.00	0.90	0.49	0.01
MODAL	Mode	25	0.11	0.00	0.00	0.00	0.94	0.83	0.84	0.00	0.00	0.00	0.90	0.49	0.01
MODAL	Mode	26	0.11	0.00	0.00	0.00	0.94	0.83	0.84	0.00	0.00	0.00	0.90	0.49	0.01
MODAL	Mode	27	0.11	0.00	0.00	0.00	0.94	0.83	0.84	0.00	0.00	0.00	0.90	0.49	0.01
MODAL	Mode	28	0.11	0.00	0.00	0.00	0.94	0.83	0.84	0.00	0.00	0.00	0.90	0.49	0.01
MODAL	Mode	29	0.10	0.00	0.00	0.00	0.94	0.83	0.84	0.00	0.00	0.00	0.90	0.49	0.01
MODAL	Mode	30	0.10	0.00	0.00	0.00	0.94	0.83	0.84	0.00	0.00	0.00	0.90	0.49	0.02
MODAL	Mode	31	0.10	0.00	0.00	0.00	0.94	0.83	0.84	0.00	0.00	0.00	0.90	0.49	0.02
MODAL	Mode	32	0.10	0.00	0.00	0.00	0.94	0.83	0.84	0.00	0.00	0.00	0.90	0.49	0.02
MODAL	Mode	33	0.10	0.00	0.00	0.00	0.94	0.83	0.84	0.00	0.00	0.00	0.90	0.49	0.02
MODAL	Mode	34	0.10	0.02	0.00	0.00	0.96	0.83	0.84	0.00	0.08	0.13	0.90	0.57	0.15
MODAL	Mode	35	0.09	0.01	0.00	0.00	0.98	0.84	0.84	0.00	0.05	0.36	0.90	0.62	0.51
MODAL	Mode	36	0.09	0.00	0.00	0.01	0.98	0.84	0.84	0.02	0.00	0.01	0.92	0.62	0.52
MODAL	Mode	37	0.09	0.00	0.00	0.00	0.98	0.84	0.84	0.00	0.02	0.17	0.92	0.65	0.69
MODAL	Mode	38	0.09	0.00	0.00	0.00	0.98	0.84	0.84	0.00	0.00	0.00	0.92	0.65	0.69
MODAL	Mode	39	0.08	0.00	0.00	0.01	0.98	0.84	0.85	0.01	0.00	0.00	0.93	0.65	0.69
MODAL	Mode	40	0.08	0.00	0.00	0.00	0.98	0.84	0.85	0.00	0.01	0.01	0.93	0.66	0.70

Il primo modo di vibrare flessionale verticale ha un periodo T = 0,467 sec che corrisponde ad una frequenza di 2,14 Hz. Tale valore è interno al fuso definito dal Manuale RFI in quanto è compreso tra 2,13 Hz e 4,55 Hz.

APPALTATORE: <u>Consorzio</u> <u>Soci</u> HIRPINIA - ORSARA AV WEBUILD ITALIA PIZZAROTTI	ITINERARIO NAPOLI – BARI RADDOPPIO TRATTA APICE - ORSARA II LOTTO FUNZIONALE HIRPINIA - ORSARA
PROGETTAZIONE: <u>Mandataria</u> <u>Mandanti</u> ROCKSOIL S.P.A NET ENGINEERING PINI GCF ELETTRI-FER M-INGEGNERIA	
PROGETTO ESECUTIVO	COMMESSA LOTTO CODIFICA DOCUMENTO REV. FOGLIO IF3A 02 E ZZ CL VI0009 003 C 60 di 138

[ Deformed Shape (MODAL) - Mode 1; T = 0.46695; f = 2.14153] ▾

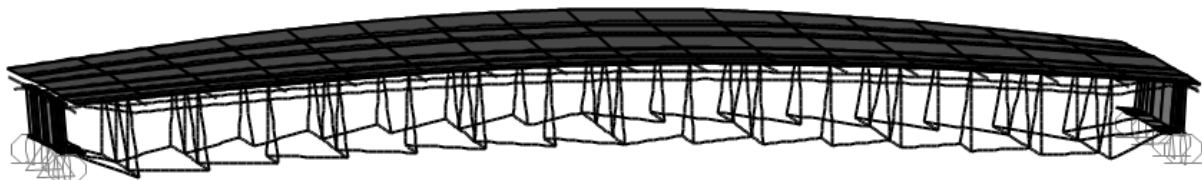


Fig. 68 – Modello FEM: primo modo di vibrare (flessionale) verticale

L'analisi pertanto conferma quanto calcolato, per cui non è necessario effettuare l'analisi dinamica della struttura.

APPALTATORE: Consorzio <u>Soci</u> HIRPINIA - ORSARA AV WEBUILD ITALIA PIZZAROTTI	ITINERARIO NAPOLI - BARI RADDOPPIO TRATTA APICE - ORSARA II LOTTO FUNZIONALE HIRPINIA - ORSARA
PROGETTAZIONE: Mandataria <u>Mandanti</u> ROCKSOIL S.P.A NET ENGINEERING PINI GCF ELETTRI-FER M-INGEGNERIA	
PROGETTO ESECUTIVO	COMMESA LOTTO CODIFICA DOCUMENTO REV. IF3A 02 E ZZ CL VI0009 003 C FOGLIO FOGLIO 61 di 138

10.4 VERIFICHE DI RESISTENZA DELLE TRAVI PRINCIPALI

10.4.1 GEOMETRIA DELL'IMPALCATO

Le sezioni della trave principale sono illustrate di seguito.

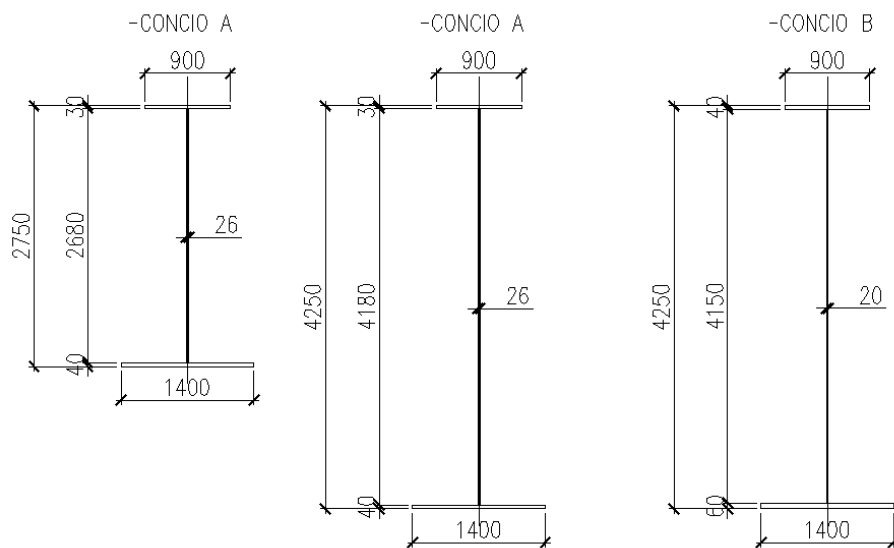


Fig. 69 – Trave principale: sezioni

Nelle tabelle seguenti si riassumono le caratteristiche geometriche delle sezioni.

Sezione	Sezione di acciaio							Soletta			
	B _{sup}	S _{sup}	h _w	S _w	B _{inf}	S _{inf}	A _{acc}	B _{soletta}	S _{soletta (getto)}	n = 16	n = 6
	[mm]	[mm]	[mm]	[mm]	[mm]	[mm]	[cm ²]	[mm]	[mm]	[cm ²]	[cm ²]
C01	900	30	2680	26	1400	40	1527	5500	375	1320	3360
C02	900	30	3430	26	1400	40	1722	5500	375	1320	3360
C03	900	30	4180	26	1400	40	1917	5500	375	1320	3360
C04	900	40	4150	20	1400	60	2099	5500	375	1320	3360
C05	900	30	2680	26	1400	40	1527	3500	375	840	2138
C06	900	30	3430	26	1400	40	1722	3500	375	840	2138
C07	900	30	4180	26	1400	40	1917	3650	375	876	2230
C08	900	40	4150	20	1400	60	2030	4000	375	960	2443
C09	900	30	4180	26	1400	40	1917	4450	375	1068	2718
C10	900	30	3430	26	1400	40	1722	4700	375	1128	2871
C11	900	30	2680	26	1400	40	1527	4700	375	1128	2871

APPALTATORE: <u>Consorzio</u> <u>Soci</u> HIRPINIA - ORSARA AV WEBUILD ITALIA PIZZAROTTI	ITINERARIO NAPOLI - BARI
PROGETTAZIONE: <u>Mandataria</u> <u>Mandanti</u> ROCKSOIL S.P.A NET ENGINEERING PINI GCF ELETTRI-FER M-INGEGNERIA	RADDOPPIO TRATTA APICE - ORSARA II LOTTO FUNZIONALE HIRPINIA - ORSARA
PROGETTO ESECUTIVO	COMMESA IF3A LOTTO 02 CODIFICA EZ CL DOCUMENTO VI0009 003 REV. C FOGLIO 62 di 138

Le caratteristiche della sezione mista acciaio – calcestruzzo omogeneizzata ad acciaio, relativa alle fasi II e III precedentemente descritte sono riportate in tabella seguente.

Sezione	Sezione mista omogeneizzata ad acciaio							
	n = 16	n = 6	n = 16	n = 6	n = 16	n = 6	n = 16	n = 6
	A _{sez.mista}	A _{sez.mista}	J _{x,mista}	J _{x,mista}	J _{y,mista}	J _{y,mista}	Y _{G,mista}	Y _{G,mista}
	[cm ²]	[cm ²]	[cm ⁴]	[cm ⁴]	[cm ⁴]	[cm ⁴]	[mm]	[mm]
C01	2847	4887	4.33E+07	5.54E+07	3.43E+07	8.57E+07	1986	2404
C02	3042	5082	7.10E+07	9.16E+07	3.43E+07	8.57E+07	2449	2966
C03	3237	5277	1.07E+08	1.39E+08	3.43E+07	8.57E+07	2902	3515
C04	3419	5459	1.25E+08	1.63E+08	3.48E+07	8.62E+07	2764	3408
C05	2367	3665	3.74E+07	4.98E+07	9.64E+06	2.29E+07	1783	2210
C06	2562	3860	6.15E+07	8.18E+07	9.64E+06	2.29E+07	2208	2722
C07	2793	4146	9.39E+07	1.25E+08	1.08E+07	2.58E+07	2650	3250
C08	2990	4473	1.13E+08	1.50E+08	1.44E+07	3.42E+07	2551	3193
C09	2985	4635	1.00E+08	1.32E+08	1.87E+07	4.59E+07	2768	3380
C10	2850	4593	6.76E+07	8.83E+07	2.18E+07	5.39E+07	2362	2884
C11	2655	4398	4.12E+07	5.35E+07	2.18E+07	5.39E+07	1914	2339

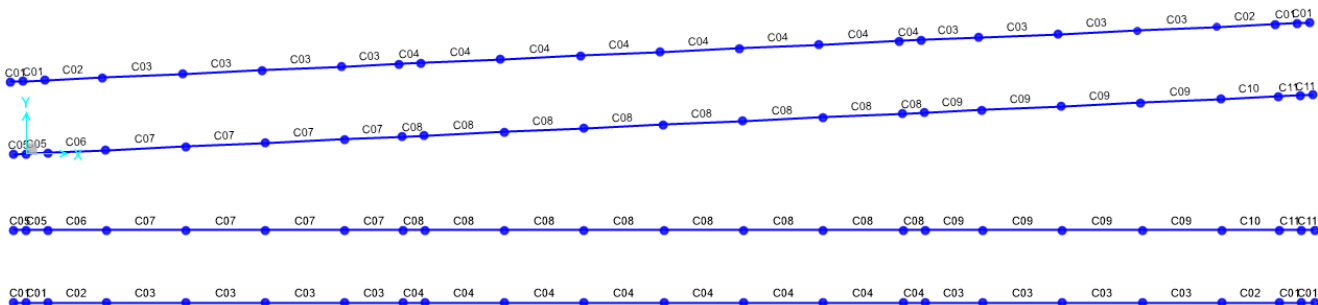


Fig. 70 – Distribuzione delle sezioni nel modello FEM

APPALTATORE: <u>Consorzio</u> <u>Soci</u> HIRPINIA - ORSARA AV WEBUILD ITALIA PIZZAROTTI	ITINERARIO NAPOLI – BARI RADDOPPIO TRATTA APICE - ORSARA II LOTTO FUNZIONALE HIRPINIA - ORSARA
PROGETTAZIONE: <u>Mandataria</u> <u>Mandanti</u> ROCKSOIL S.P.A NET ENGINEERING PINI GCF ELETTRI-FER M-INGEGNERIA	
PROGETTO ESECUTIVO	COMMESSE LOTTO CODIFICA DOCUMENTO REV. FOGLIO IF3A 02 EZZ CL VI0009 003 C 63 di 138

Calcolo delle caratteristiche statiche della sezione in acciaio

Viene sempre valuta l'area dei rib longitudinali anche quando non esplicitamente indicati nelle formule seguenti):

$$Peso = Area \cdot 7850$$

$$Y_g = \frac{\sum (b_i \cdot s_i \cdot Y_{rettangolo})}{\sum b_i \cdot s_i}$$

$$J_x = n^o_{travi} \cdot \sum \left(\frac{1}{12} b_i \cdot s_i^3 + b_i \cdot s_i \cdot dist_y^2 \right); \quad dist_y = Y_{rettangolo} - Y_g$$

$$J_y = n^o_{travi} \cdot \sum \left(\frac{1}{12} s_i \cdot b_i^3 + b_i \cdot s_i \cdot dist_x^2 \right); \quad dist_x = X_{rettangolo} - \frac{b_{assi_travi}}{2}$$

$$J_t = \frac{4 \cdot \Omega^2}{\sum \frac{b_i}{s_i}}; \quad \Omega = b_{assi_travi} \cdot H_{trave}$$

$$W_{x.acc.sup} = \frac{J_x}{H_{trave} - Y_g}; \quad W_{x.an.sup} = \frac{J_x}{H_{trave} - Y_g - s_{p.sup}}$$

$$W_{x.acc.inf} = \frac{J_x}{Y_g}; \quad W_{x.an.inf} = \frac{J_x}{Y_g - s_{p.inf}}$$

$$S_{x.an.sup} = n^o_{travi} \cdot \left[b_{p.sup} \cdot s_{p.sup} \cdot \left(H_{trave} - Y_g - \frac{s_{p.sup}}{2} \right) \right]$$

$$S_{x.an.inf} = n^o_{travi} \cdot \left[b_{p.inf} \cdot s_{p.inf} \cdot \left(Y_g - \frac{s_{p.inf}}{2} \right) \right]$$

$$S_{x.max} = n^o_{travi} \cdot \left[b_{p.inf} \cdot s_{p.inf} \cdot \left(Y_g - \frac{s_{p.inf}}{2} \right) + (Y_g - s_{p.inf}) \cdot s_{anima} \cdot \frac{(Y_g - s_{p.inf})}{2} \right]$$

$$W_{y-sup-E} = \frac{J_y}{\frac{b_{assi_travi}}{2} + \frac{b_{p.sup}}{2}}; \quad W_{y-sup-I} = \frac{J_y}{\frac{b_{assi_travi}}{2} - \frac{b_{p.sup}}{2}}$$

$$W_{y-inf-E} = \frac{J_y}{\frac{b_{assi_travi}}{2} + \frac{b_{p.inf}}{2}}; \quad W_{y-inf-I} = \frac{J_y}{\frac{b_{assi_travi}}{2} - \frac{b_{p.inf}}{2}}$$

$$i_x = \sqrt{\frac{J_x}{Area}}; \quad i_y = \sqrt{\frac{J_y}{Area}}$$

APPALTATORE: <u>Consorzio</u> <u>Soci</u> HIRPINIA - ORSARA AV WEBUILD ITALIA PIZZAROTTI	ITINERARIO NAPOLI – BARI RADDOPPIO TRATTA APICE - ORSARA II LOTTO FUNZIONALE HIRPINIA - ORSARA
PROGETTAZIONE: <u>Mandataria</u> <u>Mandanti</u> ROCKSOIL S.P.A NET ENGINEERING PINI GCF ELETTRI-FER M-INGEGNERIA	
PROGETTO ESECUTIVO	COMMESA LOTTO CODIFICA DOCUMENTO REV. FOGLIO IF3A 02 E ZZ CL VI0009 003 C 64 di 138

Calcolo delle caratteristiche statiche della soletta di calcestruzzo:

$$Area = n^{\circ}_{travi} \cdot \left(\frac{B \cdot s_{getto}}{n} + n^{\circ}_{barresup} \cdot \frac{\pi \phi_{sup}^2}{4} + n^{\circ}_{barreinf} \cdot \frac{\pi \phi_{inf}^2}{4} \right); \quad n^{\circ}_{barresup/inf} = \frac{B}{passo_{barresup/inf}}$$

$$Y_g = \frac{\frac{B \cdot s_{getto}}{n} \cdot \left(H_{trave} + s_{dall} + \frac{s_{getto}}{2} \right) + n^{\circ}_{barresup} \cdot \frac{\pi \phi_{sup}^2}{4} \cdot (H_{trave} + s_{dall} + s_{getto} - coprif) + n^{\circ}_{barreinf} \cdot \frac{\pi \phi_{inf}^2}{4} \cdot (H_{trave} + s_{dall})}{\frac{Area}{n^{\circ}_{travi}}}$$

$$J_x = n^{\circ}_{travi} \left[\frac{\frac{1}{12} B \cdot s_{getto}^3 + B \cdot s_{getto} \cdot \left(H_{trave} + s_{dall} + \frac{s_{getto}}{2} - Y_g \right)^2}{n} + n^{\circ}_{barresup} \cdot \frac{\pi \phi_{sup}^2}{4} \cdot (H_{trave} + s_{dall} + s_{getto} - coprif - Y_g)^2 + n^{\circ}_{barreinf} \cdot \frac{\pi \phi_{inf}^2}{4} \cdot (H_{trave} + s_{dall} - Y_g)^2 \right]$$

$$J_y = n^{\circ}_{travi} \left[\frac{\frac{1}{12} B^3 s_{getto} + B s_{getto} \left(\frac{b_{assi_travi}}{2} \right)^2}{n} + \sum \frac{\pi \phi_{inf}^2}{4} d_i + \sum \frac{\pi \phi_{sup}^2}{4} d_i \right]$$

dove di è funzione che calcola la posizione delle barre d'armatura in direzione Y

APPALTATORE: <u>Consorzio</u> <u>Soci</u> HIRPINIA - ORSARA AV WEBUILD ITALIA PIZZAROTTI	ITINERARIO NAPOLI – BARI RADDOPPIO TRATTA APICE - ORSARA II LOTTO FUNZIONALE HIRPINIA - ORSARA
PROGETTAZIONE: <u>Mandataria</u> <u>Mandanti</u> ROCKSOIL S.P.A NET ENGINEERING PINI GCF ELETTRI-FER M-INGEGNERIA	
PROGETTO ESECUTIVO	COMMESA LOTTO CODIFICA DOCUMENTO REV. IF3A 02 E ZZ CL VI0009 003 C FOGLIO 65 di 138

Calcolo delle caratteristiche statiche della sezione mista Acciaio–Calcestruzzo:

$$\text{Area} = \text{Area}_{acc} + \text{Area}_{cls}$$

$$Y_g = \frac{A_{acc} \cdot Y_{g-acc} + A_{cls} \cdot Y_{g-cls}}{\text{Area}}$$

$$J_x = J_{acc} + J_{cls} + A_{acc}(Y_g - Y_{g-acc})^2 + A_{cls}(Y_g - Y_{g-cls})^2$$

$$J_y = J_{y-acc} + J_{y-cls}$$

$$J_t = \frac{4 \cdot \Omega^2}{\sum \frac{b_i}{s_i}}; \quad \Omega = b_{assi_travi} \cdot \left(H_{trave} + \frac{s_{soletta}}{2} \right)$$

$$W_{x-i} = \frac{J_x}{d_i}$$

$$W_{y-i} = \frac{J_y}{d_i}$$

Dove di rappresenta la distanza dal baricentro della sezione mista al punto in cui si vuole calcolare il modulo di resistenza.

$$S_{bar.sol} = n^{\circ}_{travi} \left\{ \frac{\pi \phi_{sup}^2}{4} n^{\circ}_{barresup} (H_{travi} + s_{soletta} - coprif - Y_g) + \left[\frac{s_{getto} B}{2} \left(H_{travi} + s_{dall} + \frac{s_{getto}}{2} - Y_g \right) \right] \frac{1}{n} \right\}$$

$$S_{pioli} = n^{\circ}_{travi} \left\{ \frac{\pi \phi_{sup}^2}{4} n^{\circ}_{barresup} (H_{travi} + s_{soletta} - coprif - Y_g) + \frac{\pi \phi_{inf}^2}{4} n^{\circ}_{barreinf} (H_{travi} + s_{dall} - Y_g) + \left[\frac{s_{getto} B}{2} \left(H_{travi} + s_{dall} + \frac{s_{getto}}{2} - Y_g \right) \right] \frac{1}{n} \right\}$$

$$S_{an.sup} = n^{\circ}_{travi} \left[b_{p.sup} s_{p.sup} \left(H_{travi} - \frac{s_{p.sup}}{2} - Y_g \right) \right] + A_{cls} (Y_{g-cls} - Y_g)$$

$$S_{an.inf} = n^{\circ}_{travi} \left[b_{p.inf} s_{p.inf} \left(Y_g - \frac{s_{p.inf}}{2} \right) \right]$$

$$S_{x.max} = n^{\circ}_{travi} \left[b_{p.inf} s_{p.inf} \left(Y_g - \frac{s_{p.inf}}{2} \right) + s_{an} \frac{(Y_g - s_{p.inf})^2}{2} \right]$$

APPALTATORE: <u>Consorzio</u> <u>Soci</u> HIRPINIA - ORSARA AV WEBUILD ITALIA PIZZAROTTI	ITINERARIO NAPOLI – BARI RADDOPPIO TRATTA APICE - ORSARA II LOTTO FUNZIONALE HIRPINIA - ORSARA
PROGETTAZIONE: <u>Mandataria</u> <u>Mandanti</u> ROCKSOIL S.P.A NET ENGINEERING PINI GCF ELETTRI-FER M-INGEGNERIA	
PROGETTO ESECUTIVO	COMMESSA IF3A LOTTO 02 CODIFICA E ZZ CL DOCUMENTO VI0009 003 REV. C FOGLIO 66 di 138

10.4.2 SOLLECITAZIONI

Si riportano di seguito le sollecitazioni calcolate tramite il modello f.em. per le principali condizioni di carico. Le sollecitazioni sono estratte dagli elementi beam che rappresentano la sezione mista acciaio – calcestruzzo (omogeneizzata ad acciaio), come descritto al § 10.1.

In Fig. 71 è rappresentata la numerazione degli elementi beam che rappresentano la sezione mista acciaio-calcestruzzo nel modello FEM utilizzato per l'analisi globale dell'impalcato.

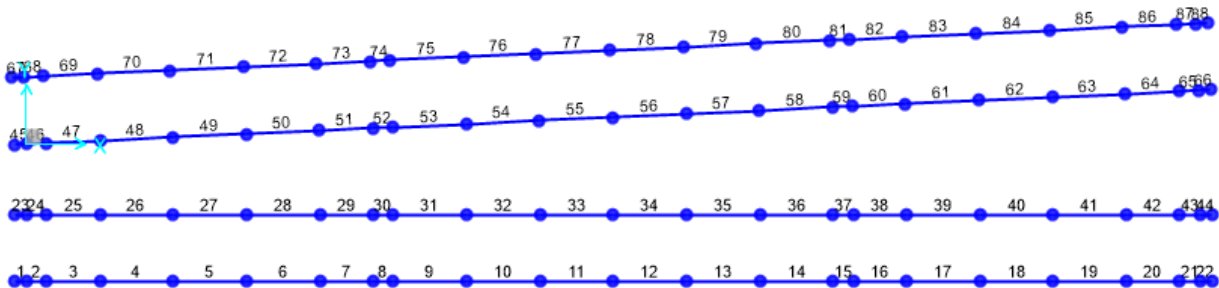


Fig. 71 – Modello FEM: numerazione degli elementi beam

Si riportano di seguito le tabelle dei parametri di sollecitazione relative alle principali condizioni di carico.

APPALTATORE: Consorzio <u>Soci</u> HIRPINIA - ORSARA AV WEBUILD ITALIA PIZZAROTTI											
PROGETTAZIONE: Mandataria <u>Mandanti</u>											
ROCKSOIL S.P.A	NET ENGINEERING ELETTRI-FER	PINI GCF M-INGEGNERIA									
PROGETTO ESECUTIVO											
COMMESSE IF3A											
LOTTO 02				CODIFICA EZ CL				DOCUMENTO VI0009 003			
REV. C				FOGLIO 67 di 138							

ITINERARIO NAPOLI – BARI

RADDOPPIO TRATTA APICE - ORSARA II LOTTO FUNZIONALE HIRPINIA - ORSARA

SOLLECITAZIONI			(kN x m)				SOLLECITAZIONI			(kN x m)				SOLLECITAZIONI			(kN x m)				SOLLECITAZIONI			(kN x m)													
Obj	ACase	ObjSta	P	V3	V2	T	M3	M2	Obj	ACase	ObjSta	P	V3	V2	T	M3	M2	Obj	ACase	ObjSta	P	V3	V2	T	M3	M2	Obj	ACase	ObjSta	P	V3	V2	T	M3	M2		
1 G1a	0.00	0	0	0	0	0	0	0	23 G1a	0.00	0	0	0	0	0	0	0	45 G1a	0.00	0	0	0	0	0	0	0	0	67 G1a	0.00	0	0	0	0	0	0	0	0
1 G1a	0.59	0	0	8	0	-2	0	23 G1a	0.59	0	0	8	0	-2	0	45 G1a	0.59	0	0	8	0	-2	0	67 G1a	0.59	0	0	8	0	-2	0	0	0				
2 G1a	0.00	-9	-1	-541	0	-12	0	24 G1a	0.00	-4	0	-8	0	3	0	46 G1a	0.00	-4	0	-8	0	3	0	68 G1a	0.00	-4	0	-541	0	-7	-2	0	0				
2 G1a	1.00	-9	-1	-528	0	523	2	24 G1a	1.00	-4	0	6	0	4	0	46 G1a	1.00	-4	0	6	0	4	0	68 G1a	1.00	-4	0	-527	0	527	-2	0	0				
3 G1a	0.00	162	0	-500	0	540	2	25 G1a	0.00	167	2	-580	0	580	5	47 G1a	0.00	168	10	-599	0	578	26	69 G1a	0.00	171	-1	-497	0	550	-4	0	0				
3 G1a	2.75	149	0	-460	0	1860	4	25 G1a	2.75	155	2	-540	0	2118	0	47 G1a	2.75	156	10	-559	0	2168	-2	69 G1a	2.75	159	-1	-457	0	1862	-1	0	0				
4 G1a	0.00	5	2	-488	0	1917	4	26 G1a	0.00	-9	0	-548	0	2047	0	48 G1a	0.00	-6	-1	-553	0	2104	-2	70 G1a	0.00	16	-1	-491	0	1921	-1	0	0				
4 G1a	3.63	5	2	-426	0	3574	-3	26 G1a	3.63	-9	0	-486	0	3922	-1	48 G1a	3.63	-6	-1	-491	0	3996	1	70 G1a	3.63	16	-1	-429	0	3587	4	0	0				
5 G1a	0.00	3	0	-419	0	3645	-2	27 G1a	0.00	-3	0	-473	0	3817	-1	49 G1a	0.00	0	0	-468	0	3896	1	71 G1a	0.00	12	0	-424	0	3659	3	0	0				
5 G1a	3.63	3	0	-358	0	5053	-1	27 G1a	3.63	-3	0	-412	0	5422	-1	49 G1a	3.63	0	0	-406	0	5480	0	71 G1a	3.63	12	0	-362	0	5085	2	0	0				
6 G1a	0.00	-2	0	-349	0	5157	-1	28 G1a	0.00	5	2	-400	0	5293	0	50 G1a	0.00	9	-1	-392	0	5353	-1	72 G1a	0.00	6	0	-355	0	5184	1	0	0				
6 G1a	3.63	-2	0	-288	0	6311	-3	28 G1a	3.63	5	2	-338	0	6630	-6	50 G1a	3.63	9	-1	-330	0	6662	4	72 G1a	3.63	6	0	-293	0	6358	1	0	0				
7 G1a	0.00	-11	0	-279	0	6440	-2	29 G1a	0.00	18	-3	-325	0	6488	-5	51 G1a	0.00	20	4	-309	0	6527	4	73 G1a	0.00	-3	2	-286	0	6485	0	0	0				
7 G1a	2.63	-11	0	-235	0	7115	-2	29 G1a	2.63	18	-3	-280	0	7281	2	51 G1a	2.63	20	4	-264	0	7279	-7	73 G1a	2.63	-3	2	-242	0	7178	-4	0	0				
8 G1a	0.00	-11	0	-235	0	7115	-2	30 G1a	0.00	18	-3	-280	0	7281	2	52 G1a	0.00	20	4	-264	0	7279	-7	74 G1a	0.00	-3	2	-242	0	7178	-4	0	0				
8 G1a	1.00	-11	0	-217	0	7341	-2	30 G1a	1.00	18	-3	-262	0	7552	5	52 G1a	1.00	20	4	-246	0	7534	-10	74 G1a	1.00	-3	2	-224	0	7411	-6	0	0				
9 G1a	0.00	-24	2	-210	0	7483	-2	31 G1a	0.00	35	7	-248	0	7405	5	53 G1a	0.00	27	-1	-231	0	7395	-11	75 G1a	0.00	-14	1	-217	0	7544	-7	0	0				
9 G1a	3.63	-24	2	-145	0	8128	-9	31 G1a	3.63	35	7	-183	0	8185	-22	53 G1a	3.63	27	-1	-165	0	8113	-8	75 G1a	3.63	-14	1	-152	0	8213	-11	0	0				
10 G1a	0.00	-40	-2	-146	0	8275	-8	32 G1a	0.00	58	-11	-156	0	8043	-22	54 G1a	0.00	70	-2	-152	0	8017	-10	76 G1a	0.00	-21	-2	-140	0	8351	-13	0	0				
10 G1a	3.63	-40	-2	-81	0	8686	-2	32 G1a	3.63	58	-11	-91	0	8491	18	54 G1a	3.63	70	-2	-87	0	8452	-3	76 G1a	3.63	-21	-2	-75	0	8741	-4	0	0				
11 G1a	0.00	-65	-5	-77	0	8829	-3	33 G1a	0.00	83	6	-72	0	8344	17	55 G1a	0.00	109	-6	-73	0	8364	-4	77 G1a	0.00	-64	-6	-67	0	8833	-5	0	0				
11 G1a	3.63	-65	-5	-12	0	8991	-15	33 G1a	3.63	83	6	-7	0	8488	-4	55 G1a	3.63	109	-6	-8	0	8511	18	77 G1a	3.63	-64	-6	-2	0	8959	17	0	0				
12 G1a	0.00	-79	1	2	0	8987	15	34 G1a	0.00	83	-7	8	0	8486	-5	56 G1a	0.00	110	7	8	0	8501	18	78 G1a	0.00	-86	6	5	0	8882	17	0	0				
12 G1a	3.63	-79	1	67	0	8862	13	34 G1a	3.63	83	-7	73	0	8340	21	56 G1a	3.63	110	7	73	0	8355	-9	78 G1a	3.63	-86	6	70	0	8747	-5	0	0				
13 G1a	0.00	-63	1	71	0	8706	12	35 G1a	0.00	73	4	92	0	8491	20	57 G1a	0.00	94	-4	92	0	8517	-9	79 G1a	0.00	-72	-1	72	0	8587	-5	0	0				
13 G1a	3.62	-63	1	136	0	8332	9	35 G1a	3.62	73	4	157	0	8041	6	57 G1a	3.63	94	-4	158	0	8064	8	79 G1a	3.63	-72	-1	137	0	8207	-2	0	0				
14 G1a	0.00	-43	1	139	0	8179	8	36 G1a	0.00	56	0	182	0	8197	6	58 G1a	0.00	79	-3	177	0	8222	8	80 G1a	0.00	-67	-10	141	0	8070	-2	0	0				
14 G1a	3.63	-43	1	204	0	7557	3	36 G1a	3.63	56	0	247	0	7420	6	58 G1a	3.63	79	-3	243	0	7461	18	80 G1a	3.63	-67	-10	206	0	7440	36	0	0				
15 G1a	0.00	-23	2	213	0	7409	3	37 G1a	0.00	37	3	261	0	7572	6	59 G1a	0.00	75	5	267	0	7598	19	81 G1a	0.00	-30	8	204	0	7358	38	0	0				
15 G1a	1.00	-23	2	231	0	7187	1	37 G1a	1.00	37	3	279	0	7302	3	59 G1a	1.00	75	5	285	0	7322	14	81 G1a	1.00	-30	8	222	0	7145	30	0	0				
16 G1a	0.00	-23	2	231	0	7187	1	38 G1a	0.00	37	3	279	0	7302	3	60 G1a	0.00	75	5	285	0	7322	14	82 G1a	0.00	-30	8	222	0	7145	30	0	0				
16 G1a	2.63	-23	2	276	0	6521	-3	38 G1a	2.63	37	3	323	0	6512	-4	60 G1a	2.63	75	5	329	0	6516	2	82 G1a	2.63	-30	8	266	0	6505	10	0	0				
17 G1a	0.00	-7	0	286	0	6387	-3	39 G1a	0.00	17	0	341	0	6659	-4	61 G1a	0.00	39	2	339	0	6598	4	83 G1a	0.00	1	15	281	0	6434	13	0	0				
17 G1a	3.62	-7	0	348	0	5239	-4	39 G1a	3.62	17	0	403	0	5310	-4	61 G1a	3.63	39	2	400	0	5258	-2	83 G1a	3.63	1	15	343	0	5302	-41	0	0				
18 G1a	0.00	2	0	359	0</td																																

Fig. 73 – Sollecitazioni: peso proprio della soletta G1c

SOLLECITAZIONI			(kN x m)				SOLLECITAZIONI			(kN x m)				SOLLECITAZIONI			(kN x m)				SOLLECITAZIONI			(kN x m)												
Obj	ACase	ObjSta	P	V3	V2	T	M3	M2	Obj	ACase	ObjSta	P	V3	V2	T	M3	M2	Obj	ACase	ObjSta	P	V3	V2	T	M3	M2	Obj	ACase	ObjSta	P	V3	V2	T	M3	M2	
1	G2-tot	0.00	0	0	0	0	0	0	23	G2-tot	0.00	0	0	0	0	0	0	45	G2-tot	0.00	0	0	0	0	0	0	67	G2-tot	0.00	0	0	0	0	0	0	0
1	G2-tot	0.59	0	0	0	0	0	0	23	G2-tot	0.59	0	0	0	0	0	0	45	G2-tot	0.59	0	0	0	0	0	0	67	G2-tot	0.59	0	0	0	0	0	0	0
2	G2-tot	0.00	-8	-28	-1614	-7	-73	-141	24	G2-tot	0.00	-30	0	-2	0	19	0	46	G2-tot	0.00	-26	0	-2	0	16	0	68	G2-tot	0.00	-27	-3	-1688	16	-91	1688	
2	G2-tot	1.00	-8	-28	-1614	-7	-1541	-113	24	G2-tot	1.00	-30	0	-2	0	22	0	46	G2-tot	1.00	-26	0	-2	0	19	1	68	G2-tot	1.00	-27	-3	-1688	16	1597	1701	
3	G2-tot	0.00	736	-63	-1438	18	1611	-138	25	G2-tot	0.00	697	-3	-1172	1	1668	15	47	G2-tot	0.00	653	21	-1341	-4	1287	127	69	G2-tot	0.00	738	54	-1519	-27	1632	2141	
3	G2-tot	2.93	736	-63	-1438	18	15823	47	25	G2-tot	2.93	697	-3	-1172	1	5102	23	47	G2-tot	2.93	653	21	-1341	-4	5217	65	69	G2-tot	2.93	738	54	-1519	-27	6082	57	
4	G2-tot	0.00	16	-24	-1386	4	5812	-105	26	G2-tot	0.00	56	13	-1206	0	5241	0	48	G2-tot	0.00	26	41	-1270	-6	5175	127	70	G2-tot	0.00	-14	67	-1456	-11	5997	2401	
4	G2-tot	3.63	16	-24	-1386	4	10845	-19	26	G2-tot	3.63	56	13	-1206	0	9613	-54	48	G2-tot	3.63	26	41	-1270	-6	9779	-23	70	G2-tot	3.63	-14	67	-1456	-11	11273	-3	
5	G2-tot	0.00	28	-46	-1166	6	10777	-100	27	G2-tot	0.00	25	-95	-1032	7	9692	-154	49	G2-tot	0.00	32	127	-1067	-13	9844	186	71	G2-tot	0.00	8	88	-1236	-14	11061	14147	
5	G2-tot	3.63	28	-46	-1166	6	15004	67	27	G2-tot	3.63	25	-95	-1032	7	13431	192	49	G2-tot	3.63	32	127	-1067	-13	13712	-275	71	G2-tot	3.63	8	88	-1236	-14	15540	-180	
6	G2-tot	0.00	24	3	-932	2	14993	-11	28	G2-tot	0.00	-9	110	-872	-7	13362	185	50	G2-tot	0.00	37	-82	-884	2	13647	169	72	G2-tot	0.00	10	28	-995	-10	15418	-17	
6	G2-tot	3.63	24	3	-932	2	18371	-27	28	G2-tot	3.63	-9	110	-872	-7	16524	-215	50	G2-tot	3.63	37	-82	-884	2	16852	129	72	G2-tot	3.63	10	28	-995	-10	19027	-117	
7	G2-tot	0.00	57	-25	-725	3	18444	-80	29	G2-tot	0.00	-25	-125	-674	9	16511	-224	51	G2-tot	0.00	26	137	-690	-13	16835	206	73	G2-tot	0.00	38	43	-778	-10	19028	2	
7	G2-tot	2.63	57	-25	-725	3	20346	-14	29	G2-tot	2.63	-25	-125	-674	9	18281	103	51	G2-tot	2.63	26	137	-690	-13	18464	-154	73	G2-tot	2.63	38	43	-778	-10	21070	-10	
8	G2-tot	0.00	57	-25	-725	3	20346	-14	30	G2-tot	0.00	-25	-125	-674	9	18281	103	52	G2-tot	0.00	26	137	-690	-13	18464	-154	74	G2-tot	0.00	38	43	-778	-10	21070	-10	
8	G2-tot	1.00	57	-25	-725	3	21071	11	30	G2-tot	1.00	-25	-125	-674	9	18955	228	52	G2-tot	1.00	26	137	-690	-13	19337	-290	74	G2-tot	1.00	38	43	-778	-10	21848	-153	
9	G2-tot	0.00	65	10	-504	0	21096	-30	31	G2-tot	0.00	-58	145	-499	-8	18880	234	53	G2-tot	0.00	10	-132	-502	4	19267	-260	75	G2-tot	0.00	51	-2	-545	-6	21806	-77	
9	G2-tot	3.63	65	10	-504	0	22924	-65	31	G2-tot	3.63	-58	145	-499	-8	20687	-290	53	G2-tot	3.63	10	-132	-502	4	21087	219	75	G2-tot	3.62	51	-2	-545	-6	23782	-71	
10	G2-tot	0.00	95	-35	-312	4	23008	-113	32	G2-tot	0.00	-65	-161	-282	10	20657	-313	52	G2-tot	0.00	-11	151	-299	-12	21043	243	76	G2-tot	0.00	78	29	-340	-8	23834	-29	
10	G2-tot	3.63	95	-35	-312	4	24139	12	32	G2-tot	3.63	-65	-161	-282	10	21680	271	54	G2-tot	3.63	-11	151	-299	-12	22128	-305	76	G2-tot	3.63	78	29	-340	-8	25066	-136	
11	G2-tot	0.00	95	-19	-100	3	24173	-60	33	G2-tot	0.00	-87	139	-98	-7	21572	236	55	G2-tot	0.00	-26	-145	-103	5	21999	-301	77	G2-tot	0.00	85	2	-115	-5	25080	-112	
11	G2-tot	3.63	95	-19	-100	3	24537	10	33	G2-tot	3.63	-87	139	-98	-7	21926	266	55	G2-tot	3.63	-26	-145	103	5	22373	224	77	G2-tot	3.62	85	2	-115	-5	25497	-119	
12	G2-tot	0.00	94	-9	94	1	24489	-35	34	G2-tot	0.00	-98	-157	116	10	19305	-302	56	G2-tot	0.00	-40	124	97	-9	22340	191	78	G2-tot	0.00	92	-30	94	0	25455	70	
12	G2-tot	3.63	94	-9	94	1	24148	-3	34	G2-tot	3.63	-98	-157	116	10	21515	269	56	G2-tot	3.63	-40	124	97	-9	21990	-260	78	G2-tot	3.63	92	-30	94	0	25115	-59	
13	G2-tot	0.00	106	13	307	-1	24045	-12	35	G2-tot	0.00	-83	133	298	-8	21683	225	57	G2-tot	0.00	-13	163	291	8	21233	-325	79	G2-tot	0.00	108	-62	321	3	25032	-193	
13	G2-tot	3.63	106	13	307	-1	24932	-59	35	G2-tot	3.62	-83	133	298	-8	20603	-259	57	G2-tot	3.63	-13	163	291	8	21077	267	79	G2-tot	3.63	108	-62	321	3	23869	31	
14	G2-tot	0.00	99	-24	502	2	22766	-72	36	G2-tot	0.00	-101	-158	509	10	20702	-312	58	G2-tot	0.00	-43	107	492	-7	21134	176	80	G2-tot	0.00	101	-35	531	2	23761	-17	
14	G2-tot	3.63	99	-24	502	2	20947	16	36	G2-tot	3.63	-101	-158	509	10	18857	261	58	G2-tot	3.63	-43	107	492	-7	19349	-212	80	G2-tot	3.62	101	-35	531	2	21837	-111	
15	G2-tot	0.00	121	15	722	-2	20838	26	37	G2-tot	0.00	-95	103	682	-8	19018	188	59	G2-tot	0.00	-32	-150	680	11	19456	-313	81	G2-tot	0.00	131	-79	767	7	21788	-73	
15	G2-tot	1.00	121	15	722	-2	20116	11	37	G2-tot	1.00	-95	103	682	-8	18336	85	59	G2-tot	1.00	-32	-150	680	11	18776	-163	82	G2-tot	0.00	131	-79	767	7	21022	-144	
16	G2-tot	0.00	121	15	722	-2	20116	11	38	G2-tot	0.00	-95	103	682	-8	18336	85	60	G2-tot	0.00	-32	-150	680	11	18776	-163	82	G2-tot	0.00	131	-79	767	7	21022	-144	
16	G2-tot	2.63	121	15	722	-2	18220	-29	38	G2-tot	2.63	-95	103	682	-8	16545	-186	60	G2-tot	2.63	-32	-150	680	11	16992	232	82	G2-tot	2.63	131	-79	767	7	19009	65	
17	G2-tot	0.00	111	0	928	-1	18110	4	39	G2-tot	0.00	-101	-120	878	9	16609	-224	61	G2-tot	0.00	-56	56	872	-4	16991	74	83	G2-tot	0.00	123	-70	989	8	18996	-185	
17	G2-tot	3.62	111	0	928	-1	14745	5	39	G2-tot	3.62	-101	-120	878	9	13426	212	61	G2-tot	3.63	-56	56	872	-4	13830	-131	83	G2-tot	3.63	123	-70	989	8	15410	67	
18	G2-tot	0.00	115	53	1162	-6	14765	74	40	G2-tot	0.00	-73	-81	1036	-8	13495	179	62	G2-tot	0.00	-41	-143	1047	14	10042	211	84	G2-tot	0.00	137	-123	1239	14	11034	224	
18	G2-tot	3.63	115	53	1162	-6	10552	-117	40	G2-tot	3.63	-73	-81	1036	-8	9741	-116	62	G2-tot	3.63	-41	-143	1047	14	10042	211	84	G2-tot	3.63	137	-123	1239	14	11034	224	
19	G2-tot	0.00	77	47	1390	-6	10696	-33	41	G2-tot	0.00	-25	-9	1205	-1	9611	-82	63	G2-tot	0.00	-33	-75	1221	9	9864	-28	85	G2-tot	0.00	109	-103	1485	13	11301	-73	
19	G2-tot	3.63	77	47	1390	-6	5656	-205	41	G2-tot	3.63	-25	-9	1205	-1	5244	-49	63	G2-tot	3.63	-33	-75	1221	9	5437	244	85	G2-tot	3.63	109	-103	1485	13	5918	301	
20	G2-tot	0.00	753	62	1458	-25	5810	-37	42	G2-tot	0.00	640	-21	1196	-8	5036	-87	64	G2-tot	0.00	640	-10	1235	19	5177	137	86	G2-tot	0.00	839	-78	1561	5	6208	-55	
20	G2-tot	2.93	753	62	1458	-25	1540	-218	42	G2-tot	2.93	640	-21	1196	-8	1532	-24	64	G2-tot	2.94	640	-10	1235	19	1549	167	86	G2-tot	2.94	839						

Fig. 74 – Sollecitazioni: sovraccarichi permanenti G2

<p>APPALTATORE:</p> <p><u>Consorzio</u> <u>Soci</u></p> <p>HIRPINIA - ORSARA AV WEBUILD ITALIA PIZZAROTTI</p>	<p>ITINERARIO NAPOLI – BARI</p> <p>RADDOPPIO TRATTA APICE - ORSARA</p> <p>II LOTTO FUNZIONALE HIRPINIA - ORSARA</p>
<p>PROGETTAZIONE:</p> <p><u>Mandataria</u> <u>Mandanti</u></p> <p>ROCKSOIL S.P.A NET ENGINEERING PINI GCF</p> <p>ELETTRI-FER M-INGEGNERIA</p>	

SOLLECITAZIONI		(kN x m)						SOLLECITAZIONI		(kN x m)						SOLLECITAZIONI		(kN x m)						SOLLECITAZIONI		(kN x m)									
Obj	StepType	ObjSta	P	V3	V2	T	M3	M2	Obj	StepType	ObjSta	P	V3	V2	T	M3	M2	Obj	StepType	ObjSta	P	V3	V2	T	M3	M2	Obj	StepType	ObjSta	P	V3	V2	T	M3	M2
Q1a	LMT1 Max P	0.0	0	0	0	0	0	0	Q1a	LMT1 Max P	0.0	0.47	-75	-249	22	3985	-19	Q1a	LMT1 Max P	0.0	209	-189	-280	56	4494	-19	Q1a	LMT1 Max P	0.0	54	-237	-41	91	3513	13
Q1a	LMT1 Max P	3.6	0	0	0	0	0	0	Q1a	LMT1 Max P	3.6	47	-75	-249	22	4886	254	Q1a	LMT1 Max P	3.6	209	-189	-280	56	5511	489	Q1a	LMT1 Max P	3.6	54	-237	-41	91	3661	99
Q1a	LMT1 Max V2	0.0	-29	-60	105	25	3713	98	Q1a	LMT1 Max V2	0.0	7	-32	-107	4	2766	54	Q1a	LMT1 Max V2	0.0	0	0	0	0	0	0	Q1a	LMT1 Max V2	0.0	0	0	0	0	0	
Q1a	LMT1 Max V2	3.6	-29	-60	105	25	3334	318	Q1a	LMT1 Max V2	3.6	7	-32	-107	4	2376	96	Q1a	LMT1 Max V2	3.6	0	0	0	0	0	0	Q1a	LMT1 Max V2	3.6	0	0	0	0	0	
Q1a	LMT1 Max V3	0.0	0	0	0	0	0	0	Q1a	LMT1 Max V3	0.0	8	1	34	803	25	Q1a	LMT1 Max V3	0.0	0	0	0	0	0	0	Q1a	LMT1 Max V3	0.0	0	0	0	0	0		
Q1a	LMT1 Max V3	3.6	0	0	0	0	0	0	Q1a	LMT1 Max V3	3.6	8	1	34	675	22	Q1a	LMT1 Max V3	3.6	0	0	0	0	0	0	Q1a	LMT1 Max V3	3.6	0	0	0	0	0		
Q1a	LMT1 Max V3	3.6	139	-263	-799	101	9504	43	Q1a	LMT1 Max V3	3.6	0	-82	-221	-626	205	Q1a	LMT1 Max V3	3.6	201	-210	-305	52	5353	-187	Q1a	LMT1 Max V3	3.6	50	-256	-43	99	3677	1	
Q1a	LMT1 Max V3	3.6	139	-263	-799	101	1240	988	Q1a	LMT1 Max V3	3.6	0	-82	-221	-626	205	Q1a	LMT1 Max V3	3.6	201	-210	-305	52	5642	576	Q1a	LMT1 Max V3	3.6	50	-256	-43	98	3834	99	
Q1a	LMT1 Max M2	0.0	-107	115	-436	43	7211	200	Q1a	LMT1 Max M2	0.0	17	-76	78	6	3254	54	Q1a	LMT1 Max M2	0.0	4	-27	-24	29	39	72	Q1a	LMT1 Max M2	0.0	39	-111	-22	42	1861	102
Q1a	LMT1 Max M2	3.6	-138	-258	-640	100	1256	101	Q1a	LMT1 Max M2	3.6	-76	-220	-420	65	6563	904	Q1a	LMT1 Max M2	3.6	176	-208	-295	61	6557	588	Q1a	LMT1 Max M2	3.6	50	-256	-41	99	3762	101
Q1a	LMT1 Max M2	0.0	-145	-257	-692	100	1256	101	Q1a	LMT1 Max M2	0.0	-76	-199	-409	50	7498	151	Q1a	LMT1 Max M2	0.0	3	-209	-206	26	5460	164	Q1a	LMT1 Max M2	0.0	50	-256	-43	98	3698	8
Q1a	LMT1 Max M2	3.6	-152	-244	-828	93	13169	993	Q1a	LMT1 Max M2	3.6	-76	-220	-420	65	6563	904	Q1a	LMT1 Max M2	3.6	176	-208	-302	61	6546	582	Q1a	LMT1 Max M2	3.6	50	-256	-43	98	3845	101
Q1a	LMT1 Min P	0.0	152	-244	-828	93	10166	108	Q1a	LMT1 Min P	0.0	-151	-165	-387	49	3992	195	Q1a	LMT1 Min P	0.0	12	-40	-42	12	1502	10	Q1a	LMT1 Min P	0.0	0	0	0	0	0	
Q1a	LMT1 Min P	3.6	-152	-244	-828	93	13169	993	Q1a	LMT1 Min P	3.6	-151	-165	-387	49	3993	205	Q1a	LMT1 Min P	3.6	12	-40	-42	12	1656	10	Q1a	LMT1 Min P	3.6	0	0	0	0	0	
Q1a	LMT1 Min V2	0.0	-136	-214	-906	81	7129	543	Q1a	LMT1 Min V2	0.0	-82	-212	-634	63	5765	226	Q1a	LMT1 Min V2	0.0	197	-210	-306	52	5406	182	Q1a	LMT1 Min V2	0.0	50	-256	-43	98	3680	1
Q1a	LMT1 Min V2	3.6	-136	-214	-906	81	1240	988	Q1a	LMT1 Min V2	3.6	-82	-212	-634	63	6193	543	Q1a	LMT1 Min V2	3.6	197	-210	-306	52	6151	573	Q1a	LMT1 Min V2	3.6	50	-256	-43	98	3837	99
Q1a	LMT1 Min V3	0.0	-138	-262	-806	101	9574	54	Q1a	LMT1 Min V3	0.0	-82	-211	-635	64	6708	205	Q1a	LMT1 Min V3	0.0	200	-210	-306	52	5374	185	Q1a	LMT1 Min V3	0.0	50	-256	-43	98	3687	1
Q1a	LMT1 Min V3	3.6	-138	-262	-806	101	12456	995	Q1a	LMT1 Min V3	3.6	-82	-211	-635	64	6941	596	Q1a	LMT1 Min V3	3.6	200	-210	-306	52	6483	577	Q1a	LMT1 Min V3	3.6	50	-256	-43	98	3844	100
Q1a	LMT1 Min T	0.0	0	0	0	0	0	0	Q1a	LMT1 Min T	0.0	8	1	34	803	25	Q1a	LMT1 Min T	0.0	0	0	0	0	0	0	Q1a	LMT1 Min T	0.0	0	0	0	0	0		
Q1a	LMT1 Min T	3.6	0	0	0	0	0	0	Q1a	LMT1 Min T	3.6	8	1	34	679	22	Q1a	LMT1 Min T	3.6	0	0	0	0	0	0	Q1a	LMT1 Min T	3.6	0	0	0	0	0		
Q1a	LMT1 Min V2	0.0	-54	-158	-477	62	3571	120	Q1a	LMT1 Min V2	0.0	-129	-202	-600	60	4890	232	Q1a	LMT1 Min V2	0.0	206	-191	-285	52	4311	-206	Q1a	LMT1 Min V2	0.0	30	-156	-23	60	2020	-11
Q1a	LMT1 Min V2	3.6	0	0	0	0	0	0	Q1a	LMT1 Min V2	3.6	0	0	0	0	0	0	Q1a	LMT1 Min V2	3.6	0	0	0	0	0	0	Q1a	LMT1 Min V2	3.6	0	0	0	0	0	
Q1a	LMT1 Min M	0.0	0	0	0	0	0	0	Q1a	LMT1 Min M	0.0	0	0	0	0	0	0	Q1a	LMT1 Min M	0.0	0	0	0	0	0	0	Q1a	LMT1 Min M	0.0	0	0	0	0	0	
Q1a	LMT1 Min M	3.6	0	0	0	0	0	0	Q1a	LMT1 Min M	3.6	0	0	0	0	0	0	Q1a	LMT1 Min M	3.6	0	0	0	0	0	0	Q1a	LMT1 Min M	3.6	0	0	0	0	0	
Q1a	LMT1 Min M	0.0	0	0	0	0	0	0	Q1a	LMT1 Min M	0.0	0	0	0	0	0	0	Q1a	LMT1 Min M	0.0	0	0	0	0	0	0	Q1a	LMT1 Min M	0.0	0	0	0	0	0	
Q1a	LMT1 Min M	3.6	0	0	0	0	0	0	Q1a	LMT1 Min M	3.6	0	0	0	0	0	0	Q1a	LMT1 Min M	3.6	0	0	0	0	0	0	Q1a	LMT1 Min M	3.6	0	0	0	0	0	
Q1a	LMT1 Max T	0.0	-130	-210	-487	81	4100	857	Q1a	LMT1 Max T	0.0	14	-165	-548	48	8751	-57	Q1a	LMT1 Max T	0.0	55	-159	-219	45	6163	-47	Q1a	LMT1 Max T	0.0	68	-204	-20	76	4405	82
Q1a	LMT1 Max T	2.6	-130	-210	-487	81	4100	857	Q1a	LMT1 Max T	2.6	14	-165	-548	48	10206	377	Q1a	LMT1 Max T	2.6	55	-159	-219	45	6738	69	Q1a	LMT1 Max T	2.6	68	-204	-20	76	4458	82
Q1a	LMT1 Max M2	0.0	-120	-126	-468	40	1052	26	Q1a	LMT1 Max M2	0.0	42	-15	75	4	4844	106	Q1a	LMT1 Max M2	0.0	20	-45	-25	17	2978	105	Q1a	LMT1 Max M2	0.0	50	-123	-16	47	3284	99
Q1a	LMT1 Max M2	2.6	-130	-209	-487	81	4100	857	Q1a	LMT1 Max M2	2.6	14	-165	-548	48	10206	377	Q1a	LMT1 Max M2	2.6	55	-159	-219	45	6836	103	Q1a	LMT1 Max M2	2.6	70	-192	-20	76	4439	86
Q1a	LMT1 Max M2	0.0	-139	-213	-532	63	1819	262	Q1a	LMT1 Max M2	0.0	14	-165	-555	48	10177	377	Q1a	LMT1 Max M2	0.0	20	-55	-207	45	6738	69	Q1a	LMT1 Max M2	0.0	60	-144	-20	76	4475	82
Q1a	LMT1 Max M2	3.6	-122	-213	-532	63	1819	262	Q1a	LMT1 Max M2	3.6	-145	-213	-532	63	10177	377	Q1a	LMT1 Max M2	3.6	55	-159	-219	45	6163	-47	Q1a	LMT1 Max M2	3.6	68	-204	-20	76	4422	99
Q1a	LMT1 Max M2	0.0	0	0	0	0	0	0	Q1a	LMT1 Max M2	0.0	23	3	68	1	4634	47	Q1a	LMT1 Max M2	0.0	35	-159	-219	45	6598	528	Q1a	LMT1 Max M2	0.0	60	-204	-20	76	4475	82
Q1a	LMT1 Max M2	3.6	0	0	0	0	0	0	Q1a	LMT1 Max M2	3.6	0	20	-76	3	4634	47	Q1a	LMT1 Max M2	3.6	55	-159	-219	45	6598	528	Q1a	LMT1 Max M2	3.6	68	-204	-20	76	4475	82
Q1a	LMT1 Min T	0.0	-121	-211	-532	63	14251	1028	Q1a	LMT1 Min T	0.0	14	-165	-555	48	10173	541	Q1a	LMT1 Min T	0.0	20	-55	-219	45	6598	528	Q1a	LMT1 Min T	0.0	60	-204	-20	76	4475	82
Q1a	LMT1 Min T	3.6	-121	-211	-532	63	14251	1028	Q1a	LMT1 Min T	3.6	0	20	-76	3	4634	47	Q1a	LMT1 Min T	3.6	55	-159	-219	45	6598	528	Q1a	LMT1 Min T	3.6	68	-204	-20	76	4475	82
Q1a	LMT1 Min T	0.0	-18	-23	-83	-1	1238	63	Q1a	LMT1 Min T	0.0	22	9	9	-2	2885	323	Q1a	LMT1 Min T	0.0	2	14	0	0	733	33	Q1a	LMT1 Min T	0.0	0	0	0	0	0	
Q1a	LMT1 Min T	3.6	-18	-23	-83	-1	1238	63	Q1a	LMT1 Min T	3.6	22	9	9	-2	2885	323	Q1a	LMT1 Min T	3.6	2	14	0	0	733	33	Q1a	LMT1 Min T	3.6	0	0	0	0	0	
Q1a	LMT1 Min T	0.0	-7	-43	-123	-14	1501	-54	Q1a	LMT1 Min T	0.0	7	-141	-417	37	6024	-93	Q1a	LMT1 Min T	0.0	19	-105	-348	27	2134	-76	Q1a	LMT1 Min T	0.0	8	-31	-10	561	1	
Q1a	LMT1 Min T	3.6	-16	-20	-83	-1	1501	-54	Q1a	LMT1 Min T	3.6	0	23	-31	34	6569	-110	Q1a	LMT1 Min T	3.6	3	-20	-35	27	3029	-76	Q1a	LMT1 Min T	3.6	0	55	16	4	1261	3
Q1a	LMT1 Min T	0.0	-28	-11	-114	-1	1144	-404	Q1a	LMT1 Min T	0.0	31	-22	-17	-7	6331	-20	Q1a	LMT1 Min T	0.0	5	-25	-30	27	3029	-76	Q1a	LMT1 Min T	0.0						

APPALTATORE:

Consorzio

Soci

HIRPINIA - ORSARA AV WEBUILD ITALIA PIZZAROTTI

PROGETTAZIONE:

Mandataria

Mandanti

ROCKSOIL S.P.A.

NET ENGINEERING

PINI

GCF

ELETTRI-FER

M-INGEGNERIA

PROGETTO ESECUTIVO

ITINERARIO NAPOLI - BARI

RADDOPPIO TRATTA APICE - ORSARA
II LOTTO FUNZIONALE HIRPINIA - ORSARACOMMESA LOTTO CODIFICA DOCUMENTO REV.
IF3A 02 E ZZ CL VI0009 003 C FOGLIO
IF3A 02 E ZZ CL VI0009 003 C 72 di 138

Obi	StepType	SOLLECITAZIONI (kN x m)						Obi	StepType	SOLLECITAZIONI (kN x m)						Obi	StepType	SOLLECITAZIONI (kN x m)						Obi	StepType	SOLLECITAZIONI (kN x m)						
		ObjSta	P	V3	V2	T	M3	M2	ObjSta	P	V3	V2	T	M3	M2	ObjSta	P	V3	V2	T	M3	M2	ObjSta	P	V3	V2	T	M3	M2			
131	Q1a LM71 Max P	0.0	29	-89	-394	24	7359	293	33a LM71 Max P	0.0	86	-56	-115	12	9138	182	59a LM71 Max P	0.0	6	2	9	0	147	8	77a LM71 Max P	0.0	215	-12	24	1	5272	834
131	Q1a LM71 Min P	0.0	-6	29	-394	24	7359	293	33a LM71 Min P	0.0	86	-56	-115	12	9138	182	59a LM71 Min P	0.0	-15	-16	-17	-18	-19	8	77a LM71 Min P	0.0	215	-12	24	1	5272	834
131	Q1a LM71 Max V2	0.0	-22	-17	-364	-6	10099	483	33a LM71 Max V2	0.0	20	-28	-279	-7	7377	231	59a LM71 Max V2	0.0	-82	-82	-82	-82	-82	8	77a LM71 Max V2	0.0	209	-27	24	1	5432	868
131	Q1a LM71 Min V2	0.0	22	-17	-364	-6	10099	483	33a LM71 Min V2	0.0	20	-28	-279	-7	7377	231	59a LM71 Min V2	0.0	-82	-82	-82	-82	-82	8	77a LM71 Min V2	0.0	209	-27	24	1	5432	868
131	Q1a LM71 Max V3	3.6	-2	29	-364	6	8780	550	33a LM71 Max V3	3.6	-2	28	-279	6526	150	59a LM71 Max V3	3.6	-82	-82	-82	-82	-82	8	77a LM71 Max V3	3.6	-109	-27	24	1	5345	967	
131	Q1a LM71 Min V3	0.0	-22	31	198	-9	6945	416	33a LM71 Min V3	0.0	17	28	277	-7	7323	245	59a LM71 Min V3	0.0	-48	23	87	3	2213	166	77a LM71 Min V3	0.0	82	46	14	34	2620	488
131	Q1a LM71 Max V3	3.6	-22	31	198	-9	6945	416	33a LM71 Max V3	3.6	-2	28	277	-7	7318	142	59a LM71 Max V3	3.6	-48	23	87	6	2898	94	77a LM71 Max V3	3.6	82	46	14	25	3271	320
131	Q1a LM71 Max T	0.0	11	-110	-126	32	12072	469	33a LM71 Max T	0.0	54	-100	-385	24	7378	55	59a LM71 Max T	0.0	-134	-70	-78	-78	-78	8	77a LM71 Max T	0.0	40	-74	12	20	3219	406
131	Q1a LM71 Min T	3.6	11	-110	-126	32	12527	868	33a LM71 Min T	3.6	54	-100	-385	24	8773	418	59a LM71 Min T	3.6	-134	-70	-78	-78	-78	8	77a LM71 Min T	3.6	111	-20	24	3	5421	868
131	Q1a LM71 Max M2	0.0	-4	-70	-208	19	17270	324	33a LM71 Max M2	0.0	54	-43	-101	10	12879	297	59a LM71 Max M2	0.0	-187	-38	-22	7	7491	21	77a LM71 Max M2	0.0	111	-20	24	3	5421	868
131	Q1a LM71 Min M2	3.6	-6	-88	-16	25	17531	110	33a LM71 Min M2	3.6	58	-80	-185	18	13355	523	59a LM71 Min M2	3.6	-195	-55	-1	10	7508	459	77a LM71 Min M2	3.6	106	-34	24	7	5337	977
131	Q1a LM71 Max M3	3.6	-7	-86	-68	24	17490	794	33a LM71 Max M3	0.0	60	-54	-56	12	12985	286	59a LM71 Max M3	0.0	-199	-49	9	9	7536	21	77a LM71 Max M3	0.0	109	-27	24	5	5433	868
131	Q1a LM71 Min M3	3.6	-4	-70	-207	19	17923	1078	33a LM71 Min M3	3.6	58	-80	-185	18	13355	523	59a LM71 Min M3	3.6	-198	-53	4	10	7513	457	77a LM71 Min M3	3.6	108	-30	24	6	5435	972
131	Q1a LM71 Min P	0.0	-29	-15	198	4	13978	583	33a LM71 Min P	0.0	-34	-4	-27	3	4570	154	59a LM71 Min P	0.0	-199	-3	3	14	7456	264	77a LM71 Min P	0.0	0	0	0	0	0	
131	Q1a LM71 Min P	3.6	-29	-15	198	4	13978	583	33a LM71 Min P	3.6	-34	-4	-27	3	4473	129	59a LM71 Min P	3.6	-199	-52	3	10	7445	453	77a LM71 Min P	3.6	0	0	0	0	0	
131	Q1a LM71 Min V2	0.0	19	-73	-48	19	9774	447	33a LM71 Min V2	0.0	51	-100	-386	24	7191	50	59a LM71 Min V2	0.0	-103	-66	-82	15	4052	79	77a LM71 Min V2	0.0	0	0	0	1	0	
131	Q1a LM71 Min V2	3.6	19	-73	-48	19	11540	713	33a LM71 Min V2	3.6	51	-100	-386	24	8591	411	59a LM71 Min V2	3.6	-103	-66	-82	15	4350	319	77a LM71 Min V2	3.6	0	0	0	0	0	
131	Q1a LM71 Min V3	0.0	10	-110	-131	32	12157	473	33a LM71 Min V3	0.0	55	-100	-379	24	7531	59	59a LM71 Min V3	0.0	-152	-72	-69	15	5022	129	77a LM71 Min V3	0.0	41	-74	12	20	3246	1015
131	Q1a LM71 Min V3	3.6	10	-110	-131	32	12703	873	33a LM71 Min V3	3.6	55	-100	-379	24	8906	422	59a LM71 Min V3	3.6	-152	-72	-69	15	5272	391	77a LM71 Min V3	3.6	41	-74	12	20	3220	683
131	Q1a LM71 Min V3	0.0	-22	30	164	-6	6775	405	33a LM71 Min V3	0.0	17	28	276	-7	7351	246	59a LM71 Min V3	0.0	-50	23	87	-6	3257	168	77a LM71 Min V3	0.0	83	46	14	34	2666	496
131	Q1a LM71 Min T	3.6	-22	30	164	-6	6812	296	33a LM71 Min T	3.6	17	28	276	-7	6345	165	59a LM71 Min T	3.6	-50	23	87	-6	2941	86	77a LM71 Min T	3.6	83	46	14	26	3215	329
131	Q1a LM71 Min M2	0.0	0	0	0	0	0	0	33a LM71 Min M2	0.0	17	-22	-68	10	567	161	59a LM71 Min M2	0.0	0	0	0	0	0	0	77a LM71 Min M2	0.0	0	0	0	0	1	
131	Q1a LM71 Min M2	3.6	0	0	0	0	0	0	33a LM71 Min M2	3.6	0	0	0	0	0	1	59a LM71 Min M2	3.6	0	0	0	0	0	0	77a LM71 Min M2	3.6	0	0	0	0	0	
131	Q1a LM71 Min M3	0.0	0	0	0	0	0	0	33a LM71 Min M3	0.0	0	0	0	0	0	1	59a LM71 Min M3	0.0	0	0	0	0	0	0	77a LM71 Min M3	0.0	0	0	0	0	0	
131	Q1a LM71 Min M3	3.6	0	0	0	0	0	0	33a LM71 Min M3	3.6	0	0	0	0	0	1	59a LM71 Min M3	3.6	0	0	0	0	0	0	77a LM71 Min M3	3.6	0	0	0	0	0	
131	Q1a LM71 Max V2	3.6	-3	88	-456	-3	9723	394	33a LM71 Max V2	3.6	55	131	-307	-28	7298	13	59a LM71 Max V2	3.6	-178	85	162	-21	4839	72	77a LM71 Max V2	3.6	90	74	12	24	3029	708
131	Q1a LM71 Max V2	3.6	-3	88	-456	-3	9723	394	33a LM71 Max V2	3.6	55	131	-307	-28	7298	13	59a LM71 Max V2	3.6	-178	85	162	-21	4839	72	77a LM71 Max V2	3.6	90	74	12	24	3029	708
131	Q1a LM71 Max V3	3.6	-3	88	-456	-3	9723	394	33a LM71 Max V3	3.6	55	131	-307	-28	7298	13	59a LM71 Max V3	3.6	-178	85	162	-21	4839	72	77a LM71 Max V3	3.6	90	74	12	24	3029	708
131	Q1a LM71 Max V3	0.0	-13	73	-137	-20	8569	542	33a LM71 Max V3	0.0	-14	34	-34	-3	3192	140	59a LM71 Max V3	0.0	-254	70	17	-27	7548	504	77a LM71 Max V3	0.0	0	0	0	1	0	
131	Q1a LM71 Min V3	3.6	-13	73	-137	-20	8073	284	33a LM71 Min V3	3.6	-14	34	-34	-3	3068	263	59a LM71 Min V3	3.6	-254	70	17	-27	7087	600	77a LM71 Min V3	3.6	0	0	0	0	1	
131	Q1a LM71 Min V2	0.0	15	35	-389	-382	8994	600	33a LM71 Min V2	0.0	66	-357	-45	-4666	195	59a LM71 Min V2	0.0	-63	-27	3	2565	797	77a LM71 Min V2	0.0	0	0	0	0	0			
131	Q1a LM71 Min V2	3.6	15	35	-389	-382	8994	600	33a LM71 Min V2	3.6	66	-357	-45	-4666	195	59a LM71 Min V2	3.6	-63	-27	3	2565	797	77a LM71 Min V2	3.6	0	0	0	0	0			
131	Q1a LM71 Min V3	0.0	15	35	-389	-382	8994	600	33a LM71 Min V3	0.0	66	-357	-45	-4666	195	59a LM71 Min V3	0.0	-63	-27	3	2565	797	77a LM71 Min V3	0.0	0	0	0	0	0			
131	Q1a LM71 Max P	0.0	11	14	-137	-203	17711	1111	33a LM71 Max P	0.0	200	113	-185	-26	13456	514	59a LM71 Max P	0.0	-269	88	181	-22	7227	462	77a LM71 Max P	0.0	53	125	12	24	3610	424
131	Q1a LM71 Max P	3.6	-1	14	-137	-203	17711	1111	33a LM71 Max P	3.6	104	-28	-279	3	3063	134	59a LM71 Max P	3.6														

APPALTATORE:

Consorzio Soci

HIRPINIA - ORSARA AV WEBUILD ITALIA PIZZAROTTI

PROGETTAZIONE:

Mandataria Mandanti

ROCKSOIL S.P.A. NET ENGINEERING PINI GCF
ELETTRI-FER M-INGEGNERIA

ITINERARIO NAPOLI - BARI

RADDOPPIO TRATTA APICE - ORSARA
II LOTTO FUNZIONALE HIRPINIA - ORSARA

PROGETTO ESECUTIVO

COMMESMA	LOTTO	CODIFICA	DOCUMENTO	REV.	FOGLIO
IF3A	02	E ZZ CL	V10009 003	C	73 di 138

Obi	StepType	SOLLECITAZIONI				SOLLECITAZIONI				SOLLECITAZIONI				SOLLECITAZIONI																					
		P	V3	V2	T	M3	M2	Obj	StepType	P	V3	V2	T	M3	M2	Obj	StepType	P	V3	V2	T	M3	M2	Obj	StepType	P	V3	V2	T	M3	M2				
16	Q1a LM71 Max P	0.0	5	20	-102	-9	3158	208	Q1a LM71 Max P	0.0	311	481	353	-56	12024	461	60	Q1a LM71 Max P	0.0	1	0	0	1	0	0	80	Q1a LM71 Max P	0.0	19	87	27	-33	1461	193	
17	Q1a LM71 Max P	0.6	5	20	-102	-9	3158	209	Q1a LM71 Max P	0.0	311	481	353	-56	12024	462	60	Q1a LM71 Max P	0.0	1	0	0	1	0	0	80	Q1a LM71 Max P	0.0	19	87	27	-33	1290	193	
18	Q1a LM71 Max V2	2.6	-57	167	758	-61	11631	597	Q1a LM71 Max V2	0.0	236	577	513	-56	9347	351	60	Q1a LM71 Max V2	0.0	-287	177	339	-56	5707	434	80	Q1a LM71 Max V2	0.0	-4	209	51	-86	3760	347	
19	Q1a LM71 Max V2	2.6	-57	167	758	-61	9616	184	Q1a LM71 Max V2	2.6	236	577	513	-56	7954	-113	60	Q1a LM71 Max V2	2.6	-287	177	339	-56	4816	-12	80	Q1a LM71 Max V2	2.6	-4	209	51	-86	3626	228	
20	Q1a LM71 Max V3	0.0	-52	220	465	-82	14558	628	Q1a LM71 Max V3	0.0	200	386	416	-58	11734	446	60	Q1a LM71 Max V3	0.0	-287	177	339	-56	5707	434	80	Q1a LM71 Max V3	0.0	0	11	212	50	-82	3923	812
21	Q1a LM71 Max V3	2.6	-52	220	465	-83	13338	246	Q1a LM71 Max V3	2.6	200	386	416	-58	10641	-43	60	Q1a LM71 Max V3	2.6	-287	177	339	-56	4817	-12	80	Q1a LM71 Max V3	2.6	-5	212	50	-82	3692	254	
22	Q1a LM71 Max T	0.0	0	0	0	0	0	48	Q1a LM71 Max T	0.0	33	-1	-47	0	973	35	60	Q1a LM71 Max T	0.0	0	0	0	0	0	0	80	Q1a LM71 Max T	0.0	0	0	0	0	0	0	
23	Q1a LM71 Max T	2.6	0	0	0	0	0	38	Q1a LM71 Max T	2.6	33	-1	-47	0	1097	38	60	Q1a LM71 Max T	2.6	0	0	0	0	0	0	80	Q1a LM71 Max T	2.6	0	0	0	0	0	0	
24	Q1a LM71 Max M2	0.0	-52	220	465	-83	14558	823	Q1a LM71 Max M2	0.0	311	381	353	-56	12025	461	60	Q1a LM71 Max M2	0.0	-312	171	323	-56	5751	450	80	Q1a LM71 Max M2	0.0	-10	204	48	-79	3749	841	
25	Q1a LM71 Max M2	2.6	-46	126	422	-47	10663	312	Q1a LM71 Max M2	2.6	164	23	-141	-84	5545	132	60	Q1a LM71 Max M2	2.6	-195	38	-84	-16	2372	133	80	Q1a LM71 Max M2	2.6	-23	132	52	-52	2539	341	
26	Q1a LM71 Max M3	0.0	-60	208	602	-78	14098	811	Q1a LM71 Max M3	0.0	310	386	402	-58	12035	457	60	Q1a LM71 Max M3	0.0	-306	174	330	-56	5764	448	82	Q1a LM71 Max M3	0.0	-11	212	50	-82	3823	813	
27	Q1a LM71 Max M3	2.6	-56	218	517	-82	13406	248	Q1a LM71 Max M3	2.6	308	368	327	-52	1171	11	60	Q1a LM71 Max M3	2.6	-312	171	323	-56	4902	2	82	Q1a LM71 Max M3	2.6	-11	212	50	-82	3693	256	
28	Q1a LM71 Min P	0.0	-62	191	709	-70	13163	691	Q1a LM71 Min P	0.0	0	0	0	0	0	0	60	Q1a LM71 Min P	0.0	-315	166	318	-56	5728	450	82	Q1a LM71 Min P	0.0	-7	27	55	-65	2645	672	
29	Q1a LM71 Min P	2.6	-62	191	709	-70	13102	190	Q1a LM71 Min P	2.6	0	0	0	0	1	0	60	Q1a LM71 Min P	2.6	-315	166	318	-56	4893	14	82	Q1a LM71 Min P	2.6	-7	27	55	-65	2574	299	
30	Q1a LM71 Min V2	0.0	-6	65	-159	-27	5177	338	Q1a LM71 Min V2	0.0	130	-11	-188	-41	4194	153	60	Q1a LM71 Min V2	0.0	1	0	0	0	1	0	82	Q1a LM71 Min V2	0.0	0	0	0	0	0	0	
31	Q1a LM71 Min V2	2.6	-6	65	-159	-27	5594	167	Q1a LM71 Min V2	2.6	130	-11	-188	-46	4677	124	60	Q1a LM71 Min V2	2.6	1	0	0	0	1	0	82	Q1a LM71 Min V2	2.6	0	0	0	0	0	0	
32	Q1a LM71 Min V3	0.0	0	0	0	0	0	38	Q1a LM71 Min V3	0.0	34	-1	-48	0	984	35	60	Q1a LM71 Min V3	0.0	0	0	0	0	0	0	82	Q1a LM71 Min V3	0.0	0	0	0	0	0	0	
33	Q1a LM71 Min V3	2.6	0	0	0	0	0	38	Q1a LM71 Min V3	2.6	34	-1	-48	0	1109	38	60	Q1a LM71 Min V3	2.6	0	0	0	0	0	0	82	Q1a LM71 Min V3	2.6	0	0	0	0	0	0	
34	Q1a LM71 Min V3	0.0	-52	220	465	-83	14558	823	Q1a LM71 Min V3	0.0	304	186	410	-58	11873	451	60	Q1a LM71 Min V3	0.0	-287	177	339	-56	5707	434	82	Q1a LM71 Min V3	0.0	-11	212	50	-82	3823	813	
35	Q1a LM71 Min V3	2.6	-52	220	465	-83	13338	246	Q1a LM71 Min V3	2.6	304	186	410	-58	12035	457	60	Q1a LM71 Min V3	2.6	-287	177	339	-56	5764	448	82	Q1a LM71 Min V3	2.6	-23	132	52	-52	2539	341	
36	Q1a LM71 Min V2	0.0	0	0	0	0	0	-38	Q1a LM71 Min V2	0.0	0	0	0	0	0	0	60	Q1a LM71 Min V2	0.0	0	0	0	0	0	0	82	Q1a LM71 Min V2	0.0	0	0	0	0	0	0	
37	Q1a LM71 Min V2	2.6	-39	98	296	-37	3247	49	Q1a LM71 Min V2	2.6	149	409	428	-64	1040	-138	60	Q1a LM71 Min V2	2.6	-296	146	269	-64	2939	-130	82	Q1a LM71 Min V2	2.6	-19	83	26	-132	377	-35	
38	Q1a LM71 Min V3	0.0	0	0	0	0	-3	-38	Q1a LM71 Min V3	0.0	0	0	0	0	0	0	60	Q1a LM71 Min V3	0.0	0	0	0	0	0	0	82	Q1a LM71 Min V3	0.0	0	0	0	0	0	0	
39	Q1a LM71 Min V3	2.6	0	0	0	0	-2	-38	Q1a LM71 Min V3	2.6	0	0	0	0	0	0	60	Q1a LM71 Min V3	2.6	0	0	0	0	0	0	82	Q1a LM71 Min V3	2.6	0	0	0	0	0	0	
40	Q1a LM71 Max P	0.0	2	30	-19	-12	2181	179	Q1a LM71 Max P	0.0	321	251	499	-79	11094	738	60	Q1a LM71 Max P	0.0	1	0	0	0	1	0	83	Q1a LM71 Max P	3.6	1	53	21	-65	710	140	
41	Q1a LM71 Max P	3.6	2	30	-19	-12	2249	68	Q1a LM71 Max P	3.6	321	251	499	-79	9286	-171	60	Q1a LM71 Max P	3.6	1	0	0	0	1	0	83	Q1a LM71 Max P	3.6	1	53	21	-65	6151	50	
42	Q1a LM71 Max P	3.6	-49	263	683	-96	10854	41	Q1a LM71 Max P	3.6	313	259	368	-72	9240	-124	60	Q1a LM71 Max P	3.6	-295	240	414	-78	3753	-120	83	Q1a LM71 Max P	3.6	-46	250	55	-98	2947	73	
43	Q1a LM71 Max P	0.0	-55	221	811	-82	12421	836	Q1a LM71 Max P	0.0	-1	0	0	0	1	0	60	Q1a LM71 Max P	0.0	-303	235	402	-77	5173	-173	83	Q1a LM71 Max P	0.0	-52	211	40	-82	2602	891	
44	Q1a LM71 Min P	3.6	-55	221	811	-82	9482	36	Q1a LM71 Min P	3.6	-1	0	0	0	2	0	60	Q1a LM71 Min P	3.6	-303	238	402	-77	3716	-182	83	Q1a LM71 Min P	3.6	-52	211	40	-82	2458	126	
45	Q1a LM71 Min P	0.0	-5	63	-101	-26	3468	309	Q1a LM71 Min P	0.0	107	-22	-146	-65	2860	152	60	Q1a LM71 Min P	0.0	1	0	0	0	1	0	83	Q1a LM71 Min P	0.0	0	0	0	0	0	0	
46	Q1a LM71 Min P	3.6	-5	63	-101	-26	11209	73	Q1a LM71 Min P	3.6	102	-22	-146	-65	2860	152	60	Q1a LM71 Min P	3.6	-159	198	352	-65	2718	-192	83	Q1a LM71 Min P	3.6	-7	142	41	-56	1706	-92	
47	Q1a LM71 Min P	0.0	0	0	0	-5	-39	Q1a LM71 Min P	0.0	0	0	0	0	0	0	60	Q1a LM71 Min P	0.0	0	0	0	0	0	0	83	Q1a LM71 Min P	0.0	0	0	0	0	0	0		
48	Q1a LM71 Min P	3.6	-16	274	798	-75	10589	214	Q1a LM71 Min P	3.6	276	263	650	-81	6797	-319	60	Q1a LM71 Min P	3.6	-226	263	439	-85	2576	-266	84	Q1a LM71 Min P	3.6	-33	275	70	-106	2026	818	
49	Q1a LM71 Min P	3.6	-26	274	795	-93	5243	-309	Q1a LM71 Min P	3.6	21	252	622	-78	5103	-360	60	Q1a LM71 Min P	3.6	-157	246	403	-77	2165	-312	84	Q1a LM71 Min P	3.6	-44	229	64	-88	1730	-229	
50	Q1a LM71 Min M3	0.0	0	1	0	-3	-50	Q1a LM71 Min M3																											

APPALTATORE: <u>Consortio</u> <u>Soci</u> HIRPINIA - ORSARA AV WEBUILD ITALIA PIZZAROTTI	ITINERARIO NAPOLI - BARI RADDOPPIO TRATTA APICE - ORSARA II LOTTO FUNZIONALE HIRPINIA - ORSARA
PROGETTAZIONE: <u>Mandataria</u> <u>Mandanti</u>	
ROCKSOIL S.P.A NET ENGINEERING PINI GCF ELETTRI-FER M-INGEGNERIA	
PROGETTO ESECUTIVO	COMMESA LOTTO CODIFICA DOCUMENTO REV. FOGLIO IF3A 02 E ZZ CL VI0009 003 C 74 di 138

Obj	SOLLECITAZIONI						SOLLECITAZIONI						SOLLECITAZIONI						SOLLECITAZIONI						SOLLECITAZIONI						
	StepType	ObjSta	P	V3	V2	1	M3	M2	StepType	ObjSta	P	V3	V2	1	M3	M2	StepType	ObjSta	P	V3	V2	1	M3	M2	StepType	ObjSta	P	V3	V2	1	M3
21_Q1a_LM71 Max P	0.0	0	0	0	0	0	0	0	43_Q1a_LM71 Max P	0.0	0	0	0	0	0	-1_65_Q1a_LM71 Max P	0.0	1	0	0	0	0	0	87_Q1a_LM71 Max P	0.0	23	96	52	-78	226	-87
21_Q1a_LM71 Max V	1.0	0	0	0	0	0	0	0	43_Q1a_LM71 Max V	1.0	0	0	0	0	0	-1_65_Q1a_LM71 Max V	1.0	1	0	0	0	0	0	87_Q1a_LM71 Max V	1.0	23	96	52	-78	174	-183
21_Q1a_LM71 Max V2	0.0	-42	17	1331	79	1151	-295	43_Q1a_LM71 Max V2	0.0	-10	1	2	0	7	-14_65_Q1a_LM71 Max V2	0.0	-14	1	1	0	7	-15_65_Q1a_LM71 Max V2	0.0	18	85	66	-75	238	-96		
21_Q1a_LM71 Max V3	1.0	-42	17	1331	79	180	-311	43_Q1a_LM71 Max V3	1.0	-10	1	2	0	5	-15_65_Q1a_LM71 Max V3	1.0	-14	1	1	0	7	-16_65_Q1a_LM71 Max V3	1.0	18	85	66	-75	171	-181		
21_Q1a_LM71 Max V	0.0	-37	18	1292	85	1109	-310	43_Q1a_LM71 Max V	0.0	-10	1	1	0	7	-14_65_Q1a_LM71 Max V	0.0	-17	1	1	0	8	-14_65_Q1a_LM71 Max V	0.0	20	99	60	-83	247	-96		
21_Q1a_LM71 Max T	1.0	-37	18	1292	85	183	-328	43_Q1a_LM71 Max T	1.0	-10	1	1	0	5	-15_65_Q1a_LM71 Max T	1.0	-17	1	1	0	8	-14_65_Q1a_LM71 Max T	1.0	20	99	60	-83	187	-196		
21_Q1a_LM71 Max T	0.0	-31	16	1215	89	1028	-324	43_Q1a_LM71 Max T	0.0	-10	1	1	0	7	-14_65_Q1a_LM71 Max T	0.0	-17	1	1	0	8	-14_65_Q1a_LM71 Max T	0.0	0	0	0	0	0	0		
21_Q1a_LM71 Max M2	0.0	-7	1	119	2	113	-2	43_Q1a_LM71 Max M2	0.0	-1	0	0	0	0	0	65_Q1a_LM71 Max M2	0.0	1	0	0	0	0	0	87_Q1a_LM71 Max M2	0.0	3	-1	-3	3	0	0
21_Q1a_LM71 Max M2	1.0	-7	1	119	2	6	-1	43_Q1a_LM71 Max M2	1.0	0	0	0	0	0	0	65_Q1a_LM71 Max M2	1.0	0	0	0	0	0	0	87_Q1a_LM71 Max M2	1.0	0	0	0	0	0	
21_Q1a_LM71 Max M3	0.0	-42	17	1331	80	1151	-294	43_Q1a_LM71 Max M3	0.0	-12	1	1	0	7	-16_65_Q1a_LM71 Max M3	0.0	-17	1	1	0	8	-14_65_Q1a_LM71 Max M3	0.0	21	98	63	-83	251	-99		
21_Q1a_LM71 Max M3	1.0	0	0	0	0	0	0	43_Q1a_LM71 Max M3	1.0	-12	1	1	0	6	-16_65_Q1a_LM71 Max M3	1.0	-17	1	1	0	8	-14_65_Q1a_LM71 Max M3	1.0	20	99	62	-83	188	-197		
21_Q1a_LM71 Min P	0.0	-42	17	1331	79	1151	-295	43_Q1a_LM71 Min P	0.0	-12	1	1	0	7	-15_65_Q1a_LM71 Min P	0.0	-17	1	1	0	8	-14_65_Q1a_LM71 Min P	0.0	-1	0	0	1	-1	-1		
21_Q1a_LM71 Min P	1.0	-42	17	1331	79	180	-311	43_Q1a_LM71 Min P	1.0	-12	1	1	0	6	-16_65_Q1a_LM71 Min P	1.0	-17	1	1	0	8	-14_65_Q1a_LM71 Min P	1.0	-1	0	0	1	-1	-1		
21_Q1a_LM71 Min V2	0.0	0	0	0	0	0	0	43_Q1a_LM71 Min V2	0.0	-1	0	0	0	0	0	65_Q1a_LM71 Min V2	0.0	0	0	0	0	0	0	87_Q1a_LM71 Min V2	0.0	7	23	-14	20	-4	-4
21_Q1a_LM71 Min V2	1.0	0	0	0	0	0	0	43_Q1a_LM71 Min V2	1.0	-1	0	0	0	0	0	65_Q1a_LM71 Min V2	1.0	0	0	0	0	0	0	87_Q1a_LM71 Min V2	1.0	7	23	-14	24	-25	-25
21_Q1a_LM71 Min V3	0.0	-4	-1	53	-50	41	-17	43_Q1a_LM71 Min V3	0.0	0	0	0	0	0	0	65_Q1a_LM71 Min V3	0.0	1	0	0	0	0	0	87_Q1a_LM71 Min V3	0.0	-1	0	0	0	0	-1
21_Q1a_LM71 Min V3	1.0	-4	-1	53	-50	11	-15	43_Q1a_LM71 Min V3	1.0	0	0	0	0	0	0	65_Q1a_LM71 Min V3	1.0	1	0	0	0	0	0	87_Q1a_LM71 Min V3	1.0	-1	0	0	0	1	-1
21_Q1a_LM71 Min T	0.0	-5	-1	63	-60	51	-17	43_Q1a_LM71 Min T	0.0	0	0	0	0	0	0	65_Q1a_LM71 Min T	0.0	1	0	0	0	0	0	87_Q1a_LM71 Min T	0.0	20	99	62	-83	250	-98
21_Q1a_LM71 Min T	1.0	-5	-1	63	-60	12	-16	43_Q1a_LM71 Min T	1.0	0	0	0	0	0	0	65_Q1a_LM71 Min T	1.0	1	0	0	0	0	0	87_Q1a_LM71 Min T	1.0	20	99	62	-83	188	-197
21_Q1a_LM71 Min M2	0.0	-32	16	1221	85	1032	-330	43_Q1a_LM71 Min M2	0.0	-12	1	1	0	7	-16_65_Q1a_LM71 Min M2	0.0	-14	1	1	0	7	-15_65_Q1a_LM71 Min M2	0.0	20	97	64	-82	250	-99		
21_Q1a_LM71 Min M2	1.0	-33	16	1249	85	191	-346	43_Q1a_LM71 Min M2	1.0	-12	1	1	0	6	-17_65_Q1a_LM71 Min M2	1.0	-14	1	1	0	7	-16_65_Q1a_LM71 Min M2	1.0	21	99	63	-83	188	-197		
21_Q1a_LM71 Min M3	0.0	-1	-1	0	-7	-5	-11	43_Q1a_LM71 Min M3	0.0	0	0	0	0	0	0	65_Q1a_LM71 Min M3	0.0	1	0	0	0	0	0	87_Q1a_LM71 Min M3	0.0	0	0	0	0	0	0
21_Q1a_LM71 Min M3	1.0	-34	16	1267	86	192	-346	43_Q1a_LM71 Min M3	1.0	0	0	0	0	0	0	65_Q1a_LM71 Min M3	1.0	1	0	0	0	0	0	87_Q1a_LM71 Min M3	1.0	0	0	0	0	0	0
22_Q1a_LM71 Max P	0.0	0	0	0	0	0	0	44_Q1a_LM71 Max P	0.0	0	0	0	0	0	0	65_Q1a_LM71 Max P	0.0	0	0	0	0	0	0	88_Q1a_LM71 Max P	0.0	0	0	0	0	0	0
22_Q1a_LM71 Max P	0.6	0	0	0	0	0	0	44_Q1a_LM71 Max P	0.6	0	0	0	0	0	0	65_Q1a_LM71 Max P	0.6	0	0	0	0	0	0	88_Q1a_LM71 Max P	0.6	0	0	0	0	0	0
22_Q1a_LM71 Max V2	0.0	0	0	0	0	0	0	44_Q1a_LM71 Max V2	0.0	0	0	0	0	0	0	65_Q1a_LM71 Max V2	0.0	0	0	0	0	0	0	88_Q1a_LM71 Max V2	0.0	0	0	0	0	0	0
22_Q1a_LM71 Max V2	0.6	0	0	0	0	0	0	44_Q1a_LM71 Max V2	0.6	0	0	0	0	0	0	65_Q1a_LM71 Max V2	0.6	0	0	0	0	0	0	88_Q1a_LM71 Max V2	0.6	0	0	0	0	0	0
22_Q1a_LM71 Max V3	0.0	0	0	0	0	0	0	44_Q1a_LM71 Max V3	0.0	0	0	0	0	0	0	65_Q1a_LM71 Max V3	0.0	0	0	0	0	0	0	88_Q1a_LM71 Max V3	0.0	0	0	0	0	0	0
22_Q1a_LM71 Max V3	0.6	0	0	0	0	0	0	44_Q1a_LM71 Max V3	0.6	0	0	0	0	0	0	65_Q1a_LM71 Max V3	0.6	0	0	0	0	0	0	88_Q1a_LM71 Max V3	0.6	0	0	0	0	0	0
22_Q1a_LM71 Min P	0.0	0	0	0	0	0	0	44_Q1a_LM71 Min P	0.0	0	0	0	0	0	0	65_Q1a_LM71 Min P	0.0	0	0	0	0	0	0	88_Q1a_LM71 Min P	0.0	0	0	0	0	0	0
22_Q1a_LM71 Min P	0.6	0	0	0	0	0	0	44_Q1a_LM71 Min P	0.6	0	0	0	0	0	0	65_Q1a_LM71 Min P	0.6	0	0	0	0	0	0	88_Q1a_LM71 Min P	0.6	0	0	0	0	0	0
22_Q1a_LM71 Min V2	0.0	0	0	0	0	0	0	44_Q1a_LM71 Min V2	0.0	0	0	0	0	0	0	65_Q1a_LM71 Min V2	0.0	0	0	0	0	0	0	88_Q1a_LM71 Min V2	0.0	0	0	0	0	0	0
22_Q1a_LM71 Min V2	0.6	0	0	0	0	0	0	44_Q1a_LM71 Min V2	0.6	0	0	0	0	0	0	65_Q1a_LM71 Min V2	0.6	0	0	0	0	0	0	88_Q1a_LM71 Min V2	0.6	0	0	0	0	0	0
22_Q1a_LM71 Min V3	0.0	0	0	0	0	0	0	44_Q1a_LM71 Min V3	0.0	0	0	0	0	0	0	65_Q1a_LM71 Min V3	0.0	0	0	0	0	0	0	88_Q1a_LM71 Min V3	0.0	0	0	0	0	0	0
22_Q1a_LM71 Min V3	0.6	0	0	0	0	0	0	44_Q1a_LM71 Min V3	0.6	0	0	0	0	0	0	65_Q1a_LM71 Min V3	0.6	0	0	0	0	0	0	88_Q1a_LM71 Min V3	0.6	0	0	0	0	0	0
22_Q1a_LM71 Min T	0.0	0	0	0	0	0	0	44_Q1a_LM71 Min T	0.0	0	0	0	0	0	0	65_Q1a_LM71 Min T	0.0	0	0	0	0	0	0	88_Q1a_LM71 Min T	0.0	0	0	0	0	0	0
22_Q1a_LM71 Min T	0.6	0	0	0	0	0	0	44_Q1a_LM71 Min T	0.6	0	0	0	0	0	0	65_Q1a_LM71 Min T	0.6	0	0	0	0	0	0	88_Q1a_LM71 Min T	0.6	0	0	0	0	0	0
22_Q1a_LM71 Min M2	0.0	0	0	0	0	0	0	44_Q1a_LM71 Min M2	0.0	0	0	0	0	0	0	65_Q1a_LM71 Min M2	0.0	0	0	0	0</										

APPALTATORE:

Consorzio

Soci

HIRPINIA - ORSARA AV WEBUILD ITALIA PIZZAROTTI

PROGETTAZIONE:

Mandataria

Mandanti

ROCKSOIL S.P.A.

NET ENGINEERING
ELETTRI-FERPINI
GCF
M-INGEGNERIA

ITINERARIO NAPOLI - BARI

RADDOPPIO TRATTA APICE - ORSARA
II LOTTO FUNZIONALE HIRPINIA - ORSARA

PROGETTO ESECUTIVO

		COMMESSE IF3A				LOTTO 02				CODIFICA E ZZ CL				DOCUMENTO VI0009 003				REV. C	FOGLIO 76 di 138
--	--	---------------	--	--	--	----------	--	--	--	------------------	--	--	--	----------------------	--	--	--	--------	------------------

Obj	StepType	SOLLECITAZIONI (kN x m)				Obj	StepType	SOLLECITAZIONI (kN x m)				Obj	StepType	SOLLECITAZIONI (kN x m)				Obj	StepType	SOLLECITAZIONI (kN x m)																
		P	V3	V2	T			M3	M2	P	V3			M3	M2	P	V3	V2	T	M3	M2	P	V3	V2	T	M3	M2									
G2Qa SW2 Max P	0.0	67	288	-43	115	4343	-351	28	02a SW2 Max P	0.0	208	-207	-310	-62	4518	233	50a SW2 Max P	0.0	33	69	-236	-309	47	72a SW2 Max P	0.0	1	3	18	-2	425	-20					
G2Qa SW2 Min P	0.0	67	298	-42	120	4300	-122	28	02a SW2 Min P	0.0	208	-207	-310	-62	5642	548	50a SW2 Min P	0.0	33	69	-236	-309	47	72a SW2 Min P	0.0	-21	52	102	-23	3675	-312					
G2Qa SW2 Max V2	3.6	0	0	0	0	0	0	28	02a SW2 Max V2	3.6	0	0	0	0	0	0	50a SW2 Max V2	3.6	0	0	12	89	-26	2654	7	72a SW2 Max V2	3.6	-21	52	102	-23	3675	-312			
G2Qa SW2 Max V3	3.6	0	0	0	0	0	0	28	02a SW2 Max V3	3.6	0	0	0	0	0	0	50a SW2 Max V3	3.6	-7	12	89	-4	2380	-96	72a SW2 Max V3	3.6	-21	52	102	-23	3205	-311				
G2Qa SW2 Max V4	3.6	0	0	0	0	0	0	28	02a SW2 Max V4	3.6	0	0	0	0	0	0	50a SW2 Max V4	3.6	0	0	12	89	-1	258	-801	79	7027	254	72a SW2 Max V3	0.0	-182	316	942	-126	12488	-345
G2Qa SW2 Min V2	3.6	0	0	0	0	0	0	28	02a SW2 Min V2	3.6	0	0	0	0	0	0	50a SW2 Min V2	3.6	-135	258	-801	79	9941	-676	72a SW2 Min V3	3.6	-182	316	942	-126	15904	-1292				
G2Qa SW2 Max T	3.6	0	0	0	0	0	0	28	02a SW2 Max T	3.6	0	0	0	0	0	0	50a SW2 Max T	3.6	0	2	-3	17	-0	452	-15	72a SW2 Max T	0.0	0	0	0	0	0	0			
G2Qa SW2 Max T	3.6	0	0	0	0	0	0	28	02a SW2 Max T	3.6	0	0	0	0	0	0	50a SW2 Max T	3.6	2	-3	17	0	394	-12	72a SW2 Max T	3.6	0	0	0	0	0	0				
G2Qa SW2 Max M2	3.6	0	29	178	-21	70	2653	133	28	02a SW2 Max M2	3.6	0	204	-221	-327	-68	4939	234	50a SW2 Max M2	0.0	-145	252	-790	-77	6441	260	72a SW2 Max M2	0.0	-69	183	-536	-74	3941	-137		
G2Qa SW2 Max M2	3.6	0	0	0	0	0	0	28	02a SW2 Max M2	3.6	0	0	0	0	0	0	50a SW2 Max M2	3.6	0	0	0	0	0	0	72a SW2 Max M2	3.6	0	0	0	0	0	0				
G2Qa SW2 Max M3	3.6	0	65	303	-43	117	4327	-138	28	02a SW2 Max M3	3.6	0	169	-251	-341	-75	6539	192	50a SW2 Max M3	0.0	-140	255	-646	-77	6441	260	72a SW2 Max M3	0.0	-178	315	915	-127	12618	-153		
G2Qa SW2 Max M3	3.6	0	65	303	-43	117	4463	-126	28	02a SW2 Max M3	3.6	0	169	-251	-341	-75	7774	-721	50a SW2 Max M3	3.6	-136	255	-657	-77	1143	-725	72a SW2 Max M3	3.6	-179	315	924	-127	15950	-1297		
G2Qa SW2 Min P	3.6	0	0	0	0	0	0	28	02a SW2 Min P	3.6	0	-20	48	-50	-14	1689	-10	50a SW2 Min P	0.0	-197	373	-58	4960	206	72a SW2 Min P	0.0	-183	315	976	-126	12122	-127				
G2Qa SW2 Min P	3.6	0	0	0	0	0	0	28	02a SW2 Min P	3.6	-20	48	-50	-14	1689	-182	50a SW2 Min P	3.6	-197	373	-58	6333	-478	72a SW2 Min P	3.6	-183	315	976	-126	15659	-1268					
G2Qa SW2 Min V2	3.6	0	66	303	-43	117	4324	-168	28	02a SW2 Min V2	3.6	0	171	-250	-350	-74	6089	214	50a SW2 Min V2	0.0	-138	257	-803	79	6868	263	72a SW2 Min V2	0.0	-164	278	-1105	-109	9557	-50		
G2Qa SW2 Min V2	3.6	0	66	303	-43	117	4481	-126	28	02a SW2 Min V2	3.6	0	171	-250	-350	-74	7558	-692	50a SW2 Min V2	3.6	-138	257	-803	79	9777	-670	72a SW2 Min V2	3.6	-164	278	-1105	-109	13562	-1059		
G2Qa SW2 Min V3	3.6	0	0	0	0	0	0	28	02a SW2 Min V3	3.6	0	0	0	0	0	0	50a SW2 Min V3	3.6	0	3	-1	2	584	-20	72a SW2 Min V3	3.6	0	0	0	0	0	0				
G2Qa SW2 Min V3	3.6	0	0	0	0	0	0	28	02a SW2 Min V3	3.6	0	0	0	0	0	0	50a SW2 Min V3	3.6	3	1	-2	2	504	-17	72a SW2 Min V3	3.6	0	0	0	0	0	0				
G2Qa SW2 Min T	3.6	0	64	303	-43	117	4326	-168	28	02a SW2 Min T	3.6	0	168	-252	-341	-75	6539	192	50a SW2 Min T	0.0	-135	258	-801	79	7052	254	72a SW2 Min T	0.0	-178	315	914	-127	12618	-153		
G2Qa SW2 Min T	3.6	0	64	303	-43	117	4482	-126	28	02a SW2 Min T	3.6	0	168	-252	-341	-75	7774	-720	50a SW2 Min T	3.6	-135	258	-801	79	9955	-677	72a SW2 Min T	3.6	-178	315	914	-127	15930	-1296		
G2Qa SW2 Min M2	3.6	0	64	303	-43	117	4482	-126	28	02a SW2 Min M2	3.6	0	168	-252	-341	-75	7774	-721	50a SW2 Min M2	3.6	-135	258	-653	-69	1140	-720	72a SW2 Min M2	3.6	-179	315	922	-127	15950	-1297		
G2Qa SW2 Min M2	3.6	0	64	303	-43	117	4482	-126	28	02a SW2 Min M2	3.6	0	168	-252	-341	-75	7774	-721	50a SW2 Min M2	3.6	0	0	0	0	0	0	72a SW2 Min M2	3.6	0	0	0	0	0	0		
G2Qa SW2 Max P	0.0	98	229	-18	89	5132	-49	28	02a SW2 Max P	0.0	81	337	-201	-40	-392	125	51a SW2 Max P	0.0	0	75	-81	-323	-55	6849	-53	72a SW2 Max P	0.0	0	0	0	0	0	0			
G2Qa SW2 Max P	2.6	98	229	-18	89	5130	-49	28	02a SW2 Max P	2.6	81	337	-201	-40	-438	-233	51a SW2 Max P	2.6	75	81	-323	-56	7696	-267	72a SW2 Max P	2.6	0	0	0	0	0	0				
G2Qa SW2 Max V2	2.6	0	0	0	0	0	0	28	02a SW2 Max V2	2.6	0	-81	-207	-401	-438	-233	51a SW2 Max V2	2.6	75	81	-323	-56	7696	-267	72a SW2 Max P	2.6	0	0	0	0	0	0				
G2Qa SW2 Max V2	2.6	0	0	0	0	0	0	28	02a SW2 Max V2	2.6	0	-81	-207	-401	-438	-233	51a SW2 Max V2	2.6	75	81	-323	-56	7696	-267	72a SW2 Max P	2.6	0	0	0	0	0	0				
G2Qa SW2 Max V3	2.6	0	97	231	-18	89	5230	-105	28	02a SW2 Max V3	2.6	1	-27	-226	-50	-8080	-549	52a SW2 Max V3	2.6	8	18	-256	-50	7486	-52	72a SW2 Max V2	2.6	-157	52	1279	-106	1066	-317			
G2Qa SW2 Min V2	0.0	0	0	0	0	0	0	28	02a SW2 Min V2	0.0	-60	33	-22	-30	-665	-139	52a SW2 Min V2	0.0	23	73	-516	-119	73a SW2 Min V2	0.0	-122	133	346	-55	12219	-169						
G2Qa SW2 Min V2	2.6	0	96	231	-18	89	5234	-603	28	02a SW2 Min V2	2.6	-1	-27	-227	-50	-8071	-459	52a SW2 Min V2	2.6	-13	67	-109	-499	52a SW2 Min V2	2.6	-158	245	-685	-99	17790	-1066					
G2Qa SW2 Min V3	0.0	0	0	0	0	0	0	28	02a SW2 Min V3	0.0	-26	33	-22	-30	-6702	-139	52a SW2 Min V3	0.0	23	73	-516	-119	73a SW2 Min V3	0.0	-122	133	346	-55	12219	-169						
G2Qa SW2 Max T	0.0	0	0	0	0	0	0	30	02a SW2 Max T	0.0	0	0	0	0	0	0	50a SW2 Max T	0.0	0	0	0	0	0	0	72a SW2 Max T	0.0	0	0	0	0	0	0				
G2Qa SW2 Max T	0.0	0	0	0	0	0	0	30	02a SW2 Max T	0.0	0	0	0	0	0	0	50a SW2 Max T	0.0	0	0	0	0	0	0	72a SW2 Max T	0.0	0	0	0	0	0	0				
G2Qa SW2 Max T	0.0	0	0	0	0	0	0	30	02a SW2 Max T	0.0	0	0	0	0	0	0	50a SW2 Max T	0.0	0	0	0	0	0	0	72a SW2 Max T	0.0	0	0	0	0	0	0				
G2Qa SW2 Max M2	0.0	0	0	0	0	0	0	30	02a SW2 Max M2	0.0	0	0	0	0	0	0	50a SW2 Max M2	0.0	0	0	0	0	0	0	72a SW2 Max M2	0.0	0	0	0	0	0	0				
G2Qa SW2 Max M2	0.0	0	0	0	0	0	0	30	02a SW2 Max M2	0.0	0	0	0	0	0	0	50a SW2 Max M2																			

APPALTATORE:

Consorzio Soci

HIRPINIA - ORSARA AV WEBUILD ITALIA PIZZAROTTI

PROGETTAZIONE:

Mandataria Mandanti

ROCKSOIL S.P.A. NET ENGINEERING PINI GCF
ELETTRI-FER M-INTEGGERNA

ITINERARIO NAPOLI - BARI

RADDOPPIO TRATTA APICE - ORSARA
II LOTTO FUNZIONALE HIRPINIA - ORSARA

PROGETTO ESECUTIVO

COMMESMA LOTTO CODIFICA
IF3A 02 E ZZ CL DOCUMENTO
V10009 003 REV. C FOGLIO
77 di 138

SOLLECITAZIONI (kN x m)												SOLLECITAZIONI (kN x m)												SOLLECITAZIONI (kN x m)												SOLLECITAZIONI (kN x m)											
Obj	StepType	ObjSta	P	V3	V2	T	M3	M2	Obj	StepType	ObjSta	P	V3	V2	T	M3	M2	Obj	StepType	ObjSta	P	V3	V2	T	M3	M2	Obj	StepType	ObjSta	P	V3	V2	T	M3	M2												
11_Q2a_SW2_Max_P	0.0	153	16	-30	-5	5352	-1012	33	Q2a_SW2_Max_P	0.0	d	-1	2	d	50	-3	Q2a_SW2_Max_P	0.0	a8	m6	-128	-15	11299	-295	77_Q2a_SW2_Max_P	0.0	a9	110	-453	-34	11684	-515															
11_Q2a_SW2_Min_P	0.0	153	16	-30	-5	5340	-1059	33	Q2a_SW2_Min_P	0.0	d	-1	2	d	50	-3	Q2a_SW2_Min_P	0.0	a8	m6	-128	-15	9045	-322	77_Q2a_SW2_Min_P	0.0	-27	-36	4469	0	12339	-47															
11_Q2a_SW2_Max_V2	0.0	152	15	-30	-5	5252	-1023	33	Q2a_SW2_Max_V2	0.0	110	-27	114	8	5042	-271	55_Q2a_SW2_Max_V2	0.0	3	-43	3067	-285	77_Q2a_SW2_Max_V2	0.0	-27	-36	4469	0	12339	-47																	
11_Q2a_SW2_Max_V3	0.0	52	18	-25	7798	-532	33	Q2a_SW2_Max_V3	0.0	183	89	-93	-20	5939	-136	55_Q2a_SW2_Max_V3	0.0	40	111	-439	-29	8866	-89	77_Q2a_SW2_Max_V3	0.0	31	128	286	-41	11549	-435																
11_Q2a_SW2_Min_V3	0.0	52	18	-25	3734	-846	33	Q2a_SW2_Min_V3	0.0	183	89	-93	-20	4043	-455	77_Q2a_SW2_Min_V3	0.0	40	111	-439	-29	77_Q2a_SW2_Min_V3	0.0	31	128	286	-41	11549	-402																		
11_Q2a_SW2_Max_T	0.0	115	-61	15	18	3302	-654	33	Q2a_SW2_Max_T	0.0	-69	-31	107	8	4117	-225	55_Q2a_SW2_Max_T	0.0	-2	-30	303	10	8780	-313	77_Q2a_SW2_Max_T	0.0	-26	-45	208	12	9255	-57															
11_Q2a_SW2_Max_T	3.6	115	-61	15	18	3248	-432	33	Q2a_SW2_Max_T	3.6	-69	-31	107	8	3729	-113	55_Q2a_SW2_Max_T	3.6	-6	-43	303	10	7686	-157	77_Q2a_SW2_Max_T	3.6	-26	-45	208	12	8501	-408															
11_Q2a_SW2_Max_M2	0.0	0	0	0	0	0	0	0	33_Q2a_SW2_Max_M2	0.0	0	0	0	0	0	0	55_Q2a_SW2_Max_M2	0.0	0	0	0	0	0	0	77_Q2a_SW2_Max_M2	0.0	0	0	0	0	0	0	0	0	0	0	0	0									
11_Q2a_SW2_Max_M2	3.6	0	0	0	0	0	0	0	33_Q2a_SW2_Max_M2	3.6	0	0	0	0	0	0	55_Q2a_SW2_Max_M2	3.6	0	0	0	0	0	0	77_Q2a_SW2_Max_M2	3.6	0	0	0	0	0	0	0	0	0	0	0	0									
11_Q2a_SW2_Max_M3	0.0	152	19	-29	5621	-1001	33_Q2a_SW2_Max_M3	0.0	205	37	27	-9	8653	-331	55_Q2a_SW2_Max_M3	0.0	34	46	9	14729	-356	77_Q2a_SW2_Max_M3	0.0	-2	66	23	-24	2040	-978																		
11_Q2a_SW2_Max_M3	3.6	152	19	-29	56155	-1074	33_Q2a_SW2_Max_M3	3.6	197	39	-20	-9	8586	-464	55_Q2a_SW2_Max_M3	3.6	30	74	-26	-20	14771	-561	77_Q2a_SW2_Max_M3	3.6	7	78	-325	-25	20078	-1215																	
11_Q2a_SW2_Min_P	0.0	0	0	0	0	0	0	0	33_Q2a_SW2_Min_P	0.0	250	63	-13	-44	7765	-289	55_Q2a_SW2_Min_P	0.0	-39	16	-15	-5	6952	-167	77_Q2a_SW2_Min_P	0.0	-29	-13	173	3	9950	-537															
11_Q2a_SW2_Min_P	3.6	0	0	0	0	0	0	0	33_Q2a_SW2_Min_P	3.6	250	63	-13	-44	7811	-512	55_Q2a_SW2_Min_P	3.6	-39	16	-15	-5	7006	-223	77_Q2a_SW2_Min_P	3.6	-29	-13	173	3	9321	-489															
11_Q2a_SW2_Min_V2	0.0	0	0	0	0	0	0	0	33_Q2a_SW2_Min_V2	0.0	141	82	-100	-19	4802	-97	55_Q2a_SW2_Min_V2	0.0	38	111	-436	-28	8697	-89	77_Q2a_SW2_Min_V2	0.0	35	105	-602	-31	11765	-524															
11_Q2a_SW2_Min_V2	3.6	0	0	0	0	0	0	0	33_Q2a_SW2_Min_V2	3.6	141	82	-100	-19	5163	-394	55_Q2a_SW2_Min_V2	3.6	38	111	-436	-28	10278	-487	77_Q2a_SW2_Min_V2	3.6	35	105	-602	-31	13948	-903															
11_Q2a_SW2_Min_V3	0.0	115	-61	15	18	3316	-657	33_Q2a_SW2_Min_V3	0.0	-71	-31	104	8	4165	-227	55_Q2a_SW2_Min_V3	0.0	-3	-43	304	10	8755	-314	77_Q2a_SW2_Min_V3	0.0	-25	-46	241	12	9099	-565																
11_Q2a_SW2_Min_V3	3.6	115	-61	15	18	3246	-435	33_Q2a_SW2_Min_V3	3.6	-71	-31	104	8	3775	-116	55_Q2a_SW2_Min_V3	3.6	-3	-43	304	10	7665	-157	77_Q2a_SW2_Min_V3	3.6	-25	-46	241	12	8226	-399																
11_Q2a_SW2_Min_T	0.0	50	19	-27	37	-25	7095	-532	33_Q2a_SW2_Min_T	0.0	184	89	-92	-20	5611	-97	55_Q2a_SW2_Min_T	0.0	31	127	-253	-41	12294	-481																							
11_Q2a_SW2_Min_T	3.6	50	19	-27	25	-4624	-823	33_Q2a_SW2_Min_T	3.6	184	89	-92	-20	5644	-459	55_Q2a_SW2_Min_T	3.6	40	111	-435	-29	77_Q2a_SW2_Min_T	3.6	31	127	-253	-41	1312	-942																		
11_Q2a_SW2_Min_V2	0.0	0	0	0	0	0	0	0	33_Q2a_SW2_Min_V2	0.0	220	40	31	-9	8638	-134	55_Q2a_SW2_Min_V2	0.0	8	25	-55	-4	14577	-35	77_Q2a_SW2_Min_V2	0.0	0	67	-5	-24	20002	-982															
11_Q2a_SW2_Min_V2	3.6	0	0	0	0	0	0	0	33_Q2a_SW2_Min_V2	3.6	227	40	31	-9	8638	-134	55_Q2a_SW2_Min_V2	3.6	3	8	85	-28	30	19550	-1252																						
11_Q2a_SW2_Min_V3	0.0	0	0	0	0	0	0	0	33_Q2a_SW2_Min_V3	0.0	0	0	0	0	0	0	55_Q2a_SW2_Min_V3	0.0	0	0	0	0	0	0	0	0	0	0	0	0	0																
11_Q2a_SW2_Min_V3	3.6	0	0	0	0	0	0	0	33_Q2a_SW2_Min_V3	3.6	0	0	0	0	0	0	55_Q2a_SW2_Min_V3	3.6	0	0	0	0	0	0	0	0	0	0	0	0	0																
11_Q2a_SW2_Max_P	0.0	127	-72	38	22	6092	-1156	34_Q2a_SW2_Max_P	0.0	0	0	0	0	0	0	0	55_Q2a_SW2_Max_P	0.0	129	-72	-17	13051	-216	78_Q2a_SW2_Max_P	3.6	47	-76	-77	-18	16576	-1072																
11_Q2a_SW2_Max_V2	3.6	127	-72	38	22	5953	-897	34_Q2a_SW2_Max_V2	3.6	0	0	0	0	0	0	0	55_Q2a_SW2_Max_V2	3.6	106	-160	343	1260	-290	78_Q2a_SW2_Max_V2	3.6	0	11	-137	559	35	13749	-952															
11_Q2a_SW2_Max_V3	3.6	126	-72	38	22	5948	-881	34_Q2a_SW2_Max_V3	3.6	188	-19	19	25	5158	-7	55_Q2a_SW2_Max_V3	3.6	60	-138	343	3007	-171	78_Q2a_SW2_Max_V3	3.6	31	137	559	35	11721	-432																	
11_Q2a_SW2_Min_P	0.0	0	0	0	0	0	0	0	34_Q2a_SW2_Min_P	0.0	292	20	31	82	5181	-267	55_Q2a_SW2_Min_P	0.0	-10	-30	-6	375	-156	78_Q2a_SW2_Min_P	0.0	-9	-59	202	16	5345	-353																
11_Q2a_SW2_Min_P	3.6	0	0	0	0	0	0	0	34_Q2a_SW2_Min_P	3.6	292	20	31	82	6070	-233	55_Q2a_SW2_Min_P	3.6	-10	-30	-6	3815	-457	78_Q2a_SW2_Min_P	3.6	-9	-59	202	16	4613	-142																
11_Q2a_SW2_Min_V2	0.0	0	0	0	0	0	0	0	34_Q2a_SW2_Min_V2	0.0	94	84	-31	-32	164	-	55_Q2a_SW2_Min_V2	0.0	60	61	-401	-46	8109	-240	78_Q2a_SW2_Min_V2	0.0	32	-22	-483	5	10948	-707															
11_Q2a_SW2_Min_V2	3.6	0	0	0	0	0	0	0	34_Q2a_SW2_Min_V2	3.6	94	84	-31	-32	164	-	55_Q2a_SW2_Min_V2	3.6	60	61	-401	-46	9562	-237	78_Q2a_SW2_Min_V2	3.6	32	-22	-483	5	12696	-628															
11_Q2a_SW2_Min_V3	0.0	91	-137	49	46	5170	-1234	35_Q2a_SW2_Min_V3	0.0	0	0	0	0	1	0	0	55_Q2a_SW2_Min_V3	0.0	226	-157	436	397	13663	-522	78_Q2a_SW2_Min_V3	0.0	22	-69	-97	21	11206	-746															
11_Q2a_SW2_Min_V3	3.6	91	-138	49	46	5173	-1238	35_Q2a_SW2_Min_V3	3.6	204	-325	220	30	5156	-476	55_Q2a_SW2_Min_V3	3.6	39	-157	436	47	792	35	12038	-394																						
11_Q2a_SW2_Min_V3	3.6	90	-137	49	46	5173	-1238	35_Q2a_SW2_Min_V3	3.6	208	-325	220	30	5156	-476	55_Q2a_SW2_Min_V3	3.6	38	-157	436	47	792	35	12038	-394																						
11_Q2a_SW2_Max_V2	0.0	0	0	0	0	0	0	0	35_Q2a_SW2_Max_V2	0.0	0	0	0	0	0	0	55_Q2a_SW2_Max_V2	0.0	226	-157	436	397	13663	-522	78_Q2a_SW2_Max_V2	0.0	-20	156	45	14512	-916																
11_Q2a_SW2_Max_V3	3.6	0	0	0	0	0	0	0	35_Q2a_SW2_Max_V3	3.6	0	0	0	0	0	0	55_Q2a_SW2_Max_V3	3.6	30	-56	1	1	-1122	-24	78156	-620	79_Q2a_SW2_Max_V2	0.0	-1	-197	94	60	19464	-1325													
11_Q2a_SW2_Max_V3	3.6	0	0	0	0	0	0	0	35_Q2a_SW2_Max_V3	3.6	0	0	0	0	0	0	55_Q2a_SW2_Max_V3	3.6	30	-56	1	1	-1122	-24	80254	-620	79_Q2a_SW2_Max_V																				

<p>APPALTATORE:</p> <p><u>Consorzio</u> <u>Soci</u></p> <p>HIRPINIA - ORSARA AV WEBUILD ITALIA PIZZAROTTI</p>	<p>ITINERARIO NAPOLI – BARI</p> <p>RADDOPPIO TRATTA APICE - ORSARA</p> <p>II LOTTO FUNZIONALE HIRPINIA - ORSARA</p>
<p>PROGETTAZIONE:</p> <p><u>Mandataria</u> <u>Mandanti</u></p> <p>ROCKSOIL S.P.A NET ENGINEERING PINI GCF ELETTRI-FER M-INGEGNERIA</p>	

SOLLECITAZIONI			(kN x m)						SOLLECITAZIONI			(kN x m)						SOLLECITAZIONI			(kN x m)						SOLLECITAZIONI			(kN x m)					
Obj	StepType	ObjSta	P	V3	V2	T	M3	M2	Obj	StepType	ObjSta	P	V3	V2	T	M3	M2	Obj	StepType	ObjSta	P	V3	V2	T	M3	M2	Obj	StepType	ObjSta	P	V3	V2	T	M3	M2
21	Q2a_SW2_Max P	0.0	9	-17	-16	-71	119	207	43	Q2a_SW2_Max P	0.0	0	0	0	0	0	4	65	Q2a_SW2_Max P	0.0	0	0	0	0	0	1	87	Q2a_SW2_Max P	0.0	0	0	0	0	0	0
21	Q2a_SW2_Max P	1.0	9	-17	-16	-71	103	224	43	Q2a_SW2_Max P	1.0	0	0	0	0	0	5	65	Q2a_SW2_Max P	1.0	0	0	0	0	0	1	87	Q2a_SW2_Max P	1.0	0	0	0	0	0	0
21	Q2a_SW2_Max V2	0.0	3	-8	-33	-75	142	227	43	Q2a_SW2_Max V2	0.0	-11	-1	1	0	6	18	65	Q2a_SW2_Max V2	0.0	-10	-1	2	0	7	20	87	Q2a_SW2_Max V2	0.0	-39	-130	1660	129	1386	204
21	Q2a_SW2_Max V2	1.0	3	-8	-33	-75	109	235	43	Q2a_SW2_Max V2	1.0	-11	-1	1	0	5	20	65	Q2a_SW2_Max V2	1.0	-10	-1	2	0	5	21	87	Q2a_SW2_Max V2	1.0	-39	-130	1660	129	273	334
21	Q2a_SW2_Max V3	0.0	0	0	0	0	0	0	43	Q2a_SW2_Max V3	0.0	0	0	0	0	0	0	65	Q2a_SW2_Max V3	0.0	0	0	0	0	0	0	87	Q2a_SW2_Max V3	0.0	-6	2	59	4	46	12
21	Q2a_SW2_Max V3	1.0	0	0	0	0	0	0	43	Q2a_SW2_Max V3	1.0	0	0	0	0	0	0	65	Q2a_SW2_Max V3	1.0	0	0	0	0	0	0	87	Q2a_SW2_Max V3	1.0	6	2	59	4	46	11
21	Q2a_SW2_Max T	0.0	0	0	0	0	0	0	43	Q2a_SW2_Max T	0.0	0	0	0	0	0	0	65	Q2a_SW2_Max T	0.0	0	0	0	0	0	0	87	Q2a_SW2_Max T	0.0	-34	-128	1506	132	1238	208
21	Q2a_SW2_Max T	1.0	0	0	0	0	0	0	43	Q2a_SW2_Max T	1.0	0	0	0	0	0	0	65	Q2a_SW2_Max T	1.0	0	0	0	0	0	0	87	Q2a_SW2_Max T	1.0	-34	-128	1506	132	268	336
21	Q2a_SW2_Max M2	0.0	6	-30	-15	-121	197	349	43	Q2a_SW2_Max M2	0.0	-11	-1	1	0	6	18	65	Q2a_SW2_Max M2	0.0	-10	-1	2	0	7	20	87	Q2a_SW2_Max M2	0.0	-35	-128	1534	132	1264	208
21	Q2a_SW2_Max M2	1.0	6	-30	-15	-121	182	375	43	Q2a_SW2_Max M2	1.0	-11	-1	1	0	5	20	65	Q2a_SW2_Max M2	1.0	-10	-1	2	0	5	21	87	Q2a_SW2_Max M2	1.0	-38	-129	1599	131	273	337
21	Q2a_SW2_Max M3	0.0	4	-27	-17	-119	198	346	43	Q2a_SW2_Max M3	0.0	-11	-1	1	0	6	18	65	Q2a_SW2_Max M3	0.0	-10	-1	2	0	7	20	87	Q2a_SW2_Max M3	0.0	-39	-131	1659	129	1387	2024
21	Q2a_SW2_Max M3	1.0	6	-30	-15	-121	182	375	43	Q2a_SW2_Max M3	1.0	-11	-1	1	0	5	17	65	Q2a_SW2_Max M3	1.0	-11	-1	2	0	5	21	87	Q2a_SW2_Max M3	1.0	0	0	0	0	0	0
21	Q2a_SW2_Min P	0.0	-3	-15	-4	-67	108	193	43	Q2a_SW2_Min P	0.0	-11	-1	1	0	6	14	65	Q2a_SW2_Min P	0.0	-11	-1	2	0	7	19	87	Q2a_SW2_Min P	0.0	-40	-129	1657	130	1381	2074
21	Q2a_SW2_Min P	1.0	-3	-15	-4	-67	104	208	43	Q2a_SW2_Min P	1.0	-11	-1	1	0	5	15	65	Q2a_SW2_Min P	1.0	-11	-1	2	0	5	20	87	Q2a_SW2_Min P	1.0	-40	-129	1657	130	276	336
21	Q2a_SW2_Min V2	0.0	2	-20	-16	-43	52	115	43	Q2a_SW2_Min V2	0.0	0	0	0	0	0	0	65	Q2a_SW2_Min V2	0.0	0	0	0	0	0	0	87	Q2a_SW2_Min V2	0.0	0	0	0	0	0	0
21	Q2a_SW2_Min V2	1.0	2	-20	-16	-43	68	133	43	Q2a_SW2_Min V2	1.0	0	0	0	0	0	0	65	Q2a_SW2_Min V2	1.0	0	0	0	0	0	0	87	Q2a_SW2_Min V2	1.0	0	0	0	0	0	0
21	Q2a_SW2_Min V3	0.0	6	-30	-15	-121	197	349	43	Q2a_SW2_Min V3	0.0	-11	-1	1	0	6	18	65	Q2a_SW2_Min V3	0.0	-10	-1	2	0	7	20	87	Q2a_SW2_Min V3	0.0	-31	-133	1551	130	1288	1994
21	Q2a_SW2_Min V3	1.0	6	-30	-15	-121	182	375	43	Q2a_SW2_Min V3	1.0	-11	-1	1	0	5	20	65	Q2a_SW2_Min V3	1.0	-10	-1	2	0	5	21	87	Q2a_SW2_Min V3	1.0	-31	-133	1551	130	263	332
21	Q2a_SW2_Min T	0.0	6	-30	-15	-121	197	349	43	Q2a_SW2_Min T	0.0	-11	-1	1	0	6	18	65	Q2a_SW2_Min T	0.0	-10	-1	2	0	7	20	87	Q2a_SW2_Min T	0.0	-7	-2	151	-2	144	1
21	Q2a_SW2_Min T	1.0	6	-30	-15	-121	182	375	43	Q2a_SW2_Min T	1.0	-11	-1	1	0	5	20	65	Q2a_SW2_Min T	1.0	-10	-1	2	0	5	21	87	Q2a_SW2_Min T	1.0	-7	-2	151	-2	8	1
21	Q2a_SW2_Min M2	0.0	0	0	0	0	0	0	43	Q2a_SW2_Min M2	0.0	0	0	0	0	0	0	65	Q2a_SW2_Min M2	0.0	0	0	0	0	0	0	87	Q2a_SW2_Min M2	0.0	-5	-2	123	-2	117	1
21	Q2a_SW2_Min M2	1.0	0	0	0	0	0	0	43	Q2a_SW2_Min M2	1.0	0	0	0	0	0	0	65	Q2a_SW2_Min M2	1.0	0	0	0	0	0	0	87	Q2a_SW2_Min M2	1.0	-3	-1	58	-1	58	0
21	Q2a_SW2_Min M3	0.0	0	0	0	0	0	0	43	Q2a_SW2_Min M3	0.0	0	0	0	0	0	0	65	Q2a_SW2_Min M3	0.0	0	0	0	0	0	0	87	Q2a_SW2_Min M3	0.0	-1	0	1	-3	1	3
21	Q2a_SW2_Min M3	1.0	0	0	0	0	0	0	43	Q2a_SW2_Min M3	1.0	0	0	0	0	0	3	65	Q2a_SW2_Min M3	1.0	0	0	0	0	0	1	87	Q2a_SW2_Min M3	1.0	-40	-129	1657	130	276	336
22	Q2a_SW2_Max P	0.0	0	0	0	0	0	0	44	Q2a_SW2_Max P	0.0	0	0	0	0	0	0	66	Q2a_SW2_Max P	0.0	0	0	0	0	0	0	88	Q2a_SW2_Max P	0.0	0	0	0	0	0	0
22	Q2a_SW2_Max P	0.6	0	0	0	0	0	0	44	Q2a_SW2_Max P	0.6	0	0	0	0	0	0	66	Q2a_SW2_Max P	0.6	0	0	0	0	0	0	88	Q2a_SW2_Max P	0.6	0	0	0	0	0	0
22	Q2a_SW2_Max V2	0.0	0	0	0	0	0	0	44	Q2a_SW2_Max V2	0.0	0	0	0	0	0	0	66	Q2a_SW2_Max V2	0.0	0	0	0	0	0	0	88	Q2a_SW2_Max V2	0.0	0	0	0	0	0	0
22	Q2a_SW2_Max V2	0.6	0	0	0	0	0	0	44	Q2a_SW2_Max V2	0.6	0	0	0	0	0	0	66	Q2a_SW2_Max V2	0.6	0	0	0	0	0	0	88	Q2a_SW2_Max V2	0.6	0	0	0	0	0	0
22	Q2a_SW2_Max V3	0.0	0	0	0	0	0	0	44	Q2a_SW2_Max V3	0.0	0	0	0	0	0	0	66	Q2a_SW2_Max V3	0.0	0	0	0	0	0	0	88	Q2a_SW2_Max V3	0.0	0	0	0	0	0	0
22	Q2a_SW2_Max V3	0.6	0	0	0	0	0	0	44	Q2a_SW2_Max V3	0.6	0	0	0	0	0	0	66	Q2a_SW2_Max V3	0.6	0	0	0	0	0	0	88	Q2a_SW2_Max V3	0.6	0	0	0	0	0	0
22	Q2a_SW2_Max T	0.0	0	0	0	0	0	0	44	Q2a_SW2_Max T	0.0	0	0	0	0	0	0	66	Q2a_SW2_Max T	0.0	0	0	0	0	0	0	88	Q2a_SW2_Max T	0.0	0	0	0	0	0	0
22	Q2a_SW2_Max T	0.6	0	0	0	0	0	0	44	Q2a_SW2_Max T	0.6	0	0	0	0	0	0	66	Q2a_SW2_Max T	0.6	0	0	0	0	0	0	88	Q2a_SW2_Max T	0.6	0	0	0	0	0	0
22	Q2a_SW2_Min P	0.0	0	0	0	0	0	0	44	Q2a_SW2_Min P	0.0	0	0	0	0	0	0	66	Q2a_SW2_Min P	0.0	0	0	0	0	0	0	88	Q2a_SW2_Min P	0.0	0	0	0	0	0	0
22	Q2a_SW2_Min P	0.6	0	0	0	0	0	0	44	Q2a_SW2_Min P	0.6	0	0	0	0	0	0	66	Q2a_SW2_Min P	0.6	0	0	0	0	0	0	88	Q2a_SW2_Min P	0.6	0	0	0	0	0	0
22	Q2a_SW2_Min V2	0.0	0	0	0	0	0	0	44	Q2a_SW2_Min V2	0.0	0	0	0	0	0	0	66	Q2a_SW2_Min V2	0.0	0	0	0	0	0	0	88	Q2a_SW2_Min V2	0.0	0	0	0	0	0	0
22	Q2a_SW2_Min V2	0.6	0	0	0	0	0	0	44	Q2a_SW2_Min V2	0.6	0	0	0	0	0	0	66	Q2a_SW2_Min V2	0.6	0	0	0	0	0	0	88	Q2a_SW2_Min V2	0.6	0	0	0	0	0	0
22	Q2a_SW2_Min V3	0.0	0	0	0	0	0	0	44	Q2a_SW2_Min V3	0.0	0	0	0	0	0	0	66	Q2a_SW2_Min V3	0.0	0	0	0	0	0	0	88	Q2a_SW2_Min V3	0.0	0	0	0	0	0	0
22	Q2a_SW2_Min V3	0.6	0	0	0	0	0	0	44	Q2a_SW2_Min V3	0.6	0	0	0	0	0	0	66	Q2a_SW2_Min V3	0.6	0	0	0	0	0	0	88	Q2a_SW2_Min V3	0.6	0	0	0	0	0	0
22	Q2a_SW2_Min T	0.0	0	0	0	0	0	0	44	Q2a_SW2_Min T	0.0	0	0	0	0	0	0	66	Q2a_SW2_Min T	0.0	0	0	0	0	0	0	88	Q2a_SW2_Min T	0.0	0	0	0	0	0	0
22	Q2a_SW2_Min T	0.6	0	0	0	0	0	0	44	Q2a_SW2_Min T	0.6	0	0	0	0	0	0	66	Q2a_SW2_Min T	0.6	0	0	0	0	0	0	88	Q2a_SW2_Min T	0.6	0	0	0	0	0	0
22	Q2a_SW2_Min M2	0.0	0	0	0	0	0	0	44	Q2a_SW2_Min M2	0.0	0	0	0	0	0	0	66	Q2a_SW2_Min M2	0.0	0	0	0	0	0	0	88	Q2a_SW2_Min M2	0.0	0	0	0	0	0	0
22	Q2a_SW2_Min M2	0.6	0	0	0	0	0	0	44	Q2a_SW2_Min M2	0.6	0</td																							

Fig. 76 – Sollecitazioni: treno SW2 – Q2

APPALTATORE: <u>Consorzio</u> <u>Soci</u> HIRPINIA - ORSARA AV WEBUILD ITALIA PIZZAROTTI	ITINERARIO NAPOLI – BARI RADDOPPIO TRATTA APICE - ORSARA II LOTTO FUNZIONALE HIRPINIA - ORSARA
PROGETTAZIONE: <u>Mandataria</u> <u>Mandanti</u> ROCKSOIL S.P.A NET ENGINEERING PINI GCF ELETTRI-FER M-INGEGNERIA	
PROGETTO ESECUTIVO	COMMESA LOTTO CODIFICA DOCUMENTO REV. IF3A 02 E ZZ CL VI0009 003 C FOGLIO 80 di 138

10.4.3 CALCOLO DELLE TENSIONI

Le verifiche di resistenza delle sezioni composte si conduce confrontando le tensioni normali prodotte dal momento flettente e dallo sforzo normale con la tensione limite definita dalla normativa come f_y/γ_{M0} .

In corrispondenza della sezione di attacco dell'anima alla piattabanda si calcola inoltre la tensione ideale che tiene conto delle tensioni tangenziali e si confronta la tensione ideale di Von Mises con il limite di ammissibilità f_y/γ_{M0} .

Gli effetti delle sollecitazioni nelle varie configurazioni sono stati cumulati in termini di tensioni, utilizzando la sezione di solo acciaio per la Fase I e le sezioni composte omogeneizzate ad acciaio tramite i relativi coefficienti per la Fase II e per la Fase III.

Le tensioni σ e τ sono calcolate nei punti più significativi della sezione, come indicato in Fig. 77.

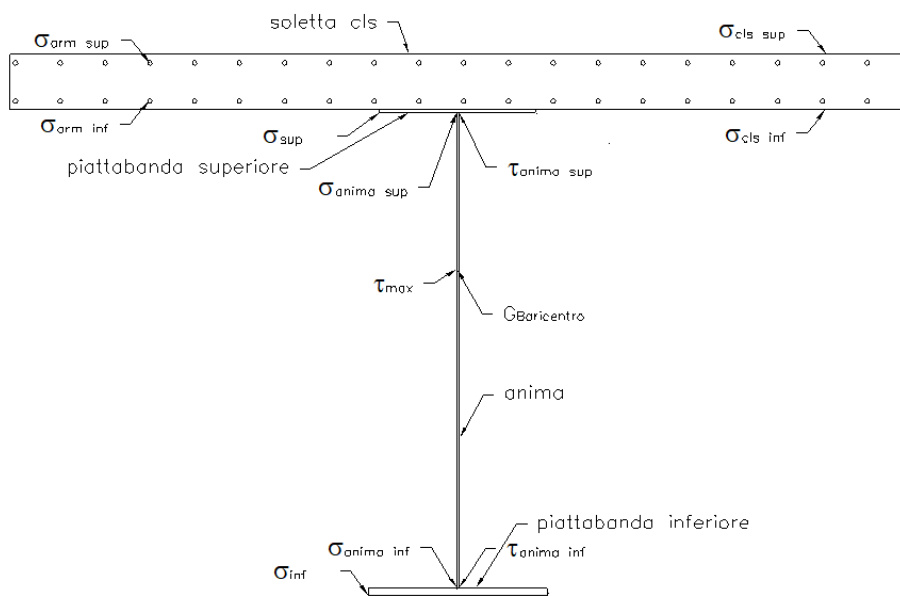


Fig. 77 – Posizioni della trave in cui sono calcolate le tensioni

Le tabelle seguenti riassumono i risultati ottenuti in termini di tensioni sulla carpenteria metallica delle travi principali e tramite i grafici in Fig. 79 si illustra l'andamento delle tensioni massima sulle piattabande superiori ed inferiori per tutto lo sviluppo del ponte.

APPALTATORE: Consorzio HIRPINIA - ORSARA AV WEBUILD ITALIA	Soci PIZZAROTTI	ITINERARIO NAPOLI – BARI
PROGETTAZIONE: Mandataria ROCKSOIL S.P.A.	Mandanti NET ENGINEERING ELETTRI-FER	RADDOPPIO TRATTA APICE - ORSARA II LOTTO FUNZIONALE HIRPINIA - ORSARA
PROGETTO ESECUTIVO	COMMESA IF3A	LOTTO 02
CODIFICA E ZZ CL	DOCUMENTO VI0009 003	REV. C

TRAVE 2												TRAVE 1													
SEZ	FR.	$\sigma_{(sup)}$ (N/mm ²)		$\sigma_{(inf)}$ (N/mm ²)		τ_{MAX} (N/mm ²)		τ_{MEDIO}			$\sigma_{id(an.)}$	$\sigma_{id(an.i)}$	SEZ.	FR.	$\sigma_{(sup)}$ (N/mm ²)		$\sigma_{(inf)}$ (N/mm ²)		τ_{MAX} (N/mm ²)		τ_{MEDIO}			$\sigma_{id(an.)}$	$\sigma_{id(an.i)}$
		max	min	max	min	max	min	max	min	max	max	max	max		max	min	max	min	max	min	max	max	max		
C05	23	17	-45	9	-3	0	0	0	0	44	8	C01	1	11	-32	6	-2	0	0	0	0	0	31	6	
C05	24	19	-24	49	-47	40	-2	40	-2	65	55	C01	2	13	-61	43	-7	114	51	110	48	169	146		
C06	25	8	-121	132	-13	89	34	83	31	159	159	C02	3	4	-99	117	16	86	37	81	34	147	151		
C07	26	-26	-156	169	28	66	28	62	26	169	173	C03	4	-25	-138	162	35	65	28	61	26	157	171		
C07	27	-59	-209	218	69	57	24	53	22	207	221	C03	5	-57	-184	220	70	55	24	52	22	190	222		
C07	28	-93	-236	278	92	48	20	45	19	239	262	C03	6	-87	-218	272	98	46	19	43	18	220	266		
C07	29	-111	-262	288	127	39	16	37	15	257	284	C03	7	-110	-241	299	125	37	15	35	14	239	292		
C08	30	-119	-247	234	105	48	20	47	19	242	235	C04	8	-112	-231	246	107	45	19	45	18	230	243		
C08	31	-122	-257	268	105	38	14	37	14	256	250	C04	9	-119	-249	270	112	36	13	35	13	246	260		
C08	32	-127	-275	264	121	26	8	25	8	263	256	C04	10	-131	-264	283	124	26	8	26	8	258	272		
C08	33	-137	-271	275	120	15	2	15	2	263	256	C04	11	-142	-272	286	131	17	2	16	2	265	277		
C08	34	-137	-272	276	119	16	2	16	2	263	256	C04	12	-144	-272	286	129	15	1	15	1	264	276		
C08	35	-129	-276	261	121	25	8	25	8	263	257	C04	13	-134	-266	280	124	25	7	25	7	259	272		
C08	36	-123	-261	266	107	37	14	37	14	257	251	C04	14	-122	-252	268	113	35	12	35	12	247	260		
C08	37	-120	-250	237	107	47	20	46	19	244	237	C04	15	-115	-232	245	108	45	18	45	18	231	242		
C09	38	-113	-251	285	128	38	16	36	15	246	283	C03	16	-114	-243	297	127	37	14	35	14	241	292		
C09	39	-93	-229	272	98	48	21	45	19	231	262	C03	17	-90	-220	270	102	46	19	43	18	221	266		
C09	40	-62	-198	218	74	56	25	53	23	200	220	C03	18	-59	-184	221	73	56	24	52	22	191	222		
C09	41	-28	-149	164	38	65	29	61	27	165	171	C03	19	-25	-139	162	37	66	29	62	27	159	171		
C10	42	2	-109	123	14	86	38	80	35	151	153	C02	20	4	-100	119	17	87	39	82	36	150	152		
C11	43	65	-68	88	-88	1	0	1	0	68	88	C01	21	14	-61	43	-8	115	53	112	50	170	148		
C11	44	13	-36	7	-3	0	0	0	0	35	6	C01	22	11	-32	6	-2	0	0	0	0	31	6		

TRAVE 4 (lato esterno)												TRAVE 3 (lato interno)													
SEZ	FR.	$\sigma_{(sup)}$ (N/mm ²)		$\sigma_{(inf)}$ (N/mm ²)		τ_{MAX} (N/mm ²)		τ_{MEDIO}			$\sigma_{id(an.)}$	$\sigma_{id(an.i)}$	SEZ.	FR.	$\sigma_{(sup)}$ (N/mm ²)		$\sigma_{(inf)}$ (N/mm ²)		τ_{MAX} (N/mm ²)		τ_{MEDIO}			$\sigma_{id(an.)}$	$\sigma_{id(an.i)}$
		max	min	max	min	max	min	max	min	max	max	max	max		max	min	max	min	max	min	max	max	max		
C01	67	11	-32	6	-2	0	0	0	0	31	6	C05	45	17	-45	9	-3	0	0	0	0	44	8		
C01	68	14	-62	45	-7	118	53	115	51	175	152	C05	46	19	-24	48	-48	40	-2	41	-2	65	56		
C02	69	4	-102	123	17	90	39	84	36	154	157	C06	47	6	-125	131	-18	94	37	88	33	166	163		
C03	70	-26	-145	164	37	68	30	64	28	163	177	C07	48	-28	-164	166	28	67	29	63	27	172	177		
C03	71	-61	-189	230	71	58	25	55	24	197	230	C07	49	-65	-205	235	66	57	24	53	23	210	225		
C03	72	-89	-227	278	104	48	21	45	19	228	275	C07	50	-90	-250	265	104	48	20	45	19	242	265		
C03	73	-116	-248	311	128	39	16	37	15	247	302	C07	51	-121	-260	301	118	38	15	36	14	259	288		
C04	74	-116	-237	258	113	48	20	48	20	239	251	C08	52	-118	-242	250	111	47	19	46	19	243	238		
C04	75	-122	-261	275	119	38	14	37	14	255	269	C08	53	-118	-261	264	116	36	13	36	13	257	251		
C04	76	-139	-267	301	127	27	8	27	8	266	282	C08	54	-131	-273	270	124	26	8	26	8	265	259		
C04	77	-143	-282	302	132	17	2	16	2	271	284	C08	55	-139	-278	268	126	16	3	16	2	266	260		
C04	78	-146	-281	292	131	16	2	15	2	270	283	C08	56	-136	-278	276	126	15	2	15	1	266	260		
C04	79	-137	-270	291	128	26	7	26	7	264	278	C08	57	-137	-270	282	119	25	8	25	8	267	262		
C04	80	-126	-257	275	114	36	13	36	12	253	266	C08	58	-122	-271	258	115	37	14	37	14	261	255		
C04	81	-120	-240	251	110	47	18	46	18	237	249	C08	59	-120	-249	249	112	48	20	47	20	247	241		
C03	82	-122	-253	302	125	38	15	36	14	247	301	C09	60	-117	-250	295	127	39	16	36	15	249	288		
C03	83	-87	-233	272	118	48	20	45	19	229	276	C09	61	-94	-232	268	100	47	20	44	19	231	264		
C03	84	-65	-183	246	73	59	26	55	24	199	232	C09	62	-61	-199	219	76	55	24	52	23	200	221		
C03	85	-28	-149	164	38	69	31	65	29	166	180	C09	63	-29	-148	166	37	64	29	61	27	164	171		
C02	86	4	-107	125	18	93	42	87	38	159	162	C10	64	4	-110	120	17	85	38	80	35	150	153		
C01	87	14	-63	46	-6	123	58	119	54	181	158	C11	65	65	-68										

APPALTATORE: <u>Consorzio</u> <u>Soci</u> HIRPINIA - ORSARA AV WEBUILD ITALIA PIZZAROTTI	ITINERARIO NAPOLI - BARI RADDOPPIO TRATTA APICE - ORSARA II LOTTO FUNZIONALE HIRPINIA - ORSARA
PROGETTAZIONE: <u>Mandataria</u> <u>Mandanti</u> ROCKSOIL S.P.A NET ENGINEERING PINI GCF ELETTRI-FER M-INGEGNERIA	
PROGETTO ESECUTIVO	COMMESSE IF3A LOTTO 02 CODIFICA EZ CL DOCUMENTO VI0009 003 REV. C FOGLIO 82 di 138

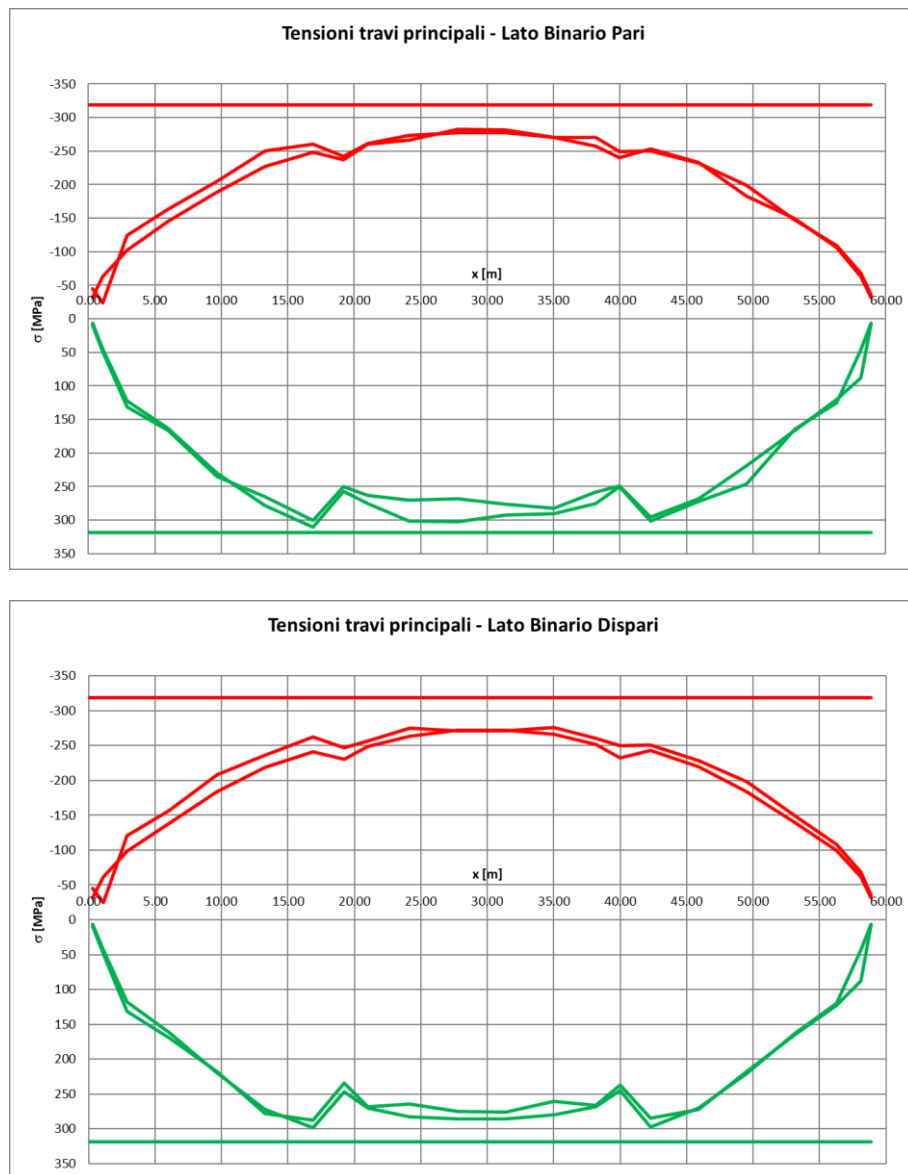


Fig. 79 – Tensioni normale sulle piattabande superiori (compressione) ed inferiori (trazione) delle travi principali – Combinazioni SLU

APPALTATORE: Consorzio HIRPINIA - ORSARA AV WEBUILD ITALIA	Soci PIZZAROTTI	ITINERARIO NAPOLI - BARI RADDOPPIO TRATTA APICE - ORSARA II LOTTO FUNZIONALE HIRPINIA - ORSARA												
PROGETTAZIONE: Mandataria ROCKSOIL S.P.A.	Mandanti NET ENGINEERING ELETTRI-FER	PINI GCF M-INGEGNERIA												
PROGETTO ESECUTIVO		COMMESSE IF3A	LOTTO 02	CODIFICA EZ CL	DOCUMENTO VI0009 003	REV. C	FOGLIO 83 di 138							

Le tabelle seguenti (Fig. 80) riassumono i valori di tensione calcolati agli Stati Limite di Esercizio, con riferimento alla combinazione di carico caratteristica (rara).

TRAVE 2											TRAVE 1												
SEZ	FR.	$\sigma_{(sup)}$ (N/mm ²)	$\sigma_{(inf)}$ (N/mm ²)	τ_{MAX} (N/mm ²)	τ_{MEDIO}	$\sigma_{id(an.)}$	$\sigma_{id(an.i.)}$	SEZ	FR.	$\sigma_{(sup)}$ (N/mm ²)	$\sigma_{(inf)}$ (N/mm ²)	τ_{MAX} (N/mm ²)	τ_{MEDIO}	$\sigma_{id(an.)}$	$\sigma_{id(an.i.)}$								
C05	23	11	-35	7	-2	0	0	0	0	34	6	C01	1	8	-24	5	-2	0	0	0	0	24	4
C05	24	13	-17	33	-31	27	-2	28	-2	45	37	C01	2	9	-46	31	-5	80	51	77	49	118	103
C06	25	2	-89	93	-2	63	35	58	32	114	113	C02	3	0	-73	83	17	60	38	56	35	105	106
C07	26	-31	-114	120	32	46	28	43	27	122	123	C03	4	-30	-101	114	36	46	28	43	27	114	120
C07	27	-64	-152	154	72	40	24	37	23	150	156	C03	5	-62	-134	155	72	39	24	37	23	138	156
C07	28	-98	-172	196	94	34	20	32	19	173	185	C03	6	-92	-159	191	100	32	19	30	18	160	187
C07	29	-116	-191	203	129	27	16	26	15	186	201	C03	7	-115	-176	210	127	26	15	24	14	174	206
C08	30	-123	-180	165	106	34	20	33	20	175	166	C04	8	-117	-168	173	109	32	19	31	18	168	170
C08	31	-127	-186	189	106	27	15	26	14	186	176	C04	9	-123	-181	190	114	25	13	25	13	179	183
C08	32	-132	-200	186	123	18	8	18	8	191	181	C04	10	-136	-192	198	127	18	8	18	8	188	191
C08	33	-141	-197	194	121	11	2	10	2	191	180	C04	11	-147	-198	201	133	12	2	11	2	193	194
C08	34	-141	-197	195	121	11	2	11	2	191	180	C04	12	-149	-198	200	132	10	1	10	1	193	194
C08	35	-134	-200	183	123	18	8	18	8	191	181	C04	13	-139	-194	196	126	18	7	17	7	188	191
C08	36	-128	-189	188	108	26	14	26	14	187	177	C04	14	-126	-183	188	115	24	12	24	12	180	182
C08	37	-125	-182	167	108	33	20	33	20	178	167	C04	15	-120	-169	172	110	32	18	31	18	168	170
C09	38	-117	-183	201	129	27	16	25	15	179	200	C03	16	-119	-177	209	129	26	15	24	14	175	206
C09	39	-97	-167	192	99	33	21	31	20	168	185	C03	17	-94	-160	190	104	32	19	30	18	161	187
C09	40	-66	-144	154	75	39	25	37	24	146	156	C03	18	-64	-134	155	75	39	24	37	23	139	156
C09	41	-32	-109	116	40	46	29	43	27	120	121	C03	19	-30	-102	114	38	46	29	43	27	115	120
C10	42	-2	-80	87	15	61	39	56	35	109	109	C02	20	0	-74	84	18	61	39	57	36	107	107
C11	43	43	-46	58	-59	0	0	0	0	46	59	C01	21	9	-46	31	-5	81	54	78	51	120	104
C11	44	9	-28	6	-2	0	0	0	0	27	5	C01	22	8	-24	5	-2	0	0	0	24	4	

TRAVE 4 (lato esterno)											TRAVE 3 (lato interno)												
SEZ	FR.	$\sigma_{(sup)}$ (N/mm ²)	$\sigma_{(inf)}$ (N/mm ²)	τ_{MAX} (N/mm ²)	τ_{MEDIO}	$\sigma_{id(an.)}$	$\sigma_{id(an.i.)}$	SEZ	FR.	$\sigma_{(sup)}$ (N/mm ²)	$\sigma_{(inf)}$ (N/mm ²)	τ_{MAX} (N/mm ²)	τ_{MEDIO}	$\sigma_{id(an.)}$	$\sigma_{id(an.i.)}$								
C01	67	8	-24	5	-2	0	0	0	0	24	4	C05	45	11	-35	7	-2	0	0	0	0	34	6
C01	68	9	-47	32	-4	83	54	80	51	122	107	C05	46	12	-16	32	-33	28	-1	28	-1	45	39
C02	69	0	-76	87	19	63	40	59	36	109	111	C06	47	0	-92	92	-8	66	38	62	35	119	115
C03	70	-31	-106	116	38	48	30	45	28	117	125	C07	48	-33	-120	117	32	47	29	44	27	125	125
C03	71	-66	-137	163	72	41	26	38	24	142	163	C07	49	-70	-149	166	69	40	24	37	23	152	159
C03	72	-94	-165	197	106	34	21	32	20	165	194	C07	50	-95	-181	187	106	33	20	31	19	176	188
C03	73	-121	-180	220	130	27	16	26	15	179	214	C07	51	-126	-189	213	120	27	16	25	15	188	203
C04	74	-121	-172	182	115	34	20	33	20	173	177	C08	52	-122	-176	177	113	33	19	32	19	176	168
C04	75	-127	-189	194	121	26	14	26	14	185	190	C08	53	-123	-189	186	117	25	14	25	13	186	177
C04	76	-144	-193	213	129	19	8	19	8	193	199	C08	54	-136	-198	191	125	18	8	18	8	192	183
C04	77	-148	-205	214	135	11	2	11	2	197	201	C08	55	-144	-202	189	128	11	3	11	3	193	184
C04	78	-151	-204	206	134	11	2	11	2	196	199	C08	56	-141	-201	196	128	10	2	10	2	193	184
C04	79	-142	-196	205	130	18	7	18	7	192	196	C08	57	-142	-196	199	120	18	8	17	8	194	185
C04	80	-131	-186	194	116	25	13	25	13	183	188	C08	58	-127	-197	182	116	26	14	26	14	189	180
C04	81	-125	-174	177	112	33	19	32	18	172	176	C08	59	-124	-181	176	113	33	21	33	20	179	170
C03	82	-127	-184	213	127	27	15	25	14	179	212	C09	60	-121	-182	209	128	27	17	26	16	181	204
C03	83	-91	-170	192	120	34	20	32	19	166	195	C09	61	-99	-169	190	102	33	21	31	19	168	187
C03	84	-70	-133	174	74	41	26	39	24	144	164	C09	62	-66	-145	155	77	39	25	37	23	145	157
C03	85	-32	-109	116	40	48	31	46	29	120	127	C09	63	-33	-108	118	38	45	29	43	27	119	121
C02	86	-1	-79	89	19	65	42	61	39	113	115	C10	64	-1	-81	85	18	60	38	56	35	108	108
C01	87	10	-47	33	-4	86	58	83	55	126	111	C11	65	43	-46	58	-59	0	0	0	0	46	59
C01	88	8	-24	5	-2	0	0	0	0	24	4	C11	66	9	-28	6	-2	0	0	0	0	27	5

Fig. 80 – Tensioni normali sulle piattabande superiori ed inferiori delle travi principali – Combinazioni SLE

APPALTATORE: <u>Consorzio</u> <u>Soci</u> HIRPINIA - ORSARA AV WEBUILD ITALIA PIZZAROTTI	ITINERARIO NAPOLI – BARI RADDOPPIO TRATTA APICE - ORSARA II LOTTO FUNZIONALE HIRPINIA - ORSARA
PROGETTAZIONE: <u>Mandataria</u> <u>Mandanti</u> ROCKSOIL S.P.A NET ENGINEERING PINI GCF ELETTRI-FER M-INGEGNERIA	
PROGETTO ESECUTIVO	COMMESSE LOTTO CODIFICA DOCUMENTO REV. FOGLIO IF3A 02 E ZZ CL VI0009 003 C 84 di 138

I valori delle tensioni nei cassoni (σ_{sup} e σ_{inf}) sono rappresentati nel grafico in Fig. 81.

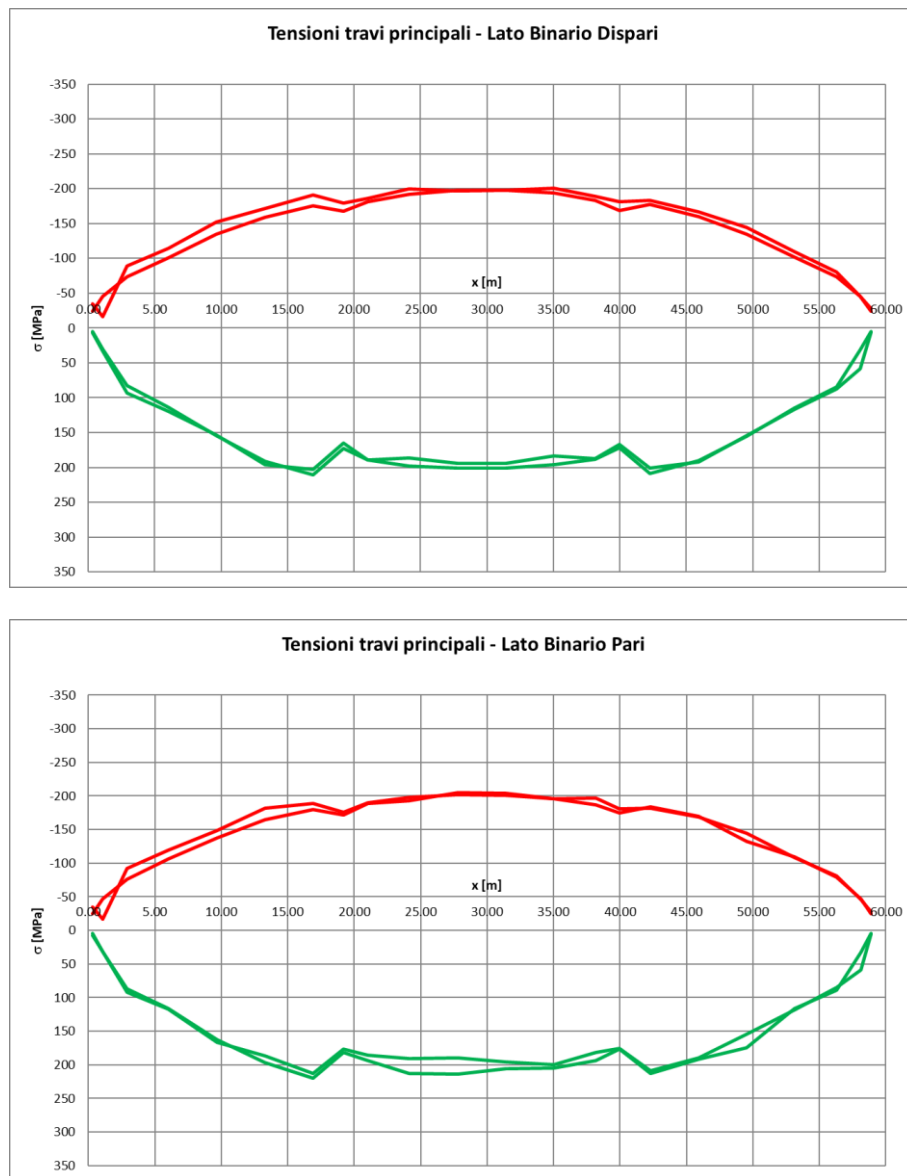


Fig. 81 – Tensioni normale sulle piattabande superiori (compressione) ed inferiori (trazione) delle travi principali – Combinazioni SLE

APPALTATORE: <u>Consorzio</u> <u>Soci</u> HIRPINIA - ORSARA AV WEBUILD ITALIA PIZZAROTTI										ITINERARIO NAPOLI – BARI RADDOPPIO TRATTA APICE - ORSARA II LOTTO FUNZIONALE HIRPINIA - ORSARA							
PROGETTAZIONE: <u>Mandataria</u> <u>Mandanti</u> ROCKSOIL S.P.A NET ENGINEERING PINI GCF ELETTRI-FER M-INGEGNERIA																	
PROGETTO ESECUTIVO										COMMESA	LOTTO	CODIFICA	DOCUMENTO	REV.	FOGLIO		
										IF3A	02	E ZZ CL	V10009 003	C	85 di 138		

10.4.4 VERIFICA DI STABILITA' DEI PANNELLI D'ANIMA

Si esegue la verifica dell'imbozzamento dei pannelli d'anima delle travi principali, secondo la CNR – 10011/97 che impone la seguente condizione:

$$\frac{\sigma_{cr,id}}{\sigma_{id}} \geq \beta \cdot v$$

Dove:

- σ_i massima tensione di compressione sul pannello
- $\beta = \frac{\sigma_N + 0,8 \cdot \sigma_M}{\sigma_N + \sigma_M}$ se il rapporto geometrico $\alpha = a/h \leq 1.5$
- $\beta = 0,8$ se il rapporto geometrico $\alpha = a/h > 1.5$
- $v = 1,0$ nel metodo agli stati limite qui adottato.

Nelle verifiche si assume il segno negativo per le tensioni di compressione.

Come si evince dalle tabelle riportate sotto, la verifica risulta sempre soddisfatta.

		RI PANN1		RI PANN2				RI PANN1		RI PANN2				RI PANN1		RI PANN2	
SEZ	FR.	$\sigma_{cr,id}/\sigma_{id}$	βv	$\sigma_{cr,id}/\sigma_{id}$	βv	SEZ	FR.	$\sigma_{cr,id}/\sigma_{id}$	βv	$\sigma_{cr,id}/\sigma_{id}$	βv	SEZ	FR.	$\sigma_{cr,id}/\sigma_{id}$	βv	$\sigma_{cr,id}/\sigma_{id}$	βv
C01	1	11.2	0.9	155.3	0.9	C05	23	7.9	0.9	105.4	0.9	C05	45	7.9	0.9	105.4	0.9
C01	2	1.8	1.0	1.9	0.9	C05	24	5.0	0.9	5.7	1.0	C05	46	5.3	1.0	5.5	1.0
C02	3	1.4	0.8	2.8	0.9	C06	25	1.3	0.9	2.5	0.9	C06	47	1.2	0.9	2.4	0.9
C03	4	2.1	1.0	1.6	0.9	C07	26	1.9	1.0	1.6	0.9	C07	48	1.9	1.0	1.6	0.9
C03	5	1.8	1.0	1.8	0.9	C07	27	1.6	1.0	1.8	0.9	C07	49	1.6	1.0	1.8	0.9
C03	6	1.5	1.0	2.0	0.9	C07	28	1.4	1.0	1.7	0.8	C07	50	1.4	1.0	1.7	0.8
C03	7	1.4	1.0	2.0	0.8	C07	29	1.3	1.0	1.8	0.8	C07	51	1.3	1.0	1.8	0.8
C04	8	1.4	1.0	1.0	0.8	C08	30	1.3	1.0	1.0	0.8	C08	52	1.3	1.0	1.0	0.8
C04	9	1.3	1.0	1.1	0.8	C08	31	1.3	1.0	1.0	0.8	C08	53	1.3	1.0	1.0	0.8
C04	10	1.3	1.0	1.1	0.8	C08	32	1.2	1.0	1.1	0.8	C08	54	1.2	1.0	1.1	0.8
C04	11	1.2	1.0	1.2	0.8	C08	33	1.2	1.0	1.2	0.8	C08	55	1.2	1.0	1.2	0.8
C04	12	1.2	1.0	1.2	0.8	C08	34	1.2	1.0	1.2	0.8	C08	56	1.2	1.0	1.2	0.8
C04	13	1.3	1.0	1.2	0.8	C08	35	1.2	1.0	1.1	0.8	C08	57	1.2	1.0	1.1	0.8
C04	14	1.3	1.0	1.1	0.8	C08	36	1.3	1.0	1.0	0.8	C08	58	1.2	1.0	1.0	0.8
C04	15	1.4	1.0	1.0	0.8	C08	37	1.3	1.0	1.0	0.8	C08	59	1.3	1.0	0.9	0.8
C03	16	1.4	1.0	1.9	0.8	C09	38	1.4	1.0	1.9	0.8	C09	60	1.4	1.0	1.8	0.8
C03	17	1.5	1.0	1.8	0.8	C09	39	1.5	1.0	1.7	0.8	C09	61	1.5	1.0	1.8	0.8
C03	18	1.8	1.0	1.8	0.9	C09	40	1.7	1.0	1.8	0.9	C09	62	1.7	1.0	1.9	0.9
C03	19	2.0	1.0	1.6	0.9	C09	41	1.9	1.0	1.6	0.9	C09	63	2.0	1.0	1.6	0.9
C02	20	1.4	0.8	2.7	0.9	C10	42	1.4	0.8	2.8	0.9	C10	64	1.4	0.8	2.9	0.9
C01	21	1.8	1.0	1.8	0.9	C11	43	2.1	1.0	4.0	1.0	C11	65	2.1	1.0	4.0	1.0
C01	22	11.2	0.9	155.3	0.9	C11	44	9.8	0.9	136.2	0.9	C11	66	9.8	0.9	136.2	0.9

Fig. 82 – Verifica di stabilità dei pannelli d'anima

APPALTATORE: <u>Consorzio</u> <u>Soci</u> HIRPINIA - ORSARA AV WEBUILD ITALIA PIZZAROTTI	ITINERARIO NAPOLI – BARI RADDOPPIO TRATTA APICE - ORSARA II LOTTO FUNZIONALE HIRPINIA - ORSARA
PROGETTAZIONE: <u>Mandataria</u> <u>Mandanti</u> ROCKSOIL S.P.A NET ENGINEERING PINI GCF ELETTRI-FER M-INGEGNERIA	
PROGETTO ESECUTIVO	COMMESA LOTTO CODIFICA DOCUMENTO REV. FOGLIO IF3A 02 EZ CL VI0009 003 C 86 di 138

Nello specifico risulta:

- Tensione massima sul bordo superiore del pannello d'anima superiore $\sigma_{\text{sup}} = \sigma_1 = -130,84 \text{ MPa}$
- Tensione sul bordo inferiore del pannello d'anima $\sigma_2 = 222,84 \text{ MPa}$
- $\alpha = a / h = 1,136$ (rapporto tra lunghezza e altezza del pannello d'anima)
- $k_\sigma = 23,9 \text{ MPa}$ e $k_\tau = 8,44$
- $\sigma_{cr,0} = 186200 \cdot (t/h)^2 = 7,3 \text{ MPa}$
- $\sigma_{cr} = k_\sigma \cdot \sigma_{cr,0} = 174,9 \text{ MPa}$ e $\tau_{cr} = k_\tau \cdot \sigma_{cr,0} = 61,8 \text{ MPa}$
- $$\sigma_{cr,id} = \frac{\sqrt{\sigma_1^2 + 3 \cdot \tau^2}}{\frac{1+\psi}{4} \cdot \frac{\sigma_1}{\sigma_{cr}} + \sqrt{\left(\frac{3-\psi}{4} \cdot \frac{\sigma_1}{\sigma_{cr}} \right)^2 + \left(\frac{\tau}{\tau_{cr}} \right)^2}} = 144,7 \text{ MPa}$$
- $\sigma_{id} = 153,7 \text{ MPa}$
- $\frac{\sigma_{cr,id}}{\sigma_{id}} = 0,94 \geq \beta \cdot \nu = 0,8 \rightarrow \text{verifica soddisfatta}$

APPALTATORE: <u>Consorzio</u> <u>Soci</u> HIRPINIA - ORSARA AV WEBUILD ITALIA PIZZAROTTI	ITINERARIO NAPOLI – BARI RADDOPPIO TRATTA APICE - ORSARA II LOTTO FUNZIONALE HIRPINIA - ORSARA
PROGETTAZIONE: <u>Mandataria</u> <u>Mandanti</u> ROCKSOIL S.P.A NET ENGINEERING PINI GCF ELETTRI-FER M-INGEGNERIA	
PROGETTO ESECUTIVO	COMMESA LOTTO CODIFICA DOCUMENTO REV. IF3A 02 E ZZ CL VI0009 003 C FOGLIO 87 di 138

10.4.5 VERIFICA DEGLI IRRIGIDITORI

Per le anime provviste di nervature trasversali e longitudinali si dovrà garantire una adeguata rigidezza flessionale delle nervature di irrigidimento trasversali imponendo quanto segue:

nervatura longitudinale(RIB)

$$I_{rib} \geq I_{min} = 0.15 m_L \gamma_L^* h_w t_w^3$$

γ_L^* da tabella 3.1 e 3.2 (CNR 10030/87)

$\alpha = a/h_w$

$\varphi = \sigma_2/\sigma_1$

$\delta = A_L/(h_w \times t_w)$

$\eta_1 = h_1/h_w$

$\eta_2 = h_2/h_w$

$W = \sigma_1/T$

a passo irrigiditori

nervatura trasversale (STIFFENER)

$$I_{stiff} \geq I_{min} = 0.15 \gamma_T^* h_w t_w^3$$

γ_T^* da tabella 3.1 e 3.2 (CNR 10030/87)

$\alpha = a/h_w$

a passo irrigiditori

CONCIO C03

n° beam	Sezione	A [mm]	h _w [mm]	t _w [mm]	h ₁ [mm]	h ₂ [mm]	σ_1 [N/mm ²]	σ_2 [N/mm ²]	τ [N/mm ²]
73	C03	3 625	4 180	26	970	3 210	-141.86	190.99	24.06
TIPO RIB	Aperto/ Chiuso	n° ribs	Area [mm ²]	Inerzia [mm ⁴]	TIPO STIFF	Area [mm ²]	Inerzia [mm ⁴]		
L200x24	Aperto	1	9 024	239 880 448	250x16	10 992	1 325 129 616		
α	Ψ	δ	η_1	η_2	γ_T	$\gamma_{L,\tau}$	W		
0.87	-1.29	0.08	0.23	-	60.0	3.23	0.49		
$\gamma_{L,\sigma}$	γ_L^*	m _L	Inerzia min [mm ⁴]	RIB Inerzia / Inerzia min	Inerzia min [mm ⁴]	STIFFENER Inerzia / Inerzia min			
11.78	11.78	1.36	176 774 151	1.36	661 209 120	2.0			

APPALTATORE: <u>Consorzio</u> <u>Soci</u> HIRPINIA - ORSARA AV WEBUILD ITALIA PIZZAROTTI	ITINERARIO NAPOLI – BARI RADDOPPIO TRATTA APICE - ORSARA II LOTTO FUNZIONALE HIRPINIA - ORSARA
PROGETTAZIONE: <u>Mandataria</u> <u>Mandanti</u> ROCKSOIL S.P.A NET ENGINEERING PINI GCF ELETTRI-FER M-INGEGNERIA	
PROGETTO ESECUTIVO	COMMESA LOTTO CODIFICA DOCUMENTO REV. IF3A 02 EZZ CL VI0009 003 C FOGLIO 182.69 6.86

CONCIO C04

n° beam	Sezione	A [mm]	h _w [mm]	t _w [mm]	h ₁ [mm]	h ₂ [mm]	σ ₁ [N/mm ²]	σ ₂ [N/mm ²]	τ [N/mm ²]
77	C04	3 625	4 150	20	960	3 190	-162.46	182.69	6.86
TIPO RIB	Aperto/ Chiuso	n° ribs	Area [mm ²]	Inerzia [mm ⁴]	TIPO STIFF	Area [mm ²]	Inerzia [mm ⁴]		
L200x24	Aperto	1	9 024	239 880 448	250x16	11 040	1 325 136 000		
α	Ψ	δ	η ₁	η ₂	γ _T	γ _{L,T}	W		
0.87	-1.12	0.11	0.23	-	60.0	3.31	0.22		
γ _{L,σ}	γ _{L*}	m _L	Inerzia min [mm ⁴]	RIB Inerzia / Inerzia min	Inerzia min [mm ⁴]	STIFFENER Inerzia / Inerzia min			
16.5	16.5	2.0	164 382 650	1.46	298 800 000	4.43			

CONCIO C07

n° beam	Sezione	A [mm]	h _w [mm]	t _w [mm]	h ₁ [mm]	h ₂ [mm]	σ ₁ [N/mm ²]	σ ₂ [N/mm ²]	τ [N/mm ²]
51	C07	3625	4180	26	970	3210	-141.55	183.58	19.87
TIPO RIB	Aperto/ Chiuso	n° ribs	Area [mm ²]	Inerzia [mm ⁴]	TIPO STIFF	Area [mm ²]	Inerzia [mm ⁴]		
L200x24	Aperto	1	9 024	239 880 448	250x16	10 992	1 325 129 616		
α	Ψ	δ	η ₁	η ₂	γ _T	γ _{L,T}	W		
0.87	-1.30	0.08	0.23	-	60.0	3.23	0.49		
γ _{L,σ}	γ _{L*}	m _L	Inerzia min [mm ⁴]	RIB Inerzia / Inerzia min	Inerzia min [mm ⁴]	STIFFENER Inerzia / Inerzia min			
11.78	11.78	1.36	176 774 151	1.36	661 209 120	2.0			

CONCIO C08

n° beam	Sezione	A [mm]	h _w [mm]	t _w [mm]	h ₁ [mm]	h ₂ [mm]	σ ₁ [N/mm ²]	σ ₂ [N/mm ²]	τ [N/mm ²]
55	C08	3625	4150	20	960	3190	-153.79	165.52	6.76
TIPO RIB	Aperto/ Chiuso	n° ribs	Area [mm ²]	Inerzia [mm ⁴]	TIPO STIFF	Area [mm ²]	Inerzia [mm ⁴]		
L200x24	Aperto	1	9 024	239 880 448	250x16	11 040	1 325 136 000		
α	Ψ	δ	η ₁	η ₂	γ _T	γ _{L,T}	W		
0.87	-1.08	0.11	0.23	-	60.0	3.31	0.22		
γ _{L,σ}	γ _{L*}	m _L	Inerzia min [mm ⁴]	RIB Inerzia / Inerzia min	Inerzia min [mm ⁴]	STIFFENER Inerzia / Inerzia min			
16.50	16.50	2.00	164 382 650	1.46	298 800 000	4.43			

Per le sezioni simmetriche valgono le medesime verifiche.

APPALTATORE: <u>Consorzio</u> <u>Soci</u> HIRPINIA - ORSARA AV WEBUILD ITALIA PIZZAROTTI	ITINERARIO NAPOLI – BARI RADDOPPIO TRATTA APICE - ORSARA II LOTTO FUNZIONALE HIRPINIA - ORSARA
PROGETTAZIONE: <u>Mandataria</u> <u>Mandanti</u> ROCKSOIL S.P.A NET ENGINEERING PINI GCF ELETTRI-FER M-INGEGNERIA	
PROGETTO ESECUTIVO	COMMESSA LOTTO CODIFICA DOCUMENTO REV. IF3A 02 E ZZ CL VI0009 003 C FOGLIO 89 di 138

10.4.6 VERIFICA DELLE SALDATURE DI COMPOSIZIONE DELLE TRAVI

Il collegamento anima-piattabanda superiore è realizzato a piena penetrazione, pertanto per la verifica si rimanda alla tensione calcolata sul materiale base (si vedano le verifiche al §10.4.3).

Il collegamento dell'anima alla piattabanda inferiore viene realizzato mediante due cordoni d'angolo aventi lato pari al 70% dello spessore minore dei lembi da collegare.

La tensione tangenziale limite del materiale base è data da

$$f_{v,d} = \frac{f_y/\sqrt{3}}{\gamma_{M0}} = 195 \text{ N/mm}^2$$

dove

$$f_y = 355 \text{ N/mm}^2$$

$$\gamma_{M0} = 1.05$$

La resistenza della saldatura relativa alle sollecitazioni taglienti tra anima e piattabanda è data da

$$f_{vw,d} = \frac{f_u/\sqrt{3}}{\beta_w \gamma_{M2}} = 262 \text{ N/mm}^2$$

dove

$$f_u = 510 \text{ N/mm}^2$$

$$\beta_w = 0.9$$

$$\gamma_{M2} = 1.25$$

Il rapporto della resistenza del materiale base rispetto alla saldatura, per unità di lunghezza, deve risultare:

$$\frac{t_w \cdot f_{v,d}}{2 \cdot 0.7 \cdot t_w \cdot \sqrt{2}/2 \cdot f_{vw,d}} = \frac{f_y}{f_u} \cdot \frac{\beta_w \cdot \gamma_{M2}}{0.7 \cdot \sqrt{2} \cdot \gamma_{M0}} \leq 1$$

dove

$$t_w \quad \text{spessore dell'anima}$$

$$0.7 t_w 2^{0.5/2} \quad \text{sezione di gola della saldatura}$$

Dato che la richiesta di duttilità dell'acciaio strutturale indicata nella normativa europea (EN 1993-1-1, §3.2.2) è pari almeno a $f_u/f_y \geq 1.1$, risulta che

$$\frac{f_y}{f_u} \cdot \frac{\beta_w \cdot \gamma_{M2}}{0.7 \cdot \sqrt{2} \cdot \gamma_{M0}} = \frac{1}{1.1} \cdot \frac{0.9 \cdot 1.25}{0.7 \cdot \sqrt{2} \cdot 1.05} = 0.98 \leq 1$$

Pertanto, la verifica dei due cordoni di saldature anima-piattabanda inferiore, aventi lato pari a $0.7t_w$ (essendo lo spessore dell'anima il minore degli spessori da saldare tra di loro), risulta sempre soddisfatta, per qualsiasi tipologia di acciaio strutturale che soddisfi i requisiti previsti nella normativa europea armonizzata.

Analogo ragionamento è applicabile alle saldature delle altre travi composte saldate.

APPALTATORE: <u>Consorzio</u> <u>Soci</u> HIRPINIA - ORSARA AV WEBUILD ITALIA PIZZAROTTI	ITINERARIO NAPOLI - BARI RADDOPPIO TRATTA APICE - ORSARA II LOTTO FUNZIONALE HIRPINIA - ORSARA
PROGETTAZIONE: <u>Mandataria</u> <u>Mandanti</u> ROCKSOIL S.P.A NET ENGINEERING PINI GCF ELETTRI-FER M-INGEGNERIA	
PROGETTO ESECUTIVO	COMMESSE IF3A LOTTO 02 CODIFICA E ZZ CL DOCUMENTO VI0009 003 REV. C FOGLIO 90 di 138

10.5 VERIFICHE DI RESISTENZA E STABILITA' DELLE ASTE

Nei paragrafi seguenti si riassumono le verifiche di resistenza e stabilità delle aste che costituiscono il controvento orizzontale (superiore ed inferiore) ed i diaframmi intermedi del ponte.

10.5.1 DIAGONALI DI CONTROVENTO SUPERIORI

I diagonali di controvento superiori sono costituiti da profili angolari accoppiati, bullonati alle piattabande superiori della trave principale tramite dei piatti di nodo in asse al traverso.

Le aste collegano tra loro le piattabande superiori del singolo cassone per tutta la lunghezza del ponte, in modo da chiudere torsionalmente il cassone nella fase di getto della soletta, inoltre collegano i due cassoni alle loro estremità. Queste aste sono pertanto sollecitate dalle azioni di Fase I e dalle azioni di Fase II (azioni di lungo termine). In Fase III il cassone risulta chiuso superiormente dalla soletta.

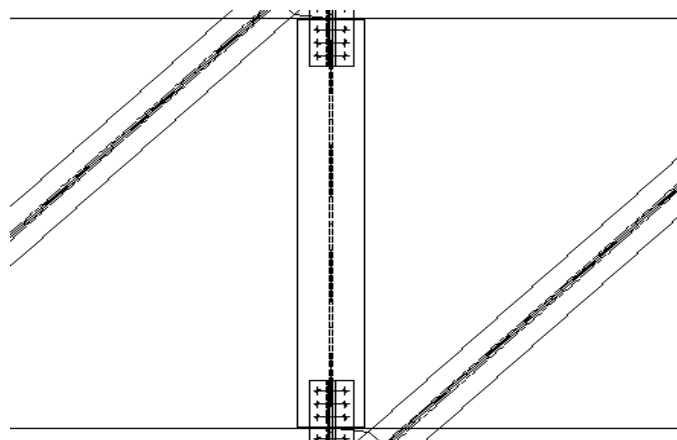


Fig. 83 –Controvento superiore: campo tipico

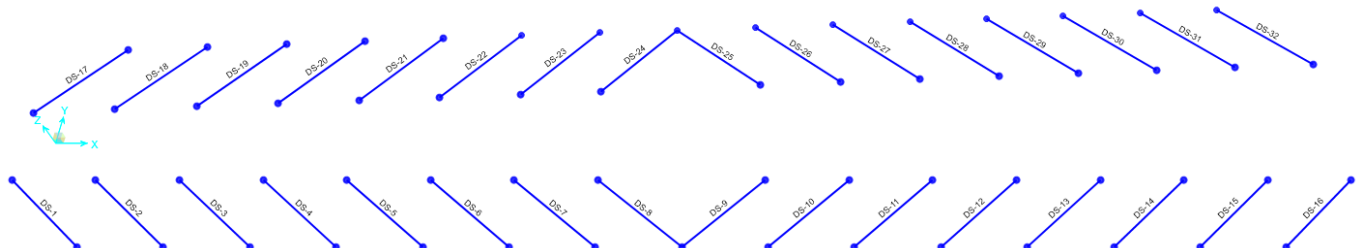


Fig. 84 – Modello FEM: label FRAME diagonali di controvento superiore

APPALTATORE: <u>Consorzio</u> <u>Soci</u> HIRPINIA - ORSARA AV WEBUILD ITALIA PIZZAROTTI	ITINERARIO NAPOLI – BARI RADDOPPIO TRATTA APICE - ORSARA II LOTTO FUNZIONALE HIRPINIA - ORSARA
PROGETTAZIONE: <u>Mandataria</u> <u>Mandanti</u> ROCKSOIL S.P.A NET ENGINEERING PINI GCF ELETTRI-FER M-INGEGNERIA	
PROGETTO ESECUTIVO	COMMESA LOTTO CODIFICA DOCUMENTO REV. IF3A 02 E ZZ CL VI0009 003 C FOGLIO 91 di 138

COMBINAZIONI - SLU			COMBINAZIONI - SLU			COMBINAZIONI - SLU		
Frame	Trazione	Compressione	Frame	Trazione	Compressione	Frame	Trazione	Compressione
	N [kN]	N [kN]		N [kN]	N [kN]		N [kN]	N [kN]
DS-2	0	-220	DS-9	0	-422	DS-22	0	-356
DS-3	0	-294	DS-10	0	-432	DS-23	0	-391
DS-4	0	-368	DS-18	0	-140	DS-29	0	-325
DS-5	0	-398	DS-19	0	-220	DS-28	0	-366
DS-6	0	-423	DS-20	0	-313	DS-1	0	-189
DS-11	0	-435	DS-21	0	-334	DS-16	0	-151
DS-12	0	-423	DS-24	0	-389	DS-17	0	-114
DS-13	0	-400	DS-25	0	-475	DS-32	28	-92
DS-14	0	-312	DS-26	0	-431			
DS-15	0	-213	DS-27	0	-391			
DS-7	0	-416	DS-30	0	-217			
DS-8	0	-448	DS-31	0	-133			

Si riassumono di seguito le verifiche di resistenza e stabilità dell'asta maggiormente sollecitata:

- Profilo: 2L120x120x10
- Materiale: S355
- Area (londa) = 4.640 mm²
- Sollecitazione assiale di compressione $N_{ED} = 475 \text{ kN}$ (DS-25 L=4300 mm)
- Sollecitazione assiale di trazione $N_{ED} = 28 \text{ kN}$ (DS-32 L=4300 mm)
- Bulloni M27 cl.10.9: n°4
- Area netta = 4.090 mm²
- Piastra di nodo spessore 12 mm ($e_1 = 60 \text{ mm}$)
- Forza massima sul singolo bullone $F_{Ed} = 119 \text{ kN}$
- Resistenza a rifollamento della piastra $F_{b,Rd,p} = 240 \text{ kN} > F_{Ed} \rightarrow \Delta = 0,5$ verifica soddisfatta
- Resistenza a rifollamento dell'angolare $F_{b,Rd,L} = 200 \text{ kN} > F_{Ed} \rightarrow \Delta = 0,6$ verifica soddisfatta
- Resistenza a taglio del singolo bullone $F_{V,Rd} = 220 \text{ kN} > F_{Ed} \rightarrow \Delta = 0,54$ verifica soddisfatta
- Resistenza di calcolo a trazione $N_{t,Rd} = 1483 \text{ kN} > N_{ED} \rightarrow \Delta = 0,02$ verifica soddisfatta
- Lunghezza $L_{0Y} = 4,3 \text{ m} \rightarrow \lambda_Y = 120$
- Lunghezza $L_{0Z} = 0,8 \times 4,3 = 3,44 \text{ m} \rightarrow \lambda_{z,eq} = 90$
- Resistenza all'instabilità $N_{b,Rd} = 487 \text{ kN} > N_{ED} \rightarrow \Delta = 0,98$ verifica soddisfatta

APPALTATORE: <u>Consorzio</u> <u>Soci</u> HIRPINIA - ORSARA AV WEBUILD ITALIA PIZZAROTTI	ITINERARIO NAPOLI - BARI RADDOPPIO TRATTA APICE - ORSARA II LOTTO FUNZIONALE HIRPINIA - ORSARA
PROGETTAZIONE: <u>Mandataria</u> <u>Mandanti</u> ROCKSOIL S.P.A NET ENGINEERING PINI GCF ELETTRI-FER M-INGEGNERIA	
PROGETTO ESECUTIVO	COMMESA IF3A LOTTO E ZZ CL CODIFICA DOCUMENTO VI0009 003 REV. C FOGLIO 92 di 138

10.5.2 DIAGONALI DI CONTROVENTO INFERIORI

I diagonali di controvento inferiori sono costituiti da profili angolari accoppiati, bullonati direttamente alle piattabande inferiori delle travi principali.

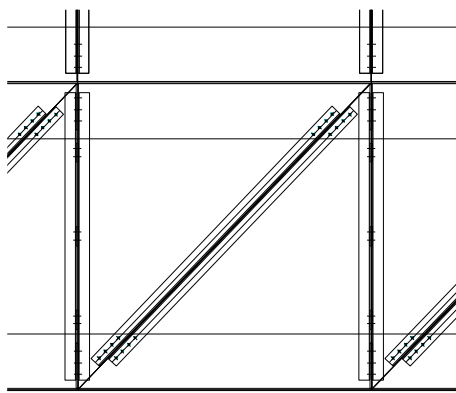


Fig. 85 – Pianta di controvento inferiore

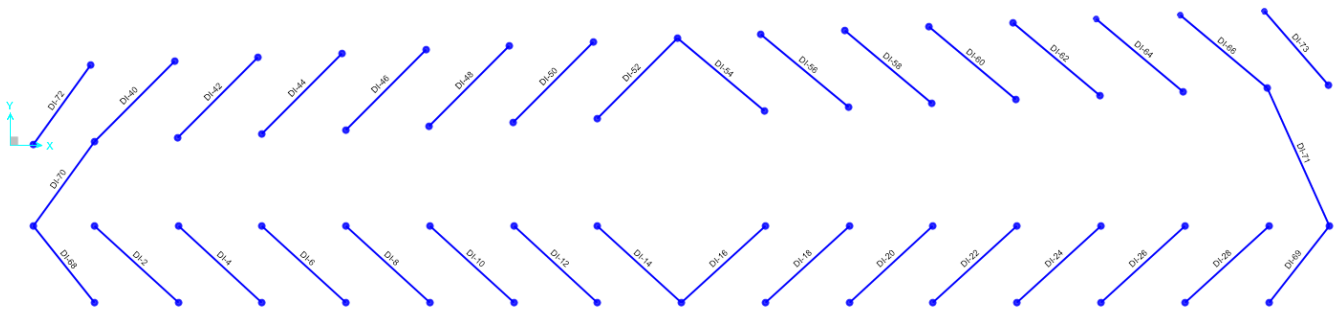


Fig. 86 – Modello FEM: label FRAME diagonali di controvento inferiore

APPALTATORE: <u>Consorzio</u> <u>Soci</u> HIRPINIA - ORSARA AV WEBUILD ITALIA PIZZAROTTI	ITINERARIO NAPOLI – BARI RADDOPPIO TRATTA APICE - ORSARA II LOTTO FUNZIONALE HIRPINIA - ORSARA
PROGETTAZIONE: <u>Mandataria</u> <u>Mandanti</u> ROCKSOIL S.P.A NET ENGINEERING PINI GCF ELETTRI-FER M-INGEGNERIA	
PROGETTO ESECUTIVO	COMMESA LOTTO CODIFICA DOCUMENTO REV. FOGLIO IF3A 02 E ZZ CL VI0009 003 C 93 di 138

COMBINAZIONI - SLU						COMBINAZIONI - SISMA					
Frame	Trazione	Compressione	Frame	Trazione	Compressione	Frame	Trazione	Compressione	Frame	Trazione	Compressione
	N [kN]	N [kN]		N [kN]	N [kN]		N [kN]	N [kN]		N [kN]	N [kN]
DI-2	563	-336	DI-46	409	-76	DI-2	555	-390	DI-46	353	-170
DI-4	543	-211	DI-54	508	0	DI-4	519	-300	DI-54	330	0
DI-6	619	-36	DI-56	425	0	DI-6	517	-110	DI-56	301	-7
DI-8	474	-19	DI-58	515	0	DI-8	400	-114	DI-58	377	0
DI-10	498	0	DI-66	413	-387	DI-10	361	0	DI-66	376	-385
DI-20	535	0	DI-48	483	0	DI-20	393	0	DI-48	348	0
DI-22	491	0	DI-50	235	-77	DI-22	389	-84	DI-50	159	-132
DI-24	577	-18	DI-52	303	-13	DI-24	461	-85	DI-52	147	-14
DI-26	486	-152	DI-64	371	-269	DI-26	421	-211	DI-64	330	-309
DI-28	469	-245	DI-62	369	-172	DI-28	411	-265	DI-62	312	-237
DI-12	357	0	DI-60	320	-125	DI-12	256	-37	DI-60	268	-210
DI-14	440	0	DI-68	563	-274	DI-14	279	0	DI-68	561	-355
DI-16	520	0	DI-69	420	-213	DI-16	360	0	DI-69	439	-325
DI-18	447	0	DI-70	577	-633	DI-18	322	-1	DI-70	674	-696
DI-40	502	-480	DI-71	492	-526	DI-40	499	-509	DI-71	540	-543
DI-42	456	-316	DI-72	498	-349	DI-42	440	-386	DI-72	476	-380
DI-44	533	-102	DI-73	299	-350	DI-44	454	-178	DI-73	248	-324

Si riassumono di seguito le verifiche di resistenza e stabilità dell'asta maggiormente sollecitata.

- Profilo: 2L120x120x10
- Materiale: S355
- Area (londa) = 4640 mm²
- Sollecitazione assiale di compressione $N_{ED} = 509 \text{ kN}$ (DI-40 L=3255 mm)
- Sollecitazione assiale di trazione $N_{ED} = 619 \text{ kN}$ (DI-6 L=3255 mm)
- Resistenza di calcolo a trazione $N_{t,Rd} = 1483 \text{ kN} > N_{ED}$ $\rightarrow \Delta = 0,42$ verifica soddisfatta
- Lunghezza $L_{0Y} = 3,25\text{m}$ $\rightarrow \lambda_Y = 91$
- Lunghezza $L_{0Z} = 0,8 \times 3,25 = 2,6 \text{ m} \rightarrow \lambda_{z,eq} = 68$
- Resistenza all'instabilità $N_{b,Rd} = 742 \text{ kN} > N_{ED}$ $\rightarrow \Delta = 0,69$ verifica soddisfatta

Si riassumono di seguito le verifiche di resistenza e stabilità dell'asta maggiormente sollecitata tra la D-70 e D-71, per le quali sono stati adottati dei profili:

- Profilo: 2L140x140x13
- Materiale: S355
- Area (londa) = 6.990 mm²
- Sollecitazione assiale di compressione $N_{ED} = 696 \text{ kN}$ (DI-70 L=3120 mm)
- Sollecitazione assiale di trazione $N_{ED} = 674 \text{ kN}$ (DI-70 L=3120 mm)
- Resistenza di calcolo a trazione $N_{t,Rd} = 2284 \text{ kN} > N_{ED} \rightarrow \Delta = 0,30$ verifica soddisfatta
- Lunghezza $L_{0Y} = 3,12 \text{ m}$ $\rightarrow \lambda_Y = 58$
- Lunghezza $L_{0Z} = 0,8 \times 3,12 = 2,5 \text{ m} \rightarrow \lambda_{z,eq} = 62$

APPALTATORE: <u>Consorzio</u> <u>Soci</u> HIRPINIA - ORSARA AV WEBUILD ITALIA PIZZAROTTI	ITINERARIO NAPOLI – BARI RADDOPPIO TRATTA APICE - ORSARA II LOTTO FUNZIONALE HIRPINIA - ORSARA
PROGETTAZIONE: <u>Mandataria</u> <u>Mandanti</u> ROCKSOIL S.P.A NET ENGINEERING PINI GCF ELETTRI-FER M-INGEGNERIA	
PROGETTO ESECUTIVO	COMMESSE IF3A LOTTO 02 CODIFICA E ZZ CL DOCUMENTO VI0009 003 REV. C FOGLIO 94 di 138

- Resistenza all'instabilità $N_{b,Rd} = 1697 \text{ kN} > N_{ED}$ $\rightarrow \Delta = 0,41$ verifica soddisfatta
- Profilo: 2L140x140x13
- Materiale: S355
- Area (londa) = 6.990 mm²
- Sollecitazione assiale di compressione $N_{ED} = 540 \text{ kN}$ (DI-71 L=5350 mm)
- Lunghezza $L_{0Y} = 5,35 \text{ m}$ $\rightarrow \lambda_Y = 100$
- Lunghezza $L_{0Z} = 0,8 \times 5,35 = 4,28 \text{ m}$ $\rightarrow \lambda_{z,eq} = 106$
- Resistenza all'instabilità $N_{b,Rd} = 912 \text{ kN} > N_{ED}$ $\rightarrow \Delta = 0,59$ verifica soddisfatta

I giunti di collegamento delle aste sono dimensionati a completo ripristino. Per i profili 2L120x120x10 risulta:

- Bulloni M27 cl.10.9: n°8
- Area netta = 4.090 mm²
- Resistenza di calcolo a trazione $N_{t,Rd} = 1.498 \text{ kN}$
- Distanza minima dal bordo libero sulla piastra: $e_1 = 60 \text{ mm}$
- Interasse dei bulloni: $p_1 = 100 \text{ mm}$
- Resistenza a taglio dei bulloni:
 $F_{V,Rd} = 8 \times 220 = 1.760 \text{ kN} > N_{t,Rd}$ $\rightarrow \Delta = 0,85$ verifica soddisfatta
- Resistenza a rifollamento della piastra (si considera lo spessore minore della piattabanda inferiore, ossia $sp = 40\text{mm}$):
 $F_{b,Rd,p} = 590 \times 8 = 4.720 \text{ kN} > N_{t,Rd}$ $\rightarrow \Delta = 0,32$ verifica soddisfatta
- Resistenza a rifollamento dell'angolare:
 $F_{b,Rd,L} = 197 \times 8 = 1.576 \text{ kN} > N_{t,Rd}$ $\rightarrow \Delta = 0,95$ verifica soddisfatta

Per i profili 2L140x140x13 risulta:

- Bulloni M27 cl.10.9: n°12
- Area netta = 6.272 mm²
- Resistenza di calcolo a trazione $N_{t,Rd} = 2.303 \text{ kN}$
- Distanza minima dal bordo libero sulla piastra: $e_1 = 60 \text{ mm}$
- Interasse dei bulloni: $p_1 = 85 \text{ mm}$
- Resistenza a taglio dei bulloni:
 $F_{V,Rd} = 12 \times 233 = 2.796 \text{ kN} > N_{t,Rd}$ $\rightarrow \Delta = 0,82$ verifica soddisfatta
- Resistenza a rifollamento della piastra (si considera lo spessore minore della piattabanda inferiore, ossia $sp = 40\text{mm}$):
 $F_{b,Rd,p} = 590 \times 12 = 7.080 \text{ kN} > N_{t,Rd}$ $\rightarrow \Delta = 0,33$ verifica soddisfatta
- Resistenza a rifollamento dell'angolare:
 $F_{b,Rd,L} = 256 \times 12 = 3.072 \text{ kN} > N_{t,Rd}$ $\rightarrow \Delta = 0,75$ verifica soddisfatta

APPALTATORE: Consorzio HIRPINIA - ORSARA AV WEBUILD ITALIA	Soci PIZZAROTTI
PROGETTAZIONE: Mandataria ROCKSOIL S.P.A	Mandanti NET ENGINEERING ELETTRI-FER
PROGETTO ESECUTIVO	COMMESA IF3A

ITINERARIO NAPOLI – BARI
RADDOPPIO TRATTA APICE - ORSARA
II LOTTO FUNZIONALE HIRPINIA - ORSARA

COMMESA	LOTTO	CODIFICA	DOCUMENTO
IF3A	02	E ZZ CL	VI0009 003
REV.	FOGLIO		
C	95 di 138		

10.5.3 DIAFRAMMI

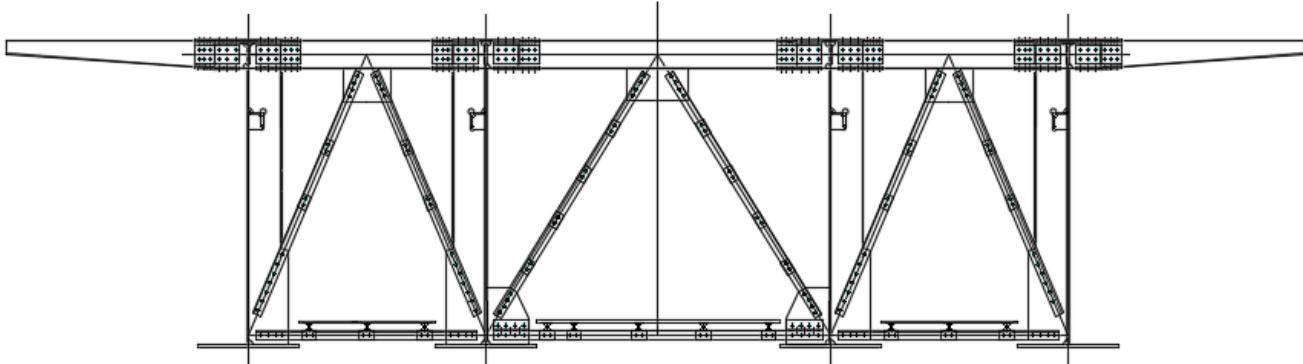
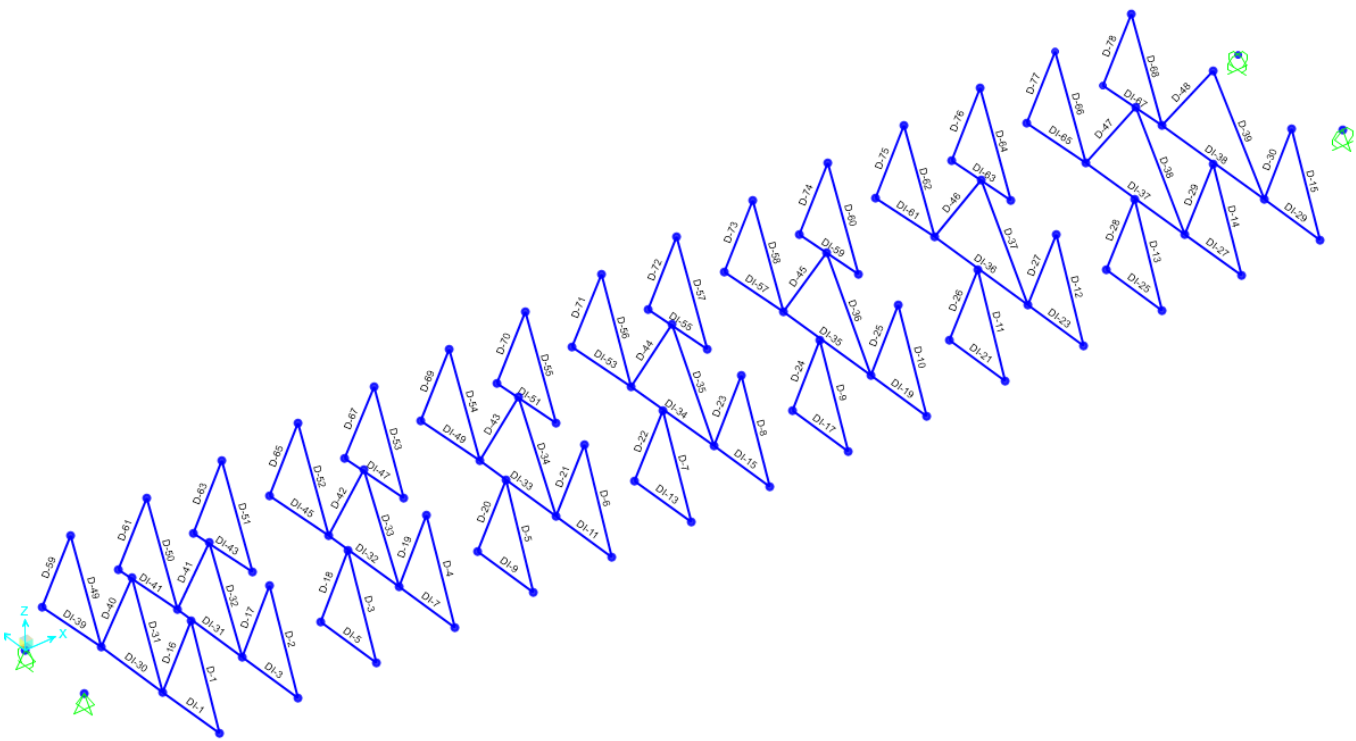


Fig. 87 – Sezione tipica: diaframma tipico

I diaframmi intermedi sono posizionati sia internamente a ciascun cassone, sia tra i due cassoni in modo da collegarli torsionalmente. I diaframmi hanno uno schema a V e sono costituiti da coppie di angolari bullonati agli stiffeners delle travi principali.



APPALTATORE: <u>Consorzio</u> <u>Soci</u> HIRPINIA - ORSARA AV WEBUILD ITALIA PIZZAROTTI	ITINERARIO NAPOLI – BARI RADDOPPIO TRATTA APICE - ORSARA II LOTTO FUNZIONALE HIRPINIA - ORSARA
PROGETTAZIONE: <u>Mandataria</u> <u>Mandanti</u> ROCKSOIL S.P.A NET ENGINEERING PINI GCF ELETTRI-FER M-INGEGNERIA	
PROGETTO ESECUTIVO	COMMESSE IF3A LOTTO 02 CODIFICA E ZZ CL DOCUMENTO VI0009 003 REV. C FOGLIO 96 di 138

COMBINAZIONI - SLU								COMBINAZIONI - SISMA									
Frame	Trazione	Compressione	Frame	Trazione	Compressione	Frame	Trazione	Compressione	Frame	Trazione	Compressione	Frame	Trazione	Compressione	Frame	Trazione	Compressione
N [kN]	N [kN]	N [kN]	N [kN]	N [kN]	N [kN]	N [kN]	N [kN]	N [kN]	N [kN]	N [kN]	N [kN]	N [kN]	N [kN]	N [kN]	N [kN]	N [kN]	N [kN]
D-1	276	-539	D-41	247	-370	D-56	51	-721	D-1	201	-141	D-41	106	-193	D-56	9	-278
D-2	307	-554	D-42	311	-436	D-57	72	-696	D-2	237	-158	D-42	88	-177	D-57	0	-217
D-3	278	-559	D-48	136	-288	D-58	49	-723	D-3	200	-151	D-48	91	-216	D-58	0	-251
D-4	297	-511	D-7	284	-483	D-60	72	-671	D-4	232	-134	D-7	172	-70	D-60	0	-196
D-5	276	-506	D-8	262	-497	D-68	150	-615	D-5	185	-107	D-8	171	-85	D-68	47	-142
D-6	335	-453	D-22	87	-699	D-68	196	-610	D-6	232	-68	D-22	23	-241	D-68	101	-148
D-11	240	-496	D-23	77	-693	D-59	311	-558	D-11	118	-64	D-23	33	-257	D-59	219	-137
D-12	251	-492	D-9	279	-479	D-61	321	-560	D-12	131	-65	D-9	155	-53	D-61	245	-154
D-13	224	-537	D-24	77	-693	D-63	273	-569	D-13	92	-83	D-24	0	-222	D-63	196	-152
D-14	232	-538	D-10	298	-462	D-65	296	-521	D-14	109	-97	D-10	173	-45	D-65	229	-131
D-15	214	-533	D-25	55	-727	D-67	269	-520	D-15	131	-143	D-25	0	-254	D-67	178	-108
D-16	124	-672	D-34	320	-515	D-71	287	-486	D-16	70	-243	D-34	55	-195	D-71	189	-66
D-17	128	-705	D-43	413	-390	D-72	276	-491	D-17	91	-284	D-43	147	-106	D-72	153	-56
D-18	137	-672	D-35	305	-500	D-73	296	-476	D-18	87	-243	D-35	51	-185	D-73	171	-49
D-19	91	-712	D-44	330	-458	D-74	267	-489	D-19	80	-307	D-44	78	-159	D-74	135	-47
D-20	100	-683	D-36	314	-495	D-77	217	-580	D-20	54	-249	D-36	39	-168	D-77	87	-106
D-21	47	-761	D-45	326	-470	D-78	206	-605	D-21	23	-319	D-45	53	-153	D-78	94	-148
D-26	100	-656	D-37	238	-471	D-54	142	-636	D-26	12	-183	D-37	7	-186	D-54	117	-219
D-27	91	-679	D-46	317	-360	D-69	274	-509	D-27	13	-208	D-46	84	-104	D-69	185	-111
D-28	130	-622	D-38	171	-330	D-55	160	-600	D-28	29	-149	D-38	50	-170	D-55	98	-160
D-29	134	-638	D-47	171	-341	D-70	253	-517	D-29	37	-164	D-47	38	-178	D-70	148	-92
D-30	143	-623	D-49	128	-718	D-70	252	-566	D-30	78	-175	D-49	72	-268	D-62	92	-124
D-31	249	-258	D-50	120	-718	D-62	224	-565	D-31	165	-181	D-50	89	-293	D-75	105	-90
D-32	273	-331	D-51	135	-669	D-75	223	-562	D-32	125	-170	D-51	90	-239	D-64	68	-99
D-33	322	-426	D-52	87	-715	D-64	191	-593	D-33	95	-165	D-52	78	-307	D-76	57	-116
D-39	104	-281	D-53	98	-679	D-76	190	-594	D-39	81	-221	D-53	55	-240			
D-40	200	-351				D-40	128	-232									

Si riassumono di seguito le verifiche di resistenza e stabilità dell'asta maggiormente sollecitata per i diagonali:

- Profilo: 2L120x120x10
- Materiale: S355
- Area (londa) = 4.640 mm²
- Sollecitazione assiale di compressione $N_{ED} = 761 \text{ kN}$ (D-21 L=2950 mm)
- Sollecitazione assiale di trazione $N_{ED} = 335 \text{ kN}$ (D-6 L=2950 mm)
- Resistenza di calcolo a trazione $N_{t,Rd} = 1483 \text{ kN} > N_{ED}$ $\rightarrow \Delta = 0,23$ verifica soddisfatta
- Lunghezza $L_{0Y} = 2,95 \text{ m}$ $\rightarrow \lambda_Y = 82$
- Lunghezza $L_{0Z} = 2,95 \text{ m}$ $\rightarrow \lambda_{z,eq} = 69$
- Resistenza all'instabilità $N_{b,Rd} = 841 \text{ kN} > N_{ED}$ $\rightarrow \Delta = 0,9$ verifica soddisfatta
- Resistenza di calcolo a trazione $N_{t,Rd} = 1483 \text{ kN} > N_{ED}$ $\rightarrow \Delta = 0,28$ verifica soddisfatta
- Lunghezza $L_{0Y} = 3,85 \text{ m}$ $\rightarrow \lambda_Y = 107$
- Lunghezza $L_{0Z} = 3,85 \text{ m}$ $\rightarrow \lambda_{z,eq} = 90$

A favore di sicurezza si riassumono di seguito le verifiche di resistenza e stabilità dell'asta avente la lunghezza maggiore (D-39) con il carico maggiormente (D-34) per i diagonali nella zona centrale dell'impalcato:

- Profilo: 2L120x120x10
- Materiale: S355
- Area (londa) = 4.640 mm²
- Sollecitazione assiale di compressione $N_{ED} = 515 \text{ kN}$ (D-34 L=3850 mm)
- Sollecitazione assiale di trazione $N_{ED} = 413 \text{ kN}$ (D-43 L=3850 mm)
- Resistenza di calcolo a trazione $N_{t,Rd} = 1483 \text{ kN} > N_{ED}$ $\rightarrow \Delta = 0,28$ verifica soddisfatta
- Lunghezza $L_{0Y} = 3,85 \text{ m}$ $\rightarrow \lambda_Y = 107$
- Lunghezza $L_{0Z} = 3,85 \text{ m}$ $\rightarrow \lambda_{z,eq} = 90$

APPALTATORE: Consorzio <u>Soci</u> HIRPINIA - ORSARA AV WEBUILD ITALIA PIZZAROTTI	ITINERARIO NAPOLI – BARI RADDOPPIO TRATTA APICE - ORSARA II LOTTO FUNZIONALE HIRPINIA - ORSARA
PROGETTAZIONE: Mandataria <u>Mandanti</u> ROCKSOIL S.P.A NET ENGINEERING PINI GCF ELETTRI-FER M-INGEGNERIA	
PROGETTO ESECUTIVO	COMMESSE IF3A LOTTO 02 CODIFICA E ZZ CL DOCUMENTO VI0009 003 REV. C FOGLIO 97 di 138

- Resistenza all'instabilità $N_{b,Rd} = 581 \text{ kN} > N_{ED}$ $\rightarrow \Delta = 0,89$ verifica soddisfatta

I giunti di collegamento delle aste sono dimensionati a completo ripristino, pertanto risulta:

- Bulloni M27 cl.10.9: n°4
- Area netta = 4.090 mm²
- Resistenza di calcolo a trazione $N_{t,Rd} = 1498 \text{ kN}$
- Distanza minima dal bordo libero sulla piastra: $e_1 = 80 \text{ mm}$
- Distanza minima dal bordo libero sul profilo: $e_1 = 60 \text{ mm}$
- Interasse dei bulloni: $p_1 = 100 \text{ mm}$
- Resistenza a taglio dei bulloni:
 $F_{V,Rd} = 2 \times 4 \times 220 = 1760 \text{ kN} > N_{t,Rd}$ $\rightarrow \Delta = 0,85$ verifica soddisfatta
- Resistenza a rifollamento della piastra (sp = 16mm):
 $F_{b,Rd,p} = 414 \times 4 = 1656 \text{ kN} > N_{t,Rd}$ $\rightarrow \Delta = 0,90$ verifica soddisfatta
- Resistenza a rifollamento dell'angolare:
 $F_{b,Rd,L} = 197 \times 4 \times 2 = 1576 \text{ kN} > N_{t,Rd}$ $\rightarrow \Delta = 0,95$ verifica soddisfatta

Per quanto riguarda le aste orizzontali, nelle tabelle seguenti si riassumono i parametri di sollecitazione di tutte le aste.

COMBINAZIONI - SLU						COMBINAZIONI - SISMA					
Frame	Trazione	Compressione	Frame	Trazione	Compressione	Frame	Trazione	Compressione	Frame	Trazione	Compressione
	N [kN]	N [kN]		N [kN]	N [kN]		N [kN]	N [kN]		N [kN]	N [kN]
DI-1	58	-599	DI-33	0	-899	DI-1	9	-454	DI-33	0	-1064
DI-3	59	-669	DI-34	0	-1133	DI-3	0	-486	DI-34	0	-1039
DI-5	60	-586	DI-35	0	-788	DI-5	2	-421	DI-35	0	-816
DI-7	0	-771	DI-36	0	-590	DI-7	0	-625	DI-36	0	-637
DI-9	0	-577	DI-37	5	-390	DI-9	0	-413	DI-37	4	-399
DI-11	0	-744	DI-39	5	-544	DI-11	0	-667	DI-39	0	-416
DI-21	0	-582	DI-41	108	-623	DI-21	0	-418	DI-41	57	-479
DI-23	0	-726	DI-43	108	-528	DI-23	0	-539	DI-43	52	-389
DI-25	29	-549	DI-45	0	-715	DI-25	0	-393	DI-45	0	-596
DI-27	32	-577	DI-47	0	-516	DI-27	0	-425	DI-47	0	-381
DI-29	34	-467	DI-53	0	-813	DI-29	25	-378	DI-53	0	-698
DI-30	0	-527	DI-55	0	-545	DI-30	0	-450	DI-55	0	-413
DI-31	0	-546	DI-57	0	-711	DI-31	28	-654	DI-57	0	-570
DI-32	0	-759	DI-59	0	-502	DI-32	69	-990	DI-59	0	-366
DI-38	22	-342	DI-65	59	-565	DI-38	28	-274	DI-65	4	-430
DI-13	0	-522	DI-67	0	-311	DI-13	0	-416	DI-67	0	-237
DI-15	0	-817	DI-49	0	-744	DI-15	0	-681	DI-49	0	-687
DI-17	0	-569	DI-51	13	-337	DI-17	0	-426	DI-51	20	-279
DI-19	0	-749	DI-61	0	-623	DI-19	0	-589	DI-61	0	-466
			DI-63	174	-361				DI-63	120	-261

Si riassumono di seguito le verifiche di resistenza e stabilità dell'asta maggiormente sollecitata.

- Profilo: 2L120x120x10
- Materiale: S355
- Area (londa) = 4640 mm²
- Sollecitazione assiale di compressione $N_{ED} = 817 \text{ kN}$ (DI-15 L=2640 mm)

- Sollecitazione assiale di trazione $N_{ED} = 174 \text{ kN}$ (DI-63 L=2640 mm)
 - Resistenza di calcolo a trazione $N_{t,Rd} = 1483 \text{ kN} > N_{ED}$ $\rightarrow \Delta = 0,12$ verifica soddisfatta
 - Lunghezza $L_{oY} = 2,64 \text{ m}$ $\rightarrow \lambda_Y = 74$
 - Lunghezza $L_{oZ} = 2,64 \text{ m}$ $\rightarrow \lambda_{z,eq} = 62$
 - Resistenza all'instabilità $N_{b,Rd} = 950 \text{ kN} > N_{ED}$ $\rightarrow \Delta = 0,86$ verifica soddisfatta

La verifica sull'asta maggiormente sollecitata risulta:

- Profilo: 2L140x140x13
 - Materiale: S355
 - Area (lorda) = 7 000 mm²
 - Sollecitazione assiale di compressione $N_{ED} = 1133 \text{ kN}$ (DI-34 L=4100 mm)
 - Sollecitazione assiale di trazione $N_{ED} = 69 \text{ kN}$ (DI-32 L=4100 mm)

 - Resistenza di calcolo a trazione $N_{t,Rd} = 2308 \text{ kN} > N_{ED}$ → $\Delta = 0,03$ verifica soddisfatta
 - Lunghezza $L_{0Y} = 0,8 \times 4,1 = 3,28 \text{ m}$ → $\lambda_Y = 77$
 - Lunghezza $L_{0Z} = 4,1 \text{ m}$ → $\lambda_z = 81$
 - Resistenza all'instabilità $N_{b,Rd} = 1315 \text{ kN} > N_{ED}$ → $\Delta = 0,86$ verifica soddisfatta

 - Profilo: 2L140x140x13
 - Materiale: S355
 - Area (lorda) = 7 000 mm²
 - Sollecitazione assiale di compressione $N_{ED} = 816 \text{ kN}$ (DI-35 L=4400 mm)
 - Lunghezza $L_{0Y} = 0,8 \times 4,4 = 3,52 \text{ m}$ → $\lambda_Y = 82$
 - Lunghezza $L_{0Z} = 4,4 \text{ m}$ → $\lambda_z = 87$
 - Resistenza all'instabilità $N_{b,Rd} = 1205 \text{ kN} > N_{ED}$ → $\Delta = 0,67$ verifica soddisfatta

 - Profilo: 2L140x140x13
 - Materiale: S355
 - Area (lorda) = 7 000 mm²
 - Sollecitazione assiale di compressione $N_{ED} = 342 \text{ kN}$ (DI-38 L=5200 mm)
 - Lunghezza $L_{0Y} = 0,8 \times 5,2 = 4,16 \text{ m}$ → $\lambda_Y = 97$
 - Lunghezza $L_{0Z} = 5,2 \text{ m}$ → $\lambda_z = 103$
 - Resistenza all'instabilità $N_{b,Rd} = 953 \text{ kN} > N_{ED}$ → $\Delta = 0,36$ verifica soddisfatta

I giunti di collegamento delle aste sono dimensionati a completo ripristino, pertanto risulta:

- Area netta = 6.272 mm^2
 - Resistenza di calcolo a trazione $N_{t,Rd} = 2.303 \text{ kN}$
 - Distanza minima dal bordo libero sulla piastra: $e_1 = 80 \text{ mm}$

APPALTATORE: <u>Consorzio</u> <u>Soci</u> HIRPINIA - ORSARA AV WEBUILD ITALIA PIZZAROTTI	ITINERARIO NAPOLI – BARI RADDOPPIO TRATTA APICE - ORSARA II LOTTO FUNZIONALE HIRPINIA - ORSARA
PROGETTAZIONE: <u>Mandataria</u> <u>Mandanti</u> ROCKSOIL S.P.A NET ENGINEERING PINI GCF ELETTRI-FER M-INGEGNERIA	
PROGETTO ESECUTIVO	COMMESSA LOTTO CODIFICA DOCUMENTO REV. IF3A 02 E ZZ CL VI0009 003 C FOGLIO 99 di 138

- Distanza minima dal bordo libero sul profilo: $e_1 = 60 \text{ mm}$
- Interasse dei bulloni: $p_1 = 100 \text{ mm}$

Trattandosi di un giunto indiretto realizzato con 8 bulloni si considera, a favore di sicurezza, la resistenza fornita da 7 bulloni M27 cl.10.9 in doppia sezione.

- Resistenza a taglio dei bulloni:
 $F_{V,Rd} = 2 \times 7 \times 220 = 3.080 \text{ kN} > N_{t,Rd}$ $\rightarrow \Delta = 0,75$ verifica soddisfatta
- Resistenza a rifollamento della piastra ($sp = 16\text{mm}$):
 $F_{b,Rd,p} = 414 \times 7 = 2.898 \text{ kN} > N_{t,Rd}$ $\rightarrow \Delta = 0,79$ verifica soddisfatta
- Resistenza a rifollamento dell'angolare:
 $F_{b,Rd,L} = 256 \times 7 \times 2 = 3.584 \text{ kN} > N_{t,Rd}$ $\rightarrow \Delta = 0,64$ verifica soddisfatta

APPALTATORE: <u>Consorzio</u> <u>Soci</u> HIRPINIA - ORSARA AV WEBUILD ITALIA PIZZAROTTI	ITINERARIO NAPOLI - BARI RADDOPPIO TRATTA APICE - ORSARA II LOTTO FUNZIONALE HIRPINIA - ORSARA
PROGETTAZIONE: <u>Mandataria</u> <u>Mandanti</u> ROCKSOIL S.P.A NET ENGINEERING PINI GCF ELETTRI-FER M-INGEGNERIA	
PROGETTO ESECUTIVO	COMMESA LOTTO CODIFICA DOCUMENTO REV. IF3A 02 E ZZ CL VI0009 003 C FOGLIO 100 di 138

10.5.4 TRAVERSI

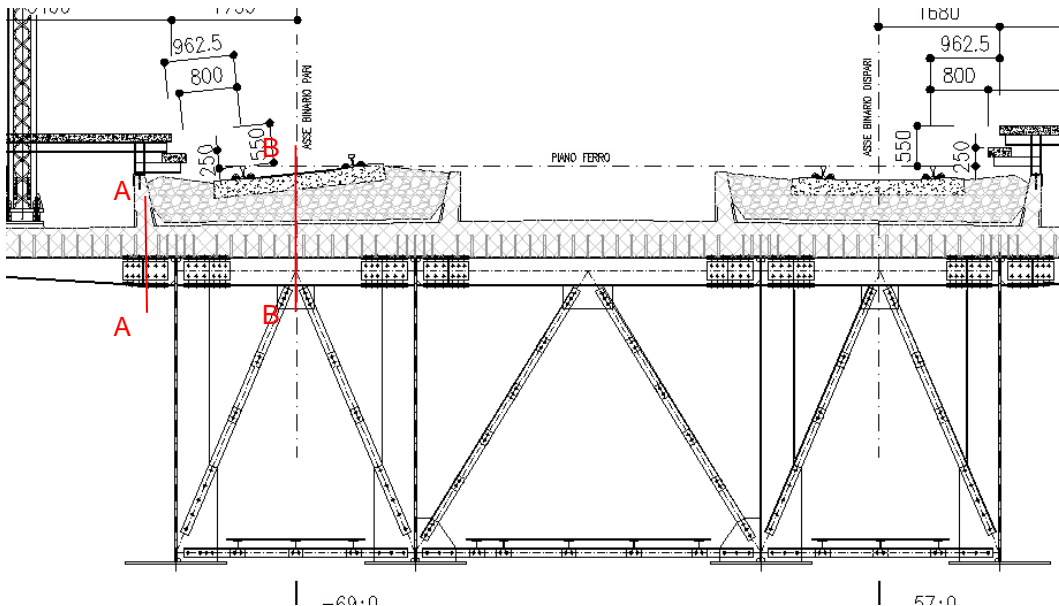


Fig. 89 - Sezione tipica impalcato

I traversi sono costituiti da un composto saldato a doppio T in acciaio S355 di altezza 400mm, piatabande 350x16 mm e anima di spessore 16mm. Il traverso è collegato alla soletta tramite piolatura.

Per la verifica del traverso si fa riferimento ad un modello FEM semplificato che rappresenta una parte dell'impalcato di lunghezza pari a 5 campi ($L = 5 \times 3,625 = 18$ m). Il modello è costituito da elementi beam che rappresentano i traversi ed elementi plate che rappresentano la soletta in calcestruzzo. I plate hanno lo spessore del getto di calcestruzzo (le lastre predalle non sono collaboranti in direzione trasversale all'impalcato) e sono collegati agli elementi beam (traversi) sottostanti tramite link rigidi. I traversi sono vincolati verticalmente in corrispondenza dell'anima delle travi principali. Tramite degli elementi link rigidi, è stato ricreato lo schema del diaframma trasversale in modo da rappresentare le aste diagonali e quindi il vincolo verticale fornito dai diaframmi ai traversi.

Si considerano 3 diversi modelli che rappresentano le 3 diverse fasi descritte al §10.1 ossia:

- Modello di Fase I, costituito dagli elementi beam in acciaio: in questo modello si applicano i pesi propri dell'acciaio e del calcestruzzo ai traversi come carichi uniformemente distribuiti;
- Modello di Fase II, costituito dagli elementi beam in acciaio e dagli elementi plate in calcestruzzo con modulo elastico E per carichi di lunga durata. In questa fase si applicano i carichi permanenti come carichi uniformemente distribuiti sugli elementi plate;
- Modello di Fase III, costituito dagli elementi beam in acciaio e dagli elementi plate in calcestruzzo con modulo elastico E per carichi di breve durata. In questa fase si applicano i sovraccarichi accidentali dovuti al transito dei treni come carichi uniformemente distribuiti sugli elementi plate. Si applica inoltre l'azione del vento, tramite degli elementi fissi posti a metà altezza della barriera e collegati rigidamente all'impalcato tramite link.

APPALTATORE: <u>Consorzio</u> <u>Soci</u> HIRPINIA - ORSARA AV WEBUILD ITALIA PIZZAROTTI	ITINERARIO NAPOLI - BARI RADDOPPIO TRATTA APICE - ORSARA II LOTTO FUNZIONALE HIRPINIA - ORSARA
PROGETTAZIONE: <u>Mandataria</u> <u>Mandanti</u> ROCKSOIL S.P.A NET ENGINEERING PINI GCF ELETTRI-FER M-INGEGNERIA	
PROGETTO ESECUTIVO	COMMESA IF3A LOTTO E ZZ CL CODIFICA V10009 003 DOCUMENTO REV. C FOGLIO 101 di 138

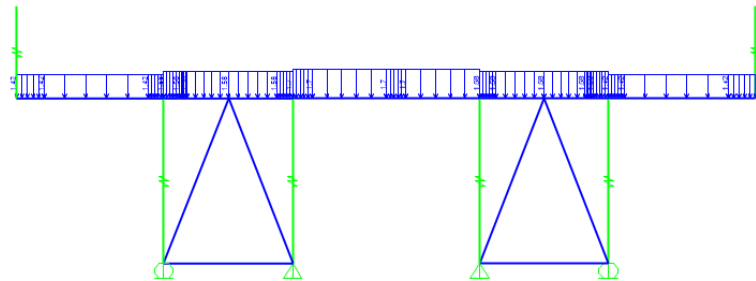


Fig. 90 – Modello Fase I (peso proprio della soletta applicato come carico uniformemente distribuito)

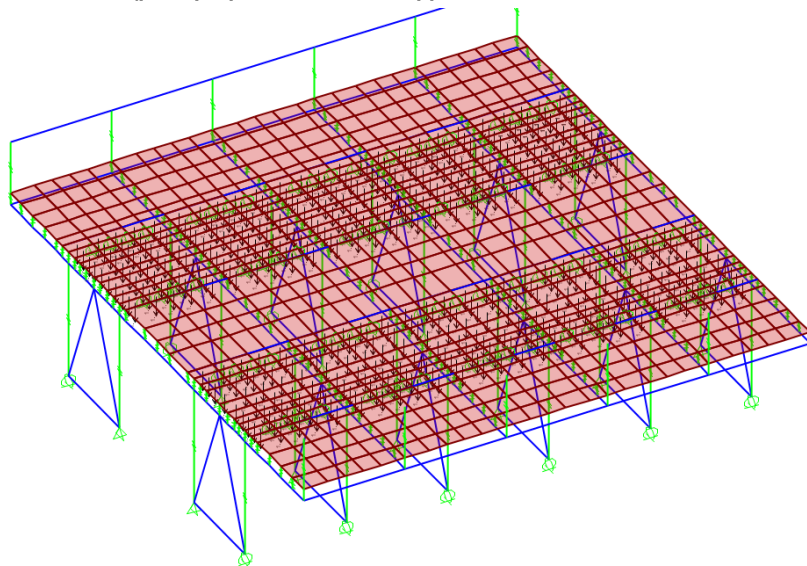


Fig. 91 – Modello Fase II (peso del ballast applicato come pressione uniforme sulla soletta)

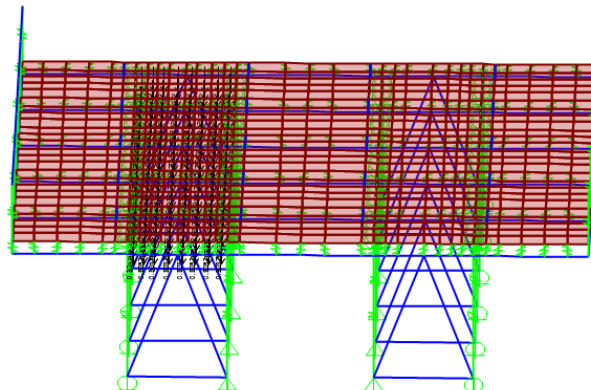


Fig. 92 – Modello Fase III (carico verticale del treno applicato come pressione uniforme su una larghezza pari a 4,3m)

APPALTATORE: <u>Consorzio</u> <u>Soci</u> HIRPINIA - ORSARA AV WEBUILD ITALIA PIZZAROTTI	ITINERARIO NAPOLI – BARI RADDOPPIO TRATTA APICE - ORSARA II LOTTO FUNZIONALE HIRPINIA - ORSARA
PROGETTAZIONE: <u>Mandataria</u> <u>Mandanti</u> ROCKSOIL S.P.A NET ENGINEERING PINI GCF ELETTRI-FER M-INGEGNERIA	
PROGETTO ESECUTIVO	COMMESA LOTTO CODIFICA DOCUMENTO REV. IF3A 02 E ZZ CL VI0009 003 C FOGLIO 102 di 138

Nella tabella seguente si riportano i parametri di sollecitazione nel traverso in corrispondenza delle sezioni A-A e B-B (Fig. 89).

Sezione A-A								
		N [kN]	M [kNm]	V [kN]	Coeff. SLU	N [kN]	M [kNm]	V [kN]
P.P. acciaio+cls	Fase I	0	-209	125	1,35	0	-282	169
Permanenti	Fase II	0	-57	29	1,5	0	-86	44
Folla	Fase III	0	-12	7	1,5	0	-17	-11
Vento	Fase III	-83	-6	0	1,5	-125	-10	0
Totale						-125	-395	202

Le tensioni nel profilo risultano:

$$\sigma_{\text{sup}} = -125 \times 1000 / 17.088 - 395 \times 10^6 / -2,4 \times 10^6 = +172 \text{ MPa} < f_y / 1,05 = 338 \text{ MPa} \rightarrow \Delta = 0,51$$

$$\sigma_{\text{inf}} = -125 \times 1000 / 17.088 - 395 \times 10^6 / 2,4 \times 10^6 = -157 \text{ MPa} < f_y / 1,05 = 338 \text{ MPa} \rightarrow \Delta = 0,46$$

$$\tau_{\text{max}} = 35 \text{ MPa} < 195 \text{ MPa} \rightarrow \Delta = 0,17$$

$$\sigma_{\text{id}} = 66 \text{ MPa} < f_y / 1,05 = 338 \text{ MPa} \rightarrow \Delta = 0,38$$

La verifica di resistenza del traverso risulta soddisfatta.

Sezione B-B								
		N [kN]	M [kNm]	V [kN]	Coeff. SLU	N [kN]	M [kNm]	V [kN]
P.P. acciaio+cls	Fase I	0	41	0	1,35	0	55	0
Permanenti	Fase II	-52	1	1	1,50	-78	2	0
Treno	Fase III	-17 (*)	2,4	10	1,45x2,0	-49	7	29
Serpeggiamento	Fase III	-20 (*)	1	0	1,45	-29	2	0
Totale						-156	66	29

(*) Le sollecitazioni assiali sono dovute all'effetto torcente del carico, pertanto sono ricavate dal modello FEM globale, determinando la quota parte di sollecitazione che interessa la sola area del traverso in acciaio (nel modello globale il beam che rappresenta il traverso ha una sezione mista acciaio-calcestruzzo)

Le tensioni nel profilo risultano:

$$\sigma_{\text{sup}} = -156 \times 1000 / 17.088 + 66 \times 10^6 / -2,4 \times 10^6 = -37 \text{ MPa} < f_y / 1,05 = 338 \text{ MPa} \rightarrow \Delta = 0,11$$

$$\sigma_{\text{inf}} = -156 \times 1000 / 17.088 + 66 \times 10^6 / 2,4 \times 10^6 = 18 \text{ MPa} < f_y / 1,05 = 338 \text{ MPa} \rightarrow \Delta = 0,05$$

$$\tau_{\text{max}} = 5 \text{ MPa} < 195 \text{ MPa} \rightarrow \Delta = 0,03$$

$$\sigma_{\text{id}} = 35 \text{ MPa} < f_y / 1,05 = 338 \text{ MPa} \rightarrow \Delta = 0,11$$

La verifica di resistenza del traverso risulta abbondantemente soddisfatta.

L'abbassamento massimo del traverso si calcola all'estremità della mensola per sole azioni accidentali e risulta pari a 0,4 mm, valore assolutamente trascurabile.

APPALTATORE: <u>Consorzio</u> <u>Soci</u> HIRPINIA - ORSARA AV WEBUILD ITALIA PIZZAROTTI	ITINERARIO NAPOLI – BARI RADDOPPIO TRATTA APICE - ORSARA II LOTTO FUNZIONALE HIRPINIA - ORSARA
PROGETTAZIONE: <u>Mandataria</u> <u>Mandanti</u> ROCKSOIL S.P.A NET ENGINEERING PINI GCF ELETTRI-FER M-INGEGNERIA	
PROGETTO ESECUTIVO	COMMESSA LOTTO CODIFICA DOCUMENTO REV. FOGLIO IF3A 02 E ZZ CL VI0009 003 C 103 di 138

10.5.4.1 VERIFICA DEL GIUNTO BULLONATO DEL TRAVERSO

La tensione massima calcolata nel profilo del traverso secondo la combinazione di carichi agli Stati Limite Ultimi risulta pari a circa il 50% della tensione limite di snervamento dell'acciaio.

A favore di sicurezza, si verifica il giunto bullonato di collegamento del traverso alle travi principali a completo ripristino di resistenza della sezione in acciaio.

Le caratteristiche geometriche del profilo sono:

- altezza $H = 400 \text{ mm}$
- larghezza piattabande (sup. e inf) $B = 350 \text{ mm}$
- spessore piattabande (sup e inf) $t = 16\text{mm}$
- spessore anima $t = 16 \text{ mm}$
- Area totale del profilo $A = 17088 \text{ mm}^2$
- Inerzia $J = 4,8 \times 108 \text{ mm}^4$

La sollecitazione massima nelle piattabande risulta:

$$N = (17088 - 368 \times 16) / 2 \times 355 / 1,05 = 1893 \text{ kN}$$

- Resistenza a taglio dei bulloni:
- $F_{V,Rd} = 2 \times 6 \times 174 = 2088 \text{ kN} > N = 1893 \rightarrow \Delta = 0,91$ verifica soddisfatta
- Resistenza a rifollamento del coprigiunto (sp.16mm):
 $F_{b,Rd,p} = 326 \times 6 \times 2 = 3912 \text{ kN} > N = 1893 \rightarrow \Delta = 0,48$ verifica soddisfatta
- Resistenza a rifollamento del profilo:
 $F_{b,Rd,p} = 326 \times 6 = 1956 \text{ kN} > N = 1893 \rightarrow \Delta = 0,97$ verifica soddisfatta

La sollecitazione massima nell'anima risulta:

$$N = (368 \times 16) \times 355 / 1,05 = 1990 \text{ kN}$$

- Resistenza a taglio dei bulloni:
- $F_{V,Rd} = 2 \times 6 \times 174 = 2088 \text{ kN} > N = 1990 \rightarrow \Delta = 0,95$ verifica soddisfatta
- Resistenza a rifollamento del coprigiunto (sp.16mm):
 $F_{b,Rd,p} = 245 \times 6 \times 2 = 2940 \text{ kN} > N = 1990 \rightarrow \Delta = 0,68$ verifica soddisfatta
- Resistenza a rifollamento del gruppo di bulloni nell'anima del profilo:
 $F_{b,Rd,p} = 2002 \text{ kN} > N = 1991 \rightarrow \Delta = 0,99$ verifica soddisfatta

APPALTATORE: <u>Consorzio</u> <u>Soci</u> HIRPINIA - ORSARA AV WEBUILD ITALIA PIZZAROTTI	ITINERARIO NAPOLI – BARI RADDOPPIO TRATTA APICE - ORSARA II LOTTO FUNZIONALE HIRPINIA - ORSARA
PROGETTAZIONE: <u>Mandataria</u> <u>Mandanti</u> ROCKSOIL S.P.A NET ENGINEERING PINI GCF ELETTRI-FER M-INGEGNERIA	
PROGETTO ESECUTIVO	COMMESSA IF3A LOTTO 02 CODIFICA E ZZ CL DOCUMENTO VI0009 003 REV. C FOGLIO 104 di 138

10.5.5 VERIFICA DEL DIAFRAMMA DI TESTA

Si verifica il diaframma di testa considerando la massima sollecitazione tagliante calcolata, che risulta pari a 3360 kN e si ottiene dalla combinazione di calcolo sismica.

La resistenza all'instabilità per taglio del pannello d'anima privo di irrigidimenti intermedi è definito dalla normativa come la somma di due termini: la resistenza dell'anima $V_{bw,Rd}$ ed il contributo fornito dalle piattabande $V_{bf,Rd}$, ossia:

$$V_{b,Rd} = V_{bw,Rd} + V_{bf,Rd} \leq \frac{\eta \cdot f_{yw} \cdot h_w \cdot t}{\sqrt{3} \cdot \gamma_{M1}}$$

Trascurando il contributo fornito dalle piattabande e trascurando la presenza degli irrigidimenti verticali e trasversali del pannello, la resistenza all'instabilità per taglio dell'anima risulta:

$$V_{bw,Rd} = \frac{\chi_w \cdot f_{yw} \cdot h_w \cdot t}{\sqrt{3} \cdot \gamma_{M1}} = \frac{0,80 \cdot 355 \cdot 2680 \cdot 30}{\sqrt{3} \cdot 1,1} = 11.967 \text{ kN} >> 3360 \text{ kN} \quad \rightarrow \Delta = 0,28 \text{ verifica soddisfatta}$$

Dove il parametro χ_w è definito dalla tabella C4.2.VII della normativa italiana (Fig. 93) ed è funzione di λ_w .

Tabella C4.2.VII Coefficienti χ_w per il calcolo della resistenza all'instabilità a taglio del pannello

Coefficiente di snellezza	Coefficiente χ_w per montanti d'appoggio rigidi	Coefficiente χ_w per gli altri casi
$\lambda_w < 0,83/\eta$	η	η
$(0,83/\eta) \leq \lambda_w < 1,08$	$0,83/\lambda_w$	$0,83/\lambda_w$
$\lambda_w \geq 1,08$	$1,37/(0,7 + \bar{\lambda}_w)$	$0,83/\lambda_w$

Fig. 93 - Tabella C4.2.VII del DM 2018

Nel caso in esame risulta:

$$\sigma_{cr} = \frac{\pi^2 \cdot E \cdot t^2}{12(1-\nu^2) \cdot h_w} = 190000 \left(\frac{t}{h_w} \right)^2 = 23,8 \text{ MPa}$$

$$k_\tau = 5,34 + 4,0 \cdot \left(\frac{h_w}{a} \right)^2 = 7,98 \text{ per } a / h_w < 1$$

$$\tau_{cr} = k_\tau \cdot \sigma_{cr} = 190 \text{ MPa}$$

$$\eta = 1,2$$

$$0,69 < \lambda_w = 0,76 \sqrt{\frac{f_{yw}}{\tau_{cr}}} = 1,04 < 1,08 \quad \rightarrow \chi_w = 0,83 / \lambda_w = 0,80$$

APPALTATORE: <u>Consorzio</u> <u>Soci</u> HIRPINIA - ORSARA AV WEBUILD ITALIA PIZZAROTTI	ITINERARIO NAPOLI – BARI RADDOPPIO TRATTA APICE - ORSARA II LOTTO FUNZIONALE HIRPINIA - ORSARA					
PROGETTAZIONE: <u>Mandataria</u> <u>Mandanti</u>						
ROCKSOIL S.P.A NET ENGINEERING PINI GCF ELETTRI-FER M-INGEGNERIA						
PROGETTO ESECUTIVO	COMMESSE IF3A	LOTTO 02	CODIFICA E ZZ CL	DOCUMENTO VI0009 003	REV. C	FOGLIO 105 di 138

10.6 VERIFICHE A FATICA

Le verifiche di resistenza a fatica sono effettuate con il metodo dei coefficienti λ come definito nel “Manuale di progettazione delle opere civili – parte II – sezione 2 – ponti e strutture”. Si riconduce pertanto la verifica a fatica ad una verifica convenzionale di resistenza, confrontando il delta convenzionale di tensione di progetto $\Delta\sigma_{Ed}$ con la classe del particolare $\Delta\sigma_c$.

La variazione di tensione convenzionale di calcolo $\Delta\sigma_{Ed}$ è definita come:

$$\Delta\sigma_{Ed} = \lambda \cdot \Phi_2 \cdot \Delta\sigma_{71}$$

dove:

- $\lambda = \lambda_1 \cdot \lambda_2 \cdot \lambda_3 \cdot \lambda_4$ è un fattore di correzione che tiene conto della lunghezza di influenza, del volume di traffico, della vita di progetto del ponte e della contemporaneità dei transiti
- $\Phi_2 = \frac{1,44}{\sqrt{L_\Phi} - 0,2} + 0,82 = 1,0$ è il coeff. di incremento dinamico del sovraccarico teorico (definito al §8.3)
- $\Delta\sigma_{71}$ è la differenza di tensione tra i valori estremi σ_{\max} e σ_{\min} dovuti al sovraccarico teorico di calcolo adottato per il ponte (LM71) nella posizione più sfavorevole. Trattandosi di doppio binario, i valori tensionali sono calcolati considerando ambedue i binari caricati con il modello LM71; la contemporaneità dei transiti è tenuta in considerazione tramite il coefficiente riduttivo λ_4 .

La verifica impone che:

$$\Delta\sigma_{Ed} \leq \frac{\Delta\sigma_c}{\gamma_{Mf}} \text{ e } \Delta\tau_{Ed} \leq \frac{\Delta\tau_c}{\gamma_{Mf}}$$

dove:

- $\Delta\sigma_c$ e $\Delta\tau_c$ rappresentano la resistenza a fatica corrispondente a 2×10^6 cicli da ricavare sulle curve SN corrispondenti al particolare strutturale in esame
- $\gamma_{Mf} = 1,35$ per i ponti ferroviari metallici, considerati opere “sensibili ai fenomeni di fatica”

Conseguenza della rottura per fatica		
	Moderate	Significative
Danneggiamento accettabile (strutture poco sensibili alla rottura per fatica)	$\gamma_{Mf}=1,00$	$\gamma_{Mf}=1,15$
Vita utile (strutture sensibili alla rottura per fatica)	$\gamma_{Mf}=1,15$	$\gamma_{Mf}=1,35$

Fig. 94 – Coefficienti parziali per verifiche a fatica

Il fattore di correzione si calcola come:

$$\lambda = \lambda_1 \cdot \lambda_2 \cdot \lambda_3 \cdot \lambda_4 \leq \lambda_{\max} = 1,4$$

In particolare:

λ_1 dipende dalla lunghezza di influenza dell'elemento.

APPALTATORE: <u>Consorzio</u> <u>Soci</u> HIRPINIA - ORSARA AV WEBUILD ITALIA PIZZAROTTI	ITINERARIO NAPOLI – BARI RADDOPPIO TRATTA APICE - ORSARA II LOTTO FUNZIONALE HIRPINIA - ORSARA
PROGETTAZIONE: <u>Mandataria</u> <u>Mandanti</u> ROCKSOIL S.P.A NET ENGINEERING PINI GCF ELETTRI-FER M-INGEGNERIA	
PROGETTO ESECUTIVO	COMMESSA 02 CODIFICA REV. IF3A E ZZ CL DOCUMENTO C FOGLIO 106 di 138

Per stati tensionali provenienti da sollecitazioni di flessione $L = 58 \text{ m}$ e quindi $\lambda_1 = 0,63$. Per stati tensionali provenienti da sollecitazioni taglienti, $L = 58 \text{ m}$ nelle sezioni di mezzeria ($\lambda_1 = 0,63$) ed $L = 0,4 \times 58\text{m} = 23\text{m}$ nelle sezioni in appoggio ($\lambda_1 = 0,66$).

λ_2 tiene conto del volume di traffico: si assume 25×10^6 tonnellate all'anno per ciascun binario

Traffico annuo [10^6 t/binario]	5	10	15	20	25	30	35	40	50
λ_2	0.72	0.83	0.90	0.96	1.00	1.04	1.07	1.10	1.15

Fig. 95 – Valori di λ_2 in termini di volume di traffico annuo

λ_3 tiene conto della vita di progetto del ponte (100 anni)

Vita utile a fatica [anni]	50	60	70	80	90	100	120
λ_3	0.87	0.90	0.93	0.96	0.98	1.00	1.04

Fig. 96 – Valori di λ_3 – vita utile a fatica

λ_4 tiene conto della contemporaneità dei convogli tramite il fattore $n = 0,33$ (corrisponde alla percentuale dei treni che si incrociano sul ponte) e si calcola come:

$$\lambda_4 = \sqrt[5]{n + (1-n) \cdot (a^5 + (1-a)^5)}$$

Dove a è il rapporto tra l'intervallo di tensione $\Delta\sigma_1$ ottenuto con il modello di carico su un solo binario e l'intervallo di tensione ottenuto con il modello di carico su due binari $\Delta\sigma_{1+2}$, calcolati nella medesima sezione.

Il fattore totale λ risulta pertanto pari a $\lambda_1 \times 1,0 \times 1,0 \times \lambda_4$.

APPALTATORE: <u>Consorzio</u> <u>Soci</u> HIRPINIA - ORSARA AV WEBUILD ITALIA PIZZAROTTI	ITINERARIO NAPOLI – BARI RADDOPPIO TRATTA APICE - ORSARA II LOTTO FUNZIONALE HIRPINIA - ORSARA
PROGETTAZIONE: <u>Mandataria</u> <u>Mandanti</u> ROCKSOIL S.P.A NET ENGINEERING PINI GCF ELETTRI-FER M-INGEGNERIA	
PROGETTO ESECUTIVO	COMMESSA LOTTO CODIFICA DOCUMENTO REV. IF3A 02 E ZZ CL VI0009 003 C FOGLIO 107 di 138

10.6.1 Dettaglio 56: attacco piatto di controvento superiore a cordone d'angolo

Classe del dettaglio	Dettaglio costruttivo	Descrizione	Requisiti
80 (a)		Attagchi saldati longitudinali 1) La classe del dettaglio dipende dalla lunghezza dell'attacco (a) $L \leq 50$ mm (b) $50 < L \leq 80$ mm (c) $80 < L \leq 100$ mm (d) $L > 100$ mm	Spessore dell'attacco minore della sua altezza. In caso contrario vedi dettagli 5 e 6
71 (b)			
63 (c)			
56 (d)			

Fig. 97 – Dettaglio 45 – attacchi trasversali (D.M.2018)

Si verifica il dettaglio 56 considerando la variazione di tensione in corrispondenza della saldatura del piatto di attacco dei controventi superiori all'anima delle travi.

- $\Delta\sigma_1 = 5.55$ MPa
- $\Delta\sigma_2 = 8.92$ MPa
- $\Delta\sigma_{1+2} = 14.47$ MPa
- $\lambda = \lambda_1 \cdot \lambda_2 \cdot \lambda_3 \cdot \lambda_4 = 0,63 \times 1,0 \times 1,0 \times 0,83 = 0,52$
- $\Phi_2 = \frac{1,44}{\sqrt{L_\Phi} - 0,2} + 0,82 = 1,01$
- $\Delta\sigma_{Ed} = 7,65$
- $k_s \cdot \frac{\Delta\sigma_C}{\gamma_{Mf}} = 33,3$
- $\Delta = 0,23$ → verifica soddisfatta

DETT.56: RIB - ANIMA SUP.											
FRAME	ratio	FRAME	ratio	FRAME	ratio	FRAME	ratio				
1	C01	0.00	23	C05	0.00	45	C05	0.00	67	C01	0.00
1	C01	0.00	23	C05	0.00	45	C05	0.00	67	C01	0.00
2	C01	0.00	24	C05	0.00	46	C05	0.00	68	C01	0.00
2	C01	0.01	24	C05	0.00	46	C05	0.00	68	C01	0.02
3	C02	0.01	25	C06	0.01	47	C06	0.01	69	C02	0.01
3	C02	0.04	25	C06	0.06	47	C06	0.06	69	C02	0.04
4	C03	0.05	26	C07	0.05	48	C07	0.05	70	C03	0.05
4	C03	0.08	26	C07	0.11	48	C07	0.11	70	C03	0.08
5	C03	0.08	27	C07	0.10	49	C07	0.10	71	C03	0.08
5	C03	0.11	27	C07	0.15	49	C07	0.15	71	C03	0.11
6	C03	0.11	28	C07	0.14	50	C07	0.14	72	C03	0.11
6	C03	0.14	28	C07	0.18	50	C07	0.18	72	C03	0.14
7	C03	0.13	29	C07	0.17	51	C07	0.18	73	C03	0.14
7	C03	0.15	29	C07	0.20	51	C07	0.20	73	C03	0.16
8	C03	0.15	30	C07	0.20	52	C07	0.20	74	C03	0.15
8	C03	0.16	30	C07	0.21	52	C07	0.21	74	C03	0.16
9	C04	0.17	31	C08	0.20	53	C08	0.20	75	C04	0.17
9	C04	0.18	31	C08	0.21	53	C08	0.21	75	C04	0.18
10	C04	0.18	32	C08	0.21	54	C08	0.21	76	C04	0.18
10	C04	0.19	32	C08	0.23	54	C08	0.22	76	C04	0.19
11	C04	0.19	33	C08	0.22	55	C08	0.22	77	C04	0.19
11	C04	0.19	33	C08	0.23	55	C08	0.23	77	C04	0.19
12	C04	0.19	34	C08	0.23	56	C08	0.23	78	C04	0.19
12	C04	0.19	34	C08	0.23	56	C08	0.23	78	C04	0.19
13	C04	0.19	35	C08	0.23	57	C08	0.23	79	C04	0.19
13	C04	0.18	35	C08	0.22	57	C08	0.22	79	C04	0.18
14	C04	0.18	36	C08	0.22	58	C08	0.22	80	C04	0.18
14	C04	0.17	36	C08	0.20	58	C08	0.20	80	C04	0.17
15	C03	0.16	37	C09	0.17	59	C09	0.17	81	C03	0.16
15	C03	0.15	37	C09	0.17	59	C09	0.17	81	C03	0.15
16	C03	0.15	38	C09	0.17	60	C09	0.17	82	C03	0.15
16	C03	0.13	38	C09	0.15	60	C09	0.15	82	C03	0.13
17	C03	0.13	39	C09	0.15	61	C09	0.15	83	C03	0.13
17	C03	0.11	39	C09	0.12	61	C09	0.12	83	C03	0.11
18	C03	0.11	40	C09	0.12	62	C09	0.12	84	C03	0.11
18	C03	0.08	40	C09	0.09	62	C09	0.09	84	C03	0.08
19	C03	0.08	41	C09	0.09	63	C09	0.09	85	C03	0.08
19	C03	0.04	41	C09	0.05	63	C09	0.05	85	C03	0.04
20	C02	0.04	42	C10	0.04	64	C10	0.04	86	C02	0.04
20	C02	0.00	42	C10	0.00	64	C10	0.00	86	C02	0.00
21	C01	0.01	43	C11	0.00	65	C11	0.00	87	C01	0.01
21	C01	0.00	43	C11	0.00	65	C11	0.00	87	C01	0.00
22	C01	0.00	44	C11	0.00	66	C11	0.00	88	C01	0.00
22	C01	0.00	44	C11	0.00	66	C11	0.00	88	C01	0.00

APPALTATORE: <u>Consorzio</u> <u>Soci</u> HIRPINIA - ORSARA AV WEBUILD ITALIA PIZZAROTTI	ITINERARIO NAPOLI – BARI RADDOPPIO TRATTA APICE - ORSARA II LOTTO FUNZIONALE HIRPINIA - ORSARA
PROGETTAZIONE: <u>Mandataria</u> <u>Mandanti</u> ROCKSOIL S.P.A NET ENGINEERING PINI GCF ELETTRI-FER M-INGEGNERIA	
PROGETTO ESECUTIVO	COMMESSA IF3A LOTTO 02 CODIFICA E ZZ CL DOCUMENTO VI0009 003 REV. C FOGLIO 109 di 138

10.6.2 Dettaglio 71: attacchi trasversali

80 (a) 71 (b)		<p>Attacchi trasversali</p> <p>6) Saldati a una piastra 7) Nervature verticali saldate a un profilo o a una trave composta 8) Diagrammi di travi a cassone composte, saldati all'anima o alla piattabanda</p> <p>(a) $\ell \leq 50$ mm (b) $50 < \ell \leq 80$ mm</p> <p>Le classi sono valide anche per nervature anulari</p>	<p>6) e 7) Le parti terminali delle saldature devono essere molate accuratamente per eliminare tutte le rientranze presenti 7) Se la nervatura termina nell'anima, $\Delta\sigma$ deve essere calcolato usando le tensioni principali</p>
------------------	--	---	--

Fig. 98 – Dettaglio 71 – attacchi trasversali (D.M.2018)

Si verifica il dettaglio 71 considerando la variazione di tensione in corrispondenza della saldatura tra stiffener e piattabanda (superiore e inferiore) delle travi principali-

Si riportano di seguito i calcoli relativi alla sezione maggiormente sollecitata.

- $\Delta\sigma_1 = 36.71$ MPa
- $\Delta\sigma_2 = 10.93$ MPa
- $\Delta\sigma_{1+2} = 47.64$ MPa
- $\lambda = \lambda_1 \cdot \lambda_2 \cdot \lambda_3 \cdot \lambda_4 = 0,63 \times 1,0 \times 1,0 \times 0,87 = 0,55$
- $\Phi_2 = \frac{1,44}{\sqrt{L_\Phi} - 0,2} + 0,82 = 1,01$
- $\Delta\sigma_{Ed} = 26,52$
- $k_s \cdot \frac{\Delta\sigma_c}{\gamma_{Mf}} = 46.76$
- $\Delta = 0,57$ \rightarrow verifica soddisfatta

DETT.71: STIFFENER - ANIMA INF.											
FRAME	ratio	FRAME	ratio	FRAME	ratio	FRAME	ratio				
1	C01	0.00	23	C05	0.00	45	C05	0.00	67	C01	0.00
1	C01	0.00	23	C05	0.00	45	C05	0.00	67	C01	0.00
2	C01	0.03	24	C05	0.00	46	C05	0.00	68	C01	0.02
2	C01	0.06	24	C05	0.00	46	C05	0.00	68	C01	0.06
3	C02	0.05	25	C06	0.32	47	C06	0.30	69	C02	0.06
3	C02	0.19	25	C06	0.27	47	C06	0.25	69	C02	0.19
4	C03	0.14	26	C07	0.19	48	C07	0.19	70	C03	0.14
4	C03	0.27	26	C07	0.27	48	C07	0.27	70	C03	0.27
5	C03	0.27	27	C07	0.26	49	C07	0.26	71	C03	0.27
5	C03	0.37	27	C07	0.36	49	C07	0.36	71	C03	0.38
6	C03	0.37	28	C07	0.35	50	C07	0.35	72	C03	0.38
6	C03	0.46	28	C07	0.43	50	C07	0.44	72	C03	0.47
7	C03	0.46	29	C07	0.43	51	C07	0.43	73	C03	0.47
7	C03	0.53	29	C07	0.49	51	C07	0.49	73	C03	0.55
8	C03	0.54	30	C07	0.49	52	C07	0.48	74	C03	0.55
8	C03	0.55	30	C07	0.50	52	C07	0.49	74	C03	0.56
9	C04	0.48	31	C08	0.43	53	C08	0.43	75	C04	0.50
9	C04	0.52	31	C08	0.47	53	C08	0.46	75	C04	0.53
10	C04	0.52	32	C08	0.46	54	C08	0.46	76	C04	0.54
10	C04	0.55	32	C08	0.49	54	C08	0.48	76	C04	0.57
11	C04	0.56	33	C08	0.48	55	C08	0.48	77	C04	0.57
11	C04	0.57	33	C08	0.49	55	C08	0.50	77	C04	0.57
12	C04	0.57	34	C08	0.49	56	C08	0.50	78	C04	0.57
12	C04	0.56	34	C08	0.48	56	C08	0.49	78	C04	0.56
13	C04	0.55	35	C08	0.49	57	C08	0.50	79	C04	0.55
13	C04	0.53	35	C08	0.47	57	C08	0.47	79	C04	0.53
14	C04	0.52	36	C08	0.48	58	C08	0.48	80	C04	0.53
14	C04	0.49	36	C08	0.45	58	C08	0.45	80	C04	0.49
15	C03	0.56	37	C09	0.51	59	C09	0.51	81	C03	0.56
15	C03	0.55	37	C09	0.50	59	C09	0.50	81	C03	0.55
16	C03	0.54	38	C09	0.50	60	C09	0.51	82	C03	0.55
16	C03	0.47	38	C09	0.44	60	C09	0.44	82	C03	0.48
17	C03	0.47	39	C09	0.45	61	C09	0.44	83	C03	0.48
17	C03	0.38	39	C09	0.37	61	C09	0.36	83	C03	0.40
18	C03	0.38	40	C09	0.37	62	C09	0.36	84	C03	0.40
18	C03	0.27	40	C09	0.27	62	C09	0.26	84	C03	0.28
19	C03	0.28	41	C09	0.27	63	C09	0.27	85	C03	0.28
19	C03	0.15	41	C09	0.15	63	C09	0.15	85	C03	0.15
20	C02	0.20	42	C10	0.20	64	C10	0.20	86	C02	0.20
20	C02	0.05	42	C10	0.06	64	C10	0.06	86	C02	0.06
21	C01	0.06	43	C11	0.00	65	C11	0.00	87	C01	0.07
21	C01	0.02	43	C11	0.00	65	C11	0.00	87	C01	0.02
22	C01	0.00	44	C11	0.00	66	C11	0.00	88	C01	0.00
22	C01	0.00	44	C11	0.00	66	C11	0.00	88	C01	0.00

APPALTATORE: <u>Consorzio</u> <u>Soci</u> HIRPINIA - ORSARA AV WEBUILD ITALIA PIZZAROTTI	ITINERARIO NAPOLI – BARI RADDOPPIO TRATTA APICE - ORSARA II LOTTO FUNZIONALE HIRPINIA - ORSARA
PROGETTAZIONE: <u>Mandataria</u> <u>Mandanti</u> ROCKSOIL S.P.A NET ENGINEERING PINI GCF ELETTRI-FER M-INGEGNERIA	
PROGETTO ESECUTIVO	COMMESA LOTTO CODIFICA DOCUMENTO REV. IF3A 02 E ZZ CL VI0009 003 C FOGLIO 111 di 138

10.6.3 Dettaglio 80: giunti trasversali a piena penetrazione

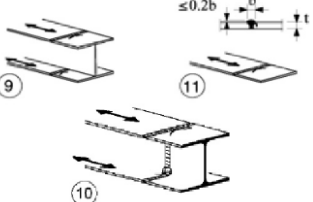
80		<p>Saldature senza piatto di sostegno 9) Giunti trasversali in travi com poste, in assenza di lunette di scarico 10) Giunti trasversali completi di profili laminati, in presenza di lunette di scarico 11) Giunti trasversali di lamiera, piatti, profilati e travi composte Per spessori $t > 25$ mm, si deve adottare una classe ridotta del coefficiente $k_s = (25/t)^{0,2}$</p>	<p>Saldature effettuate da entrambi i lati, non molate e sottoposte a controlli non distruttivi. Le saldature devono essere iniziate e terminate su tacchi d'estremità, da rimuovere una volta completata la saldatura I bordi esterni delle saldature devono essere molati in direzione degli sforzi Sovrapposizione di saldatura non maggiore del 20% della larghezza del cordone, per i dettagli 9) e 11), o del 10% per il dettaglio 10, con zone di transizione regolari</p>
----	---	---	--

Fig. 99 – Dettaglio 80 – giunti trasversali (D.M.2018)

Si verifica il dettaglio 80 considerando la variazione di tensione in corrispondenza della saldatura all'intradosso delle travi principali (filo inferiore della piattabanda inferiore).

Si riportano di seguito i calcoli relativi alla sezione maggiormente sollecitata.

- $\Delta\sigma_1 = 10.08 \text{ MPa}$
- $\Delta\sigma_2 = 39.19 \text{ MPa}$
- $\Delta\sigma_{1+2} = 49.27 \text{ MPa}$
- $\lambda = \lambda_1 \cdot \lambda_2 \cdot \lambda_3 \cdot \lambda_4 = 0,63 \times 1,0 \times 1,0 \times 0,89 = 0,56$
- $\Phi_2 = \frac{1,44}{\sqrt{L_\Phi} - 0,2} + 0,82 = 1,01$
- $\Delta\sigma_{Ed} = 27.75$
- $k_s \cdot \frac{\Delta\sigma_c}{\gamma_{Mf}} = 47.61$
- $\Delta = 0,58$ → verifica soddisfatta

APPALTATORE:	
Consorzio	Soci
HIRPINIA - ORSARA AV WEBUILD ITALIA PIZZAROTTI	
PROGETTAZIONE:	
Mandataria	Mandanti
ROCKSOIL S.P.A	NET ENGINEERING PINI GCF ELETTRI-FER M-INGEGNERIA
PROGETTO ESECUTIVO	

ITINERARIO NAPOLI – BARI

RADDOPPIO TRATTA APICE - ORSARA II LOTTO FUNZIONALE HIRPINIA - ORSARA

COMMESSE LOTTO CODIFICA DOCUMENTO REV. FOGLIO
IF3A 02 E ZZ CL VI0009 003 C 112 di 138

DETT.80: GIUNTO PIENA PENET. TRASV. INTRAD.								
FRAME	ratio	FRAME	ratio	FRAME	ratio	FRAME	ratio	
1	C01	0.00	23	C05	0.00	45	C05	0.00
1	C01	0.00	23	C05	0.00	45	C05	0.00
2	C01	0.02	24	C05	0.00	46	C05	0.00
2	C01	0.06	24	C05	0.00	46	C05	0.00
3	C02	0.05	25	C06	0.28	47	C06	0.33
3	C02	0.18	25	C06	0.26	47	C06	0.24
4	C03	0.14	26	C07	0.16	48	C07	0.21
4	C03	0.26	26	C07	0.26	48	C07	0.26
5	C03	0.26	27	C07	0.25	49	C07	0.25
5	C03	0.36	27	C07	0.35	49	C07	0.35
6	C03	0.36	28	C07	0.34	50	C07	0.34
6	C03	0.44	28	C07	0.42	50	C07	0.43
7	C03	0.45	29	C07	0.41	51	C07	0.41
7	C03	0.51	29	C07	0.48	51	C07	0.48
8	C03	0.52	30	C07	0.47	52	C07	0.47
8	C03	0.53	30	C07	0.48	52	C07	0.48
9	C04	0.48	31	C08	0.44	53	C08	0.43
9	C04	0.52	31	C08	0.47	53	C08	0.47
10	C04	0.52	32	C08	0.46	54	C08	0.46
10	C04	0.55	32	C08	0.49	54	C08	0.49
11	C04	0.56	33	C08	0.48	55	C08	0.49
11	C04	0.56	33	C08	0.49	55	C08	0.50
12	C04	0.56	34	C08	0.49	56	C08	0.50
12	C04	0.56	34	C08	0.49	56	C08	0.49
13	C04	0.55	35	C08	0.49	57	C08	0.51
13	C04	0.53	35	C08	0.47	57	C08	0.48
14	C04	0.52	36	C08	0.47	58	C08	0.49
14	C04	0.49	36	C08	0.45	58	C08	0.45
15	C03	0.54	37	C09	0.49	59	C09	0.50
15	C03	0.53	37	C09	0.48	59	C09	0.48
16	C03	0.52	38	C09	0.48	60	C09	0.49
16	C03	0.46	38	C09	0.43	60	C09	0.43
17	C03	0.45	39	C09	0.43	61	C09	0.43
17	C03	0.37	39	C09	0.35	61	C09	0.35
18	C03	0.37	40	C09	0.36	62	C09	0.35
18	C03	0.27	40	C09	0.26	62	C09	0.25
19	C03	0.27	41	C09	0.26	63	C09	0.26
19	C03	0.14	41	C09	0.15	63	C09	0.14
20	C02	0.19	42	C10	0.19	64	C10	0.19
20	C02	0.05	42	C10	0.06	64	C10	0.05
21	C01	0.06	43	C11	0.00	65	C11	0.00
21	C01	0.01	43	C11	0.00	65	C11	0.00
22	C01	0.00	44	C11	0.00	66	C11	0.00
22	C01	0.00	44	C11	0.00	66	C11	0.00

APPALTATORE: <u>Consorzio</u> <u>Soci</u> HIRPINIA - ORSARA AV WEBUILD ITALIA PIZZAROTTI	ITINERARIO NAPOLI – BARI RADDOPPIO TRATTA APICE - ORSARA II LOTTO FUNZIONALE HIRPINIA - ORSARA
PROGETTAZIONE: <u>Mandataria</u> <u>Mandanti</u> ROCKSOIL S.P.A NET ENGINEERING PINI GCF ELETTRI-FER M-INGEGNERIA	
PROGETTO ESECUTIVO	COMMESA LOTTO CODIFICA DOCUMENTO REV. IF3A 02 E ZZ CL VI0009 003 C FOGLIO 113 di 138

10.6.4 Dettaglio 80: saldature a cordoni d'angolo

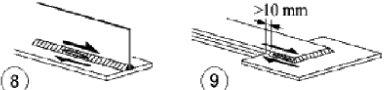
Classe del dettaglio	Dettaglio costruttivo	Descrizione	Requisiti
80		<p>8) Cordoni d'angolo continui soggetti a sforzi di sconnessione, quali quelli di composizione tra anima e piattabanda in travi composte saldate</p> <p>9) Giunzioni a sovrapposizione a cordoni d'angolo soggette a tensioni tangenziali</p>	<p>8) $\Delta\tau$ deve essere calcolato in riferimento alla sezione di gola del cordone</p> <p>9) $\Delta\tau$ deve essere calcolato in riferimento alla sezione di gola del cordone, considerando la lunghezza totale del cordone, che deve terminare a più di 10 mm dal bordo della piastra</p>

Fig. 100 – Dettaglio 80 – saldatura longitudinale anima-piattabanda (DM.2018)

Si verifica il dettaglio 80 considerando la variazione di tensione in corrispondenza del cordone di saldatura tra l'anima e le piattabande (superiore ed inferiore) delle travi principali.

Si riportano di seguito i calcoli relativi alla sezione maggiormente sollecitata.

- $\Delta\tau_1 = 18.14 \text{ MPa}$
- $\Delta\tau_2 = 0.34 \text{ MPa}$
- $\Delta\tau_{1+2} = 18.49 \text{ MPa}$
- $\lambda = \lambda_1 \cdot \lambda_2 \cdot \lambda_3 \cdot \lambda_4 = 0,63 \times 1,0 \times 1,0 \times 0,99 = 0,62$
- $\Phi_2 = \frac{1,44}{\sqrt{L_\Phi} - 0,2} + 0,82 = 1,01$
- $\Delta\sigma_{Ed} = 11.62$
- $k_s \cdot \frac{\Delta\tau_C}{\gamma_{Mf}} = 58.68$
- $\Delta = 0,2$ → verifica soddisfatta

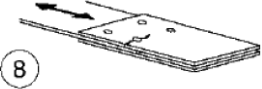
APPALTATORE: <u>Consorzio</u> <u>Soci</u> HIRPINIA - ORSARA AV WEBUILD ITALIA PIZZAROTTI	ITINERARIO NAPOLI - BARI
PROGETTAZIONE: <u>Mandataria</u> <u>Mandanti</u> ROCKSOIL S.P.A NET ENGINEERING PINI GCF ELETTRI-FER M-INGEGNERIA	RADDOPPIO TRATTA APICE - ORSARA II LOTTO FUNZIONALE HIRPINIA - ORSARA
PROGETTO ESECUTIVO	COMMESSE IF3A LOTTO 02 CODIFICA E ZZ CL DOCUMENTO VI0009 003 REV. C FOGLIO 114 di 138

DETT.80: PTB SUP		DETT.80: PTB SUP		DETT.80: PTB SUP		DETT.80: PTB SUP	
FRAME	ratio	FRAME	ratio	FRAME	ratio	FRAME	ratio
1	C01	0.00	23	C05	0.00	45	C05
1	C01	0.00	23	C05	0.00	45	C05
2	C01	0.19	24	C05	0.00	46	C05
2	C01	0.19	24	C05	0.00	46	C05
3	C02	0.15	25	C06	0.16	47	C06
3	C02	0.15	25	C06	0.16	47	C06
4	C03	0.11	26	C07	0.10	48	C07
4	C03	0.11	26	C07	0.10	48	C07
5	C03	0.10	27	C07	0.09	49	C07
5	C03	0.10	27	C07	0.09	49	C07
6	C03	0.09	28	C07	0.08	50	C07
6	C03	0.09	28	C07	0.08	50	C07
7	C03	0.08	29	C07	0.07	51	C07
7	C03	0.08	29	C07	0.07	51	C07
8	C03	0.07	30	C07	0.06	52	C07
8	C03	0.07	30	C07	0.06	52	C07
9	C04	0.08	31	C08	0.07	53	C08
9	C04	0.08	31	C08	0.07	53	C08
10	C04	0.07	32	C08	0.06	54	C08
10	C04	0.07	32	C08	0.06	54	C08
11	C04	0.06	33	C08	0.05	55	C08
11	C04	0.06	33	C08	0.05	55	C08
12	C04	0.06	34	C08	0.05	56	C08
12	C04	0.06	34	C08	0.05	56	C08
13	C04	0.07	35	C08	0.06	57	C08
13	C04	0.07	35	C08	0.06	57	C08
14	C04	0.08	36	C08	0.07	58	C08
14	C04	0.08	36	C08	0.07	58	C08
15	C03	0.06	37	C09	0.06	59	C09
15	C03	0.06	37	C09	0.06	59	C09
16	C03	0.08	38	C09	0.07	60	C09
16	C03	0.08	38	C09	0.07	60	C09
17	C03	0.09	39	C09	0.08	61	C09
17	C03	0.09	39	C09	0.08	61	C09
18	C03	0.10	40	C09	0.09	62	C09
18	C03	0.10	40	C09	0.09	62	C09
19	C03	0.11	41	C09	0.10	63	C09
19	C03	0.11	41	C09	0.10	63	C09
20	C02	0.16	42	C10	0.14	64	C10
20	C02	0.16	42	C10	0.14	64	C10
21	C01	0.20	43	C11	0.00	65	C11
21	C01	0.20	43	C11	0.00	65	C11
22	C01	0.00	44	C11	0.00	66	C11
22	C01	0.00	44	C11	0.00	66	C11

APPALTATORE: <u>Consorzio</u> <u>Soci</u> HIRPINIA - ORSARA AV WEBUILD ITALIA PIZZAROTTI	ITINERARIO NAPOLI – BARI RADDOPPIO TRATTA APICE - ORSARA II LOTTO FUNZIONALE HIRPINIA - ORSARA
PROGETTAZIONE: <u>Mandataria</u> <u>Mandanti</u> ROCKSOIL S.P.A NET ENGINEERING PINI GCF ELETTRI-FER M-INGEGNERIA	
PROGETTO ESECUTIVO	COMMESA LOTTO CODIFICA DOCUMENTO REV. IF3A 02 E ZZ CL VI0009 003 C FOGLIO 115 di 138

10.6.5 Dettaglio 112: giunti bullonati

Si verifica il dettaglio 112 considerando la variazione di tensione assiale presente nelle aste che costituiscono i diaframmi.

Classe del dettaglio	Dettaglio costruttivo	Descrizione	Requisiti
112		8) Giunti bullonati con coprigiunti doppi e bulloni AR precaricati o bulloni precaricati iniettati	$\Delta\sigma$ riferiti alla sezione linda

Nelle tabelle seguente si riassumono i risultati per tutti i beam del modello, nelle sezioni iniziali e finali di ciascun elemento beam. Si riportano di seguito i calcoli relativi alla sezione maggiormente sollecitata.

- $\Delta N_1 = 143 \text{ kN}$
- $\Delta N_2 = 162 \text{ kN}$
- $\Delta \sigma_1 = 31 \text{ MPa}$
- $\Delta \sigma_2 = 35 \text{ MPa}$
- $\Delta \sigma_{l+2} = 66 \text{ MPa}$
- $\lambda = \lambda_1 \cdot \lambda_2 \cdot \lambda_3 \cdot \lambda_4 = 0,63 \times 1,0 \times 1,0 \times 0,82 = 0,52$
- $\Phi_2 = \frac{1,44}{\sqrt{L_\Phi} - 0,2} + 0,82 = 1,01$
- $\Delta \sigma_{Ed} = 34,37$
- $k_s \cdot \frac{\Delta \sigma_C}{\gamma_{Mf}} = 83$
- $\Delta = 0,41$ → verifica soddisfatta

APPALTATORE: <u>Consorzio</u> <u>Soci</u> HIRPINIA - ORSARA AV WEBUILD ITALIA PIZZAROTTI	ITINERARIO NAPOLI – BARI RADDOPPIO TRATTA APICE - ORSARA II LOTTO FUNZIONALE HIRPINIA - ORSARA
PROGETTAZIONE: <u>Mandataria</u> <u>Mandanti</u> ROCKSOIL S.P.A NET ENGINEERING PINI GCF ELETTRI-FER M-INGEGNERIA	
PROGETTO ESECUTIVO	COMMESA LOTTO CODIFICA DOCUMENTO REV. IF3A 02 E ZZ CL VI0009 003 C FOGLIO 116 di 138

DETT.112: GIUNTO BULLONATO					
ASTA ORIZZONTALE INFERIORE INTERNE AI CASSONI					
FRAME	ratio	FRAME	ratio	FRAME	ratio
DI-1	2 L 120 x 10	0.36	DI-57	2 L 120 x 10	0.23
DI-3	2 L 120 x 10	0.40	DI-59	2 L 120 x 10	0.22
DI-5	2 L 120 x 10	0.37	DI-61	2 L 120 x 10	0.24
DI-7	2 L 120 x 10	0.34	DI-63	2 L 120 x 10	0.00
DI-9	2 L 120 x 10	0.27	DI-65	2 L 120 x 10	0.40
DI-11	2 L 120 x 10	0.23	DI-67	2 L 120 x 10	0.20
DI-13	2 L 120 x 10	0.18			
DI-15	2 L 120 x 10	0.19			
DI-17	2 L 120 x 10	0.19			
DI-19	2 L 120 x 10	0.26			
DI-21	2 L 120 x 10	0.27			
DI-23	2 L 120 x 10	0.33			
DI-25	2 L 120 x 10	0.33			
DI-27	2 L 120 x 10	0.34			
DI-29	2 L 120 x 10	0.30			
DI-39	2 L 120 x 10	0.31			
DI-41	2 L 120 x 10	0.41			
DI-43	2 L 120 x 10	0.37			
DI-45	2 L 120 x 10	0.34			
DI-47	2 L 120 x 10	0.28			
DI-49	2 L 120 x 10	0.22			
DI-51	2 L 120 x 10	0.00			
DI-53	2 L 120 x 10	0.23			
DI-55	2 L 120 x 10	0.19			

APPALTATORE: <u>Consorzio</u> <u>Soci</u> HIRPINIA - ORSARA AV WEBUILD ITALIA PIZZAROTTI	ITINERARIO NAPOLI – BARI RADDOPPIO TRATTA APICE - ORSARA II LOTTO FUNZIONALE HIRPINIA - ORSARA
PROGETTAZIONE: <u>Mandataria</u> <u>Mandanti</u> ROCKSOIL S.P.A NET ENGINEERING PINI GCF ELETTRI-FER M-INGEGNERIA	
PROGETTO ESECUTIVO	COMMESA LOTTO CODIFICA DOCUMENTO REV. IF3A 02 E ZZ CL VI0009 003 C FOGLIO 117 di 138

10.6.6 Verifica di resistenza a fatica nei traversi

Con riferimento ai parametri di sollecitazione riportati al § 10.5.4 relativamente alla sezione B-B in, la variazione di tensione nel profilo dovuta al solo transito del treno risulta pari a $\phi \Delta\sigma = 1,43 \times 2,0 = 3,0 \text{ MPa}$.

$$\Delta\sigma_{\text{sup}} = -17 \times 1000 / 17.088 + 2.4 \times 10^6 / -2,4 \times 10^6 = -2,0 \text{ MPa}$$

$$\Delta\sigma_{\text{inf}} = -17 \times 1000 / 17.088 + 2.4 \times 10^6 / 2,4 \times 10^6 = -0,0 \text{ MPa}$$

Tale valore risulta inferiore al $\Delta\sigma_L$ calcolato per il dettaglio più gravoso previsto dalla normativa, ossia

$$\Delta\sigma_L = 0,549 \quad \Delta\sigma_D = 0,549 \times 0,737 \quad \Delta\sigma_C = 15 \text{ MPa} \quad (\text{per } \Delta\sigma_C = 36 \text{ MPa})$$

Pertanto la verifica risulta implicitamente soddisfatta.

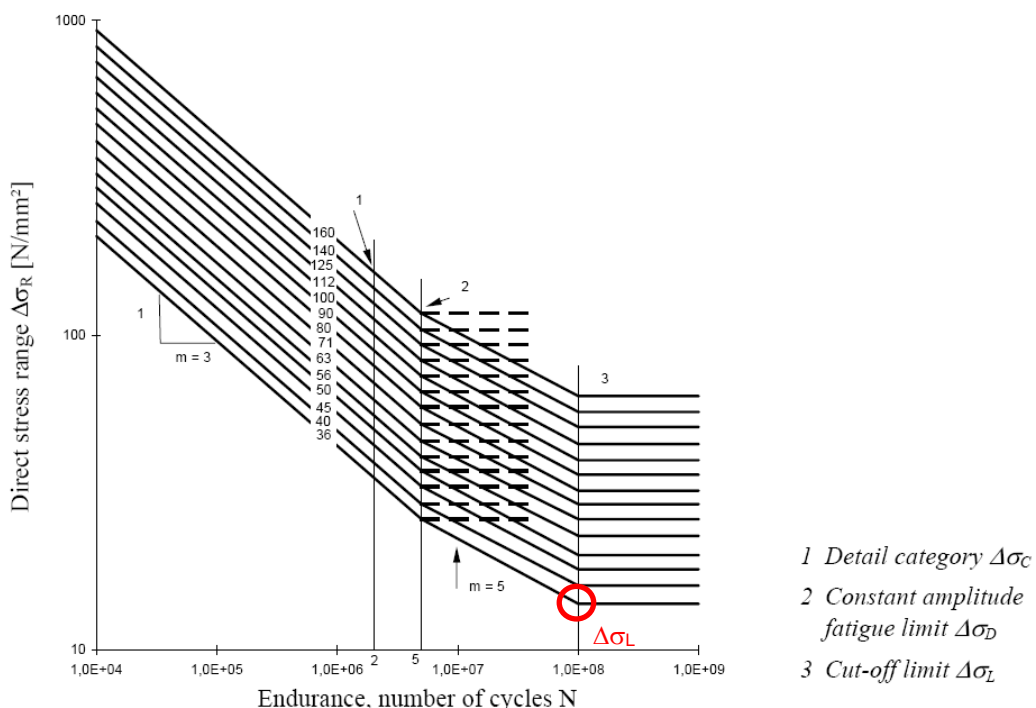


Figure 7.1: Fatigue strength curves for direct stress ranges

Fig. 101 – Curve di fatica N - Δσ

APPALTATORE: <u>Consorzio</u> <u>Soci</u> HIRPINIA - ORSARA AV WEBUILD ITALIA PIZZAROTTI	ITINERARIO NAPOLI - BARI RADDOPPIO TRATTA APICE - ORSARA II LOTTO FUNZIONALE HIRPINIA - ORSARA
PROGETTAZIONE: <u>Mandataria</u> <u>Mandanti</u> ROCKSOIL S.P.A NET ENGINEERING PINI GCF ELETTRI-FER M-INGEGNERIA	
PROGETTO ESECUTIVO	COMMESA LOTTO CODIFICA DOCUMENTO REV. FOGLIO IF3A 02 E ZZ CL VI0009 003 C 118 di 138

10.7 VERIFICHE DI DEFORMABILITÀ DELL'IMPALCATO

10.7.1 Stato limite di esercizio per la sicurezza del traffico ferroviario

Il manuale di progettazione delle opere civili "RFI DTC SI PS MA IFS 001 E" prescrive al §2.5.1.8.3.2.2. "Requisiti concernenti le deformazioni e le vibrazioni" prescrive una limitazione alla deformazione verticale dell'impalcato tra gli stati limite di servizio per la sicurezza del traffico ferroviario.

Il valore massimo di deformazione verticale ammesso è calcolato come $L/600$ e risulta pari a $58000/600 = 97$ mm.

La freccia massima calcolata con i modelli di carico LM71 e SW2 (incrementati con il coefficiente dinamico e con il coefficiente di adattamento α) è di 30 mm (< 97 mm). La verifica è pertanto soddisfatta.

10.7.2 Stato limite per il comfort dei passeggeri

La normativa ferroviaria limita i valori della freccia verticale per i ponti in funzione della luce e del numero delle campate consecutive, dello schema statico del ponte e della velocità di percorrenza del convoglio.

Nel caso in esame si tratta di un ponte di luce 58m con velocità di progetto 200 km/h, per cui il limite L/δ risulta di 1200 dal grafico di Fig. 102. La freccia limite pertanto risulta di $58000/1200 = 48$ mm.

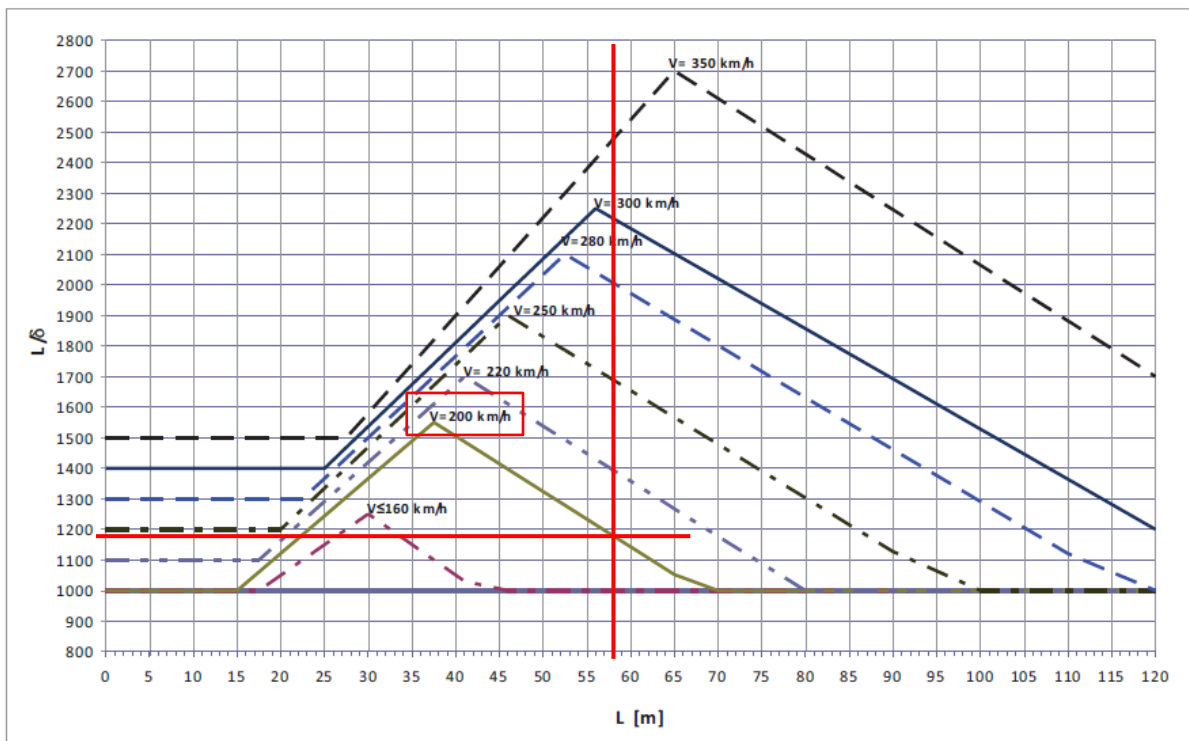


Fig. 102 – Valori del limite di deformabilità L/d per il comfort dei passeggeri
(estratto dal manuale di progettazione delle opere civili)

La deformazione del ponte ottenuta dal modello FEM considerando il modello di carico LM71 (con il relativo incremento dinamico e coefficiente di adattamento α) risulta di 22 mm ossia inferiore al limite previsto da normativa (48 mm). La verifica è pertanto soddisfatta.

10.7.3 Inflessione nel piano orizzontale dell'impalcato

Considerando la presenza del treno di carico LM 71, incrementato con il corrispondente coefficiente dinamico ($\phi = 1,02$) e con il coefficiente α , l'azione del vento, la forza laterale (serpeggio), la forza centrifuga e gli effetti della variazione di temperatura, l'inflessione totale nel piano orizzontale dell'impalcato risulta pari a 5,1 mm.

Considerata la velocità massima di progetto pari a 200km/h, i limiti previsti dal Manuale RFI per l'inflessione nel piano orizzontale dell'impalcato sono:

- variazione angolare massima pari a 0,0020 rad
 - raggio di curvatura orizzontale minimo pari a 6000m (per ponti a singola travata).

Tab. 5.2.VIII - Massima variazione angolare e minimo raggio di curvatura

Velocità [km/h]	Variazione Angolare massima	Raggio minimo di curvatura	
		Singola campata	Più campate
V ≤ 120	0,0035 rd	1700 m	3500 m
120 < V ≤ 200	0,0020 rd	6000 m	9500 m
200 < V	0,0015 rd	14000 m	17500 m

Fig. 103 – Valori del limite di inflessione nel piano orizzontale dell’impalcato (Manuale RFI)

Il massimo spostamento orizzontale risulta:

$$\delta_{\max} = \frac{L^2}{8 \cdot R} = \frac{58^2}{8 \cdot 6000} = 0,070 \text{ m} = 70 \text{ mm} > 5,1 \text{ mm}$$

Pertanto per $\delta = 5,1$ mm, risulta:

$$R = 82.450 \text{ m}$$

$$1/R = 0.000012 \ll 0.002 \text{ rad}$$

L'inflessione orizzontale risulta pertanto inferiore ai limiti previsti dal Manuale RFI per impalcati ferroviari.

10.7.4 Deformazioni torsionali dell'impalcato

La torsione dell'impalcato del ponte è calcolata considerando il treno di carico LM71 incrementato con il corrispondente coefficiente dinamico ($\phi = 1,02$) e con il coefficiente α . Il massimo sghembo, misurato su una lunghezza di 3m e considerando le rotaie solidali all'impalcato, non deve eccedere il valore di 3mm / 3m, per strutture con velocità di progetto pari o inferiore a 200km/h.

Nel modello FEM si applicano 8 forze concentrate pari a $250/2 = 125$ kN ciascuna ad una distanza di 1,6m in direzione longitudinale e di 1,435 m in direzione trasversale (corrispondente allo scartamento delle rotaie), centrate rispetto all'asse binario.

APPALTATORE: <u>Consorzio</u> <u>Soci</u> HIRPINIA - ORSARA AV WEBUILD ITALIA PIZZAROTTI	ITINERARIO NAPOLI - BARI RADDOPPIO TRATTA APICE - ORSARA II LOTTO FUNZIONALE HIRPINIA - ORSARA
PROGETTAZIONE: <u>Mandataria</u> <u>Mandanti</u> ROCKSOIL S.P.A NET ENGINEERING PINI GCF ELETTRI-FER M-INGEGNERIA	
PROGETTO ESECUTIVO	COMMESA IF3A LOTTO 02 CODIFICA E ZZ CL DOCUMENTO VI0009 003 REV. C FOGLIO 120 di 138

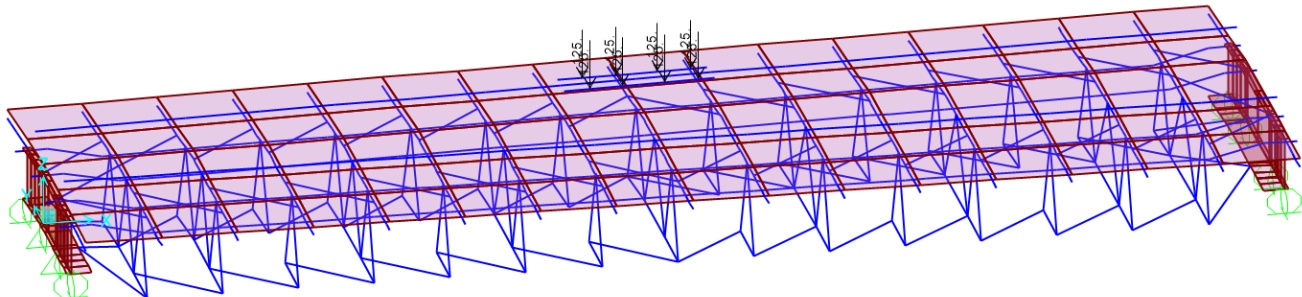


Fig. 104 – Modello FEM: carichi concentrati del treno LM71 - sghembo

Si calcola l'abbassamento differenziale dell'impalcato approssimando i nodi della maglia prevista dal Manuale Rfi (3m x s) con i nodi della mesh del modello FEM. Si considerano pertanto i quattro nodi di intersezione tra due traversi consecutivi (aventi passo 3,165m ≈ 3m) e le travi principali di impalcato (con interasse pari a 3,3m, pari a circa il doppio dello scartamento s). Gli abbassamenti calcolati risultano:

	Nodo A	Nodo B	Nodo C	Nodo D
Abbassamento [mm]	6,2	6,5	5,2	4,20

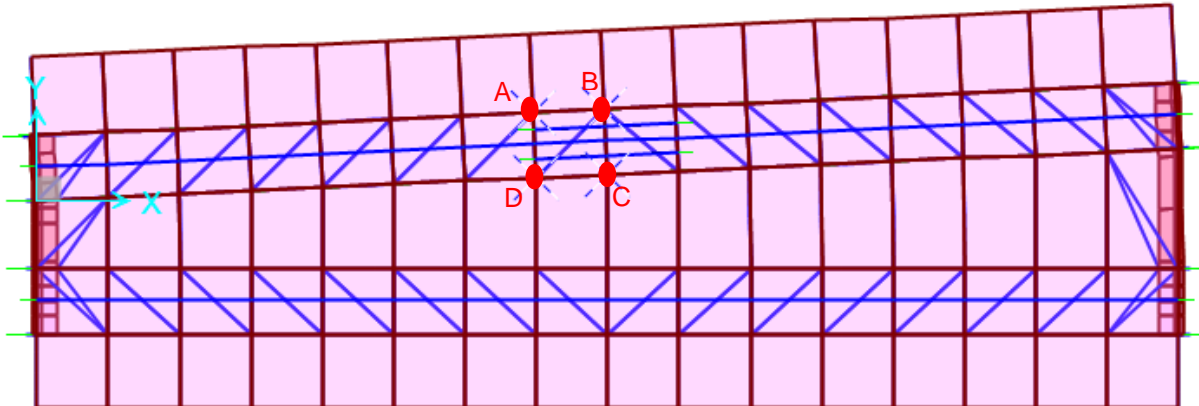


Fig. 105 – Modello FEM: nodi di riferimento nel calcolo dello sghembo

Pur considerando una maglia di dimensioni maggiori rispetto a quella prevista dal Manuale RFI, l'abbassamento differenziale tra i nodi risulta pari a $(6,5-4,2) = 1,5$ mm e pertanto lo sghembo risulta implicitamente inferiore al limite di 3mm. La verifica a deformazione torsionale dell'impalcato risulta soddisfatta.

APPALTATORE: <u>Consorzio</u> <u>Soci</u> HIRPINIA - ORSARA AV WEBUILD ITALIA PIZZAROTTI	ITINERARIO NAPOLI – BARI RADDOPPIO TRATTA APICE - ORSARA II LOTTO FUNZIONALE HIRPINIA - ORSARA
PROGETTAZIONE: <u>Mandataria</u> <u>Mandanti</u> ROCKSOIL S.P.A NET ENGINEERING PINI GCF ELETTRI-FER M-INGEGNERIA	
PROGETTO ESECUTIVO	COMMESA LOTTO CODIFICA DOCUMENTO REV. IF3A 02 E ZZ CL VI0009 003 C FOGLIO 121 di 138

10.8 CONTROFRECCIA DI MONTAGGIO

Si prevede opportuna controfreccia di costruzione come definita da normativa, al fine di contrastare le deformazioni elastiche dovute ai seguenti carichi:

- peso proprio della struttura metallica e della soletta (f_p);
- peso delle opere di finitura (f_f);
- effetti del ritiro e della viscosità (f_r);
- carichi verticali da traffico (f_s)

La controfreccia risulta quindi:

$$C_f = f_p + f_f + f_r + 0,25 \times \Phi \times f_s = 93 + 38 + 10 + 0,25 \times 1,02 \times 30 = 146$$

Si impone una controfreccia di montaggio pari a 150 mm.

10.9 VERIFICHE IN FASE DI SOSTITUZIONE DEGLI APPARECCHI D'APPOGGIO

Per la sostituzione degli apparecchi d'appoggio sono previsti 8 punti di sollevamento: si dispongono due martinetti in corrispondenza di ciascuna anima del cassone.

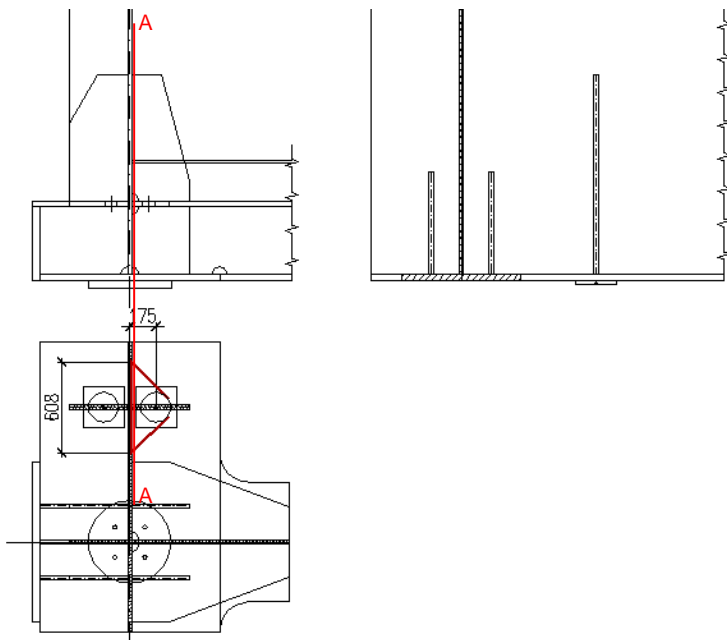


Fig. 106 – Sollevamento per sostituzione apparecchi d'appoggio

In questa fase, il ponte è soggetto solamente ai pesi propri ed ai sovraccarichi permanenti portati.

I martinetti devono essere posizionati sotto le quattro anime del cassone, in corrispondenza degli appositi alloggi. L'azione esercitata dal martinetto viene trasferita all'anima della trave tramite la saldatura verticale del piatto di irrigidimento verticale. Come si evince dalle reazioni vincolari riportate al §10.10, la forza massima che deve esercitare il martinetto per il sollevamento è pari a 4890 kN.

Le sollecitazioni agenti in corrispondenza della sezione A-A di Fig. 106 sono:

- Taglio V = $4890 \times 1,5 / 2 = 3668$ kN (SLU)
- Momento flettente M = $4890 \times 1,5 / 2 \times 0,175 = 642$ kNm (SLU)

La verifica della nervatura di irrigidimento risulta:

- sp. piatto = 30mm
 - altezza piatto = 1335 mm
 - larghezza piattabanda inferiore = 610 mm
 - sp. piattabanda inferiore = 40 mm
 - Inerzia $J = 1,38 \times 10^{10} \text{ mm}^4$
 - Modulo $W_{\text{sup}} = 1,66 \times 10^7 \text{ mm}^4$
 - Modulo $W_{\text{inf}} = 2,52 \times 10^7 \text{ mm}^4$
 - Tensione massima $\sigma_{\text{sup}} = M / W = 39 \text{ MPa}$
 - tensione tangenziale $\tau = 3668 \times 1000 / (1335 \times 30) = 92 \text{ MPa}$
 - tensione ideale $\sigma_{\text{id}} = (39^2 + 3 \times 92^2)^{0.5} = 163 < 355 / 1,05 = 338 \text{ MPa}$ → $\Delta = 0,48$ - verificato

Si verifica la saldatura a cordone d'angolo di collegamento della nervatura verticale all'anima della trave:

- sp. piatto = 30mm
 - lato di un cordone di saldatura = $0,7 \times 26 = 18$ mm
 - gola della saldatura = 13 mm
 - altezza saldatura = 1335 mm
 - Inerzia $J = 1,19 \times 10^{10}$ mm⁴
 - Modulo $W_{\text{sup}} = 1,24 \times 10^7$ mm⁴
 - Modulo $W_{\text{inf}} = 2,81 \times 10^7$ mm⁴
 - Tensione nella saldatura (estremo superiore) $n_{\text{sup}\perp} = M / W = 52$ MPa
 - tensione tangenziale $t_{\parallel} = 3668 \times 1000 / (1335 \times 13 \times 2) = 107$ MPa
 - tensione totale = $(52^2 + 107^2)^{0.5} = 119 < 0,7 \times 355 = 249$ MPa $\rightarrow \Delta = 0,48$ - verificato

APPALTATORE: <u>Consorzio</u> <u>Soci</u> HIRPINIA - ORSARA AV WEBUILD ITALIA PIZZAROTTI	ITINERARIO NAPOLI - BARI RADDOPPIO TRATTA APICE - ORSARA II LOTTO FUNZIONALE HIRPINIA - ORSARA
PROGETTAZIONE: <u>Mandataria</u> <u>Mandanti</u> ROCKSOIL S.P.A NET ENGINEERING PINI GCF ELETTRI-FER M-INGEGNERIA	
PROGETTO ESECUTIVO	COMMESA LOTTO CODIFICA DOCUMENTO REV. FOGLIO IF3A 02 E ZZ CL VI0009 003 C 123 di 138

10.10 REAZIONI VINCOLARI

La tabella seguente riassume le reazioni vincolari per le principali condizioni di carico.

REAZIONI VINCOLARI	Gia	Gic	G2-tot	Q13-RIT	Q1a_LM71 max	Q1a_LM71 min	Q1b_LM71 max	Q1b_LM71 min	Q2a_SW2 max	Q2a_SW2 min	Q2b_SW2 max	Q2b_SW2 min	Q3a_LM71	Qda_SW2	Qdb_LM71	Qdbs_SW2	Q9_U	Q10_grad	q14_v1	q15_v1	q16_v1	q14_v2	q15_v2	q16_v2	q17_max	q18_max	q19_max	q20_max	q21_max	q22_max	q23_max	q24_max	q25_max	q26_max	q27_max	q28_max	q29_max	q30_max	q31_max	q32_max	q33_max	q34_max	q35_max	q36_max	q37_max	q38_max	q39_max	q40_max	q41_max	q42_max	q43_max	q44_max	q45_max	q46_max	q47_max	q48_max	q49_max	q50_max	q51_max	q52_max	q53_max	q54_max	q55_max	q56_max	q57_max	q58_max	q59_max	q60_max	q61_max	q62_max	q63_max	q64_max	q65_max	q66_max	q67_max	q68_max	q69_max	q70_max	q71_max	q72_max	q73_max	q74_max	q75_max	q76_max	q77_max	q78_max	q79_max	q80_max	q81_max	q82_max	q83_max	q84_max	q85_max	q86_max	q87_max	q88_max	q89_max	q90_max	q91_max	q92_max	q93_max	q94_max	q95_max	q96_max	q97_max	q98_max	q99_max	q100_max	q101_max	q102_max	q103_max	q104_max	q105_max	q106_max	q107_max	q108_max	q109_max	q110_max	q111_max	q112_max	q113_max	q114_max	q115_max	q116_max	q117_max	q118_max	q119_max	q120_max	q121_max	q122_max	q123_max	q124_max	q125_max	q126_max	q127_max	q128_max	q129_max	q130_max	q131_max	q132_max	q133_max	q134_max	q135_max	q136_max	q137_max	q138_max	q139_max	q140_max	q141_max	q142_max	q143_max	q144_max	q145_max	q146_max	q147_max	q148_max	q149_max	q150_max	q151_max	q152_max	q153_max	q154_max	q155_max	q156_max	q157_max	q158_max	q159_max	q160_max	q161_max	q162_max	q163_max	q164_max	q165_max	q166_max	q167_max	q168_max	q169_max	q170_max	q171_max	q172_max	q173_max	q174_max	q175_max	q176_max	q177_max	q178_max	q179_max	q180_max	q181_max	q182_max	q183_max	q184_max	q185_max	q186_max	q187_max	q188_max	q189_max	q190_max	q191_max	q192_max	q193_max	q194_max	q195_max	q196_max	q197_max	q198_max	q199_max	q200_max	q201_max	q202_max	q203_max	q204_max	q205_max	q206_max	q207_max	q208_max	q209_max	q210_max	q211_max	q212_max	q213_max	q214_max	q215_max	q216_max	q217_max	q218_max	q219_max	q220_max	q221_max	q222_max	q223_max	q224_max	q225_max	q226_max	q227_max	q228_max	q229_max	q230_max	q231_max	q232_max	q233_max	q234_max	q235_max	q236_max	q237_max	q238_max	q239_max	q240_max	q241_max	q242_max	q243_max	q244_max	q245_max	q246_max	q247_max	q248_max	q249_max	q250_max	q251_max	q252_max	q253_max	q254_max	q255_max	q256_max	q257_max	q258_max	q259_max	q260_max	q261_max	q262_max	q263_max	q264_max	q265_max	q266_max	q267_max	q268_max	q269_max	q270_max	q271_max	q272_max	q273_max	q274_max	q275_max	q276_max	q277_max	q278_max	q279_max	q280_max	q281_max	q282_max	q283_max	q284_max	q285_max	q286_max	q287_max	q288_max	q289_max	q290_max	q291_max	q292_max	q293_max	q294_max	q295_max	q296_max	q297_max	q298_max	q299_max	q300_max	q301_max	q302_max	q303_max	q304_max	q305_max	q306_max	q307_max	q308_max	q309_max	q310_max	q311_max	q312_max	q313_max	q314_max	q315_max	q316_max	q317_max	q318_max	q319_max	q320_max	q321_max	q322_max	q323_max	q324_max	q325_max	q326_max	q327_max	q328_max	q329_max	q330_max	q331_max	q332_max	q333_max	q334_max	q335_max	q336_max	q337_max	q338_max	q339_max	q340_max	q341_max	q342_max	q343_max	q344_max	q345_max	q346_max	q347_max	q348_max	q349_max	q350_max	q351_max	q352_max	q353_max	q354_max	q355_max	q356_max	q357_max	q358_max	q359_max	q360_max	q361_max	q362_max	q363_max	q364_max	q365_max	q366_max	q367_max	q368_max	q369_max	q370_max	q371_max	q372_max	q373_max	q374_max	q375_max	q376_max	q377_max	q378_max	q379_max	q380_max	q381_max	q382_max	q383_max	q384_max	q385_max	q386_max	q387_max	q388_max	q389_max	q390_max	q391_max	q392_max	q393_max	q394_max	q395_max	q396_max	q397_max	q398_max	q399_max	q400_max	q401_max	q402_max	q403_max	q404_max	q405_max	q406_max	q407_max	q408_max	q409_max	q410_max	q411_max	q412_max	q413_max	q414_max	q415_max	q416_max	q417_max	q418_max	q419_max	q420_max	q421_max	q422_max	q423_max	q424_max	q425_max	q426_max	q427_max	q428_max	q429_max	q430_max	q431_max	q432_max	q433_max	q434_max	q435_max	q436_max	q437_max	q438_max	q439_max	q440_max	q441_max	q442_max	q443_max	q444_max	q445_max	q446_max	q447_max	q448_max	q449_max	q450_max	q451_max	q452_max	q453_max	q454_max	q455_max	q456_max	q457_max	q458_max	q459_max	q460_max	q461_max	q462_max	q463_max	q464_max	q465_max	q466_max	q467_max	q468_max	q469_max	q470_max	q471_max	q472_max	q473_max	q474_max	q475_max	q476_max	q477_max	q478_max	q479_max	q480_max	q481_max	q482_max	q483_max	q484_max	q485_max	q486_max	q487_max	q488_max	q489_max	q490_max	q491_max	q492_max	q493_max	q494_max	q495_max	q496_max	q497_max	q498_max	q499_max	q500_max	q501_max	q502_max	q503_max	q504_max	q505_max	q506_max	q507_max	q508_max	q509_max	q510_max	q511_max	q512_max	q513_max	q514_max	q515_max	q516_max	q517_max	q518_max	q519_max	q520_max	q521_max	q522_max	q523_max	q524_max	q525_max	q526_max	q527_max	q528_max	q529_max	q530_max	q531_max	q532_max	q533_max	q534_max	q535_max	q536_max	q537_max	q538_max	q539_max	q540_max	q541_max	q542_max	q543_max	q544_max	q545_max	q546_max	q547_max	q548_max	q549_max	q550_max	q551_max	q552_max	q553_max	q554_max	q555_max	q556_max	q557_max	q558_max	q559_max	q560_max	q561_max	q562_max	q563_max	q564_max	q565_max	q566_max	q567_max	q568_max	q569_max	q570_max	q571_max	q572_max	q573_max	q574_max	q575_max	q576_max	q577_max	q578_max	q579_max	q580_max	q581_max	q582_max	q583_max	q584_max	q585_max	q586_max	q587_max	q588_max	q589_max	q590_max	q591_max	q592_max	q593_max	q594_max	q595_max	q596_max	q597_max	q598_max	q599_max	q600_max	q601_max	q602_max	q603_max	q604_max	q605_max	q606_max	q607_max	q608_max	q609_max	q610_max	q611_max	q612_max	q613_max	q614_max	q615_max	q616_max	q617_max	q618_max	q619_max	q620_max	q621_max	q622_max	q623_max	q624_max	q625_max	q626_max	q627_max	q628_max	q629_max	q630_max	q631_max	q632_max	q633_max	q634_max	q635_max	q636_max	q637_max	q638_max	q639_max	q640_max	q641_max	q642_max	q643_max	q644_max	q645_max	q646_max	q647_max	q648_max	q649_max	q650_max	q651_max	q652_max	q653_max	q654_max	q655_max	q656_max	q657_max	q658_max	q659_max	q660_max	q661_max	q662_max	q663_max	q664_max	q665_max	q666_max	q667_max	q668_max	q669_max	q670_max	q671_max	q672_max	q673_max	q674_max	q675_max	q676_max	q677_max	q678_max	q679_max	q680_max	q681_max	q682_max	q683_max	q684_max	q685_max	q686_max	q687_max	q688_max	q689_max	q690_max	q691_max	q692_max	q693_max	q694_max	q695_max	q696_max	q697_max	q698_max	q699_max	q700_max	q701_max	q702_max	q703_max	q704_max	q705_max	q706_max	q707_max	q708_max	q709_max	q710_max	q711_max	q712_max	q713_max	q714_max	q715_max	q716_max	q717_max	q718_max	q719_max	q720_max	q721_max	q722_max	q723_max	q724_max	q725_max	q726_max	q727_max	q728_max	q729_max	q730_max	q731_max	q732_max	q733_max	q734_max	q735_max	q736_max	q737_max	q738_max	q739_max	q740_max	q741_max	q742_max	q743_max	q744_max	q745_max	q746_max	q747_max	q748_max	q749_max	q750_max	q751_max	q752_max	q753_max	q754_max	q755_max	q756_max	q757_max	q758_max	q759_max	q760_max	q761_max	q762_max	q763_max	q764_max	q765_max	q766_max	q767_max	q768_max	q769_max	q770_max	q771_max	q772_max	q773_max	q774_max	q775_max	q776_max	q777_max	q778_max	q779_max	q780_max	q781_max	q782_max	q783_max	q784_max	q785_max	q786_max	q787_max	q788_max	q789_max	q790_max	q791_max	q792_max	q793_max	q794_max	q795_max	q796_max	q797_max	q798_max	q799_max	q800_max	q801_max	q802_max	q803_max	q804_max	q805_max	q806_max	q807_max	q808_max	q8

	TIPO APPOGGIO	COMBINAZIONI SLU				TIPO APPOGGIO	COMBINAZIONI SISMICHE		
		FX	FY	FZ			FX	FY	FZ
		[kN]					[kN]		
PILA 3	multi	0	0	3994	PILA 3	multi	0	0	935
		0	0	3994			0	0	935
		0	0	9132			0	0	9673
	fisso	3853	0	7710		fisso	11332	0	4527
		-40	0	4052			-11009	0	4068
		1737	0	9489			-10904	0	4639
	fisso	3841	1194	6512		fisso	11269	4361	3808
		2527	1431	6324			6375	11929	3807
		1344	-481	7939			-10820	-4271	3923
	multi	0	0	3820		multi	0	0	618
		0	0	3820			0	0	618
		0	0	9254			0	0	9591
PILA 2	multi	0	0	4962	PILA 2	multi	0	0	2442
		0	0	4962			0	0	2442
		0	0	10443			0	0	9701
	multi	0	0	2879		uni	0	0	2913
		0	0	2879			0	0	2913
		0	0	6996			0	0	3354
	uni	0	-2	3634		multi	0	-3874	3663
		0	1411	4997			0	11383	3841
		0	-1212	8439			0	-3939	4151
	multi	0	0	4246		multi	0	0	1712
		0	0	4246			0	0	1712
		0	0	9681			0	0	9013

10.11 ESCURSIONE LONGITUDINALE, GIUNTI E VARCHI

Per la definizione delle escursioni e dei varchi si rimanda alla relazione di calcolo delle strutture in elevazione IF3A02EZCCLVI0105002 e IF3A02EZCCLVI0105003.

APPALTATORE: <u>Consorzio</u> <u>Soci</u> HIRPINIA - ORSARA AV WEBUILD ITALIA PIZZAROTTI	ITINERARIO NAPOLI - BARI RADDOPPIO TRATTA APICE - ORSARA II LOTTO FUNZIONALE HIRPINIA - ORSARA
PROGETTAZIONE: <u>Mandataria</u> <u>Mandanti</u> ROCKSOIL S.P.A NET ENGINEERING PINI GCF ELETTRI-FER M-INGEGNERIA	
PROGETTO ESECUTIVO	COMMESSE IF3A LOTTO 02 CODIFICA E ZZ CL DOCUMENTO VI0009 003 REV. C FOGLIO 125 di 138

10.12 RITEGNI SISMICI LONGITUDINALI E TRASVERSALI

I ritegni sismici trasversali e longitudinali sono realizzati tramite elementi in carpenteria saldati o bullonati alle travi principali.

La forza sismica utilizzata per la verifica dei ritegni viene calcolata tramite l'analisi spettrale in direzione longitudinale (X), trasversale (Y) e verticale (Z) al ponte. La tabella seguente mostra le masse partecipanti nelle direzioni principali, ottenute dall'analisi modale.

TABLE: Modal Participating Mass Ratios															
OutputCase	StepType	StepNum	Period	UX	UY	UZ	SumUX	SumUY	SumUZ	RX	RY	RZ	SumRX	SumRY	SumRZ
Text	Text	Unitless	Sec	Unitless											
MODAL	Mode	1	0.50	0.02	0.00	0.77	0.02	0.00	0.77	0.01	0.00	0.00	0.01	0.00	0.00
MODAL	Mode	2	0.45	0.00	0.04	0.01	0.02	0.04	0.78	0.74	0.00	0.00	0.75	0.00	0.00
MODAL	Mode	3	0.23	0.00	0.80	0.00	0.02	0.84	0.78	0.05	0.00	0.00	0.79	0.00	0.00
MODAL	Mode	4	0.19	0.00	0.00	0.00	0.02	0.84	0.78	0.00	0.03	0.00	0.79	0.03	0.00
MODAL	Mode	5	0.18	0.13	0.00	0.00	0.14	0.84	0.78	0.00	0.37	0.00	0.79	0.40	0.00
MODAL	Mode	6	0.16	0.76	0.00	0.00	0.90	0.85	0.79	0.00	0.04	0.00	0.80	0.44	0.00
MODAL	Mode	7	0.15	0.01	0.00	0.01	0.91	0.85	0.80	0.05	0.00	0.00	0.85	0.44	0.00
MODAL	Mode	8	0.14	0.00	0.00	0.01	0.91	0.85	0.81	0.01	0.00	0.00	0.86	0.44	0.00
MODAL	Mode	9	0.14	0.00	0.00	0.00	0.91	0.85	0.81	0.00	0.02	0.00	0.86	0.46	0.01
MODAL	Mode	10	0.13	0.05	0.00	0.02	0.96	0.85	0.83	0.00	0.00	0.00	0.87	0.46	0.01
MODAL	Mode	11	0.13	0.00	0.00	0.01	0.96	0.85	0.83	0.01	0.00	0.00	0.88	0.46	0.01
MODAL	Mode	12	0.13	0.00	0.00	0.00	0.96	0.85	0.83	0.00	0.01	0.00	0.88	0.47	0.01
MODAL	Mode	13	0.13	0.00	0.00	0.00	0.96	0.85	0.83	0.00	0.01	0.01	0.88	0.48	0.01
MODAL	Mode	14	0.12	0.00	0.00	0.00	0.96	0.85	0.84	0.00	0.00	0.00	0.88	0.48	0.01
MODAL	Mode	15	0.12	0.00	0.00	0.00	0.96	0.85	0.84	0.00	0.00	0.00	0.88	0.48	0.01
MODAL	Mode	16	0.12	0.00	0.00	0.01	0.96	0.85	0.84	0.01	0.00	0.00	0.89	0.48	0.01
MODAL	Mode	17	0.12	0.00	0.00	0.00	0.96	0.85	0.84	0.00	0.00	0.00	0.89	0.48	0.01
MODAL	Mode	18	0.12	0.00	0.00	0.00	0.96	0.85	0.84	0.00	0.00	0.01	0.89	0.48	0.02
MODAL	Mode	19	0.12	0.00	0.00	0.00	0.96	0.85	0.84	0.00	0.00	0.01	0.89	0.48	0.03
MODAL	Mode	20	0.11	0.00	0.00	0.00	0.96	0.85	0.84	0.00	0.00	0.00	0.89	0.48	0.03
MODAL	Mode	21	0.11	0.00	0.00	0.00	0.96	0.85	0.84	0.00	0.00	0.00	0.89	0.49	0.03
MODAL	Mode	22	0.11	0.00	0.00	0.00	0.96	0.85	0.84	0.00	0.00	0.00	0.90	0.49	0.03
MODAL	Mode	23	0.11	0.00	0.00	0.00	0.96	0.85	0.84	0.00	0.00	0.00	0.90	0.49	0.03
MODAL	Mode	24	0.11	0.00	0.00	0.00	0.97	0.85	0.84	0.00	0.04	0.03	0.90	0.52	0.06
MODAL	Mode	25	0.11	0.00	0.00	0.00	0.97	0.85	0.84	0.00	0.00	0.00	0.90	0.53	0.06
MODAL	Mode	26	0.11	0.01	0.00	0.00	0.97	0.85	0.84	0.00	0.10	0.02	0.90	0.62	0.08
MODAL	Mode	27	0.11	0.00	0.00	0.00	0.97	0.85	0.84	0.00	0.00	0.00	0.90	0.63	0.08
MODAL	Mode	28	0.11	0.00	0.00	0.00	0.97	0.85	0.84	0.00	0.00	0.00	0.90	0.63	0.08
MODAL	Mode	29	0.11	0.00	0.00	0.00	0.98	0.85	0.84	0.00	0.02	0.00	0.90	0.65	0.08
MODAL	Mode	30	0.11	0.00	0.00	0.00	0.98	0.85	0.84	0.00	0.00	0.00	0.90	0.65	0.08
MODAL	Mode	31	0.11	0.00	0.00	0.00	0.98	0.85	0.84	0.00	0.01	0.00	0.90	0.65	0.08
MODAL	Mode	32	0.10	0.00	0.00	0.00	0.98	0.85	0.84	0.00	0.00	0.00	0.90	0.65	0.08
MODAL	Mode	33	0.10	0.00	0.00	0.00	0.98	0.85	0.84	0.00	0.00	0.00	0.90	0.66	0.09
MODAL	Mode	34	0.10	0.00	0.00	0.00	0.98	0.85	0.84	0.00	0.00	0.00	0.90	0.66	0.09
MODAL	Mode	35	0.10	0.00	0.00	0.00	0.98	0.85	0.84	0.00	0.00	0.05	0.90	0.66	0.14
MODAL	Mode	36	0.10	0.00	0.00	0.00	0.98	0.85	0.84	0.00	0.00	0.56	0.90	0.66	0.70
MODAL	Mode	37	0.10	0.00	0.00	0.00	0.98	0.85	0.85	0.01	0.01	0.00	0.91	0.67	0.70
MODAL	Mode	38	0.09	0.00	0.00	0.00	0.98	0.85	0.85	0.00	0.03	0.03	0.91	0.70	0.73
MODAL	Mode	39	0.09	0.00	0.01	0.00	0.98	0.85	0.85	0.00	0.00	0.00	0.92	0.70	0.73
MODAL	Mode	40	0.09	0.00	0.00	0.00	0.98	0.85	0.85	0.01	0.00	0.00	0.93	0.70	0.74

Fig. 108 – Tabelle delle masse partecipanti relative ai modi di vibrare per sisma trasversale (Y) e verticale (Z)

APPALTATORE: <u>Consorzio</u> <u>Soci</u> HIRPINIA - ORSARA AV WEBUILD ITALIA PIZZAROTTI	ITINERARIO NAPOLI – BARI RADDOPPIO TRATTA APICE - ORSARA II LOTTO FUNZIONALE HIRPINIA - ORSARA
PROGETTAZIONE: <u>Mandataria</u> <u>Mandanti</u> ROCKSOIL S.P.A NET ENGINEERING PINI GCF ELETTRI-FER M-INGEGNERIA	
PROGETTO ESECUTIVO	COMMESSA IF3A LOTTO 02 CODIFICA E ZZ CL DOCUMENTO VI0009 003 REV. C FOGLIO 126 di 138

10.12.1 Ritegno sismico trasversale

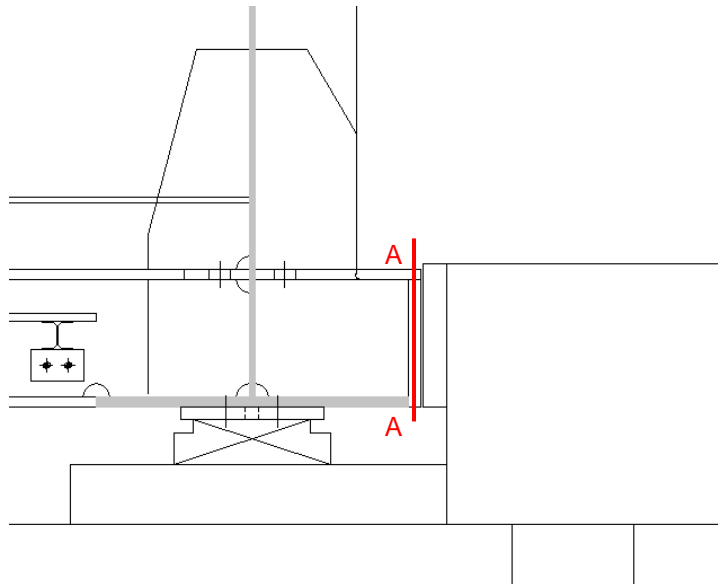


Fig. 109 – Ritegno sismico laterale

Il ritegno sismico laterale è realizzato tramite un elemento in carpenteria metallica saldato al cassone.

Il ritegno è di tipo unidirezionale in quanto lavora solamente a compressione, in battuta sulla pila. La forza trasversale massima agente su ciascuna pila risulta pari a 11.929 kN.

Si verifica la tensione di compressione presente nella sezione A-A di carpenteria metallica indicata in Fig. 109:

- N° 5 Piatti verticali: Altezza H = 450 mm; Spessore t = 30 mm
- Area totale = $5 \times 450 \times 30 = 67500 \text{ mm}^2$
- Compressione $\sigma = 11.929 \times 1000 / 67500 = 177 \text{ MPa} < 355/1,05 = 338 \text{ MPa} \rightarrow \Delta = 0,52$

APPALTATORE: <u>Consorzio</u> <u>Soci</u> HIRPINIA - ORSARA AV WEBUILD ITALIA PIZZAROTTI	ITINERARIO NAPOLI - BARI RADDOPPIO TRATTA APICE - ORSARA II LOTTO FUNZIONALE HIRPINIA - ORSARA
PROGETTAZIONE: <u>Mandataria</u> <u>Mandanti</u> ROCKSOIL S.P.A NET ENGINEERING PINI GCF ELETTRI-FER M-INGEGNERIA	
PROGETTO ESECUTIVO	COMMESA LOTTO CODIFICA DOCUMENTO REV. IF3A 02 E ZZ CL VI0009 003 C FOGLIO 127 di 138

10.12.2 Ritegno sismico longitudinale

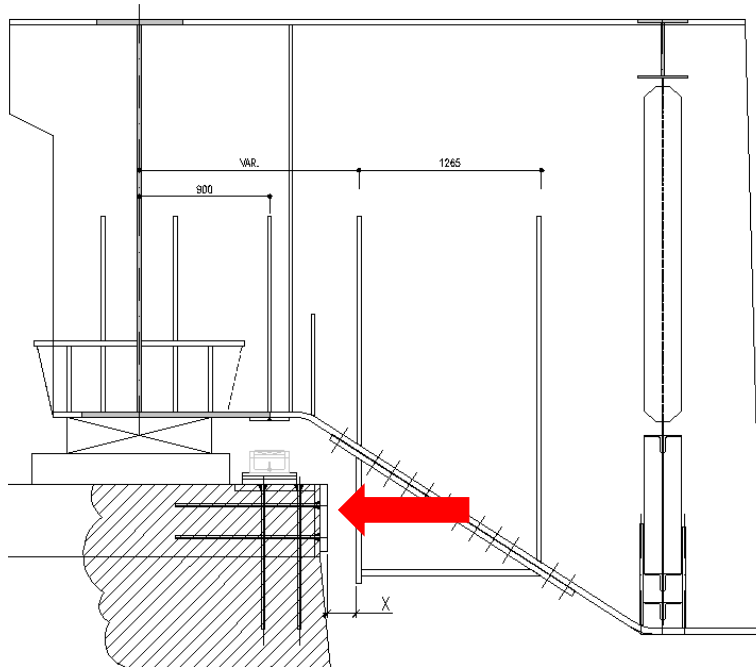


Fig. 110 – Ritegno sismico longitudinale

Il ritegno sismico longitudinale è costituito da quattro composti saldati bullonati alla piattabanda inferiore delle travi principali.

Come indicato nelle tabelle al § 10.10, la forza longitudinale che agisce su ciascun dispositivo risulta pari a $11332/2 = 5666 \text{ kN}$.

La forza agente orizzontalmente, si scompone in un taglio parallelo alla piattabanda inferiore della trave e una componente ad essa ortogonale. Si verifica pertanto la flangia per resistere alla sollecitazione tagliente.

- $F = 5666 \text{ kN}$
- $V = 5666 \times \cos 30^\circ = 4907 \text{ kN}$
- $N^o \text{ bulloni} = 24 \text{ M27 cl.10.9}$ (considerando solamente quelli vicini all'anima, a favore di sicurezza)
- Precarico bulloni $F_{p,c} = 165 \text{ kN}$ (come da tabella materiali)

La forza tagliente su ciascun bullone risulta $F_{v,Ed} = 4907 / 24 = 205 \text{ kN} < F_{v,Rd} = 234 \text{ kN} \rightarrow \Delta = 0,87$

La resistenza a taglio di un bullone M27 cl.10.9 ridotta del 15% risulta:

$$F_{v,Rd} = (1-0,15) \times 0,6 \times f_{tb} \times A / \gamma_{M2} = 0,85 \times 0,6 \times 1000 \times 573 / 1,25 = 234 \text{ kN}$$

La verifica del giunto bullonato risulta soddisfatta.

APPALTATORE: <u>Consorzio</u> <u>Soci</u> HIRPINIA - ORSARA AV WEBUILD ITALIA PIZZAROTTI	ITINERARIO NAPOLI – BARI RADDOPPIO TRATTA APICE - ORSARA II LOTTO FUNZIONALE HIRPINIA - ORSARA
PROGETTAZIONE: <u>Mandataria</u> <u>Mandanti</u> ROCKSOIL S.P.A NET ENGINEERING PINI GCF ELETTRI-FER M-INGEGNERIA	
PROGETTO ESECUTIVO	COMMESA LOTTO CODIFICA DOCUMENTO REV. IF3A 02 E ZZ CL VI0009 003 C FOGLIO 128 di 138

10.13 VERIFICA DELLA BANCHINA

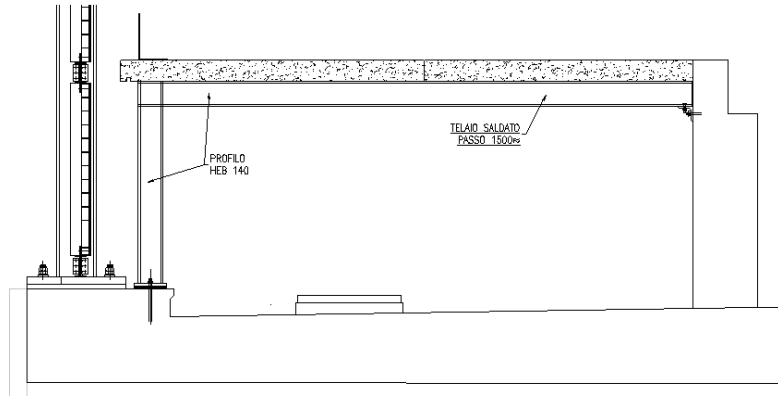


Fig. 111 – Banchina: sezione tipica

La banchina è realizzata mediante un telaio saldato (trave colonna) incernierato alla base avente passo 1.5 m. Il carico dei pesi propri della struttura in acciaio è calcolato in automatico dal programma con un incremento di 1.2. Il carico del piano di calpestio, realizzato con una soletta prefabbricata in calcestruzzo di 12 cm di spessore, è pari a 3 kN/m².

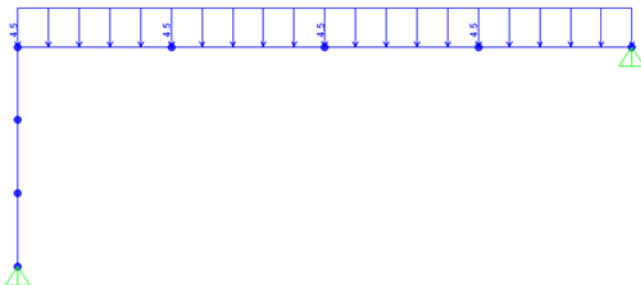


Fig. 112 – Peso del piano di calpestio

Il carico accidentale considerato è pari a 10 kN/m².

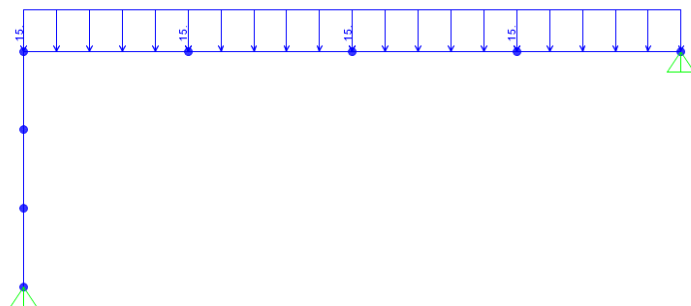


Fig. 113 – Carico accidentale

Si riportano i diagrammi delle sollecitazioni per la combinazione SLU:
1,35 x (Peso Proprio + piano calpestio) + 1,5 x Accidentale

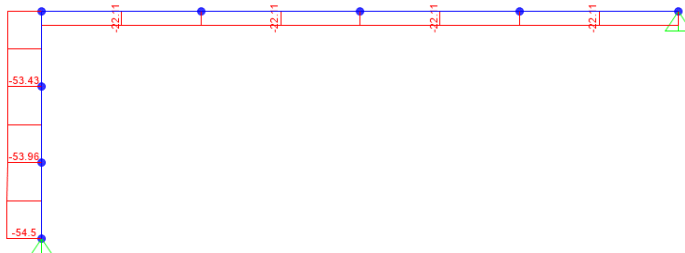


Fig. 114 – Diagramma dello Sforzo normale - SLU (kN)

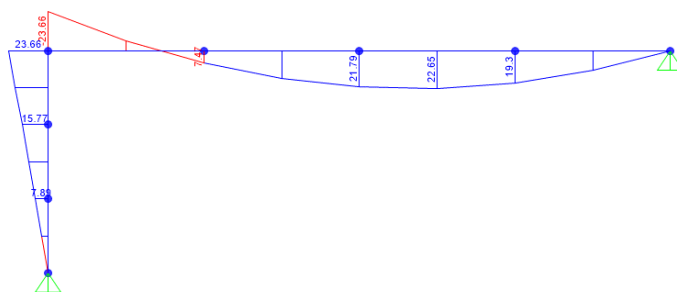


Fig. 115 – Diagramma del Momento flettente - SLU (kNm)

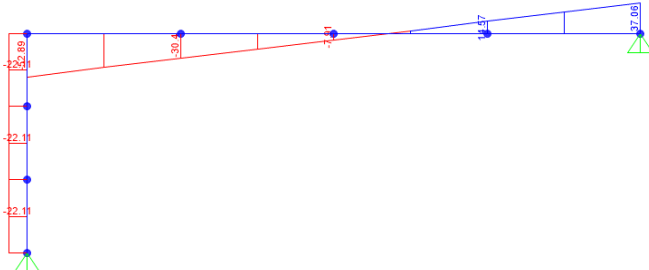


Fig. 116 – Diagramma del Taglio - SLU (kN)

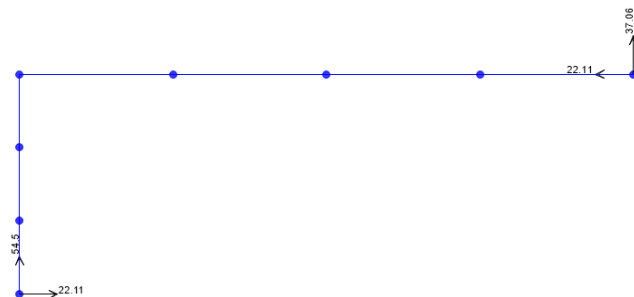


Fig. 117 – Reazioni vincolari - SLU (kN)

Si riportano le verifiche della colonna HEB 140.

MATERIALE: [N/mm²] f_y = 355 f_u = 510 ε = 0.81 E = 210000 v = 0.300 G = 80769

COEFFICIENTI DI SICUREZZA:

$$\gamma_{\text{M}0} = 1.05 \quad \gamma_{\text{M}1} = 1.05 \quad \gamma_{\text{M}2} = 1.25$$

PROPRIETA' DELLA SEZIONE LORDA:

$$h = 140 \quad A \times 10^2 = 43.0 \quad W_{el-v_{tf}} \times 10^3 = 215.6$$

h	=	140	$A \times 10^4$	=	43.0	$W_{el,y,tf} \times 10^3$	=	215.6
b_{tf}	=	140	Z_G	=	70.0	$W_{el,y,bf} \times 10^3$	=	215.6
b_{bf}	=	140	Z_C	=	70.0	$W_{pl,y} \times 10^3$	=	245.4
t_w	=	7.0	$I_y \times 10^4$	=	1509.0			
t_{tf}	=	12.0	$I_z \times 10^4$	=	549.7	$W_{el,z,tf} \times 10^3$	=	78.5
t_{bf}	=	12.0	$I_t \times 10^4$	=	2.01E+01	$W_{el,z,bf} \times 10^3$	=	78.5
r	=	12.0	$I_w \times 10^6$	=	2.25E+04	$W_{pl,z} \times 10^3$	=	119.8

SOLLECITAZIONI:

N_{Ed}	=	54.0	$V_{z, Ed}$	=	22.0	$V_{y, Ed}$	=	0.0
$M_{y, h, Ed}$	=	24.0	$\psi M_{y, h, Ed}$	=	0.0	$M_{y, s, Ed}$	=	12.0
						c_{my}	=	0.60
$M_{z, h, Ed}$	=	0.0	$\psi M_{z, h, Ed}$	=	0.0	$M_{z, s, Ed}$	=	0.0
						c_{mz}	=	1.00

CLASSIFICAZIONE DELLA SEZIONE:

A) ANIMA		C_w	=	92.0
compressione:	Class 1	C_w / t_w	=	13.14
flessione:	Class 1	$Z_{y,n}$	=	59.13
flessione e compressione:	Class 1	α	=	0.62
		ψ	=	-0.93
B) PIATTABANDA SUPERIORE		C_{tf}	=	54.5
compressione:	Class 1	C_{tf} / t_{tf}	=	4.54
flessione e compressione:	Class 1	ψ	=	1.00
		k_σ	=	0.43
C) PIATTABANDA INFERIORE		C_{bf}	=	54.5
compressione:	Class 1	C_{bf} / t_{bf}	=	4.54
flessione e compressione:	Class 1	ψ	=	1.00
		k_σ	=	0.43

<p>APPALTATORE: <u>Consorzio</u> <u>Soci</u> HIRPINIA - ORSARA AV WEBUILD ITALIA PIZZAROTTI</p>	<p>ITINERARIO NAPOLI – BARI</p> <p>RADDOPPIO TRATTA APICE - ORSARA</p> <p>II LOTTO FUNZIONALE HIRPINIA - ORSARA</p>
<p>PROGETTAZIONE: <u>Mandataria</u> <u>Mandanti</u> ROCKSOIL S.P.A NET ENGINEERING PINI GCF ELETTRI-FER M-INGEGNERIA</p>	

VERIFICHE DI RESISTENZA:

TRAZIONE:

$A_{\text{net.}}$	=	2683.6	[mm ²]
$N_{\text{pl, Rd}}$	=	-1452.3	[KN]
$N_{\text{u, Rd}}$	=	-985.4	[KN]
$N_{\text{t, Rd}}$	=	-985.4	[KN]
Δ	=	0.00	

COMPRESSIONE

$$N_{c,Rd} = 1452.3 \quad [KN]$$

MOMENTO FLETTENTE M_y -y

$$M_{c, Rd, y} = 65.1 \quad [KNm]$$

MOMENTO FLETTENTE M z-z

$$\begin{array}{lcl} M_{c,Rd,z} & = & 31.2 \\ \Delta & = & 0.00 \end{array} \quad [\text{KNm}]$$

TAGLIO Vz (PARALELLO ALL'ANIMA)

$$\begin{array}{lcl} A_{vz} & = & 1307.6 \quad [\text{mm}^2] \\ V_{Pl, Rd, z} & = & 255.2 \quad [\text{KN}] \\ \Delta & = & \boxed{0.09} \end{array}$$

TAGLIO Vy (PARALELLO ALLE PIATTABANDE)

$$\Delta = \boxed{0.00}$$

FLESSIONE E TAGLIO

$M_{c,Rd,y}$	=	65.1	[KNm]
Δ	=	0.37	
$M_{c,Rd,z}$	=	31.2	[KNm]
Δ	=	0.00	

PRESSO O TENSO-FLESSIONE BIASSIALE

sezioni ad I di classe 1 e 2 doppiamente simmetriche	n	=	0.04
	a	=	0.22
	α	=	1.00
	β	=	1.00
	$M_{N, Rd,y}$	=	65.1 [KNm]
	$M_{N, Rd,z}$	=	31.2 [KNm]
	Δ	=	0.37

APPALTATORE: <u>Consorzio</u> <u>Soci</u> HIRPINIA - ORSARA AV WEBUILD ITALIA PIZZAROTTI	ITINERARIO NAPOLI – BARI RADDOPPIO TRATTA APICE - ORSARA II LOTTO FUNZIONALE HIRPINIA - ORSARA
PROGETTAZIONE: <u>Mandataria</u> <u>Mandanti</u> ROCKSOIL S.P.A NET ENGINEERING PINI GCF ELETTRI-FER M-INGEGNERIA	
PROGETTO ESECUTIVO	COMMESA LOTTO CODIFICA DOCUMENTO REV. IF3A 02 E ZZ CL VI0009 003 C FOGLIO 132 di 138

Si riportano le verifiche della trave HEB 140

MATERIALE:					
[N/mm ²]					
f_y	=	355	f_u	=	510
E	=	210000	v	=	0.300
					ϵ = 0.81
					G = 80769

COEFFICIENTI DI SICUREZZA:

γ_{M0}	=	1.05	γ_{M1}	=	1.05	γ_{M2}	=	1.25
---------------	---	------	---------------	---	------	---------------	---	------

PROPRIETA' DELLA SEZIONE LORDA:				HE 140 B / S355	[mm]			
h	=	140	$A \times 10^2$	=	43.0	$W_{el, y, tf} \times 10^3$	=	215.6
b_{tf}	=	140	Z_G	=	70.0	$W_{el, y, bf} \times 10^3$	=	215.6
b_{bf}	=	140	Z_C	=	70.0	$W_{pl, y} \times 10^3$	=	245.4
t_w	=	7.0	$I_y \times 10^4$	=	1509.0			
t_{tf}	=	12.0	$I_z \times 10^4$	=	549.7	$W_{el, z, tf} \times 10^3$	=	78.5
t_{bf}	=	12.0	$I_t \times 10^4$	=	2.01E+01	$W_{el, z, bf} \times 10^3$	=	78.5
r	=	12.0	$I_w \times 10^6$	=	2.25E+04	$W_{pl, z} \times 10^3$	=	119.8

SOLLECITAZIONI:

				kN, m]				
N_{Ed}	=	22.1	$V_{z, Ed}$	=	53.0	$V_{y, Ed}$	=	0.0
$M_{y, h, Ed}$	=	-24.0	$\psi M_{y, h, Ed}$	=	0.0	$M_{y, s, Ed}$	=	22.0
						C_{my}	=	0.83
$M_{z, h, Ed}$	=	0.0	$\psi M_{z, h, Ed}$	=	0.0	$M_{z, s, Ed}$	=	0.0
						C_{mz}	=	1.00

CLASSIFICAZIONE DELLA SEZIONE:

				Class 1	[mm]
A) ANIMA				C_w	= 92.0
compressione:	Class 1			C_w / t_w	= 13.14
flessione:	Class 1			$Z_{y, n}$	= 65.55
flessione e compressione:	Class 1			α	= 0.55
				ψ	= -0.97
B) PIATTABANDA SUPERIORE				C_{tf}	= 54.5
compressione:	Class 1			C_{tf} / t_{tf}	= 4.54
flessione e compressione:	Class 1			ψ	= 1.00
				k_σ	= 0.43
C) PIATTABANDA INFERIORE				C_{bf}	= 54.5
compressione:	Class 1			C_{bf} / t_{bf}	= 4.54
flessione e compressione:	Class 1			ψ	= 1.00
				k_σ	= 0.43

VERIFICHE DI RESISTENZA:

TRAZIONE:

$A_{\text{net.}}$	=	2683.6	[mm ²]
$N_{\text{pl, Rd}}$	=	-1452.3	[KN]
$N_{\text{u, Rd}}$	=	-985.4	[KN]
$N_{\text{t, Rd}}$	=	-985.4	[KN]
Δ	=	0.00	

COMPRESSIONE

$$N_{c,Rd} = 1452.3 \quad [KN]$$

MOMENTO FLETTENTE M_y -y

$$M_{c, Rd, y} = 65.1 \quad [KNm]$$

MOMENTO FLETTENTE M z-z

$$\Delta = \boxed{0.00}$$

TAGLIO Vz (PARALELLO ALL'ANIMA)

$$\begin{array}{lcl} A_{vz} & = & 1307.6 \quad [\text{mm}^2] \\ V_{Pl, Rd, z} & = & 255.2 \quad [\text{KN}] \\ \Delta & = & 0.21 \end{array}$$

TAGLIO Vy (PARALELLO ALLE PIATTABANDE)

A_{vy}	=	3651.6	[mm ²]
$V_{Pl, Rd,y}$	=	712.8	[KN]
Δ	=	0.00	

FLESSIONE E TAGLIO

$M_{c,Rd,y}$	=	65.1	[KNm]
Δ	=	0.37	
$M_{c,Rd,z}$	=	31.2	[KNm]
Δ	=	0.00	

PRESSO O TENSO-FLESSIONE BIASSIALE

sezioni ad I di classe 1 e 2 doppiamente simmetriche	n	=	0.02
	a	=	0.22
	α	=	1.00
	β	=	1.00
	$M_{N, Rd,y}$	=	65.1 [KNm]
	$M_{N, Rd,z}$	=	31.2 [KNm]
	Δ	=	0.37

APPALTATORE:	
Consorzio	Soci
HIRPINIA - ORSARA AV WEBUILD ITALIA	PIZZAROTTI
PROGETTAZIONE:	
Mandataria	Mandanti
ROCKSOIL S.P.A	NET ENGINEERING PINI GCF ELETTRI-FER M-INGEGNERIA
PROGETTO ESECUTIVO	

ITINERARIO NAPOLI – BARI
RADDOPPIO TRATTA APICE - ORSARA
II LOTTO FUNZIONALE HIRPINIA - ORSARA

COMMESA IF3A	LOTTO 02	CODIFICA E ZZ CL	DOCUMENTO VI0009 003	REV. C	FOGLIO 134 di 138
-----------------	-------------	---------------------	-------------------------	-----------	-------------------------

La verifica della portata dei tasselli di ancoraggio di base viene eseguita con il programma fornito dalla HILTI.

Verifica su soletta:

1 Dati da inserire

Tipo e dimensione dell'ancorante: HIT-HY 200-A + HAS-U 5.8 M16



Periodo di ritorno (durata in anni): 50

Codice articolo: 2223869 HAS-U 5.8 M16x260 (inserire) / 434674
HIT-HY 200-A (composto indurente)

Profondità di posa effettiva: $h_{ef,act} = 180,0 \text{ mm}$ ($h_{ef,limit} = - \text{ mm}$)

Materiale: 5.8

Certificazione No.: ETA 11/0493

Emesso I Valido: 10/12/2021 | -

Prova: metodo di calcolo EN 1992-4, chimica

Fissaggio distanziato: $e_b = 0 \text{ mm}$ (Senza distanziamento); $t = 15,0 \text{ mm}$

Piastrella d'ancoraggio^R: $I_x \times I_y \times t = 180,0 \text{ mm} \times 200,0 \text{ mm} \times 15,0 \text{ mm}$; (Spessore della piastra raccomandato: non calcolato)

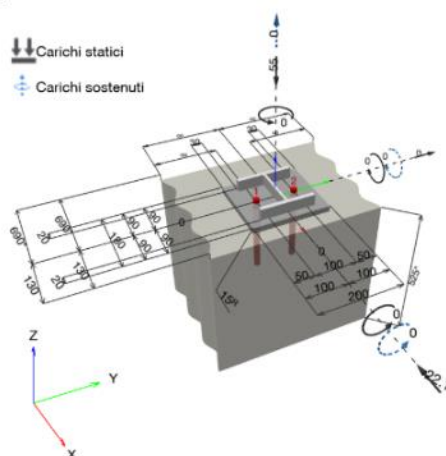
Profilo: IPB/HEB, IPB 140 / HE 140 B; (L x W x T x FT) = 140,0 mm x 140,0 mm x 7,0 mm x 12,0 mm

Materiale base: fessurato calcestruzzo, C25/30, $f_{c,oy} = 25,00 \text{ N/mm}^2$; $h = 525,0 \text{ mm}$, Temp. Breve/Lungo: 0/0 °C,
Coefficiente parziale di sicurezza materiale definito dall'utente $\gamma_c = 1,500$

Installazione: Foro eseguito con perforatore, Condizioni di installazione: asciutto

Armatura: nessuna armatura o interasse tra le armature $\geq 150 \text{ mm}$ (qualsunque \varnothing) o $\geq 100 \text{ mm}$ ($\varnothing \leq 10 \text{ mm}$)
senza armatura di bordo longitudinale

Geometria [mm] & Carichi [kN, kNm]



1.1 Combinazione carichi

Caso	Descrizione	Forze [kN] / Momenti [kNm]	Sismico	Fuoco	Util. max. Tassello [%]
1	SLU	$N = -55,000; V_x = -22,100; V_y = 0,000;$ $M_x = 0,000; M_y = 0,000; M_z = 0,000;$ $N_{sus} = 0,000; M_{x,sus} = 0,000; M_{y,sus} = 0,000;$	no	no	30

2 Condizione di carico/Carichi risultanti sull'ancorante

Carichi sull'ancorante [kN]

Trazione: (+ Trazione, - Compressione)

Ancorante	Trazione	Taglio	Taglio in dir. x	Taglio in dir. y
1	0,000	11,050	-11,050	0,000
2	0,000	11,050	-11,050	0,000

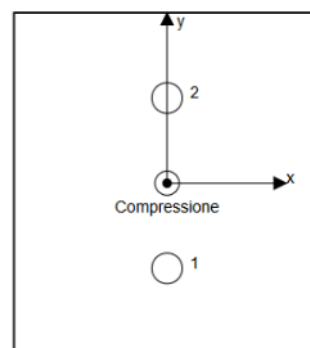
Compressione max. nel calcestruzzo: 0,05 [%]

Max. sforzo di compressione nel calcestruzzo: 1,53 [N/mm²]

risultante delle forze di trazione nel (x/y)=(0,0/0,0): 0,000 [kN]

risultante delle forze di compressione (x/y)=(0,0/0,0): 55,000 [kN]

Le forze di ancoraggio vengono calcolate presupponendo una piastra di ancoraggio rigida.



APPALTATORE: <u>Consorzio</u> <u>Soci</u> HIRPINIA - ORSARA AV WEBUILD ITALIA PIZZAROTTI	ITINERARIO NAPOLI – BARI RADDOPPIO TRATTA APICE - ORSARA II LOTTO FUNZIONALE HIRPINIA - ORSARA					
PROGETTAZIONE: <u>Mandataria</u> <u>Mandanti</u> ROCKSOIL S.P.A NET ENGINEERING PINI GCF ELETTRI-FER M-INGEGNERIA						
PROGETTO ESECUTIVO	COMMESA IF3A	LOTTO 02	CODIFICA E ZZ CL	DOCUMENTO VI0009 003	REV. C	FOGLIO 135 di 138

3 Carico di trazione (EN 1992-4, sezione 7.2.1)

	Carico [kN]	Resistenza [kN]	Utilizzo β_N [%]	Stato
Rottura dell'acciaio*	N/A	N/A	N/A	N/A
Rottura conica del calcestruzzo**	N/A	N/A	N/A	N/A
Fessurazione**	N/A	N/A	N/A	N/A

*ancorante più sollecitato **gruppo di ancoranti (ancoranti sollecitati)

4 Carico di taglio (EN 1992-4, sezione 7.2.2)

	Carico [kN]	Resistenza [kN]	Utilizzo β_V [%]	Stato
Rottura dell'acciaio (senza braccio di leva)*	11,050	37,680	30	OK
Rottura dell'acciaio (con braccio di leva)*	N/A	N/A	N/A	N/A
Rottura per pryout**	22,100	86,541	26	OK
Rottura del bordo del calcestruzzo in direzione x-**	22,100	112,832	20	OK

*ancorante più sollecitato **gruppo di ancoranti (ancoranti specifici)

4.1 Rottura dell'acciaio (senza braccio di leva)

$$V_{Ed} \leq V_{Rd,s} = \frac{V_{Rk,s}}{\gamma_{M,s}}$$

EN 1992-4, Tabella 7.2

$$V_{Rk,s} = k_7 \cdot V_{Rk,s}^0$$

EN 1992-4, Eq. (7.35)

$V_{Rk,s}^0$ [kN]	k_7	$V_{Rk,s}$ [kN]	$\gamma_{M,s}$	$V_{Rd,s}$ [kN]	V_{Ed} [kN]
47,100	1,000	47,100	1,250	37,680	11,050

4.2 Rottura per pryout (adesione)

$$V_{Ed} \leq V_{Rd,op} = \frac{V_{Rk,op}}{\gamma_{M,op}}$$

EN 1992-4, Tabella 7.2

$$V_{Rk,op} = k_8 \cdot \min \{N_{Rk,c}, N_{Rk,p}\}$$

EN 1992-4, Eq. (7.39c)

$$N_{Rk,p} = N_{Rk,p}^0 \cdot \frac{A_{p,N}}{A_{p,N}}$$

EN 1992-4, Eq. (7.13)

$$N_{Rk,p}^0 = \psi_{sus} \cdot \tau_{RK} \cdot \pi \cdot d \cdot h_{ef}$$

EN 1992-4, Eq. (7.14)

$$\psi_{sus} = 1$$

EN 1992-4, Eq. (7.14a)

$$S_{or,np} = 7,3 \cdot d \cdot \sqrt{\psi_{sus} \cdot \tau_{RK}} \leq 3 \cdot h_{ef}$$

EN 1992-4, Eq. (7.15)

$$\psi_{g,np} = \psi_{g,np}^0 - \left(\frac{s}{s_{or,np}} \right)^{0,5} \cdot (\psi_{g,np}^0 - 1) \geq 1,00$$

EN 1992-4, Eq. (7.17)

$$\psi_{g,np}^0 = \sqrt{n} - (\sqrt{n} - 1) \cdot \left(\frac{\tau_{RK}}{\tau_{RK,c}} \right)^{1,5} \geq 1,00$$

EN 1992-4, Eq. (7.18)

$$\tau_{RK,c} = \frac{k_3}{\pi \cdot d} \cdot \sqrt{h_{ef} \cdot f_{ck}}$$

EN 1992-4, Eq. (7.19)

$$\psi_{s,np} = 0,7 + 0,3 \cdot \frac{c}{c_{or,np}} \leq 1,00$$

EN 1992-4, Eq. (7.20)

$$\psi_{ec1,np} = \frac{1}{1 + \left(\frac{2 \cdot e_{c1,n}}{s_{or,np}} \right)} \leq 1,00$$

EN 1992-4, Eq. (7.21)

$$\psi_{ec2,np} = \frac{1}{1 + \left(\frac{2 \cdot e_{c2,n}}{s_{or,np}} \right)} \leq 1,00$$

EN 1992-4, Eq. (7.21)

$A_{p,N}$ [mm ²]	$A_{p,N}^0$ [mm ²]	$\tau_{RK,op,20}$ [N/mm ²]	$c_{or,np}$ [mm]	$s_{or,np}$ [mm]	c_{min} [mm]	$f_{c,cyl}$ [N/mm ²]
224,977	245,560	18,00	247,8	495,5	130,0	25,00
ψ_c	$\tau_{RK,cr}$ [N/mm ²]	k_3	$\tau_{RK,c}$ [N/mm ²]	k_8	$\psi_{g,np}^0$	
1,023	8,69	7,700	10,28	2,000	1,092	
$\psi_{g,np}$	$e_{c1,v}$ [mm]	$\psi_{ec1,np}$	$e_{c2,v}$ [mm]	$\psi_{ec2,np}$	$\psi_{s,np}$	
1,051	0,0	1,000	0,0	1,000	0,857	
$\psi_{re,np}$	ψ_{sus}^0	c_{sus}	ψ_{sus}			
1,000	0,740	0,000	1,000			
$N_{Rk,p}^0$ [kN]	$N_{Rk,p}$ [kN]	$\gamma_{M,c,p}$	$V_{Rd,op}$ [kN]	V_{Ed} [kN]		
78,642	64,906	1,500	86,541	22,100		

ID gruppo ancoranti

1, 2

APPALTATORE: <u>Consorzio</u> <u>Soci</u> HIRPINIA - ORSARA AV WEBUILD ITALIA PIZZAROTTI	ITINERARIO NAPOLI – BARI RADDOPPIO TRATTA APICE - ORSARA II LOTTO FUNZIONALE HIRPINIA - ORSARA
PROGETTAZIONE: <u>Mandataria</u> <u>Mandanti</u> ROCKSOIL S.P.A NET ENGINEERING ELETTRI-FER PINI GCF M-INGEGNERIA	
PROGETTO ESECUTIVO	COMMESA LOTTO CODIFICA DOCUMENTO REV. FOGLIO IF3A 02 E ZZ CL VI0009 003 C 136 di 138

4.3 Rotta del bordo del calcestruzzo in direzione x-

$$V_{Ed} \leq V_{Rd,c} = \frac{V_{Rk,c}}{\gamma_{M,c}}$$

EN 1992-4, Tabella 7.2

$$V_{Rk,c} = K_T \cdot V_{Rk,c}^0 \cdot \frac{A_{cv}}{A_{cv}^0} \cdot \psi_{e,V} \cdot \psi_{h,V} \cdot \psi_{a,V} \cdot \psi_{re,V}$$

EN 1992-4, Eq. (7.40)

$$V_{Rk,c}^0 = k_0 \cdot d_{nom}^\alpha \cdot l_r^{\beta} \cdot \sqrt{f_{ck}} \cdot c_1^{1.5}$$

EN 1992-4, Eq. (7.41)

$$\alpha = 0,1 \cdot \left(\frac{l_r}{c_1} \right)^{0.5}$$

EN 1992-4, Eq. (7.42)

$$\beta = 0,1 \cdot \left(\frac{d_{nom}}{c_1} \right)^{0.2}$$

EN 1992-4, Eq. (7.43)

$$A_{cv}^0 = 4,5 \cdot c_1^2$$

EN 1992-4, Eq. (7.44)

$$\psi_{e,V} = 0,7 + 0,3 \cdot \frac{c_2}{1,5 \cdot c_1} \leq 1,00$$

EN 1992-4, Eq. (7.45)

$$\psi_{h,V} = \left(\frac{1,5 \cdot c_1}{h} \right)^{0.5} \geq 1,00$$

EN 1992-4, Eq. (7.46)

$$\psi_{a,V} = \frac{1}{1 + \left(\frac{2 \cdot e_V}{3 \cdot c_1} \right)} \leq 1,00$$

EN 1992-4, Eq. (7.47)

$$\psi_{re,V} = \sqrt{\frac{1}{(\cos \alpha_v)^2 + (0,5 \cdot \sin \alpha_v)^2}} \geq 1,00$$

EN 1992-4, Eq. (7.48)

l_r [mm]	d_{nom} [mm]	k_0	α	β	f_{cvf} [N/mm ²]
180,0	16,00	1,700	0,051	0,047	25,00
c_1 [mm]	A_{cv} [mm ²]	A_{cv}^0 [mm ²]			
690,0	1.139.250	2.142.450			
$\psi_{e,V}$	$\psi_{h,V}$	$\psi_{a,V}$	e_{cv} [mm]	$\psi_{re,V}$	$\psi_{re,V}$
1,000	1,404	1,000	0,0	1,000	1,000
$V_{Rk,c}$ [kN]	K_T	$\gamma_{M,c}$	$V_{Rd,c}$ [kN]	V_{Ed} [kN]	
226,686	1,0	1,500	112,832	22,100	

Verifica su muretto paraballast:

1 Dati da inserire

Tipo e dimensione dell'ancorante:	HIT-HY 200-A + HAS-U 8.8 M16
Periodo di ritorno (durata in anni):	50
Codice articolo:	2237088 HAS-U 8.8 M16x150 (inserire) / 434674 HIT-HY 200-A (composto indurente)
Profondità di posa effettiva:	$h_{ef,opt} = 80,0$ mm ($h_{ef,limit} = 164,0$ mm)
Materiale:	8.8
Certificazione No.:	ETA 11/0493
Emesso l'Valido:	10/12/2021 -
Prova:	metodo di calcolo EN 1992-4, chimica
Fissaggio distanziato:	$e_b = 0,0$ mm (Senza distanziamento); $t = 10,0$ mm
Piastrella d'ancoraggio ^R :	$l_x \times l_y \times t = 80,0$ mm x 210,0 mm x 10,0 mm; (Spessore della piastrella raccomandato: non calcolato)
Profilo:	nessun profilo
Materiale base:	fessurato calcestruzzo, C25/30, $f_{cvf} = 25,00$ N/mm ² , $h = 200,0$ mm, Temp. Breve/Lungo: 0/0 °C, Coefficiente parziale di sicurezza materiale definito dall'utente $\gamma_c = 1,500$
Installazione:	Foro eseguito con perforatore, Condizioni di installazione: asciutto
Armatura:	nessuna armatura o interasse tra le armature ≥ 150 mm (qualsiasi Ø) o ≥ 100 mm ($\varnothing \leq 10$ mm) senza armatura di bordo longitudinale

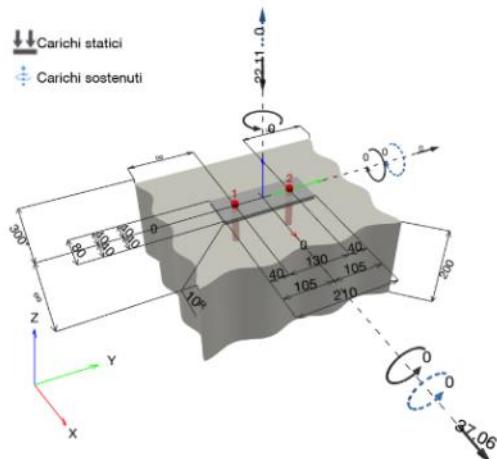


APPALTATORE:	
Consorzio	Soci
HIRPINIA - ORSARA AV WEBUILD ITALIA	PIZZAROTTI
PROGETTAZIONE:	
Mandataria	Mandanti
ROCKSOIL S.P.A	NET ENGINEERING
	ELETTRI-FER
PINI	GCF
M-INGEGNERIA	
PROGETTO ESECUTIVO	

ITINERARIO NAPOLI – BARI
RADDOPPIO TRATTA APICE - ORSARA
II LOTTO FUNZIONALE HIRPINIA - ORSARA

COMMESA IF3A	LOTTO 02	CODIFICA E ZZ CL	DOCUMENTO VI0009 003	REV. C	FOGLIO 137 di 138
-----------------	-------------	---------------------	-------------------------	-----------	-------------------------

Geometria [mm] & Carichi [kN, kNm]



1.1 Combinazione carichi

Caso	Descrizione	Forze [kN] / Momenti [kNm]	Sismico	Fuoco	Util. max.	Tassello [%]
1	SLU	N = -22,110; V _x = 37,060; V _y = 0,000; M _x = 0,000; M _y = 0,000; M _z = 0,000; N _{sus} = 0,000; M _{x,sus} = 0,000; M _{y,sus} = 0,000;	no	no	66	

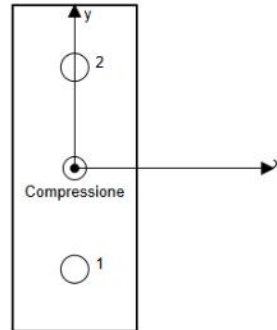
2 Condizione di carico/Carichi risultanti sull'ancorante

Carichi sull'ancorante [kN]
 Trazione: (+ Trazione, - Compressione)

Ancorante	Trazione	Taglio	Taglio in dir. x	Taglio in dir. y
1	0,000	18,530	18,530	0,000
2	0,000	18,530	18,530	0,000

Compressione max. nel calcestruzzo: 0,04 [%]
 Max. sforzo di compressione nel calcestruzzo: 1,32 [N/mm²]
 risultante delle forze di trazione nel (x/y)=(0,0/0,0): 0,000 [kN]
 risultante delle forze di compressione (x/y)=(0,0/0,0): 22,110 [kN]

Le forze di ancoraggio vengono calcolate presupponendo una piastra di ancoraggio rigida.



3 Carico di trazione (EN 1992-4, sezione 7.2.1)

	Carico [kN]	Resistenza [kN]	Utilizzo β_N [%]	Stato
Rottura dell'acciaio*	N/A	N/A	N/A	N/A
Rottura conica del calcestruzzo**	N/A	N/A	N/A	N/A
Fessurazione**	N/A	N/A	N/A	N/A

*ancorante più sollecitato **gruppo di ancoranti (ancoranti sollecitati)

APPALTATORE: <u>Consorzio</u> <u>Soci</u> HIRPINIA - ORSARA AV WEBUILD ITALIA PIZZAROTTI	ITINERARIO NAPOLI – BARI RADDOPPIO TRATTA APICE - ORSARA II LOTTO FUNZIONALE HIRPINIA - ORSARA
PROGETTAZIONE: <u>Mandataria</u> <u>Mandanti</u> ROCKSOIL S.P.A NET ENGINEERING ELETTRI-FER PINI GCF M-INGEGNERIA	
PROGETTO ESECUTIVO	COMMESA IF3A LOTTO 02 CODIFICA E ZZ CL DOCUMENTO VI0009 003 REV. C FOGLIO 138 di 138

4 Carico di taglio (EN 1992-4, sezione 7.2.2)

	Carico [kN]	Resistenza [kN]	Utilizzo β_V [%]	Stato
Rottura dell'acciaio (senza braccio di leva)*	18,530	50,240	37	OK
Rottura dell'acciaio (con braccio di leva)*	N/A	N/A	N/A	N/A
Rottura per pryout**	37,060	56,627	66	OK
Rottura del bordo del calcestruzzo in direzione **	N/A	N/A	N/A	N/A

*ancorante più sollecitato **gruppo di ancoranti (ancoranti specifici)

4.1 Rottura dell'acciaio (senza braccio di leva)

$$V_{Ed} \leq V_{Rd,s} = \frac{V_{Rk,s}}{\gamma_{M,s}} \quad \text{EN 1992-4, Tabella 7.2}$$

$$V_{Rk,s} = k_7 \cdot V_{Rk,s}^0 \quad \text{EN 1992-4, Eq. (7.35)}$$

$V_{Rk,s}^0$ [kN]	k_7	$V_{Rk,s}$ [kN]	$\gamma_{M,s}$	$V_{Rd,s}$ [kN]	V_{Ed} [kN]
62,800	1,000	62,800	1,250	50,240	18,530

4.2 Rottura per pryout (cono del calcestruzzo)

$$V_{Ed} \leq V_{Rd,op} = \frac{V_{Rk,op}}{\gamma_{M,op}} \quad \text{EN 1992-4, Tabella 7.2}$$

$$V_{Rk,op} = k_8 \cdot \min \{N_{Rk,c}, N_{Rk,p}\} \quad \text{EN 1992-4, Eq. (7.39c)}$$

$$N_{Rk,c} = N_{Rk,c}^0 \cdot \frac{A_{cr,N}}{A_{cr,N}^0} \cdot \psi_{s,N} \cdot \psi_{re,N} \cdot \psi_{ec1,N} \cdot \psi_{ec2,N} \cdot \psi_{M,N} \quad \text{EN 1992-4, Eq. (7.1)}$$

$$N_{Rk,c}^0 = k_1 \cdot \sqrt{f_{ck}} \cdot h_{ef}^{1.5} \quad \text{EN 1992-4, Eq. (7.2)}$$

$$A_{cr,N}^0 = s_{cr,N} \cdot s_{cr,N} \quad \text{EN 1992-4, Eq. (7.3)}$$

$$\psi_{s,N} = 0,7 + 0,3 \cdot \frac{c}{c_{cr,N}} \leq 1,00 \quad \text{EN 1992-4, Eq. (7.4)}$$

$$\psi_{ec1,N} = \frac{1}{1 + \left(\frac{2 \cdot e_{V,1}}{s_{cr,N}} \right)} \leq 1,00 \quad \text{EN 1992-4, Eq. (7.6)}$$

$$\psi_{ec2,N} = \frac{1}{1 + \left(\frac{2 \cdot e_{V,2}}{s_{cr,N}} \right)} \leq 1,00 \quad \text{EN 1992-4, Eq. (7.6)}$$

$$\psi_{M,N} = 1 \quad \text{EN 1992-4, Eq. (7.7)}$$

$A_{cr,N}$ [mm ²]	$A_{cr,N}^0$ [mm ²]	$c_{cr,N}$ [mm]	$s_{cr,N}$ [mm]	k_8	$f_{ck,gy}$ [N/mm ²]
88.800	57.600	120,0	240,0	2,000	25,00
$e_{cr,V}$ [mm]	$\psi_{ec1,N}$	$e_{cr,V}$ [mm]	$\psi_{ec2,N}$	$\psi_{s,N}$	$\psi_{re,N}$
0,0	1,000	0,0	1,000	1,000	1,000

k_1	$N_{Rk,c}^0$ [kN]	$\gamma_{M,op}$	$V_{Rd,op}$ [kN]	V_{Ed} [kN]
7,700	27,548	1,500	56,627	37,060

ID gruppo ancoranti

1, 2

11 SOLETTA

Le verifiche della soletta in calcestruzzo e dei pioli connettori saranno riportati nella relazione di calcolo del Progetto Esecutivo di Dettaglio.